



등록특허 10-2518785



(19) 대한민국특허청(KR)  
(12) 등록특허공보(B1)

(45) 공고일자 2023년04월07일  
(11) 등록번호 10-2518785  
(24) 등록일자 2023년04월03일

- (51) 국제특허분류(Int. Cl.)  
*C12Q 1/42* (2006.01)  
(52) CPC특허분류  
*C12Q 1/42* (2013.01)  
(21) 출원번호 10-2021-0042535  
(22) 출원일자 2021년04월01일  
심사청구일자 2021년04월01일  
(65) 공개번호 10-2021-0137385  
(43) 공개일자 2021년11월17일  
(30) 우선권주장  
1020200055355 2020년05월08일 대한민국(KR)  
(56) 선행기술조사문헌  
Elaheh Movahed 등, PLOS ONE, DOI:10.1371, 2015.\*  
(뒷면에 계속)

전체 청구항 수 : 총 3 항

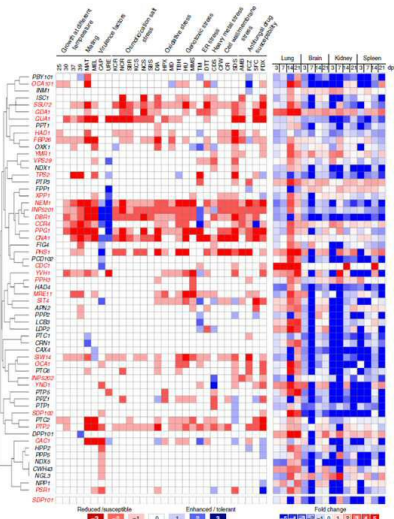
심사관 : 이재영

(54) 발명의 명칭 크립토코커스 네오포르만스의 세포막 안정성을 조절하는 포스파타아제 및 이를 이용한 항진균제 스크리닝 방법

**(57) 요 약**

*VPS29, YMR1, SSU72, NEM1, YVH1, SIT4, GUA1, INP5201, PHS1, DBR1, SIW14, SDP102, OCA1, GDA1, FBP26, PSR1, CDC1, INP5202*, 및 *YND1*은 크립토코커스 네오포르만스의 병원성과의 관련성 및 세포막 안정성을 조절하는 기능이 새롭게 규명된 포스파타아제 유전자로써, 이를 유전자를 타겟으로 하는 새로운 항진균제 스크리닝에 이용될 수 있다.

**대 표 도 - 도1**



(72) 발명자  
**진재형**  
 서울특별시 서대문구 성산로18길 18-5, 2층  
**이경태**  
 서울특별시 금천구 시흥대로59길 35, 건영아파트  
 A동 301호  
**이동기**  
 서울특별시 송파구 송이로24길 18, 202호  
**김진영**  
 경기도 수원시 권선구 권선로 397, 울트라참누리  
 아파트 201동 603호  
**이승현**  
 경기도 안양시 부림로 80, 초원한양아파트 609동  
 605  
**홍주현**  
 서울특별시 서대문구 성산로17길 7-17, 오이코스  
 504호

(56) 선행기술조사문헌  
 Fiona M. Sansom, Parasitology, 139, 페이지  
 963-980, 2012.\*  
 Jessica L. Chitty 등, Journal of Biological  
 Chemistry, 292(7), 페이지3049-3059, 2017.\*  
 Kyung-Tae Lee 등, Eukaryotic Cell, 13(6), 페이지  
 796-812. 2014.\*  
 KR1020180057559 A  
 \*는 심사관에 의하여 인용된 문헌

이 발명을 지원한 국가연구개발사업  
 과제고유번호 1545021042  
 과제번호 918012043SB010  
 부처명 농림축산식품부  
 과제관리(전문)기관명 농림식품기술기획평가원  
 연구사업명 포스트게놈신산업육성을위한다부처유전체사업(R&D)(농림부)  
 연구과제명 다중오믹스 분석 기반 동물 진균 유전자 기능 통합 네트워크 맵 구축 및 유용 유전  
 자  
 기 여 율 1/3  
 과제수행기관명 연세대학교 산학협력단  
 연구기간 2020.01.01 ~ 2020.12.31  
 이 발명을 지원한 국가연구개발사업  
 과제고유번호 1711097612  
 과제번호 2016R1E1A1A01943365  
 부처명 과학기술정보통신부  
 과제관리(전문)기관명 한국연구재단  
 연구사업명 개인기초연구(과기정통부)(R&D)  
 연구과제명 뇌수막염 유발 진균의 뇌 감염 경로와 이를 조절하는 kinase 네트워크의 시스템수준  
 규명  
 기 여 율 1/3  
 과제수행기관명 연세대학교  
 연구기간 2019.08.01 ~ 2020.05.31  
 이 발명을 지원한 국가연구개발사업  
 과제고유번호 1711111252  
 과제번호 2018R1A5A1025077  
 부처명 과학기술정보통신부  
 과제관리(전문)기관명 한국연구재단  
 연구사업명 집단연구지원(R&D)  
 연구과제명 미생물 생존 시스템 연구센터(중앙대학교)  
 기 여 율 1/3  
 과제수행기관명 연세대학교  
 연구기간 2020.03.01 ~ 2021.02.28  
 공지예외적용 : 있음

## 명세서

### 청구범위

#### 청구항 1

크립토코커스 네오포르만스에 후보물질을 접촉시키는 단계;

크립토코커스 네오포르만스의 세포막 스트레스 감수성과 관련된 포스파타아제를 발현하는 유전자인 *PHS1*; 및 *VPS29*, *YMR1*, *SSU72*, *NEM1*, *YVH1*, *SIT4*, *GUA1*, *INP5201*, *DBR1*, *SIW14*, *SDP102*, *OCA1*, *GDA1*, *FBP26*, *PSR1*, *CDC1*, *INP5202*, 및 *YND1*으로 이루어진 군에서 선택된 하나 이상의 유전자의 mRNA 또는 이로부터 발현된 단백질의 발현수준을 측정하거나, 또는 단백질의 활성을 측정하는 단계; 및

상기 측정된 발현수준 또는 활성이 후보물질과 접촉하지 않은 대조군보다 유의하게 감소한 경우 상기 후보물질을 항진균 활성이 있는 것으로 결정하는 단계를 포함하는, 크립토코커스 네오포르만스에 대한 항진균제 스크리닝 방법으로서,

상기 세포막 스트레스 감수성은 세포막 스트레스 유도 물질이 첨가된 배지에서 크립토코커스 네오포르만스의 성장이 저해되는 것인, 항진균제 스크리닝 방법.

#### 청구항 2

삭제

#### 청구항 3

제1항에 있어서,

상기 mRNA 발현 수준의 측정은 역전사 중합효소반응(RT-PCR), 경쟁적 역전사 중합효소 반응, 실시간 역전사 중합효소반응, RNase 보호 분석법(RPA), 노던 블로팅, DNA 칩(Microarray) 또는 RNA sequencing 분석으로 수행하는 것인,

항진균제 스크리닝 방법.

#### 청구항 4

제1항에 있어서,

상기 단백질의 발현 수준 측정은 웨스턴 블랏, ELISA (enzyme linked immunosorbent assay), 방사선면역분석(RIA: Radioimmunoassay), 방사 면역 확산법(radioimmunodiffusion), 조직면역 염색, 면역침전 분석법(Immunoprecipitation Assay), 보체 고정 분석법(Complement Fixation Assay), 유세포분석(Fluorescence Activated Cell Sorter, FACS), 또는 단백질 칩(protein chip)으로 수행하는 것인,

항진균제 스크리닝 방법.

## 발명의 설명

### 기술 분야

[0001] 본 발명은 크립토코커스 네오포르만스의 세포막 안정성을 조절하는 포스파타아제 및 이를 이용한 항진균제 스크리닝 방법에 관한 것이다.

### 배경 기술

[0002] 모든 살아있는 유기체는 변화하는 환경에 대해 동적으로 반응(dynamic response)하며, 이러한 반응은 복잡한 신호 전달 경로에 의해 이루어진다. 환경 신호(environmental cue)가 발생하면 유기체는 수용체 단백질과 같은 센서를 통해 신호를 수신하고, 이어지는 스트레스에 대응하기 위해 하위인자(downstream effector)들을 활성화한

다. 환경 신호가 소멸하거나 유기체가 환경에 적응하면 해당 신호전달경로는 일반적으로 적시에 비활성화되고 (desensitized) 추후 재활성화될 수 있다. 이러한 신호전달경로의 활성화 및 비활성화 과정은 많은 경우 키나아제(kinase)에 의한 인산화(phosphorylation) 및 포스파타아제(phosphatase)에 의한 탈인산화(dephosphorylation)에 의해 이루어지며, 이는 신호 전달을 온-오프하는 번역 후 변형(post-translational modification)이다. 따라서 신호전달경로에서 키나아제 및 포스파타아제의 조절은 세포 항상성을 유지하는데 중요하다.

[0003] 병원성 곰팡이는 이러한 신호전달경로를 활용하여 숙주 내의 다양한 조직에서 감염(infection), 군집화(colonization), 증식(proliferation), 및 파종성 감염(dissemination) 중에 발생하는 환경 변화에 적응한다.

[0004] 크립토코커스 네오포르만스(*Cryptococcus neoformans*)는 면역이 저하된 환자에서 뇌수막염을 유발하며 전세계적으로 매년 18만 이상의 사망을 초래한다. 크립토코커스 네오포르만스의 전사인자(transcription factor; TF) 및 키나아제에 대한 대규모 기능 분석에 의해 178개의 TF 및 183개의 키나아제가 확인되었다. 이 중 155개의 TF 및 129개의 키나아제가 *in vitro* 및 *in vivo*에서 기능적 특징이 규명되었고(functionally characterized), 45개의 TF 및 63개의 키나아제가 병원성에 관여하는 것으로 알려졌다. 그럼에도 불구하고 신호 구성 요소(signaling component)들이 어떻게 조절되고 합동(coordination)되어 병원성을 나타내는지는 명확히 규명되지 않았다.

[0005] TF 및 키나아제 네트워크를 명확히 규명하기 위해서는 이들에 대응되는 포스파타아제 네트워크의 공동 분석이 필수적이다. 종래에는 기질 특이성이 높은 키나아제가 약물의 표적으로 더 적절하다고 여겨졌기 때문에 포스파타아제는 주목받지 못했다.

[0006] 그러나, 최근 여러 종류의 병원성 진균에서 밝혀진 기능성 포스파토ーム(phosphatome) 데이터에 의하면, 포스파타아제가 진균의 성장, 세포주기, 분화, 스트레스 반응 및 대사를 조절함으로써 항상성을 유지하는데 중요한 역할을 한다는 점이 밝혀졌다.

[0007] 자낭균(ascomycete)에서는, 유전자 다형 해석(genome-wide analyses)에 의해 아스페르길루스 푸미가투스(*Aspergillus fumigatus*)의 32개의 포스파타아제를 동정하고(identify) 이 중 24개를 기능적으로 특성화하였으며, 이들 대부분이 스트레스 반응, 철 동화(iron assimilation), 독소 생성(toxin production), 및 저항(resistance)에 기여함이 규명되었다.

[0008] 또한 밀곰팡이병(wheat scab)을 일으키는 푸사리움 그라미네아룸(*Fusarium graminearum*)에서 82개의 포스파타아제 유전자를 확인하였으며 이 중 71개를 파괴하고 15 종의 표현형 특성을 통해 기능적으로 분석한 결과 25개의 포스파타아제가 식물 병원성 진균의 병독성(virulence)에 관여함을 확인하였다.(Yun, Y. et al. Functional analysis of the *Fusarium graminearum* phosphatome. *New Phytol.* 207, 119-134 (2015).)

[0009] 그러나 크립토코커스 네오포르만스에서 병원성과 연관된 포스파타아제에 일부 소수의 유전자를 제외하고는 계놈 수준에서는 알려진 바가 없다.

## 선행기술문헌

### 특허문헌

[0010] (특허문헌 0001) (비특허문헌 0001) Yun, Y. et al. Functional analysis of the *Fusarium graminearum* phosphatome. *New Phytol.* 207, 119-134 (2015).

## 발명의 내용

### 해결하려는 과제

[0011] 일 구체예에 따르면 크립토코커스 네오포르만스의 세포막 안정성을 조절하는 포스파타아제로서 병원성과의 관련성이 새롭게 규명된 포스파타아제 유전자 및 이를 이용한 항진균제 스크리닝 방법을 제공한다.

### 과제의 해결 수단

[0012] 일 양상은, 크립토코커스속 진균의 세포막 안정성을 조절하는 포스파타아제를 발현하는 유전자인 *VPS29*, *YMR1*, *SSU72*, *NEM1*, *YVH1*, *SIT4*, *GUA1*, *INP5201*, *PHS1*, *DBR1*, *SIW14*, *SDP102*, *OCA1*, *GDA1*, *FBP26*, *PSR1*, *CDC1*,

*INP5202*, 및 *YND1*으로 이루어진 군에서 선택된 하나 이상의 유전자의 mRNA 또는 이로부터 발현된 단백질을 후보 물질과 접촉시키는 단계; 상기 mRNA 또는 단백질의 발현 수준을 측정하거나, 또는 단백질의 활성을 측정하는 단계; 및 상기 측정된 발현수준 또는 활성이 대조군보다 유의하게 감소한 경우 상기 후보물질을 항진균 활성이 있는 것으로 결정하는 단계를 포함하는 항진균제 스크리닝 방법을 제공한다.

[0013] 본 발명자는 병원성 진균인 크립토코커스 네오포르만스의 139개 후보 포스파타아제 유전자 중에서 불활성화시켰을 때 *Galleria mellonella* 유충에 대한 병독성이 감소하거나, 또는 뮤린에 대한 감염성이 감소한 31개 유전자를 선별하고, 이 중에서 병원성과 관련된 7종류의 표현형(0-당사슬 형성, 세포막 안정성, DNA 손상반응, 혈액뇌 장벽 통과, 캡슐 형성, 멜라닌 생합성, 체온에 대한 내열성(thermotolerance for mammalian body temperatures))에서 변화를 나타낸 21개의 포스파타아제를 선별하였다. 최종 선별된 유전자는 크립토코커스 네오포르만스의 병독성 및 감염성과 밀접하게 관련된 표현 형질을 조절하는 것으로 새롭게 규명된 포스파타아제 유전자이며, 항진균제의 신규한 타겟이 될 수 있다. 최종 선별된 21개의 포스파타아제 유전자는 하기 표 1에 개시되어 있다.

### 표 1

SEQ ID	H99 ID	Name
1	00182	<i>VPS29</i>
2	00390	<i>YMR1</i>
3	01054	<i>SSU72</i>
4	01177	<i>NEM1</i>
5	01203	<i>YVH1</i>
6	01254	<i>OCA101</i>
7	01436	<i>SIT4</i>
8	01877	<i>GUA1</i>
9	02109	<i>INP5201</i>
10	02487	<i>PHS1</i>
11	02490	<i>MRE11</i>
12	03222	<i>DBR1</i>
13	03296	<i>SIW14</i>
14	03893	<i>SDP102</i>
15	03963	<i>OCA1</i>
16	03996	<i>GDA1</i>
17	04221	<i>FBP26</i>
18	04224	<i>PSR1</i>
19	06647	<i>CDC1</i>
20	07317	<i>INP5202</i>
21	07692	<i>YND1</i>

[0015] 상기 크립토코커스속 진균은 예를 들면 병원성 진균으로써 크립토코커스 네오포르만스(*Cryptococcus neoformans*), 크립토코커스 가티(*Cryptococcus gattii*), 크립토코커스 알비두스(*Cryptococcus albidus*), 또는 크립토코커스 유니구틀라투스(*Cryptococcus uniguttulatus*)일 수 있다.

[0016] 상기 항진균 활성은 크립토코커스속 진균 또는 병원성 크립토코커스속 진균에 대한 활성일 수 있다.

[0017] 상기 VPS29 유전자는 서열번호 1의 아미노산 서열로 이루어진 포스파타아제를 암호화하는 유전자, 또는 서열번호 22의 염기 서열로 이루어진 유전자일 수 있다.

[0018] 상기 YMR1 유전자는 서열번호 2의 아미노산 서열로 이루어진 포스파타아제를 암호화하는 유전자, 또는 서열번호 23의 염기 서열로 이루어진 유전자일 수 있다.

[0019] 상기 SSU72 유전자는 서열번호 3의 아미노산 서열로 이루어진 포스파타아제를 암호화하는 유전자, 또는 서열번호 24의 염기 서열로 이루어진 유전자일 수 있다.

[0020] 상기 NEM1 유전자는 서열번호 4의 아미노산 서열로 이루어진 포스파타아제를 암호화하는 유전자, 또는 서열번호

25의 염기 서열로 이루어진 유전자일 수 있다.

[0021] 상기 YVH1 유전자는 서열번호 5의 아미노산 서열로 이루어진 포스파타아제를 암호화하는 유전자, 또는 서열번호 26의 염기 서열로 이루어진 유전자일 수 있다.

[0022] 상기 SIT4 유전자는 서열번호 7의 아미노산 서열로 이루어진 포스파타아제를 암호화하는 유전자, 또는 서열번호 28의 염기 서열로 이루어진 유전자일 수 있다.

[0023] 상기 GUA1 유전자는 서열번호 8의 아미노산 서열로 이루어진 포스파타아제를 암호화하는 유전자, 또는 서열번호 29의 염기 서열로 이루어진 유전자일 수 있다.

[0024] 상기 INP5201 유전자는 서열번호 9의 아미노산 서열로 이루어진 포스파타아제를 암호화하는 유전자, 또는 서열번호 30의 염기 서열로 이루어진 유전자일 수 있다.

[0025] 상기 PHS1 유전자는 서열번호 10의 아미노산 서열로 이루어진 포스파타아제를 암호화하는 유전자, 또는 서열번호 31의 염기 서열로 이루어진 유전자일 수 있다.

[0026] 상기 DBR1 유전자는 서열번호 12의 아미노산 서열로 이루어진 포스파타아제를 암호화하는 유전자, 또는 서열번호 33의 염기 서열로 이루어진 유전자일 수 있다.

[0027] 상기 SIW14 유전자는 서열번호 13의 아미노산 서열로 이루어진 포스파타아제를 암호화하는 유전자, 또는 서열번호 34의 염기 서열로 이루어진 유전자일 수 있다.

[0028] 상기 SDP102 유전자는 서열번호 14의 아미노산 서열로 이루어진 포스파타아제를 암호화하는 유전자, 또는 서열번호 35의 염기 서열로 이루어진 유전자일 수 있다.

[0029] 상기 OCA1 유전자는 서열번호 15의 아미노산 서열로 이루어진 포스파타아제를 암호화하는 유전자, 또는 서열번호 36의 염기 서열로 이루어진 유전자일 수 있다.

[0030] 상기 GDA1 유전자는 서열번호 16의 아미노산 서열로 이루어진 포스파타아제를 암호화하는 유전자, 또는 서열번호 37의 염기 서열로 이루어진 유전자일 수 있다.

[0031] 상기 FBP26 유전자는 서열번호 17의 아미노산 서열로 이루어진 포스파타아제를 암호화하는 유전자, 또는 서열번호 38의 염기 서열로 이루어진 유전자일 수 있다.

[0032] 상기 PSR1 유전자는 서열번호 18의 아미노산 서열로 이루어진 포스파타아제를 암호화하는 유전자, 또는 서열번호 39의 염기 서열로 이루어진 유전자일 수 있다.

[0033] 상기 CDC1 유전자는 서열번호 19의 아미노산 서열로 이루어진 포스파타아제를 암호화하는 유전자, 또는 서열번호 40의 염기 서열로 이루어진 유전자일 수 있다.

[0034] 상기 INP5202 유전자는 서열번호 20의 아미노산 서열로 이루어진 포스파타아제를 암호화하는 유전자, 또는 서열번호 41의 염기 서열로 이루어진 유전자일 수 있다.

[0035] 상기 발현 감소 후보 물질은 저분자 화합물, 항체, 안티센스 뉴클레오티드, siRNA, dsRNA, 핵산, 단백질, 펩티드, 추출물, 또는 천연물을 포함할 수 있으나 이에 한정되는 것은 아니다.

[0036] 상기 접촉시키는 단계는 분리된 mRNA, 단백질을 후보물질과 접촉시키거나, 또는 상기 유전자를 발현하는 크립토코커스속 진균을 후보물질과 접촉시키는 것일 수 있다. 크립토코커스속 진균과 후보 물질을 접촉시키는 경우, 후보물질이 진균 내로 침투하기에 충분한 시간 동안 배양시켜 수행할 수 있다. 상기 접촉시키는 단계는 *in vitro*에서 수행되는 것일 수 있다.

[0037] 상기 mRNA 발현 수준의 측정은 통상기술자에게 잘 알려진 방법으로 수행될 수 있으며, 예를 들면 역전사 중합효소반응(RT-PCR), 경쟁적 역전사 중합효소 반응, 실시간 역전사 중합효소반응, RNase 보호 분석법(RPA), 노던 블로팅, DNA 칩(Microarray) 또는 RNA sequencing 분석에 의해 수행될 수 있다.

[0038] 상기 단백질의 발현 수준 측정은 통상기술자에게 잘 알려진 방법으로 수행될 수 있으며, 예를 들면 웨스턴 블랏, ELISA (enzyme linked immunosorbent assay), 방사선면역분석(RIA: Radioimmunoassay), 방사 면역 확산법(radioimmunodiffusion), 조직면역 염색, 면역침전 분석법(Immunoprecipitation Assay), 보체 고정 분석법(Complement Fixation Assay), 유세포분석(Fluorescence Activated Cell Sorter, FACS), 또는 단백질 칩(protein chip)으로 수행될 수 있다.

- [0039] 상기 활성 억제 후보물질은 저분자 화합물, 항체, 안티센스 뉴클레오티드, siRNA, dsRNA, 핵산, 단백질, 펩티드, 추출물, 또는 천연물을 포함할 수 있으나 이에 한정되는 것은 아니다.
- [0040] 상기 단백질의 활성 측정은 통상의 기술자에게 알려진 효소 활성 측정 방법이 사용될 수 있으며, 예를 들면 표지된 인산을 이용해 포스파타아제의 기질에 대한 인산화 정도를 측정하거나, 기질의 인산화 자리에 특이적인 항체의 결합 정도를 정량분석하는 방법을 사용할 수 있다.

### 발명의 효과

- [0042] 일 구체예에 따른 스크리닝 방법은 크립토코커스 네오포르만스의 병원성과의 관련성이 새롭게 규명된 포스파타아제 유전자를 이용하므로 새로운 항진균제를 스크리닝 할 수 있다.

### 도면의 간단한 설명

- [0043] 도 1은 C. 네오포르만스의 포스파타아제 결실에 의한 *in vitro* 상의 클러스터별 표현형 변화 및 *in vivo* 발현 프로파일링을 나타낸 것이다. 도 1에 사용된 약어는 다음과 같다. 25: 25°C; 30: 30°C; 37: 37°C; 39: 39°C; CAP: capsule production; MEL: melanin production; URE: urease production; MAT: mating; HPX: hydrogen peroxide; TBH: tert-butyl hydroperoxide; MD: menadione; DIA: diamide; MMS: methyl methanesulphonate; HU: hydroxyurea; 5FC: 5-flucytosine; AMB: amphotericin B; FCZ: fluconazole; FDX: fludioxonil; TM: tunicamycin; DTT: dithiothreitol; CDS: cadmium sulfate; SDS: sodium dodecyl sulfate; CR: Congo red; CFW: calcofluor white; KCR: YPD + 1.5M KCl; NCR: YPD + 1.5M NaCl; SBR: YPD + 2M sorbitol; KCS: YP + 1M KCl; NCS: YP + 1M NaCl; SBS: YP + 2M sorbitol.

도 2는 *Galleria mellonella* 곤충 치사 분석에 의한 병독성 조절 포스파타아제의 동정 결과를 나타낸 것이다. (n ≥ 15)

도 3은 STM 기반 뮤린 감염 모델에 의한 감염성 조절 포스파타아제의 동정 결과를 나타낸 것이다.

도 4는 포스파타아제 변이체의 30°C 및 37°C에서의 성장 속도를 나타낸 것이다.

도 5는 3가지 다른 멜라닌 유도 배지(Niger seed, dopamine, epinephrine 배지)를 이용하여 변이체의 멜라닌 생산을 측정한 결과를 나타낸 것이다.

도 6은 영양 과다 조건(R) 및 결핍 조건(S)에서 멜라닌 발현 조절 유전자인 LAC1의 유전자 발현 정도를 확인한 결과이다.

도 7은 영양 과다 조건(R) 및 결핍 조건(S)에서 멜라닌 발현과 관련된 유전자인 BZP4 및 HOB1의 유전자 발현 정도를 확인한 결과이다.

도 8은 캡슐 유도 배지(FBS agar medium)을 이용하여 캡슐 생산 분석을 수행한 결과이다. 캡슐의 두께 (thickness, 전체 직경 - cell body 직경)는 WT 세포(n=50) 및 각 포스파타아제 변이체(n=50)로 측정하였다.

도 9는 레트로머 복합체 관련 유전자 돌연변이들의 표현형 히트맵을 나타낸 것이다. 결실 유전자 및 균주는 *vps29Δ* (YSB4881, YSB4882), *vps26Δ* (YSB5671, YSB5672), *vps35Δ* (YSB5615, YSB5616), *vps5Δ* (YSB5683, YSB5684), 및 *vps17Δ* (YSB5724)이다.

도 10은 레트로머 복합체 돌연변이의 곤충 치사 분석 결과이다.

도 11은 레트로머 복합체 돌연변이의 STM 기반 뮤린 감염 분석 결과이다.

도 12는 C. 네오포르만스 야생형(WT), *gda1Δ* (YSB4750), *ynd1Δ* (YSB4856)의 세포벽 만노단백질(mannoprotein)에 결합된 O-linked 글리칸의 HPLC 프로파일을 나타낸 것이다.

도 13은 C. 네오포르만스 야생형(WT), *gda1Δ* (YSB4750), *ynd1Δ* (YSB4856)의 O-글리칸 성분을 나타낸 것이다.

도 14는 실험결과로부터 예상되는 Gdalp 및 Ynd1p의 기능을 도식화한 것이다.

도 15는 *in vitro* Blood-Brain Barrier-통과 분석(BBB-crossing assay)에서 C. 네오포르만스 야생형 및 변이체들의 BBB 이동(migration) 능력을 나타낸 것이다.

도 16은 인간 뇌 미세혈관 내피세포주(hCMEC/D3 세포주)를 이용한 BBB-adhesion assay 결과를 나타낸 것이다.

도 17은 C. 네오포르만스의 야생형 및 포스파타아제 변이체들에서 숙주모방조건(host-mimic condition; HMC)으로 발현이 유도된 뇌 감염 관련 유전자의 발현 정도를 나타낸 것이다.

도 18은 C. 네오포르만스에 의한 뇌 감염과 관련된 신호 네트워크를 통합적으로 이해하기 위해 STRING 분석에 의한 기능적 단백질 연관 네트워크(functional protein association network)를 생성한 결과이다.

도 19는 병원성 진균들의 병원성 연관 포스파타아제를 분석한 결과이다.

도 20 및 도 21은 VPS29, YMR1, SSU72, NEM1, YVH1, SIT4, GUA1, INP5201, PHS1, DBR1, SIW14, SDP102, OCA1, GDA1, FBP26, PSR1, CDC1, INP5202, 또는 YND1 유전자가 결실된 C. 네오포르만스가 SDS 첨가 배지에서 생장이 억제됨을 확인한 결과이다.

### 발명을 실시하기 위한 구체적인 내용

- [0044] 이하 하나 이상의 구체예를 실시예를 통해 보다 상세하게 설명한다. 그러나, 이들 실시예는 하나 이상의 구체예를 예시적으로 설명하기 위한 것으로 본 발명의 범위가 이들 실시예에 한정되는 것은 아니다.
- [0046] 본 발명자는 크립토코커스 네오포르만스(*Cryptococcus neoformans*)에서 포스파타아제로 추정되는(putative) 139개의 유전자 중 109개를 대상으로 219 종류의 시그니처 태그 유전자 결실 돌연변이 균주(signature-tagged gene-deletion mutant strain) 라이브러리를 구축하였다. 여기에 종전 연구(Jung, K. W. et al. Systematic functional profiling of transcription factor networks in *Cryptococcus neoformans*. Nat. Commun. 6, 6757 (2015).)에서 구축한 6개의 포스파타아제에 대한 11개의 시그니처 태그 돌연변이체도 이용하였다. 총 114개의 포스파타아제를 대상으로 구축된 230 종류의 시그니처 태그 돌연변이체를 사용하여, 30 종류의 *in vitro* 조건에서 그들의 표현형을 분석하고, 2 가지 실험모델(곤충 및 murine)을 사용하여 독성 분석을 수행했다. 포스파타아제 현상 데이터(Phosphatase Phenome Data) 세트들은 Phosphatase Phenome Database (<http://phosphatase.cryptococcus.org>)에 공개하였다.
- [0048] **실험방법**
- [0049] 1. 연구 윤리 규정 준수 (Ethnic statement)
- [0050] 동물 보호 및 모든 실험은 연세대학교의 동물실험윤리위원회(Institutional Animal Care and Use Committee, IACUC)의 윤리 지침에 따라 수행되었다.
- [0052] 2. C. 네오포르만스 포스파타아제 및 레트로머 돌연변이 구축
- [0053] NAT-split 마커 및 double joint PCR(DJ-PCR), 및 노르세오토리신 저항성 마커 (nourseothricin acetyl transferase; NAT)를 포함하는 유전자 파괴 카세트(gene disruption cassette)를 사용한 상동 재조합을 통해 C. 네오포르만스 혈청형 A H99S 균주로부터 포스파타아제 및 레트로머 돌연변이 균주를 구축했다.
- [0054] 포스파타아제 및 레트로머 돌연변이 균주 제작에 사용된 프라이머들, 예를 들면 각 유전자에 대한 L1 Primer(5' flanking region primer 1), L2 Primer(5' flanking region primer 2), R1 Primer(3' flanking region primer 1), R2 Primer(3' flanking region primer 2), SO primer(diagnostic screening primer, pairing with B79), P0 primer(Southern blot probe primer), STM primer, STM common primer에 대한 정보는 서열번호 43 내지 서열번호 211에 개시되어 있다.
- [0055] 그 외 프라이머들, B1026 (M13 Forward extended), B1027 (M13 Reverse extended), B79 (Screening primer), B1454 (NAT split marker primer 1), B1455 (NAT split marker primer 2), B1886 (NEO split marker primer 1), B1887 (NEO split marker primer 2), B679 (qRT-PCR primer for ACT1), B680 qRT-PCR primer for ACT1), B8953 (qRT-PCR primer for LAC1), B8954 (qRT-PCR primer for LAC1), B3737 (qRT-PCR primer for BZP4), B8521 (qRT-PCR primer for BZP4), B6394 (qRT-PCR primer for HOB1), B8519 (qRT-PCR primer for HOB1), B8654 (qRT-PCR primer for ITR1A), B8655 (qRT-PCR primer for ITR1A), B8658 (qRT-PCR primer for ITR3C), B8659 (qRT-PCR primer for ITR3C), B8656 (qRT-PCR primer for MPR1), B8657 (qRT-PCR primer for MPR1), B8598 (qRT-PCR primer for FZC31), B4951 (qRT-PCR primer for FZC31), B9243 (qRT-PCR primer for GAT201), B9422 (qRT-PCR primer for GAT201), B9061 (qRT-PCR primer for PDR802), B4913 (qRT-PCR primer for PDR802)는 서열번호 212 내지 서열번호 238에 개시되어 있다.
- [0056] 상기 프라이머 및 프로브들에 대한 상세한 정보는 본 발명자의 논문 Genome-wide functional analysis of

phosphatases in the pathogenic fungus *Cryptococcus neoformans*, Bahn YS et al., Nature Communications volume 11, Article number: 4212 (2020)의 supplementary data 4를 참고할 수 있다. (<https://www.nature.com/articles/s41467-020-18028-0#Sec28>)

- [0057] H99S 유전체 DNA로부터 L1/L2(5' flanking region primer set) 및 R1/R2(3' flanking region primer set) 프라이머쌍으로 PCR을 실시하여 표적 유전자의 5' flanking 영역 및 3' flanking 영역을 증폭했다.
- [0058] 시그니처 태그된 NAT 마커는 각각의 고유한 시그니처 태그 서열을 갖는 NAT 유전자를 포함하는 pNAT-STM 플라스미드로부터의 프라이머 M13Fe(M13 forward extended) 및 M13Re (M13 reverse extended)를 사용한 PCR을 실시하여 증폭하였다.
- [0059] 1차 PCR에서 5' flanking 영역, 3' flanking 영역, 및 NAT 마커를 증폭하여 주형 DNA를 생성하고, 2차 PCR에서 는 각각 프라이머쌍 L1/NSL(B1455 NAT split marker primer 2) 및 R2/NSR(B1454 NAT split marker primer 1)으로 NAT-split 유전자파괴(gene-disruption) 카세트의 5'-영역 및 3'-영역을 구축하였다.
- [0060] NAT 유전자파괴 카세트를 도입하는 생물학적 형질전환(Biostatic transformation)은 다음 방법으로 실시하였다. H99S 균주를 50ml YPD 배지에서 30°C로 16시간 동안 배양하고 스판다운(spin-down)을 실시하였다. 5ml 증류수에서 재현탁하고 1M 소르비톨이 포함된 YPD 한천 배지에 도포하고 30°C에서 3시간 동안 추가 배양하였다. 유전자파괴 카세트를 600 $\mu$ g의 0.6 $\mu$ m 금 마이크로캐리어 비드 (Bio-Rad Laboratories, Hercules, CA, USA)와 결합하고 입자 전달 시스템 (PDS-100, Bio-Rad)을 사용하여 세포에 도입했다. 세포막 완전성을 회복하기 위해 30°C에서 4시간 동안 배양한 후 세포를 스크랩하고, 노르세오토리신(100 $\mu$ g/ml)을 포함하는 YPD 한천 배지에 도말(spread)하였다. 진단 PCR(Diagnostic PCR)로 NAT-양성 형질 전환체를 확인했다. 서던 블롯 분석으로 스크리닝된 각 형질전환체의 유전자형을 확인했다. 각 포스파타아제 유전자에 대해 적어도 두 개의 독립적인 돌연변이 균주를 구축했다.
- [0062] 3. nCounter *in vivo* 유전자 발현 프로파일링 분석.
- [0063] 이전 연구에서 보고된 RNA 샘플(Lee, K. T. et al. Fungal kinases and transcription factors regulating brain infection in *Cryptococcus neoformans*. Nat. Commun. 11, 1521 (2020))을 사용하여 nCounter 유전자 발현 분석 (NanoString)을 수행하여 139개의 포스파타아제의 생체 내 발현 수준을 정량화했다.
- [0064] 전체 RNA 샘플은 비강 흡입을 통해  $5 \times 10^5$  세포로 감염된 6 주령 암컷 A / J 마우스로부터 얻었다. 3 마리의 마우스 그룹은 각각 3, 7, 14, 21 dpi(day post-infection)에 희생시키고, 폐, 뇌, 비장 및 신장을 수득하고 동결 건조시켰다. 건조된 장기를 균질화하고 상용 RNA 추출 키트(easy-BLUE, Intron Biotechnology)로 total RNA를 추출했다.
- [0065] *In vitro* 기저(basal) 조건 (30°C; YPD 배지)에서 성장한 *C. 네오포르만스*로부터 분리한 전체 RNA 10ng 또는 *C. 네오포르만스* 감염 마우스 조직에서 분리한 전체 RNA 10 $\mu$ g을 포함하는 샘플을 nCounter 멀티 플렉스 플랫폼 (NanoString, Seattle, WA, USA)의 제조업체 표준 프로토콜에 따라 설정하고 맞춤형(custom) 프로브 코드 세트로 반응 시켰다. 고해상도(600 fields) 옵션의 디지털 분석기로 스캔하였으며 nSolver 소프트웨어(NanoString)로 정규화하였다(normalized).
- [0066] 8 개의 하우스 키핑(house-keeping) 유전자(mitochondrial protein, CNAG\_00279; microtubule-binding protein, CNAG\_00816; aldose reductase, CNAG\_02722; cofilin, CNAG\_02991; actin, CNAG\_00483; tubulin  $\beta$  chain, CNAG\_01840; tubulin  $\alpha$ -1A chain, CNAG\_03787; histone H3, CNAG\_04828)는 표현 정규화(expression normalization)에 사용되었다.
- [0067] 폴드-변화(fold-change)를 표현하기 위해 정규화된 데이터를 log<sub>2</sub> 점수로 변환하고 Morpheus(Broad Institute, Cambridge, MA, USA, <http://software.broadinstitute.org/morpheus>)에 의한 평균 연결(average linkage) 및 one minus Pearson 상관관계(correlation)를 사용하여 클러스터링을 수행했다.
- [0069] 4. 성장 및 화학적 감수성 테스트
- [0070] 시험관 내 스트레스 조건에 대한 각 포스파타아제 돌연변이의 감수성을 분석하기 위해, *C. 네오포르만스*를 30°C에서 16시간 동안 성장시키고, 연속적으로 10배( $1-10^4$ ) 희석하고, 하기 환경 스트레스 유도 화학물질을 포함하는 YPD 한천 배지에 스팟 접종하였다. (Jung, K. W. et al. Systematic functional profiling of

transcription factor networks in *Cryptococcus neoformans*. Nat. Commun. 6, 6757 (2015) 방법 참고)

[0071] [환경 스트레스 유도 화학물질]

포도당 과다(YPD) 또는 포도당 결핍(효모 추출물-펩톤; YP) 조건 하에서 삼투압 스트레스(소르비톨) 및 양이온/염 스트레스 (NaCl 및 KCl);

[0073] 산화 스트레스 [과산화수소( $H_2O_2$ ), tert-butyl hydroperoxide(유기 과산화물), menadione(superoxide anion generator), diamide(thiol-specific oxidant)];

[0074] 독성 중금속 스트레스 [황산 카드뮴 ( $CdSO_4$ )]; genotoxic 스트레스 (methyl methanesulphonate 및 hydroxyurea);

[0075] 막 불안정화 스트레스 [sodium dodecyl sulfate (SDS)];

[0076] 세포벽 불안정화 스트레스 (calcofluor white 및 Congo red);

[0077] ER 스트레스 [tunicamycin 및 dithiothreitol(DTT)];

[0078] 및 항진균제 감수성(fluidioxonil, fluconazole, amphotericin B, 및 flucytosine).

[0079] 세포를 30°C에서 1일 내지 5일간 배양하고 매일 사진을 찍었다. 다양한 온도에서 C. 네오포르만스 균주의 성장을 조사하기 위해 YPD 한천 배지에서 연속 희석된 세포를 스팟 접종하고 25°C, 37°C 및 39°C에서 배양하고 매일 배양 사진을 찍었다. 포스파타아제 돌연변이체의 성장 속도를 정량적으로 조사하기 위해 WT 균주 (H99S) 및 포스파타아제 돌연변이체를 30°C에서 밤새 배양하고 신선한 액체 YPD 배지에 계대 배양했다[광학밀도  $OD_{600} = 0.2$ ]. 세포는 다중 채널 생물 반응기(Biosan Laboratories, Inc., Warren, MI, USA)에서 30°C 또는 37°C에서 배양하였으며 OD 600nm는 40 내지 90 시간 동안 자동 측정하였다.

[0081] 5. 교배 분석 (mating assay)

[0082] 일방 교배 효율(unilateral mating efficiency)을 측정하기 위해, H99S 균주 및 MATa KN99a 균주로 구축된 각 혈청형 A MATa 포스파타아제 돌연변이를 YPD 배지에서 30°C로 16시간 동안 배양하고, PBS로 2회 세척하였다. 세포를 동일한 농도 ( $10^7$  cells/ml)로 혼합하고, V8 mating 배지(pH 5)에 스팟 접종한 후 7 내지 14 일 동안 암실에서 25°C로 배양하였다. 매주 필라멘트 성장(filamentous growth)을 관찰하고 사진을 촬영하였다.

[0084] 6. In vitro 병독성 인자 생산 분석

[0085] 캡슐 생산 효율성을 테스트하기 위해, 각 돌연변이를 30°C에서 배양하고, Dulbecco's modified Eagle agar 배지에 스팟 접종하고 37°C에서 2일간 배양하였다. 배양된 세포를 스크랩하고, 중류수로 세척하고, 10% 포르말린으로 고정시키고 중류수로 다시 세척하였다. 고정된 세포를  $3 \times 10^8$  cells/ml 농도로 조정하고 세포 혼탁액 50  $\mu$ l를 microhaematocrit capillary tube(Kimble Chase, Rockwood, TN, USA)에 주입했다. 중력으로 세포를 농축(pack)시키기 위해 Capillary tube를 10일 동안 수직으로 배치하였다. 농축된 세포(packed cell)의 부피 비율(packed cell phase/total phase)를 측정하고, 야생형 H99S 균주의 농축세포용적(packed cell volume)으로 각 비율을 정규화하여 각 돌연변이체의 상대적인 농축세포용적(packed cell volume)을 계산하였다. 상대적인 농축된 세포 부피 비율의 통계적 차이는 Prism 8 (GraphPad, San Diego, USA)의 Bonferroni's multiple comparison test를 사용한 일원배치 분산 분석(one-way analysis of variance, ANOVA)에 의해 결정되었다.

[0086] 다른 배지에서 캡슐 생산 효율을 측정하기 위해, 각 배양액 5 $\mu$ l를 Littman's agar medium 및 FBS agar medium(10% foetal bovine serum 및 90% PBS)에 스팟 접종하고, 37°C에서 2일간 배양하고, 세포를 스크랩하고, 중류수로 재현탁하였다. 재현탁한 세포는 India ink (BactiDrop; Remel, San Diego, CA, USA)로 염색하고 DIC (Differential Interference Contrast) 현미경(BX51, Olympus, Tokyo, Japan)으로 관찰했다. 캡슐 두께는 캡슐 직경에서 세포 직경을 빼서 측정했다(총 직경-세포체 직경). 캡슐 두께의 정량적 측정을 위해 H99S 균주 및 각 포스파타아제 돌연변이체 50 개의 세포를 측정했다.

[0087] 멜라닌 생산 효율을 조사하기 위해 각 포스파타아제 돌연변이를 YPD 배지에서 30°C로 16시간 동안 배양하고 PBS로 세척한 다음 0.1% 또는 0.2% 포도당을 포함하는 Niger seed, dopamine, 또는 epinephrine 배지(리터당 1g L-아스파라긴, 3g  $KH_2PO_4$ , 250mg  $MgSO_4$ , 1mg thiamine, 5 $\mu$ g biotin, 100mg L-DOPA 또는 epinephrine hydrochloride)에 3 $\mu$ l를 스팟 접종하였다. 스팟 접종된 세포를 37°C에서 배양하고 1일 내지 3 일 후에 사진을

찍었다. 37°C에서 성장 결함이 있는 포스파타아제 돌연변이체는 30°C에서 멜라닌 및 캡슐 생산 효율을 조사했다.

[0088] 우레이아제(Urease) 생산을 확인하기 위해 각 포스파타아제 돌연변이체를 30°C에서 16시간 배양하고 PBS로 세척한 후, 10ml 의료용 투브(SPL Life Sciences, 경기도, 대한민국)에 담긴 액체 Christensen's media에 접종(세포 10<sup>6</sup>개)한 다음 진탕 배양기에서 30°C로 1 내지 3 일 동안 배양하고 매일 사진을 찍었다.

#### 7. 발현 분석

[0091] 멜라닌 조절 유전자 (*LAC1*, *HOB1*, *MBS1*, *BZP4*)의 발현 수준을 측정하기 위해 H99S 균주 및 포스파타아제 돌연변이체(*mre11Δ*, *ccr4Δ*, *vps29Δ*, *yvh1Δ*, *fbp26Δ*, *inp5201Δ*, *cac1Δ*, *ptp2Δ*, *ptc2Δ*, *dbr1Δ*, *ppg1Δ*, *nem1Δ* 및 *gua1Δ*)를 YPD 액체 배지에서 30°C로 16시간 동안 배양하고, 신선한 액체 YPD 배지로 서브컬쳐하였다 (OD<sub>600</sub> = 0.2).

[0092] 세포가 초기 로그 단계(logarithmic phase)(OD<sub>600</sub> = 0.6 내지 0.8)에 도달하면 세포 배양의 절반을 샘플링하여 기본 샘플을 준비했다. 나머지 세포 배양물을 PBS로 3회 세척하고 영양 결핍 조건(글루코스가 없는 황산암모늄이 포함된 YNB 배지)에서 2시간 동안 배양한 다음, 즉시 액체 질소로 펠릿화하고 동결 건조했다.

[0093] BBB 통과 관련 유전자(BBB crossing-related gene: *ITR1A*, *ITR3C*, *MPR1*, *FZC31*, *GAT201* 및 *PDR802*)의 발현 수준을 측정하기 위해, H99S 균주 및 포스파타아제 돌연변이[*sit4Δ* (YSB4094), *siw14Δ* (YSB4570), *ssu72Δ* (YSB4242), *gda1Δ* (YSB4750) 및 *xpp1Δ* (YSB5941)]를 30°C로 16시간 동안 YPD 브로스에서 배양하고, 50ml의 신선한 YPD 브로쓰에서 서브컬쳐하고, OD<sub>600</sub>이 0.8에 도달할 때까지 추가 배양하였다. 그 다음 배양액을 25ml 투브 2개에 분리하고 원심 분리한 다음 멸균 중류수로 3 회 세척하였다.

[0094] 하나의 투브는 기본 발현 수준을 모니터링하기 위해 액체 질소에 보관되었고, 다른 투브는 10% FBS를 포함하는 동일한 부피의 RPMI1640 배지에 재현탁되었다. 120 rpm으로 수평 진탕(horizontal shaking)하는 CO<sub>2</sub> 배양기에서 37°C로 3시간 배양한 후, 세포를 원심 분리하고 밤새 동결 건조시켰다. 시판되는 RNA 추출 키트(easy-BLUE, iNTRON Biotechnology, Gyeonggi, Korea)를 사용하여 각 샘플에서 Total RNA를 추출하고, RTase(Thermo Scientific, Waltham, MA, USA)를 사용하여 cDNA를 합성했다. 서열번호 219 내지 238의 표적 유전자 특이적 프라이머쌍을 사용하여 qRT-PCR(Quantitative reverse transcription-PCR)을 수행했다. 상기 표적 유전자 특이적 프라이머쌍은 Genome-wide functional analysis of phosphatases in the pathogenic fungus *Cryptococcus neoformans*, Bahn YS et al., Nature Communications volume 11, Article number: 4212 (2020)를 참고할 수 있다.

#### 8. cwMPs (cell wall mannoproteins) O-linked 글리칸의 HPLC 분석

[0097] cwMP에서 O-linked 글리칸의 분석은 Thak, E. J., Kim, J., Lee, D. J., Kim, J. Y. & Kang, H. A. Structural analysis of N-/O-glycans assembled on proteins in yeasts. J. Microbiol. 56, 11-23 (2018)에 기재된 방법으로 수행하였다.

[0098] O-linked 올리고사카라이드(oligosaccharide)는 개질된(modified) 하이드라진분해(hydrazinolysis)에 의해 정제된 cwMP로부터 방출되었다. 건조된 cwMP (50μg)를 hydrazine monohydrate에 재현탁하고 60°C로 4시간 동안 배양했다. 반응물을 냉각 및 건조(desiccation)시키고, 펠렛을 NaHCO<sub>3</sub>에 용해시키고, (CH<sub>3</sub>CO)<sub>2</sub>O와 혼합하고, 얼음 위에서 30분 동안 배양하였다.

[0099] O-글리칸을 Dowex 50WX8-400 resins (Sigma-Aldrich, St. Louis, MO, USA)로 정제하고 2-AA로 표지했다 (labelled). 정제된 O-글리칸은 90% solvent A(아세토 니트릴 중 2% 아세트산 및 1% tetrahydrofuran) 및 10% solvent B (물에서 5% 아세트산, 3% triethylamine 및 1% tetrahydrofuran)을 사용하여 TSKgel Amide-80 컬럼 (0.46 × 25cm, Tosoh Corp., Tokyo, Japan)에서 HPLC를 사용하여 분석하였다. 샘플 주입 후에, solvent B의 비율을 1.0 ml/min의 유속에서 60 분에 걸쳐 90 %로 증가시키고 O-글리칸을 형광검출기(2475, Waters Corp., Milford, MA, USA)로 검출했다. 여기 파장 및 방출 파장은 각각 360 nm 및 425 nm이다. 크로마토그래피 소프트웨어 (Empower 2, Waters)를 사용하여 데이터를 분석했다.

#### 9. 곤충모델 기반 in vivo 병독성 분석

[0102] 체중이 200 내지 300mg에 이르고 종령 유충기에 있는(final larval instar) 최소 15 개의 *G. mellonella* 애벌

레(Vanderhorst Wholesale, Inc., Saint Marys, OH, USA)를 사용했다. 각각의 포스파타아제 변이체 및 야생형 H99S 균주를 30°C에서 밤새 인큐베이션하고, 펠릿화하고, PBS로 3 회 세척하고,  $10^6$  cells/ml의 농도로 PBS에 재현탁시켰다. 각 유충마다 4000 개의 *C. neoformans* 세포를  $10\mu\ell$  바늘 및 반복 디스펜서가 장착된  $100\mu\ell$  실린지(PB600-1, Hamilton Company, Reno, NV, USA)를 사용하여 두 번째에서 마지막 전각(proleg) 사이에 주입했다. 음성 대조군 *G. mellonella*는 PBS 만 주입했다. 김염된 유충을 페트리 접시에 놓고 가습 환경에서 37°C로 배양하면서 매일 모니터링했다. 애벌레는 겸게 변하고 만졌을 때 아무런 움직임도 보이지 않는 상태에 이르면 사망한 것으로 판정하였다. 실험 중에 번데기화된(pupate) 유충은 통계 분석을 위해 겸열하였다. Prism 8 (GraphPad, San Diego, CA, USA)을 사용하여 생존 곡선을 설명하고 로그 순위 테스트(Mantel-Cox)로 분석했다. 각 포스파타아제 돌연변이마다 두 개의 독립적인 균주를 조사했다.

[0104] 10. STM-기반 쥐과(murine) 감염성 분석

41 개의 고유한 시그니처-태그 NAT 선별 마커(signature-tagged NAT selection marker)가 있는 포스파타아제 돌연변이체 세트를 30°C에서 16 시간 동안 배양했다. *ste50Δ* (STM # 282) 및 *ire1Δ* (STM # 169) 돌연변이체는 각각 독성(virulent) 및 무독성(avirulent) 대조군 균주로 사용되었다.

돌연변이체와 대조군 균주를 펠릿화하고, PBS로 3 회 세척하고, PBS에 재현 탁한 다음 동일한 양( $5 \times 10^5$  cells)으로 풀링(pool)하였다.

7 주령 암컷 A/J 마우스 (Jackson Laboratory, Bar Harbor, ME, USA) Avertin (2,2,2-tribromoethanol, T48402, Sigma-Aldrich, St. Louis, MO, USA)의 복강 내 주사로 마취됨)를 비강 내 흡입(intranasal inhalation)을 통해 세포수  $5 \times 10^5$ 의 풀링된(pooled) 돌연변이체( $50\mu\ell$  PBS)로 감염시켰다.

투입 포스파타아제 게놈 DNA 라이브러리(input phosphatase genomic DNA library)를 준비하기 위해, 풀링된 균주  $200\mu\ell$ 를  $100\mu\text{g}/\text{ml}$  chloramphenicol이 포함된 YPD 배지에 도말(spread)하고 30°C에서 3 일 동안 배양한 다음 스크래핑하여 수집했다.

감염된 마우스들은 14 dpi에 이르렀을 때 인도적 실험 종결을 위해 과량의 마취제 투여 (Avertin)로 희생시켰다. 감염된 마우스의 폐와 뇌를 회수하고 5ml의 PBS로 균질화하였다. 그 다음 균질화 된 조직을  $100\mu\text{g}/\text{ml}$  클로람페니콜을 함유하는 YPD 배지에 도말(spread)하고 30°C에서 3 일 동안 배양한 다음 스크래핑하여 수집했다. CTAB(cetyl trimethylammonium bromide) 방법을 사용하여 수집된 투입(input) 및 산출(output) 세포에서 게놈 DNA를 추출했다.

qRT-PCR 시스템(CFX96, Bio-Rad, Hercules, CA, USA)을 사용하여 태그 특이 적 프라이머로 Quantitative PCR을 수행했다. STM 점수는  $2^{-\Delta\Delta Ct}$  방법을 사용하여 계산되었으며, 게놈 DNA 양의 상대적 변화를 계산하였다. 투입 (input) 대 산출(output) 샘플의 평균 폴드-변화는 로그 점수 ( $\log_2 2^{-(\text{Ct}_{\text{Target}}-\text{Ct}_{\text{Actin}}) \text{ output} - (\text{Ct}_{\text{Target}}-\text{Ct}_{\text{Actin}}) \text{ input}}$ )로 계산되었다.

[0112] 11. In vitro BBB 통과(BBB-crossing) 및 BBB 부착(BBB-adhesion) 분석

인간 뇌 미세혈관 내피세포(hCMEC/D3 세포주, Merck & Co., Kenilworth, NJ, USA)는 기존에 알려진 방법을 기반으로 다음과 같이 배양되었다.

요약하면, EGM-2 배지(Lonza Group, Basel, Switzerland)에서  $5 \times 10^4$  hCMEC/D3 세포를 준비하고, BBB-통과 분석을 위해 콜라겐(Corning, Inc.)으로 코팅된  $8\mu\text{m}$  다공성막(BD Biosciences)에 파종(seeding)하고, BBB-접착 분석을 위해 12웰 플레이트(BD Biosciences)에 파종했다. 파종 다음날, 2.5% 인간 혈청이 보충된 EGM-2 배지로 교체하고 4 일 동안 추가로 배양하였다. *C. neoformans* 접종 하루 전, 배지를 0.5x 희석된 EGM-2 배지로 교체하고 세포를 37°C 및 5% CO<sub>2</sub>에서 유지하였다. 세포 사이 밀착연접(tight junction)의 무결성(integrity)은 epithelial volt/ohm meter(EVOM2 device, World Precision Instruments)에 의해 ~200 Ω/cm<sup>2</sup>의 TEER(trans-endothelial electrical resistance)가 측정됨을 확인함으로써 검증되었다.

[0115] BBB-통과 분석을 위해, *C. neoformans* WT (H99), *mpr1Δ* 돌연변이 및 포스파타아제 결실 돌연변이의  $5 \times 10^5$  세포를 PBS 500 μl에 첨가하고 다공성막에 접종하였다. 5% CO<sub>2</sub> 및 37°C에서 24시간 배양한 후 CFU를 계수하여

다공성막을 통과하는 세포수를 측정했다. 세포 접종 전후에는 전술한 바와 같이 TEER에 의해 tight junction 무결성을 측정하였다. BBB 이동 비율(BBB migration ratio)은 각 테스트 균주의 output CFU를 WT의 input CFU로 나누어 계산했다.

[0116] BBB 부착 분석을 위해,  $5 \times 10^5$  세포를 포함하는  $100\mu\text{l}$  PBS를 12웰 플레이트에서 성장한 hCMEC/D3 세포의 단층(monolayer)에 접종하고 5% CO<sub>2</sub> 및 37°C 조건에서 24시간 동안 배양했다. 배양 후, 배양물을 PBS로 3회 세척하고, 37°C에서 30분 동안 멸균 증류수로 인큐베이션하여 숙주 세포를 용해(burst)시키고 수집하여 CFU 정량화를 실시하였다. BBB-부착율(BBB-adhesion ratio)은 각 테스트 균주의 부착된 CFU를 WT C. 네오포르만스의 CFU로 나누어 계산하였다.

[0118] 12. C. 네오포르만스 포스파타아제 데이터에 대한 데이터베이스 구축

[0119] C. 네오포르만스 포스파타아제 돌연변이 라이브러리의 표현형 및 게놈 데이터(phenomic and genomic data)에 대한 접근을 용이하게하기 위해 *Cryptococcus neoformans* Phosphatase Phenome Database (<http://phosphatase.cryptococcus.org>) 및 *Cryptococcus neoformans* Phenome Gateway Database (<http://www.cryptococcus.org>)를 개발했다.

[0121] 13. 통계분석

[0122] GraphPad Prism 버전 8을 사용하여 통계 분석을 수행했다. 캡슐 생산 분석 및 발현 분석을 위해 Bonferroni의 다중 비교 테스트가 포함된 ANOVA가 사용되었다. 살충 분석의 통계 분석은 로그 순위(Mantel-Cox) 테스트를 사용했다. 뮤린 STM 분석에서 *ste50Δ* (양성 대조군)와 돌연변이체간의 통계적 유의성은 Bonferroni의 다중 비교 테스트와 함께 일원 분산 분석에 의해 계산되었다.

[0124] 실시예 1: *C.neoformans*의 포스파타아제 유전자 동정

[0125] FungiDB C. 네오포르만스(H99 균주) 게놈 데이터베이스 (<http://fungidb.org/fungidb>)에서 포스파타아제로 주석표시된 유전자를 조사하고, 이들의 단백질 서열을 분석하여 포스파타아제 관련 도메인의 존재를 검증하였다. 이를 통해 C. 네오포르만스의 139개 추정 포스파타아제 유전자를 선별하였다. (하기 표 2 참고)

## 표 2

number	H99 ID	Gene name	number	H99 ID	Gene name
1	CNAG_00057	<i>FPP1</i>	71	CNAG_03262	<i>INM101</i>
2	CNAG_01519	<i>EEP1</i>	72	CNAG_03296	<i>SIW14</i>
3	CNAG_02681	<i>APH3</i>	73	CNAG_03396	<i>NPY1</i>
4	CNAG_02944	<i>APH1</i>	74	CNAG_03491	<i>NDX3</i>
5	CNAG_03673	<i>PPZ1</i>	75	CNAG_03541	<i>PTC7</i>
6	CNAG_04354	<i>XPP1</i>	76	CNAG_03657	<i>LDP1</i>
7	CNAG_04453	<i>IPC1</i>	77	CNAG_03679	<i>ACY1</i>
8	CNAG_04782	<i>PPU1</i>	78	CNAG_03706	<i>GLC7</i>
9	CNAG_06115	<i>APH4</i>	79	CNAG_03765	<i>TPS2</i>
10	CNAG_06967	<i>APH2</i>	80	CNAG_03871	<i>LTP1</i>
11	CNAG_07629	<i>EPP1</i>	81	CNAG_03893	<i>SDP102</i>
12	CNAG_00076	<i>NDX6</i>	82	CNAG_03949	<i>PHO13</i>
13	CNAG_00146	<i>PBY101</i>	83	CNAG_03957	-
14	CNAG_00175	-	84	CNAG_03963	<i>OCA1</i>
15	CNAG_00182	<i>VPS29</i>	85	CNAG_03984	<i>YCH1</i>
16	CNAG_00263	<i>PTP4</i>	86	CNAG_03996	<i>GDA1</i>
17	CNAG_00265	<i>IDI1</i>	87	CNAG_04049	<i>PPP5</i>
18	CNAG_00316	<i>HAM1</i>	88	CNAG_04104	<i>AKP3</i>
19	CNAG_00390	<i>YMR1</i>	89	CNAG_04113	<i>PTP3</i>
20	CNAG_00408	<i>PPH3</i>	90	CNAG_04120	<i>FCP1</i>
21	CNAG_00427	<i>PTC5</i>	91	CNAG_04221	<i>FBP26</i>
22	CNAG_00498	<i>CDC14</i>	92	CNAG_04224	<i>PSR1</i>

23	CNAG_00500	<i>PTC1</i>	93	CNAG_04236	-
24	CNAG_00533	<i>TIM50</i>	94	CNAG_04268	<i>APN2</i>
25	CNAG_00554	<i>ISCI</i>	95	CNAG_04475	<i>HPP3</i>
26	CNAG_00790	<i>DPP1</i>	96	CNAG_04718	<i>PCD101</i>
27	CNAG_00810	<i>HAD4</i>	97	CNAG_04731	<i>PCD102</i>
28	CNAG_01054	<i>SSU72</i>	98	CNAG_04732	<i>PCD1</i>
29	CNAG_01177	<i>NEM1</i>	99	CNAG_04796	<i>CNA1</i>
30	CNAG_01203	<i>YVH1</i>	100	CNAG_04833	<i>TEP1</i>
31	CNAG_01254	<i>OCA101</i>	101	CNAG_04852	<i>NDX4</i>
32	CNAG_01314	<i>PPP1</i>	102	CNAG_05080	<i>CWH43</i>
33	CNAG_01346	<i>HPP2</i>	103	CNAG_05155	<i>PTP2</i>
34	CNAG_01357	<i>SDP101</i>	104	CNAG_05286	<i>LDP2</i>
35	CNAG_01412	<i>PAH1</i>	105	CNAG_05301	<i>CRN1</i>
36	CNAG_01436	<i>SIT4</i>	106	CNAG_05306	<i>PTC701</i>
37	CNAG_01496	<i>PPT1</i>	107	CNAG_05529	<i>HAD5</i>
38	CNAG_01498	<i>AKP2</i>	108	CNAG_05567	<i>PPP3</i>
39	CNAG_01518	<i>PMU1</i>	109	CNAG_05568	<i>PRY1</i>
40	CNAG_01532	<i>INP52</i>	110	CNAG_05617	<i>GPI13</i>
41	CNAG_01572	<i>CDC25</i>	111	CNAG_05639	<i>PPS1</i>
42	CNAG_01604	-	112	CNAG_05692	<i>LCB3</i>
43	CNAG_01744	<i>HAD1</i>	113	CNAG_05892	<i>SHB17</i>
44	CNAG_01823	<i>INM1</i>	114	CNAG_06064	<i>PTP1</i>
45	CNAG_01864	<i>NDX5</i>	115	CNAG_06065	<i>SAC101</i>
46	CNAG_01877	<i>GUA1</i>	116	CNAG_06080	<i>SAC1</i>
47	CNAG_01900	<i>NDX1</i>	117	CNAG_06122	<i>HAD6</i>
48	CNAG_01901	<i>NDX2</i>	118	CNAG_06132	<i>HAD8</i>
49	CNAG_02001	<i>INP5203</i>	119	CNAG_06141	<i>DUT101</i>
50	CNAG_02109	<i>INP5201</i>	120	CNAG_06232	<i>HPP1</i>
51	CNAG_02161	<i>ASP1</i>	121	CNAG_06236	<i>NGL3</i>
52	CNAG_02177	<i>PPH22</i>	122	CNAG_06251	<i>PPP4</i>
53	CNAG_02236	<i>PPG1</i>	123	CNAG_06418	<i>PTC6</i>
54	CNAG_02375	<i>FIG4</i>	124	CNAG_06499	<i>DPP101</i>
55	CNAG_02453	<i>PTP5</i>	125	CNAG_06549	<i>CET1</i>
56	CNAG_02470	<i>PPP2</i>	126	CNAG_06587	<i>OCA2</i>
57	CNAG_02487	<i>PHS1</i>	127	CNAG_06617	-
58	CNAG_02490	<i>MRE11</i>	128	CNAG_06647	<i>CDC1</i>
59	CNAG_02545	<i>IPP1</i>	129	CNAG_06698	<i>HAD9</i>
60	CNAG_02740	<i>RPP1</i>	130	CNAG_06900	-
61	CNAG_02772	<i>PMU101</i>	131	CNAG_06966	<i>AKP1</i>
62	CNAG_02861	<i>HIS2</i>	132	CNAG_06969	<i>HAD7</i>
63	CNAG_02878	<i>GEP4</i>	133	CNAG_07317	<i>INP5202</i>
64	CNAG_02986	<i>YSA1</i>	134	CNAG_07354	<i>MET22</i>
65	CNAG_03014	<i>CAX4</i>	135	CNAG_07372	<i>OXK1</i>
66	CNAG_03052	<i>PTC2</i>	136	CNAG_07434	<i>HAD3</i>
67	CNAG_03078	<i>NPP1</i>	137	CNAG_07547	<i>GPM1</i>
68	CNAG_03190	<i>CCR4</i>	138	CNAG_07692	<i>YND1</i>
69	CNAG_03202	<i>CAC1</i>	139	CNAG_07740	<i>HAD2</i>
70	CNAG_03222	<i>DBR1</i>			

[0127] C. 네오포르만스의 포스파타아제 유전자 분석 결과 다음 3가지 사실을 발견하였다. (1) C. 네오포르만스의 포스

파타아제의 보존 정도는 키나아제보다는 낮지만 전사인자(TF)보다는 높다, (2) C. 네오포르만스의 티로신 키나아제의 종류는 3개에 불과하여 부족함에도 불구하고 21개의 단백질 티로신 포스파타아제(PTP)가 포함되어 있다, (3) C. 네오포르만스는 다른 진균류와 유사한 수의 추정 포스파타아제 유전자를 포함하고 있다.

#### [0129] 실시예 2: C. 네오포르만스 포스파타아제 돌연변이 라이브러리 구축

[0130] 상기 실시예 1의 139개 추정 포스파타아제 유전자에 대한 결실 돌연변이체를 제작하고 *in vitro* 및 *in vivo* 표현형 특징(phenotypic trait)을 분석하였다.

[0131] 139 개의 추정 포스파타아제 유전자 중 15 개(*PTP1*, *PTP2*, *YSA1*, *CNA1*, *CAC1*, *TPS2*, *CCR4*, *HAD1*, *EPP1*, *XPP1*, *APH1*, *ASPI*, *ISC1*, *PPG1*, *PPH3*)는 이전 연구에서 기능적으로 특성화되었다. 또한 이전 연구에서 키나아제 돌연변이 라이브러리 구축을 위해 키나아제 도메인이 있는 2개의 포스파타아제 유전자(*OXK1* 및 *Fbp26*) 결실 균주를 제작하였고, TF 돌연변이 라이브러리 구축을 위해 DNA 결합 도메인이 있는 포스파타아제 유전자(*APN2*) 결실 균주를 제작하였다.

[0132] 종전 연구에서 구축한 11개의 시그니처 태그 돌연변이 균주(*PTP1*, *PTP2*, *OXK1*, *Fbp26*, 및 *APN2*에 대해 각각 2개; *CAC1*에 대해 1개) 외에, 일련의 고유 올리고뉴클레오티드 시그니처 태그를 포함하는 노르세오프리신 저항성 마커(nourseothricin resistance marker)를 사용하여 대규모 상동성 재조합 기반 유전자 결실(large-scale homologous recombination-based gene deletion)을 수행했다. 고품질의 포스파타아제 돌연변이 라이브러리를 구축하기 위해 각 유전자에 대해 2개 이상의 독립적인 돌연변이를 제작하고 진단 PCR(diagnostic PCR) 및 Southern blot 분석을 통해 유전자형을 확인하였다.

[0133] 그 결과 109개의 포스파타아제를 대표하는 219개의 돌연변이 균주가 새롭게 제작되었다. 이전에 제작된 11개 변이 균주와 더불어 114개의 포스파타아제를 대표하는 230개의 돌연변이 균주에 대한 분석이 수행되었다. (25개는 제외되었으며 이유는 후술함) 하기 표 3에서, 3741 및 2744는 control이며, 4341, 4342, 1429, 1430, 4288, 4289, 275, 277, 1704, 1705, 42는 종전 연구에서 제작된 11개 균주이고, 나머지는 새롭게 제작된 219개 변이 균주이다.

#### 표 3

Gene ID	Gene name	Strain names (YSB #)	Genotypes	Parents
CNAG_07507	<i>STE50</i>	3741	<i>MATα ste50Δ::NAT-STM#234</i> (STM positive control)	H99S
CNAG_03670	<i>IRE1</i>	2744	<i>MATα ire1Δ::NAT-STM#169</i> (STM negative control)	H99S
CNAG_04221	<i>Fbp26</i>	4341, 4342	<i>MATα fbp26Δ::NAT-STM#146</i> (previously constructed)	H99S
CNAG_04268	<i>APN2</i>	1429, 1430	<i>MATα apn2Δ::NAT-STM#102</i> (previously constructed)	H99S
CNAG_07372	<i>OXK1</i>	4288, 4289	<i>MATα oxk1Δ::NAT-STM#122</i> (previously constructed)	H99S
CNAG_05155	<i>PTP2</i>	275, 277	<i>MATα ptp2Δ::NAT-STM#184</i> (previously constructed)	H99S
CNAG_06064	<i>PTP1</i>	1704, 1705	<i>MATα ptp1Δ::NAT-STM#125</i> (previously constructed)	H99S
CNAG_03202	<i>CAC1</i>	42	<i>MATα cac1Δ::NAT-STM#159</i> (previously constructed)	H99S
CNAG_02986	<i>YSA1</i>	5013, 5014	<i>MATα ysa1Δ::NAT-STM#116</i>	H99S
CNAG_00057	<i>FPP1</i>	4596, 4597	<i>MATα fpp1Δ::NAT-STM#184</i>	H99S
CNAG_01519	<i>EEP1</i>	4659, 4662	<i>MATα eep1Δ::NAT-STM#191</i>	H99S
CNAG_02681	<i>APH3</i>	4051, 4052	<i>MATα aph3Δ::NAT-STM#150</i>	H99S
CNAG_02944	<i>APH1</i>	3478, 3479	<i>MATα aph1Δ::NAT-STM#191</i>	H99S
CNAG_03673	<i>PPZ1</i>	5788, 5789	<i>MATα ppz1Δ::NAT-STM#295</i>	H99S
CNAG_04354	<i>XPP1</i>	5941, 5942, 6628	<i>MATα xpp1Δ::NAT-STM#234</i>	H99S
CNAG_04782	<i>PPU1</i>	6630, 6631	<i>MATα ppu1Δ::NAT-STM#212</i>	H99S
CNAG_06967	<i>APH2</i>	3484, 3485	<i>MATα aph2Δ::NAT-STM#159</i>	H99S

CNAG_07629	<i>EPP1</i>	4922, 4924	<i>MAT<sub>a</sub> epp1Δ ::NAT-STM#240</i>	H99S
CNAG_00076	<i>NDX6</i>	5140, 5141	<i>MAT<sub>a</sub> ndx6Δ ::NAT-STM#159</i>	H99S
CNAG_00146	<i>PBY101</i>	5153, 5154	<i>MAT<sub>a</sub> pby101Δ ::NAT-STM#5</i>	H99S
CNAG_00182	<i>VPS29</i>	4881, 4882	<i>MAT<sub>a</sub> vps29Δ ::NAT-STM#295</i>	H99S
CNAG_00263	<i>PTP4</i>	5387, 5388	<i>MAT<sub>a</sub> ptp4Δ ::NAT-STM#123</i>	H99S
CNAG_00316	<i>HAM1</i>	5184, 5186	<i>MAT<sub>a</sub> ham1Δ ::NAT-STM#212</i>	H99S
CNAG_00390	<i>YMR1</i>	4262, 4554	<i>MAT<sub>a</sub> ymr1Δ ::NAT-STM#5</i>	H99S
CNAG_00408	<i>PPH3</i>	3776, 3778	<i>MAT<sub>a</sub> pph3Δ ::NAT-STM#146</i>	H99S
CNAG_00427	<i>PTC5</i>	5943, 5944	<i>MAT<sub>a</sub> ptc5Δ ::NAT-STM#43</i>	H99S
CNAG_00498	<i>CDC14</i>	3620, 5359	<i>MAT<sub>a</sub> cdc14Δ ::NAT-STM#116</i>	H99S
CNAG_00500	<i>PTC1</i>	289, 290	<i>MAT<sub>a</sub> ptc1Δ ::NAT-STM#146</i>	H99S
CNAG_00554	<i>ISC1</i>	4264, 4265	<i>MAT<sub>a</sub> isc1Δ ::NAT-STM#43</i>	H99S
CNAG_00810	<i>HAD4</i>	4194, 4197	<i>MAT<sub>a</sub> had4Δ ::NAT-STM#116</i>	H99S
CNAG_01054	<i>SSU72</i>	4242, 4243	<i>MAT<sub>a</sub> ssu72Δ ::NAT-STM#119</i>	H99S
CNAG_01177	<i>NEM1</i>	4771, 4772	<i>MAT<sub>a</sub> nem1Δ ::NAT-STM#177</i>	H99S
CNAG_01203	<i>YVH1</i>	4590, 4591	<i>MAT<sub>a</sub> yvh1Δ ::NAT-STM#5</i>	H99S
CNAG_01254	<i>OCA101</i>	4075, 4077	<i>MAT<sub>a</sub> oca101Δ ::NAT-STM#210</i>	H99S
CNAG_01314	<i>PPP1</i>	5058, 5059	<i>MAT<sub>a</sub> ppp1Δ ::NAT-STM#184</i>	H99S
CNAG_01346	<i>HPP2</i>	4728, 4730	<i>MAT<sub>a</sub> hpp2Δ ::NAT-STM#204</i>	H99S
CNAG_01357	<i>SDP101</i>	3613, 3614	<i>MAT<sub>a</sub> sdp101Δ ::NAT-STM#6</i>	H99S
CNAG_01436	<i>SIT4</i>	4094, 4095	<i>MAT<sub>a</sub> sit4Δ ::NAT-STM#232</i>	H99S
CNAG_01496	<i>PPT1</i>	5554, 5555	<i>MAT<sub>a</sub> ppt1Δ ::NAT-STM#184</i>	H99S
CNAG_01498	<i>AKP2</i>	5064, 5069	<i>MAT<sub>a</sub> akp2Δ ::NAT-STM#6</i>	H99S
CNAG_01518	<i>PMU1</i>	4026, 4027	<i>MAT<sub>a</sub> pmu1Δ ::NAT-STM#205</i>	H99S
CNAG_01532	<i>INP52</i>	4793, 4794	<i>MAT<sub>a</sub> inp52Δ ::NAT-STM#201</i>	H99S
CNAG_01744	<i>HAD1</i>	4665, 4666	<i>MAT<sub>a</sub> had1Δ ::NAT-STM#204</i>	H99S
CNAG_01823	<i>INM1</i>	4608, 4609	<i>MAT<sub>a</sub> inm1Δ ::NAT-STM#191</i>	H99S
CNAG_01864	<i>NDX5</i>	5466, 5467	<i>MAT<sub>a</sub> ndx5Δ ::NAT-STM#150</i>	H99S
CNAG_01877	<i>GUA1</i>	6161, 6163	<i>MAT<sub>a</sub> gua1Δ ::NAT-STM#213</i>	H99S
CNAG_01900	<i>NDX1</i>	5248, 5249	<i>MAT<sub>a</sub> ndx1Δ ::NAT-STM#210</i>	H99S
CNAG_01901	<i>NDX2</i>	5504, 5505	<i>MAT<sub>a</sub> ndx2Δ ::NAT-STM#211</i>	H99S
CNAG_02001	<i>INP5203</i>	4692, 4693	<i>MAT<sub>a</sub> inp5203Δ ::NAT-STM#205</i>	H99S
CNAG_02109	<i>INP5201</i>	4607, 4929	<i>MAT<sub>a</sub> inp5201Δ ::NAT-STM#122</i>	H99S
CNAG_02161	<i>ASP1</i>	5250, 5251	<i>MAT<sub>a</sub> asp1Δ ::NAT-STM#240</i>	H99S
CNAG_02236	<i>PPG1</i>	5772, 5940	<i>MAT<sub>a</sub> ppg1Δ ::NAT-STM#123</i>	H99S
CNAG_02375	<i>FIG4</i>	4574, 4575	<i>MAT<sub>a</sub> fig4Δ ::NAT-STM#150</i>	H99S
CNAG_02453	<i>PTP5</i>	5469, 5470	<i>MAT<sub>a</sub> ptp5Δ ::NAT-STM#191</i>	H99S
CNAG_02470	<i>PPP2</i>	4819, 4822	<i>MAT<sub>a</sub> ppp2Δ ::NAT-STM#290</i>	H99S
CNAG_02487	<i>PHS1</i>	4022, 4023	<i>MAT<sub>a</sub> phs1Δ ::NAT-STM#225</i>	H99S
CNAG_02490	<i>MRE11</i>	4694, 5050	<i>MAT<sub>a</sub> mre11Δ ::NAT-STM#242</i>	H99S
CNAG_02772	<i>PMU101</i>	4670, 4671	<i>MAT<sub>a</sub> pmu101Δ ::NAT-STM#208</i>	H99S
CNAG_03014	<i>CAX4</i>	4790, 4791	<i>MAT<sub>a</sub> cax4Δ ::NAT-STM#211</i>	H99S
CNAG_03052	<i>PTC2</i>	1772, 1773	<i>MAT<sub>a</sub> ptc2Δ ::NAT-STM#224</i>	H99S
CNAG_03078	<i>NPP1</i>	5019, 5021	<i>MAT<sub>a</sub> npp1Δ ::NAT-STM#119</i>	H99S
CNAG_03190	<i>CCR4</i>	5591, 5594	<i>MAT<sub>a</sub> ccr4Δ ::NAT-STM#210</i>	H99S
CNAG_03202	<i>CAC1</i>	5650	<i>MAT<sub>a</sub> cac1Δ ::NAT-STM#159</i>	H99S
CNAG_03222	<i>DBR1</i>	4963, 4964	<i>MAT<sub>a</sub> dbr1Δ ::NAT-STM#288</i>	H99S
CNAG_03262	<i>INM101</i>	4529, 4530	<i>MAT<sub>a</sub> inm101Δ ::NAT-STM#201</i>	H99S
CNAG_03296	<i>SIW14</i>	4570, 4571	<i>MAT<sub>a</sub> siw14Δ ::NAT-STM#225</i>	H99S
CNAG_03396	<i>NPY1</i>	5105, 5107	<i>MAT<sub>a</sub> npy1Δ ::NAT-STM#122</i>	H99S
CNAG_03491	<i>NDX3</i>	5192, 5193	<i>MAT<sub>a</sub> ndx3Δ ::NAT-STM#201</i>	H99S

CNAG_03541	PTC7	1860, 1861	MAT <sub>a</sub> ptc71Δ ::NAT-STM#53	H99S
CNAG_03657	LDP1	4382, 4383	MAT <sub>a</sub> ldp1Δ ::NAT-STM#231	H99S
CNAG_03679	ACY1	5838, 5839	MAT <sub>a</sub> acy1Δ ::NAT-STM#43	H99S
CNAG_03765	TPS2	4373, 4433	MAT <sub>a</sub> tps2Δ ::NAT-STM#232	H99S
CNAG_03871	LTP1	4044, 4045	MAT <sub>a</sub> ltp1Δ ::NAT-STM#230	H99S
CNAG_03893	SDP102	3467, 3468	MAT <sub>a</sub> sdp102Δ ::NAT-STM#119	H99S
CNAG_03949	PHO13	4374, 4376	MAT <sub>a</sub> pho13Δ ::NAT-STM#234	H99S
CNAG_03963	OCA1	4054, 4055	MAT <sub>a</sub> oca1Δ ::NAT-STM#230	H99S
CNAG_03984	YCH1	4637, 4638	MAT <sub>a</sub> ych1Δ ::NAT-STM#208	H99S
CNAG_03996	GDA1	4750, 5821	MAT <sub>a</sub> gda1Δ ::NAT-STM#6	H99S
CNAG_04049	PPP5	4298, 4299	MAT <sub>a</sub> ppp5Δ ::NAT-STM#288	H99S
CNAG_04104	AKP3	5484, 5485	MAT <sub>a</sub> akp3Δ ::NAT-STM#58	H99S
CNAG_04113	PTP3	4680, 4754	MAT <sub>a</sub> ptp3Δ ::NAT-STM#231	H99S
CNAG_04224	PSR1	5003, 5005	MAT <sub>a</sub> psr1Δ ::NAT-STM#125	H99S
CNAG_04475	HPP3	4003, 4004	MAT <sub>a</sub> hpp3Δ ::NAT-STM#211	H99S
CNAG_04718	PCD101	5416, 5417	MAT <sub>a</sub> pcd101Δ ::NAT-STM#146	H99S
CNAG_04731	PCD102	5422, 5424	MAT <sub>a</sub> pcd102Δ ::NAT-STM#125	H99S
CNAG_04732	PCD1	5045, 5053	MAT <sub>a</sub> pcd1Δ ::NAT-STM#123	H99S
CNAG_04796	CNA1	4067, 4068	MAT <sub>a</sub> cna1Δ ::NAT-STM#290	H99S
CNAG_04833	TEP1	4622, 4623	MAT <sub>a</sub> tep1Δ ::NAT-STM#205	H99S
CNAG_04852	NDX4	5046, 5047	MAT <sub>a</sub> ndx4Δ ::NAT-STM#204	H99S
CNAG_05080	CWH43	4508, 4509	MAT <sub>a</sub> cwh43Δ ::NAT-STM#213	H99S
CNAG_05286	LDP2	4721, 4722	MAT <sub>a</sub> ldp2Δ ::NAT-STM#218	H99S
CNAG_05301	CRN1	5095, 5096	MAT <sub>a</sub> crn1Δ ::NAT-STM#218	H99S
CNAG_05306	PTC701	1867, 1868	MAT <sub>a</sub> ptc701Δ ::NAT-STM#58	H99S
CNAG_05529	HAD5	5098, 5099	MAT <sub>a</sub> had5Δ ::NAT-STM#205	H99S
CNAG_05567	PPP3	4396, 4399	MAT <sub>a</sub> ppp3Δ ::NAT-STM#288	H99S
CNAG_05568	PRY1	5101, 5102	MAT <sub>a</sub> pry1Δ ::NAT-STM#211	H99S
CNAG_05692	LCB3	4755, 5051, 5052	MAT <sub>a</sub> lcb3Δ ::NAT-STM#219	H99S
CNAG_05892	SHB17	4060, 4061	MAT <sub>a</sub> shb17Δ ::NAT-STM#212	H99S
CNAG_06065	SAC101	4470, 4718	MAT <sub>a</sub> sac101Δ ::NAT-STM#220	H99S
CNAG_06122	HAD6	5476, 5477	MAT <sub>a</sub> had6Δ ::NAT-STM#219	H99S
CNAG_06132	HAD8	4464, 4475	MAT <sub>a</sub> had8Δ ::NAT-STM#242	H99S
CNAG_06141	DUT101	5112, 5128	MAT <sub>a</sub> dut101Δ ::NAT-STM#208	H99S
CNAG_06232	HPP1	4092, 4093	MAT <sub>a</sub> hpp1Δ ::NAT-STM#213	H99S
CNAG_06236	NGL3	4459, 4472	MAT <sub>a</sub> ngl3Δ ::NAT-STM#273	H99S
CNAG_06251	PPP4	4784, 4785	MAT <sub>a</sub> ppp4Δ ::NAT-STM#296	H99S
CNAG_06418	PTC6	1875, 1876	MAT <sub>a</sub> ptc6Δ ::NAT-STM#102	H99S
CNAG_06499	DPP101	4479, 4480	MAT <sub>a</sub> dpp101Δ ::NAT-STM#290	H99S
CNAG_06587	OCA2	4841, 4842	MAT <sub>a</sub> oca2Δ ::NAT-STM#231	H99S
CNAG_06647	CDC1	5542, 5574	MAT <sub>a</sub> cdc1Δ ::NAT-STM#296	H99S
CNAG_06698	HAD9	4485, 4486	MAT <sub>a</sub> had9Δ ::NAT-STM#58	H99S
CNAG_06966	AKP1	4892, 4893	MAT <sub>a</sub> akp1Δ ::NAT-STM#150	H99S
CNAG_06969	HAD7	4688, 4946	MAT <sub>a</sub> had7Δ ::NAT-STM#220	H99S
CNAG_07317	INP5202	4511, 4538	MAT <sub>a</sub> inp5202Δ ::NAT-STM#102	H99S
CNAG_07434	HAD3	4624, 4626	MAT <sub>a</sub> had3Δ ::NAT-STM#116	H99S
CNAG_07547	GPM1	4089, 4090	MAT <sub>a</sub> gpm1Δ ::NAT-STM#219	H99S
CNAG_07692	YND1	4856, 6157	MAT <sub>a</sub> ynd1Δ ::NAT-STM#119	H99S
CNAG_07740	HAD2	4506, 4507	MAT <sub>a</sub> had2Δ ::NAT-STM#123	H99S
CNAG_00508	VPS17	5724	MAT <sub>a</sub> vps17Δ ::NAT-STM#220	H99S
CNAG_01315	VPS5	5683, 5684	MAT <sub>a</sub> vps5Δ ::NAT-STM#221	H99S

CNAG_01426	<i>VPS26</i>	5671, 5672	<i>MATα vps26Δ::NAT-STM#5</i>	H99S
CNAG_01837	<i>VPS35</i>	5615, 5616	<i>MATα vps35Δ::NAT-STM#210</i>	H99S
Double KO	<i>OCA101, OCA1</i>	6634, 6635	<i>MATα oca101Δ::NAT oca1Δ::NEO</i>	YSB4075

[0135] 파괴 전략(disruption strategies), 프라이머 서열, southern blot 결과, 및 돌연변이 현상 데이터는 본 발명자가 구축한 *Cryptococcus neoformans Phosphatase Phenome Database* (<http://phosphatase.cryptococcus.org>)에서 확인할 수 있다.

[0136] 나머지 25개(H99 ID/Gene name으로서 01572/*CDC25*, 06080/*SAC1*, 04120/*FCP1*, 04453/*IPC1*, 06549/*CET1*, 03706/*GLC7*, 00533/*TIM50*, 00265/*IDI1*, 02545/*IPP1*, 02740/*RPP1*, 02861/*HIS2*, 07354/*MET22*, 01412/*PAH1*, 05617/*GPI13*, 05639/*PPS1*, 00790/*DPP1*, 03957/-, 02177/*PPH22*, 02878/*GEP4*, 01604/-, 06900/-, 06617/-, 00175/-, 06115/*APH4*, 04236/-)의 포스파타아제 유전자의 경우, 생존 가능한 형질전환체를 얻지 못하거나, 야생형과 돌연변이체 대립 유전자를 모두 보유하는 잠재적 이상배수체(potential aneuploidy) 돌연변이체만이 획득되었다. 이는 나머지 25개 유전자가 생존에 필수적인 유전자일 수 있음을 시사한다.

#### [0138] 실시예 3: 포스파토의 표현형 및 *in vivo* 발현 프로파일링

[0139] 실시예 2에서 준비한 114개 유전자에 대한 230 개의 C. 네오포르만스의 포스파타아제 결실 변이체를 이용하여 30 종류의 *in vitro* 조건에서 표현형을 조사하였다. 30 종류의 조건은 다양한 온도(25, 30, 37 및 39°C)에서 성장, 교배 효율, 독성 인자 생성(캡슐, 멜라닌 및 우레아제), 스트레스 반응(삼투/양이온 염, 산화, 유전 독성, ER, 세포막/벽 및 중금속 스트레스) 및 항진균제 감수성이다. (하기 표 4 참고)

표 4

		Abb.	Description	Tested condition
1	Growth at different temperature	25	incubated at 25°C	Cells were incubated at 25°C for 1-6 days.
2		30	incubated at 30°C	Cells were incubated at 30°C for 1-6 days.
3		37	incubated at 37°C	Cells were incubated at 37°C for 1-6 days.
4		39	incubated at 39°C	Cells were incubated at 39°C for 1-6 days.
5	Mating	MAT	Mating	Cells were incubated with opposite mating type cells onto the V8 media in the dark for 15 days.
6	Virulence factors	MEL	Melanin	Cells were spotted onto the Niger seed media containing glucose and further incubated at 37°C for 1-4 days.
7		CAP	Capsule	Cells were incubated onto the solid-agared DME media and relative packed cell volume was measured
8		URE	Urease	Cells were spotted onto the Christensen's agar media and further incubated at 30°C for 1-4 days.

9	Osmotic/cation salt stress	NCR	NaCl treatment under glucose-rich condition	Cells were spotted onto the YPD media containing 1.5 M NaCl for 1-6 days.
10		KCR	KCl treatment under glucose-rich condition	Cells were spotted onto the YPD media containing 1.5 M KCl for 1-6 days.
11		SBR	Sorbitol treatment under glucose-rich condition	Cells were spotted onto the YPD media containing 2 M sorbitol for 1-6 days.
12		NCS	NaCl treatment under glucose-starved condition	Cells were spotted onto the YP media containing 1 M NaCl for 1-6 days.
13		KCS	KCl treatment under glucose-starved condition	Cells were spotted onto the YP media containing 1 M KCl for 1-6 days.
14		SBS	Sorbitol treatment underglucose-starved condition	Cells were spotted onto the YP media containing 2 M sorbitol for 1-6 days.
15		HPX	Hydrogen peroxide	Cells were spotted onto the YPD media containing 2.5 ~ 3.5 mM concentration of hydrogen peroxide for 1-6 days.
16	Oxidative stress	TBH	Tert-butyl hydroperoxide	Cells were spotted onto the YPD media containing 0.6 ~ 0.8 mM concentration of tert-butyl hydroperoxide for 1-6 days.
17		MD	Menadione	Cells were spotted onto the YPD media containing 0.01 ~ 0.03 mM concentration of menadione for 1-6 days.
18		DIA	Diamide	Cells were spotted onto the YPD media containing 2 ~ 3.5 mM concentration of diamide for 1-6 days.
19		MMS	Metyl methanesulfonate	Cells were spotted onto the YPD media containing 0.02 ~ 0.06% MMS for 1-6 days.
20	Genotoxic stress	HU	Hydroxyurea	Cells were spotted onto the YPD media containing 90 ~ 110 mM concentration of HU for 1-6 days.
21		TM	Tunicamycin	Cells were spotted onto the YPD media containing 0.2 ~ 0.4 µg/ml concentration of TM for 1-6 days.
22		DTT	Dithiothreitol	Cells were spotted onto the YPD media containing 15 ~ 20 mM concentration of DTT for 1-6 days.
23	Heavy metal stress	CDS	CdSO <sub>4</sub>	Cells were spotted onto the YPD media containing 20 ~ 35 µM concentration of for CdSO <sub>4</sub> 1-6 days.
24	Cell wall/membrane stress	CR	Congo-red	Cells were spotted onto the YPD media containing 0.8 ~ 1% congo-red for 1-6 days.
25		CFW	Calcofluor white	Cells were spotted onto the YPD media containing 3 ~ 5 mg/ml concentration of CFW for 1-6 days.
26		SDS	Sodium dodecyl sulfate	Cells were spotted onto the YPD media containing 0.03 ~ 0.05% SDS for 1-6 days.

27	Antifungal drug susceptibility	5FC	Flucytosine	Cells were spotted onto the YPD media containing 300 ~ 500 µg/ml concentration of flucytosine for 1-6 days.
28		AMB	Amphotericin B	Cells were spotted onto the YPD media containing 0.8 ~ 1.8 µg/ml concentration of Amphotericin B for 1-6 days.
29		FCZ	Fluconazole	Cells were spotted onto the YPD media containing 10 ~ 18 µg/ml concentration of fluconazole for 1-6 days.
30		FDX	Fludioxonil	Cells were spotted onto the YPD media containing 0.5 ~ 5 µg/ml concentration of fludioxonil for 1-6 days.

[0141] 도 1은 C. 네오포르만스의 포스파타아제 결실에 의한 in vitro 상의 클러스터별 표현형 변화 및 in vivo 발현 프로파일링을 나타낸 것이다. 하기 표 5 내지 표 10는 30가지 표현형에 대한 데이터를 클러스터별로 구체적으로 나타낸 것이다. 도 1 및 표 5 내지 10에서, 각 수치는 -3 : 강한 감소/감수성, -2 : 약간(moderately) 감소/감수성, -1 : 약한(weakly) 감소/감수성, 0 : 야생형 유사, +1 약한 증가/내성, +2 : 약간 증가/내성, +3 : 강한 증가/내성이다.

[0142] 하기 표 5는 각 유전자의 결실이 25, 30, 37 및 39°C에서의 성장에 미치는 영향을 확인한 결과이다.

### 표 5

Growth at different temperature					
H99 ID	Name	25	30	37	39
00057	FPP1	0	0	0	0
00076	NDX6	0	0	0	0
00146	PBY101	0	0	0	1
00182	VPS29	0	0	0	0
00263	PTP4	0	0	0	0
00316	HAM1	0	0	0	0
00390	YMR1	0	0	0	0
00408	PPH3	0	0	0	0
00427	PTC5	0	0	0	0
00498	CDC14	0	0	0	0
00500	PTC1	0	0	0	0
00554	ISC1	0	0	0	0
00810	HAD4	0	0	0	0
01054	SSU72	0	0	-1	-1
01177	NEM1	0	-1	-2	-3
01203	YVH1	0	-2	-1	-1
01254	OCA101	-1	-1	0	0
01314	PPP1	0	0	0	0
01346	HPP2	0	0	0	0
01357	SDP101	0	0	0	0
01436	SIT4	0	0	0	0
01496	PPT1	0	0	0	0
01498	AKP2	0	0	0	0
01518	PMU1	0	0	0	0
01519	EEP1	0	0	0	0
01532	INP52	0	0	0	0

01744	<i>HADI</i>	-1	0	0	0
01823	<i>INM1</i>	0	0	0	0
01864	<i>NDX5</i>	0	0	0	0
01877	<i>GUA1</i>	0	-2	-1	-2
01900	<i>NDX1</i>	0	0	0	0
01901	<i>NDX2</i>	0	0	0	0
02001	<i>INP5203</i>	0	0	0	0
02109	<i>INP5201</i>	0	-1	-1	-2
02161	<i>ASP1</i>	0	0	0	0
02236	<i>PPG1</i>	0	-2	-3	-3
02375	<i>FIG4</i>	0	0	0	-2
02453	<i>PTP5</i>	0	0	0	0
02470	<i>PPP2</i>	0	0	0	-1
02487	<i>PHS1</i>	0	0	-1	-1
02490	<i>MRE11</i>	0	0	-2	-2
02681	<i>APH3</i>	0	0	0	0
02772	<i>PMU101</i>	0	0	0	0
02944	<i>APH1</i>	0	0	0	0
02986	<i>YSA1</i>	0	0	0	0
03014	<i>CAX4</i>	0	0	0	0
03052	<i>PTC2</i>	-1	-1	0	0
03078	<i>NPP1</i>	0	0	0	0
03190	<i>CCR4</i>	0	-1	-2	-3
03202	<i>CAC1</i>	0	0	0	0
03222	<i>DBR1</i>	0	-2	-1	-2
03262	<i>INM101</i>	0	0	0	0
03296	<i>SIW14</i>	0	-1	-1	-1
03396	<i>NPY1</i>	0	0	0	0
03491	<i>NDX3</i>	0	0	0	0
03541	<i>PTC7</i>	0	0	0	0
03657	<i>LDP1</i>	0	0	0	0
03673	<i>PPZ1</i>	0	0	0	0
03679	<i>ACY1</i>	0	0	0	0
03765	<i>TPS2</i>	0	0	-3	-3
03871	<i>LTP1</i>	0	0	0	0
03893	<i>SDP102</i>	0	0	0	0
03949	<i>PHO13</i>	0	0	0	0
03963	<i>OCA1</i>	0	0	0	0
03984	<i>YCH1</i>	0	0	0	0
03996	<i>GDA1</i>	0	0	0	0
04049	<i>PPP5</i>	0	0	0	0
04104	<i>AKP3</i>	0	0	0	0
04113	<i>PTP3</i>	0	0	0	0
04221	<i>FBP26</i>	-1	-1	-1	-1
04224	<i>PSR1</i>	0	0	0	0
04268	<i>APN2</i>	0	0	0	-1
04354	<i>XPP1</i>	0	0	0	0
04475	<i>HPP3</i>	0	0	0	0
04718	<i>PCD101</i>	0	0	0	0
04731	<i>PCD102</i>	0	0	0	0
04732	<i>PCD1</i>	0	0	0	0

04782	<i>PPU1</i>	0	0	0	0
04796	<i>CNA1</i>	0	0	-2	-3
04833	<i>TEP1</i>	0	0	0	0
04852	<i>NDX4</i>	0	0	0	0
05080	<i>CWH43</i>	0	0	0	0
05155	<i>PTP2</i>	0	-1	0	0
05286	<i>LDP2</i>	0	0	0	0
05301	<i>CRN1</i>	0	0	0	0
05306	<i>PTC701</i>	0	0	0	0
05529	<i>HAD5</i>	0	0	0	0
05567	<i>PPP3</i>	0	0	0	0
05568	<i>PRY1</i>	0	0	0	0
05892	<i>SHB17</i>	0	0	0	0
06064	<i>PTP1</i>	0	0	0	0
06065	<i>SAC101</i>	0	0	0	0
06122	<i>HAD6</i>	0	0	0	0
06132	<i>HAD8</i>	0	0	0	0
06141	<i>DUT101</i>	0	0	0	0
06232	<i>HPP1</i>	0	0	0	0
06236	<i>NGL3</i>	0	0	0	0
06251	<i>PPP4</i>	0	0	0	0
06418	<i>PTC6</i>	0	0	0	0
06499	<i>DPP101</i>	0	0	0	2
06587	<i>OCA2</i>	0	0	0	0
06647	<i>CDC1</i>	0	0	0	0
06698	<i>HAD9</i>	0	0	0	0
06966	<i>AKP1</i>	0	0	0	0
06967	<i>APH2</i>	0	0	0	0
06969	<i>HAD7</i>	0	0	0	0
07317	<i>INP5202</i>	0	0	0	0
07372	<i>OXK1</i>	0	0	-1	0
07434	<i>HAD3</i>	0	0	0	0
07547	<i>GPM1</i>	0	0	0	0
07629	<i>EPP1</i>	0	0	0	0
07692	<i>YN1</i>	0	0	0	0
07740	<i>HAD2</i>	0	0	0	0

[0144] 하기 표 6은 각 유전자의 결실이 교배 효율 및 독성 인자에 미치는 영향을 나타낸 것이다.

표 6

H99 1D	Name	MATING	Virulence factors		
			MEL	CAP	URE
00057	<i>FPP1</i>	0	0	0	3
00076	<i>NDX6</i>	0	0	0	0
00146	<i>PBY101</i>	-2	0	0	0
00182	<i>VPS29</i>	0	-1	0	2
00263	<i>PTP4</i>	0	0	0	0
00316	<i>HAM1</i>	0	0	0	0
00390	<i>YMR1</i>	0	0	0	0
00408	<i>PPH3</i>	0	0	0	0

00427	<i>PTC5</i>	0	0	0	0
00498	<i>CDC14</i>	0	0	0	0
00500	<i>PTC1</i>	1	0	0	0
00554	<i>ISCI</i>	0	0	0	0
00810	<i>HAD4</i>	0	0	0	0
01054	<i>SSU72</i>	-3	-1	0	0
01177	<i>NEM1</i>	-3	-2	1	3
01203	<i>YVH1</i>	-2	-1	0	-3
01254	<i>OCA101</i>	-3	0	0	0
01314	<i>PPP1</i>	0	0	0	0
01346	<i>HPP2</i>	0	0	-2	0
01357	<i>SDP101</i>	0	0	0	0
01436	<i>SIT4</i>	0	0	2	0
01496	<i>PPT1</i>	0	0	0	0
01498	<i>AKP2</i>	0	0	0	0
01518	<i>PMU1</i>	0	0	0	0
01519	<i>EEP1</i>	0	0	0	0
01532	<i>INP52</i>	0	0	0	0
01744	<i>HAD1</i>	-2	0	0	0
01823	<i>INM1</i>	0	0	0	0
01864	<i>NDX5</i>	0	0	-1	0
01877	<i>GUA1</i>	-3	-3	0	-3
01900	<i>NDX1</i>	0	0	0	0
01901	<i>NDX2</i>	0	0	0	0
02001	<i>INP5203</i>	0	0	0	0
02109	<i>INP5201</i>	-3	-3	3	3
02161	<i>ASP1</i>	0	0	0	0
02236	<i>PPG1</i>	-3	-3	0	3
02375	<i>FIG4</i>	0	0	1	0
02453	<i>PTP5</i>	0	0	0	-2
02470	<i>PPP2</i>	0	0	0	0
02487	<i>PHS1</i>	0	0	3	0
02490	<i>MRE11</i>	0	-1	0	0
02681	<i>APH3</i>	0	0	0	0
02772	<i>PMU101</i>	0	0	0	0
02944	<i>APH1</i>	0	0	0	0
02986	<i>YSA1</i>	0	0	0	0
03014	<i>CAX4</i>	0	1	0	0
03052	<i>PTC2</i>	-3	-3	0	0
03078	<i>NPP1</i>	0	0	0	0
03190	<i>CCR4</i>	-2	-1	2	3
03202	<i>CAC1</i>	-3	-3	-3	1
03222	<i>DBR1</i>	-3	-3	3	3
03262	<i>INM101</i>	0	0	0	0
03296	<i>SIW14</i>	-2	1	0	-1
03396	<i>NPY1</i>	0	0	0	0
03491	<i>NDX3</i>	0	0	0	0
03541	<i>PTC7</i>	0	0	0	0
03657	<i>LDP1</i>	0	0	0	0
03673	<i>PPZ1</i>	0	0	0	0
03679	<i>ACY1</i>	0	0	0	0

03765	<i>TPS2</i>	0	-2	0	1
03871	<i>LTP1</i>	0	0	0	0
03893	<i>SDP102</i>	0	0	-1	0
03949	<i>PHO13</i>	0	0	0	0
03963	<i>OCA1</i>	0	0	-1	0
03984	<i>YCH1</i>	0	0	0	0
03996	<i>GDA1</i>	-1	0	0	0
04049	<i>PPP5</i>	0	0	-1	0
04104	<i>AKP3</i>	0	0	0	0
04113	<i>PTP3</i>	0	0	0	0
04221	<i>FBP26</i>	-3	-3	0	0
04224	<i>PSR1</i>	0	-1	-2	0
04268	<i>APN2</i>	0	0	0	0
04354	<i>XPP1</i>	0	-1	0	2
04475	<i>HPP3</i>	0	0	0	0
04718	<i>PCD101</i>	0	0	0	0
04731	<i>PCD102</i>	0	0	1	0
04732	<i>PCD1</i>	0	0	0	0
04782	<i>PPU1</i>	0	0	0	0
04796	<i>CNA1</i>	-2	-3	2	2
04833	<i>TEP1</i>	0	0	0	0
04852	<i>NDX4</i>	0	0	0	0
05080	<i>CWH43</i>	0	0	-1	0
05155	<i>PTP2</i>	-3	-3	-2	0
05286	<i>LDP2</i>	0	0	0	0
05301	<i>CRN1</i>	2	0	0	0
05306	<i>PTC701</i>	0	0	0	0
05529	<i>HAD5</i>	0	0	0	0
05567	<i>PPP3</i>	0	0	0	0
05568	<i>PRY1</i>	0	0	0	0
05892	<i>SHB17</i>	0	0	0	0
06064	<i>PTP1</i>	0	0	0	0
06065	<i>SAC101</i>	0	0	0	0
06122	<i>HAD6</i>	0	0	0	0
06132	<i>HAD8</i>	0	0	0	0
06141	<i>DUT101</i>	0	0	0	0
06232	<i>HPP1</i>	0	0	0	0
06236	<i>NGL3</i>	0	0	-1	0
06251	<i>PPP4</i>	0	0	0	0
06418	<i>PTC6</i>	-1	0	0	0
06499	<i>DPP101</i>	0	0	0	0
06587	<i>OCA2</i>	0	0	0	0
06647	<i>CDC1</i>	0	0	2	0
06698	<i>HAD9</i>	0	0	0	0
06966	<i>AKP1</i>	0	0	0	0
06967	<i>APH2</i>	0	0	0	0
06969	<i>HAD7</i>	0	0	0	0
07317	<i>INP5202</i>	0	0	0	0
07372	<i>OXK1</i>	0	-2	0	0
07434	<i>HAD3</i>	0	0	0	0
07547	<i>GPM1</i>	0	0	0	0

07629	<i>EPP1</i>	0	0	0	0
07692	<i>YND1</i>	0	0	-2	0
07740	<i>HAD2</i>	0	0	0	0

[0146] 하기 표 7은 각 유전자의 결실이 삼투 스트레스에 미치는 영향을 확인한 결과이다.

표 7

Osmotic/cation salt stress							
H99 1D	Name	KCR	NCR	SBR	KCS	NCS	SBS
00057	<i>FPP1</i>	0	0	0	0	0	0
00076	<i>NDX6</i>	0	0	0	0	0	0
00146	<i>PBY101</i>	0	0	0	0	0	0
00182	<i>VPS29</i>	0	0	0	0	0	0
00263	<i>PTP4</i>	0	0	0	0	0	0
00316	<i>HAM1</i>	0	0	0	0	0	0
00390	<i>YMR1</i>	0	0	0	0	0	0
00408	<i>PPH3</i>	0	0	0	0	0	0
00427	<i>PTC5</i>	0	0	0	0	0	0
00498	<i>CDC14</i>	0	0	0	0	0	0
00500	<i>PTC1</i>	0	0	0	0	0	0
00554	<i>ISC1</i>	0	-3	0	0	-3	0
00810	<i>HAD4</i>	0	0	0	0	0	0
01054	<i>SSU72</i>	-2	-3	-2	-1	-2	-1
01177	<i>NEM1</i>	-1	-3	-1	-1	-1	-1
01203	<i>YVH1</i>	0	0	0	0	0	0
01254	<i>OCA101</i>	0	0	0	0	0	0
01314	<i>PPP1</i>	0	0	0	0	0	0
01346	<i>HPP2</i>	0	0	0	0	0	0
01357	<i>SDP101</i>	0	0	0	0	0	0
01436	<i>SIT4</i>	0	0	0	0	0	0
01496	<i>PPT1</i>	0	0	0	0	0	0
01498	<i>AKP2</i>	0	0	0	0	0	0
01518	<i>PMU1</i>	0	0	0	0	0	0
01519	<i>EEP1</i>	0	0	0	0	0	0
01532	<i>INP52</i>	0	0	0	0	0	0
01744	<i>HAD1</i>	-1	-1	-1	0	0	0
01823	<i>INM1</i>	0	0	0	0	0	0
01864	<i>NDX5</i>	0	0	0	0	0	0
01877	<i>GUA1</i>	-3	-3	-3	-2	-2	-2
01900	<i>NDX1</i>	0	0	0	0	0	0
01901	<i>NDX2</i>	0	0	0	0	0	0
02001	<i>INP5203</i>	0	0	0	0	0	0
02109	<i>INP5201</i>	-2	-3	-1	-2	-2	-2
02161	<i>ASP1</i>	0	0	0	0	0	0
02236	<i>PPG1</i>	-1	-3	-1	0	-3	0
02375	<i>FIG4</i>	0	0	0	0	0	0
02453	<i>PTP5</i>	0	0	0	0	0	0
02470	<i>PPP2</i>	0	0	0	0	0	0
02487	<i>PHS1</i>	-2	-2	0	-2	-2	0
02490	<i>MRE11</i>	0	0	0	0	0	0

02681	<i>APH3</i>	0	0	0	0	0	0
02772	<i>PMU101</i>	0	0	0	0	0	0
02944	<i>APH1</i>	0	0	0	0	0	0
02986	<i>YSA1</i>	0	0	0	0	0	0
03014	<i>CAX4</i>	0	0	0	0	0	0
03052	<i>PTC2</i>	0	0	-1	0	0	0
03078	<i>NPP1</i>	0	0	0	0	0	0
03190	<i>CCR4</i>	0	0	0	0	0	0
03202	<i>CAC1</i>	0	0	0	0	0	0
03222	<i>DBR1</i>	-2	-2	-2	-2	-3	-2
03262	<i>INM101</i>	0	0	0	0	0	0
03296	<i>SIW14</i>	-1	-1	0	-1	-1	0
03396	<i>NPY1</i>	0	0	0	0	0	0
03491	<i>NDX3</i>	0	0	0	0	0	0
03541	<i>PTC7</i>	0	0	0	0	0	0
03657	<i>LDP1</i>	0	0	0	0	0	0
03673	<i>PPZ1</i>	0	-2	0	0	0	0
03679	<i>ACY1</i>	0	0	0	0	0	0
03765	<i>TPS2</i>	0	0	0	0	0	0
03871	<i>LTP1</i>	0	0	0	0	0	0
03893	<i>SDP102</i>	0	0	0	0	0	0
03949	<i>PHO13</i>	0	0	0	0	0	0
03963	<i>OCA1</i>	0	0	0	0	0	0
03984	<i>YCH1</i>	0	0	0	0	0	0
03996	<i>GDA1</i>	0	-2	-2	0	-3	-1
04049	<i>PPP5</i>	0	0	0	0	0	0
04104	<i>AKP3</i>	0	0	0	0	0	0
04113	<i>PTP3</i>	0	0	0	0	0	0
04221	<i>FBP26</i>	0	-1	-1	0	-1	-1
04224	<i>PSR1</i>	0	0	0	0	0	0
04268	<i>APN2</i>	0	0	0	0	0	0
04354	<i>XPP1</i>	0	0	0	0	0	0
04475	<i>HPP3</i>	0	0	0	0	0	0
04718	<i>PCD101</i>	0	0	0	0	0	0
04731	<i>PCD102</i>	0	0	0	0	0	0
04732	<i>PCD1</i>	0	0	0	0	0	0
04782	<i>PPU1</i>	0	0	0	0	0	0
04796	<i>CNA1</i>	-2	-3	-2	-1	-2	-2
04833	<i>TEP1</i>	0	0	0	0	0	0
04852	<i>NDX4</i>	0	0	0	0	0	0
05080	<i>CWH43</i>	0	0	0	0	0	0
05155	<i>PTP2</i>	-1	-1	-1	-1	-1	-1
05286	<i>LDP2</i>	0	0	0	0	0	0
05301	<i>CRN1</i>	0	0	0	0	0	0
05306	<i>PTC701</i>	0	0	0	0	0	0
05529	<i>HAD5</i>	0	0	0	0	0	0
05567	<i>PPP3</i>	0	0	0	0	0	0
05568	<i>PRY1</i>	0	0	0	0	0	0
05892	<i>SHB17</i>	0	0	0	0	0	0
06064	<i>PTP1</i>	0	0	0	0	0	0
06065	<i>SAC101</i>	0	0	0	0	0	0

06122	<i>HAD6</i>	0	0	0	0	0	0
06132	<i>HAD8</i>	0	0	0	0	0	0
06141	<i>DUT101</i>	0	0	0	0	0	0
06232	<i>HPP1</i>	0	0	0	0	0	0
06236	<i>NGL3</i>	0	0	0	0	0	0
06251	<i>PPP4</i>	0	0	0	0	0	0
06418	<i>PTC6</i>	0	-2	0	0	0	0
06499	<i>DPP101</i>	0	0	0	0	0	0
06587	<i>OCA2</i>	0	0	0	0	0	0
06647	<i>CDC1</i>	0	0	0	0	0	0
06698	<i>HAD9</i>	0	0	0	0	0	0
06966	<i>AKP1</i>	0	0	0	0	0	0
06967	<i>APH2</i>	0	0	0	0	0	0
06969	<i>HAD7</i>	0	0	0	0	0	0
07317	<i>INP5202</i>	0	0	0	0	0	0
07372	<i>OXK1</i>	1	0	0	0	0	0
07434	<i>HAD3</i>	0	0	0	0	0	0
07547	<i>GPM1</i>	0	0	0	0	0	0
07629	<i>EPP1</i>	0	0	0	0	0	0
07692	<i>YND1</i>	0	0	0	0	0	0
07740	<i>HAD2</i>	0	0	0	0	0	0

[0148] 하기 표 8은 각 유전자의 결실이 산화 스트레스에 미치는 영향을 확인한 결과이다.

표 8

H99 1D	Name	Oxidative stress			
		DIA	HPX	MD	TBH
00057	<i>FPP1</i>	0	0	0	0
00076	<i>NDX6</i>	0	0	0	0
00146	<i>PBY101</i>	0	0	0	0
00182	<i>VPS29</i>	0	0	0	0
00263	<i>PTP4</i>	0	0	0	0
00316	<i>HAM1</i>	0	0	0	0
00390	<i>YMR1</i>	0	0	0	0
00408	<i>PPH3</i>	-1	0	0	0
00427	<i>PTC5</i>	0	0	0	0
00498	<i>CDC14</i>	0	0	0	0
00500	<i>PTC1</i>	0	0	0	0
00554	<i>ISC1</i>	-2	0	0	-1
00810	<i>HAD4</i>	0	0	0	0
01054	<i>SSU72</i>	-2	-1	-1	-1
01177	<i>NEM1</i>	-2	-2	-1	-3
01203	<i>YVH1</i>	0	-1	-1	-1
01254	<i>OCA101</i>	0	0	1	-1
01314	<i>PPP1</i>	0	0	0	0
01346	<i>HPP2</i>	0	0	0	0
01357	<i>SDP101</i>	0	0	0	0
01436	<i>SIT4</i>	-1	-1	-1	-1
01496	<i>PPT1</i>	-1	0	0	0
01498	<i>AKP2</i>	0	0	0	0

01518	<i>PMU1</i>	0	0	0	0
01519	<i>EEP1</i>	0	0	0	0
01532	<i>INP52</i>	0	0	0	0
01744	<i>HAD1</i>	-1	0	-1	0
01823	<i>INM1</i>	0	0	0	0
01864	<i>NDX5</i>	0	0	0	0
01877	<i>GUA1</i>	0	-2	-1	-1
01900	<i>NDX1</i>	0	0	0	0
01901	<i>NDX2</i>	0	0	0	0
02001	<i>INP5203</i>	0	0	0	0
02109	<i>INP5201</i>	-2	-2	-2	-2
02161	<i>ASP1</i>	0	0	0	0
02236	<i>PPG1</i>	-3	-1	-1	-1
02375	<i>FIG4</i>	0	0	0	0
02453	<i>PTP5</i>	0	-2	0	0
02470	<i>PPP2</i>	0	0	0	0
02487	<i>PHS1</i>	-3	-1	0	-3
02490	<i>MRE11</i>	-1	-2	0	-1
02681	<i>APH3</i>	0	0	0	0
02772	<i>PMU101</i>	0	0	0	0
02944	<i>APH1</i>	0	0	0	0
02986	<i>YSA1</i>	0	0	0	0
03014	<i>CAX4</i>	0	0	0	0
03052	<i>PTC2</i>	-1	0	-1	-1
03078	<i>NPP1</i>	0	0	0	0
03190	<i>CCR4</i>	-1	-1	0	-2
03202	<i>CAC1</i>	1	-1	0	-1
03222	<i>DBR1</i>	-1	-1	-1	-2
03262	<i>INM101</i>	0	0	0	0
03296	<i>SIW14</i>	-1	0	0	-2
03396	<i>NPY1</i>	0	0	0	0
03491	<i>NDX3</i>	0	0	0	0
03541	<i>PTC7</i>	0	0	0	0
03657	<i>LDP1</i>	0	0	0	0
03673	<i>PPZ1</i>	1	-2	0	-1
03679	<i>ACY1</i>	0	0	0	0
03765	<i>TPS2</i>	0	0	0	1
03871	<i>LTP1</i>	0	0	0	0
03893	<i>SDP102</i>	0	0	0	0
03949	<i>PHO13</i>	0	0	0	0
03963	<i>OCA1</i>	-1	0	0	-2
03984	<i>YCH1</i>	0	0	0	0
03996	<i>GDA1</i>	-1	0	0	0
04049	<i>PPP5</i>	0	0	0	0
04104	<i>AKP3</i>	0	0	0	0
04113	<i>PTP3</i>	0	0	0	0
04221	<i>FBP26</i>	-3	0	-2	0
04224	<i>PSR1</i>	-1	0	0	0
04268	<i>APN2</i>	0	0	0	0
04354	<i>XPP1</i>	0	0	0	0
04475	<i>HPP3</i>	0	0	0	0

04718	<i>PCD101</i>	0	0	0	0
04731	<i>PCD102</i>	0	0	0	0
04732	<i>PCD1</i>	0	0	0	0
04782	<i>PPU1</i>	0	0	0	0
04796	<i>CN41</i>	-3	0	0	-1
04833	<i>TEP1</i>	0	0	0	0
04852	<i>NDX4</i>	0	0	0	0
05080	<i>CWH43</i>	0	0	0	0
05155	<i>PTP2</i>	-3	0	-1	-1
05286	<i>LDP2</i>	0	0	0	0
05301	<i>CRN1</i>	0	0	0	0
05306	<i>PTC701</i>	0	0	0	0
05529	<i>HAD5</i>	0	0	0	0
05567	<i>PPP3</i>	0	0	0	0
05568	<i>PRY1</i>	0	0	0	0
05892	<i>SHB17</i>	0	0	0	0
06064	<i>PTP1</i>	0	0	0	0
06065	<i>SAC101</i>	0	0	0	0
06122	<i>HAD6</i>	0	0	0	0
06132	<i>HAD8</i>	0	0	0	0
06141	<i>DUT101</i>	0	0	0	0
06232	<i>HPP1</i>	0	0	0	0
06236	<i>NGL3</i>	0	0	0	0
06251	<i>PPP4</i>	0	0	0	0
06418	<i>PTC6</i>	-1	0	0	-1
06499	<i>DPP101</i>	0	0	0	0
06587	<i>OCA2</i>	0	0	0	0
06647	<i>CDC1</i>	0	0	0	0
06698	<i>HAD9</i>	0	0	0	0
06966	<i>AKP1</i>	0	0	0	0
06967	<i>APH2</i>	0	0	0	0
06969	<i>HAD7</i>	0	0	0	0
07317	<i>INP5202</i>	0	0	0	0
07372	<i>OXK1</i>	-2	0	-1	0
07434	<i>HAD3</i>	0	0	0	0
07547	<i>GPM1</i>	0	0	0	0
07629	<i>EPP1</i>	0	0	0	0
07692	<i>YND1</i>	0	0	0	0
07740	<i>HAD2</i>	0	0	0	0

[0150] 하기 표 9는 유전자 결실이 유전독성, ER 스트레스, 중금속 스트레스, 세포벽/막 스트레스에 미치는 영향을 확인한 결과이다.

### 표 9

H99 1D	<i>Name</i>	Genotoxic stress		ER stress		Heavy metal	Cell wall/membrane stress		
		HU	MMS	TM	DTT		CDS	CFW	CR
00057	<i>FPP1</i>	0	0	0	0	0	0	0	0
00076	<i>NDX6</i>	0	0	0	0	0	0	0	0
00146	<i>PBY101</i>	0	0	1	0	0	0	0	0

00182	<i>VPS29</i>	0	0	-1	-1	-2	0	0	-2
00263	<i>PTP4</i>	0	0	0	0	0	0	0	0
00316	<i>HAM1</i>	0	0	0	0	0	0	0	0
00390	<i>YMR1</i>	0	0	0	0	-1	0	0	-1
00408	<i>PPH3</i>	0	-2	0	0	0	0	0	0
00427	<i>PTC5</i>	0	0	0	0	0	0	0	0
00498	<i>CDC14</i>	0	0	0	0	0	0	0	0
00500	<i>PTC1</i>	0	0	0	0	0	0	0	0
00554	<i>ISC1</i>	-1	0	0	-1	-1	0	0	0
00810	<i>HAD4</i>	0	-2	0	0	0	0	0	0
01054	<i>SSU72</i>	-3	-1	0	-3	-1	-1	-1	-2
01177	<i>NEM1</i>	-3	-3	0	-2	-1	-2	-2	-2
01203	<i>YVH1</i>	-2	-3	1	-1	0	0	0	-2
01254	<i>OCA101</i>	-1	0	0	-2	1	0	0	0
01314	<i>PPP1</i>	0	0	0	0	0	0	0	0
01346	<i>HPP2</i>	0	0	0	0	0	0	0	0
01357	<i>SDP101</i>	0	0	0	0	0	0	0	0
01436	<i>SIT4</i>	-2	-1	2	0	1	-1	-1	1
01496	<i>PPT1</i>	0	0	0	0	0	0	0	0
01498	<i>AKP2</i>	0	0	0	0	0	0	0	0
01518	<i>PMU1</i>	0	0	0	0	0	0	0	0
01519	<i>EEP1</i>	0	0	0	0	0	0	0	0
01532	<i>INP52</i>	0	0	0	0	0	0	0	0
01744	<i>HAD1</i>	0	0	1	0	0	-1	-1	-3
01823	<i>INM1</i>	0	0	0	0	0	0	0	0
01864	<i>NDX5</i>	0	0	0	0	0	0	0	0
01877	<i>GUA1</i>	0	0	0	-1	0	0	0	-3
01900	<i>NDX1</i>	0	0	0	0	-1	0	0	-1
01901	<i>NDX2</i>	0	0	0	0	0	0	0	0
02001	<i>INP5203</i>	0	0	0	0	0	0	0	0
02109	<i>INP5201</i>	-2	-2	2	-1	1	-2	-2	-2
02161	<i>ASP1</i>	0	0	0	0	0	0	0	0
02236	<i>PPG1</i>	-3	-3	-3	0	0	-2	-2	-3
02375	<i>FIG4</i>	0	0	0	0	-1	0	0	0
02453	<i>PTP5</i>	0	0	0	0	-1	0	0	0
02470	<i>PPP2</i>	0	0	1	0	0	0	0	1
02487	<i>PHS1</i>	-3	0	0	-2	-1	-3	-3	-2
02490	<i>MRE11</i>	-3	-3	-1	-1	-1	0	0	0
02681	<i>APH3</i>	0	0	0	0	0	0	0	0
02772	<i>PMU101</i>	0	0	0	0	0	0	0	0
02944	<i>APH1</i>	0	0	0	0	0	0	0	0
02986	<i>YSA1</i>	0	0	0	0	0	0	0	0
03014	<i>CAX4</i>	0	0	0	0	0	0	0	0
03052	<i>PTC2</i>	-1	-2	0	-1	-1	0	0	1
03078	<i>NPP1</i>	0	0	0	0	0	0	0	0
03190	<i>CCR4</i>	-2	0	3	-1	0	0	0	-1
03202	<i>CAC1</i>	-1	0	2	-1	0	0	0	1
03222	<i>DBR1</i>	-2	-2	2	0	-2	-1	-1	-3
03262	<i>INM101</i>	0	0	0	0	0	0	0	0
03296	<i>SIW14</i>	-3	-2	-1	-1	0	-1	-1	-2
03396	<i>NPY1</i>	0	0	0	0	0	0	0	0

03491	<i>NDX3</i>	0	0	0	0	0	0	0	0
03541	<i>PTC7</i>	0	0	0	0	0	0	0	0
03657	<i>LDP1</i>	0	0	0	0	0	0	0	0
03673	<i>PPZ1</i>	-1	-1	0	0	-2	0	-1	1
03679	<i>ACY1</i>	0	0	0	0	0	0	0	0
03765	<i>TPS2</i>	0	0	-3	0	0	0	0	-3
03871	<i>LTP1</i>	0	0	0	0	0	0	0	0
03893	<i>SDP102</i>	0	0	0	0	0	0	0	1
03949	<i>PHO13</i>	0	0	0	0	0	0	0	0
03963	<i>OCA1</i>	-2	0	-1	0	0	0	0	-1
03984	<i>YCH1</i>	0	0	0	0	0	0	0	0
03996	<i>GDA1</i>	-1	0	-2	-2	-1	0	0	-2
04049	<i>PPP5</i>	0	0	0	0	0	0	0	0
04104	<i>AKP3</i>	0	0	0	0	0	0	0	0
04113	<i>PTP3</i>	0	0	-2	0	0	0	0	-1
04221	<i>FBP26</i>	-1	0	0	-1	0	-1	-1	-3
04224	<i>PSR1</i>	0	0	0	0	1	0	0	-2
04268	<i>APN2</i>	0	-1	0	-1	0	0	0	0
04354	<i>XPP1</i>	0	-1	0	0	0	-1	-1	-1
04475	<i>HPP3</i>	0	0	0	0	0	0	0	0
04718	<i>PCD101</i>	0	0	0	0	0	0	0	0
04731	<i>PCD102</i>	0	0	0	0	0	0	0	0
04732	<i>PCD1</i>	0	0	0	0	0	0	0	0
04782	<i>PPU1</i>	0	0	0	0	0	0	0	0
04796	<i>CNA1</i>	-3	0	-3	-3	-1	-3	-3	-3
04833	<i>TEP1</i>	0	0	0	0	0	0	0	0
04852	<i>NDX4</i>	0	0	0	0	0	0	0	0
05080	<i>CWH43</i>	0	0	0	0	0	0	0	0
05155	<i>PTP2</i>	-2	-1	-2	-1	-2	-1	-2	0
05286	<i>LDP2</i>	0	0	1	-2	1	0	0	0
05301	<i>CRN1</i>	0	0	0	0	0	0	0	0
05306	<i>PTC701</i>	0	0	0	0	0	0	0	0
05529	<i>HAD5</i>	0	0	0	0	0	0	0	0
05567	<i>PPP3</i>	0	0	0	0	0	0	0	0
05568	<i>PRY1</i>	0	0	0	0	0	0	0	0
05892	<i>SHB17</i>	0	0	0	0	0	0	0	0
06064	<i>PTP1</i>	0	0	0	0	-2	0	0	1
06065	<i>SAC101</i>	0	0	0	0	0	0	0	0
06122	<i>HAD6</i>	0	0	0	0	0	0	0	0
06132	<i>HAD8</i>	0	0	0	0	0	0	0	0
06141	<i>DUT101</i>	0	0	0	0	0	0	0	0
06232	<i>HPP1</i>	0	0	0	0	0	0	0	0
06236	<i>NGL3</i>	0	0	0	0	0	0	0	0
06251	<i>PPP4</i>	0	0	0	0	0	0	0	0
06418	<i>PTC6</i>	0	0	0	0	0	0	0	-1
06499	<i>DPP101</i>	0	0	0	0	0	0	0	0
06587	<i>OCA2</i>	0	0	0	0	0	0	0	0
06647	<i>CDC1</i>	0	0	-1	0	0	0	0	-1
06698	<i>HAD9</i>	0	0	0	0	0	0	0	0
06966	<i>AKP1</i>	0	0	0	0	0	0	0	0
06967	<i>APH2</i>	0	0	0	0	0	0	0	0

06969	<i>HAD7</i>	0	0	0	0	0	0	0	0
07317	<i>INP5202</i>	0	0	0	0	2	0	0	-1
07372	<i>OXK1</i>	0	1	2	-1	1	0	0	-1
07434	<i>HAD3</i>	0	0	0	0	0	0	0	0
07547	<i>GPM1</i>	0	0	0	0	0	0	0	0
07629	<i>EPP1</i>	0	0	0	0	0	0	0	0
07692	<i>YND1</i>	0	0	-1	0	3	0	0	-1
07740	<i>HAD2</i>	0	0	0	0	0	0	0	0

[0152] 하기 표 10은 유전자 결설이 항진균제 감수성에 미치는 영향을 확인한 결과이다.

표 10

		Antifungal drugs susceptibility			
H99 ID	Name	AMB	FCZ	5FC	FDX
00057	<i>FPP1</i>	0	1	0	0
00076	<i>NDX6</i>	0	0	0	0
00146	<i>PBY101</i>	0	1	0	0
00182	<i>VPS29</i>	0	0	0	0
00263	<i>PTP4</i>	0	0	0	0
00316	<i>HAM1</i>	0	0	0	0
00390	<i>YMR1</i>	-1	0	0	-1
00408	<i>PPH3</i>	0	-1	0	0
00427	<i>PTC5</i>	0	0	0	0
00498	<i>CDC14</i>	0	0	0	0
00500	<i>PTC1</i>	0	-1	0	0
00554	<i>ISC1</i>	-2	0	0	-2
00810	<i>HAD4</i>	0	0	0	0
01054	<i>SSU72</i>	-1	0	-1	-3
01177	<i>NEM1</i>	-1	-3	-2	-3
01203	<i>YVH1</i>	0	0	0	-2
01254	<i>OCA101</i>	0	3	0	-1
01314	<i>PPP1</i>	0	0	0	0
01346	<i>HPP2</i>	0	1	0	1
01357	<i>SDP101</i>	0	0	0	0
01436	<i>SIT4</i>	-1	0	-3	-2
01496	<i>PPT1</i>	0	0	0	0
01498	<i>AKP2</i>	0	0	0	0
01518	<i>PMU1</i>	0	0	0	0
01519	<i>EEP1</i>	0	0	0	0
01532	<i>INP52</i>	0	0	0	0
01744	<i>HAD1</i>	-1	0	-1	0
01823	<i>INM1</i>	0	1	0	0
01864	<i>NDX5</i>	0	0	0	0
01877	<i>GUAI</i>	-3	0	-3	-3
01900	<i>NDX1</i>	0	0	0	0
01901	<i>NDX2</i>	0	0	0	0
02001	<i>INP5203</i>	0	0	0	0
02109	<i>INP5201</i>	-2	-2	-2	-2
02161	<i>ASP1</i>	0	0	0	0
02236	<i>PPG1</i>	-1	-2	-3	-3

02375	<i>FIG4</i>	0	0	0	0
02453	<i>PTP5</i>	0	0	0	0
02470	<i>PPP2</i>	0	0	1	0
02487	<i>PHS1</i>	-3	-3	0	-1
02490	<i>MRE11</i>	0	-1	-1	0
02681	<i>APH3</i>	0	0	0	0
02772	<i>PMU101</i>	0	0	0	0
02944	<i>APH1</i>	0	0	0	0
02986	<i>YSA1</i>	0	0	0	0
03014	<i>CAX4</i>	0	0	0	0
03052	<i>PTC2</i>	0	0	-2	-3
03078	<i>NPP1</i>	0	0	0	1
03190	<i>CCR4</i>	-2	-1	3	-1
03202	<i>CAC1</i>	0	-1	0	1
03222	<i>DBR1</i>	-2	-1	-2	0
03262	<i>INM101</i>	0	0	0	0
03296	<i>SIW14</i>	0	-3	0	-1
03396	<i>NPY1</i>	0	0	0	0
03491	<i>NDX3</i>	0	0	0	0
03541	<i>PTC7</i>	0	0	0	0
03657	<i>LDP1</i>	0	0	0	0
03673	<i>PPZ1</i>	0	0	1	-2
03679	<i>ACY1</i>	0	0	0	0
03765	<i>TPS2</i>	0	0	-1	1
03871	<i>LTP1</i>	0	0	0	0
03893	<i>SDP102</i>	0	0	0	-1
03949	<i>PHO13</i>	0	0	0	0
03963	<i>OCA1</i>	0	-2	0	-2
03984	<i>YCH1</i>	0	0	0	0
03996	<i>GDA1</i>	-1	0	-3	-2
04049	<i>PPP5</i>	0	0	0	1
04104	<i>AKP3</i>	0	0	0	0
04113	<i>PTP3</i>	0	-2	0	0
04221	<i>FBP26</i>	-2	1	-1	-1
04224	<i>PSR1</i>	0	0	0	3
04268	<i>APN2</i>	0	0	-2	0
04354	<i>XPP1</i>	0	0	0	1
04475	<i>HPP3</i>	0	0	0	0
04718	<i>PCD101</i>	0	0	0	0
04731	<i>PCD102</i>	0	0	0	0
04732	<i>PCD1</i>	0	0	0	0
04782	<i>PPU1</i>	0	0	0	0
04796	<i>CNA1</i>	0	-2	-3	-2
04833	<i>TEP1</i>	0	0	0	0
04852	<i>NDX4</i>	0	0	0	0
05080	<i>CWH43</i>	0	0	0	0
05155	<i>PTP2</i>	0	-2	-2	-3
05286	<i>LDP2</i>	0	0	0	0
05301	<i>CRN1</i>	0	0	0	0
05306	<i>PTC701</i>	0	0	0	0
05529	<i>HAD5</i>	0	0	0	0

05567	<i>PPP3</i>	0	0	0	0
05568	<i>PRY1</i>	0	0	0	0
05892	<i>SHB17</i>	0	0	0	0
06064	<i>PTP1</i>	0	0	0	0
06065	<i>SAC101</i>	0	0	0	0
06122	<i>HAD6</i>	0	0	0	0
06132	<i>HAD8</i>	0	0	0	0
06141	<i>DUT101</i>	0	0	0	0
06232	<i>HPP1</i>	0	0	0	0
06236	<i>NGL3</i>	0	0	0	0
06251	<i>PPP4</i>	0	0	0	0
06418	<i>PTC6</i>	0	-2	0	-2
06499	<i>DPP101</i>	0	0	0	0
06587	<i>OCA2</i>	0	0	0	0
06647	<i>CDC1</i>	0	0	0	-1
06698	<i>HAD9</i>	0	0	0	0
06966	<i>AKP1</i>	0	0	0	0
06967	<i>APH2</i>	0	0	0	0
06969	<i>HAD7</i>	0	0	0	0
07317	<i>INP5202</i>	-2	-1	0	-1
07372	<i>OXK1</i>	0	0	0	-1
07434	<i>HAD3</i>	0	0	0	0
07547	<i>GPM1</i>	0	0	0	0
07629	<i>EPP1</i>	0	0	0	0
07692	<i>YND1</i>	0	0	-1	-2
07740	<i>HAD2</i>	0	0	0	0

[0154] 표현형 분석에 따르면 114개 유전자 중 60개의 유전자 변이(약 53%, 60/114)에서 적어도 하나의 식별가능한 표현형을 나타내었다. 표현형 변화를 나타내는 포스파타아제 중 43개 유전자(약 72%, 43/60)는 종전에 기능적으로 분석된 바가 없었다.

[0155] 포스파타아제 현상 데이터를 해당 BLAST 매트릭스 데이터와 비교한 결과, 실시예 2에서 파쇄(disruption)할 수 없었던 25개의 추정 필수 포스파타아제와 복수 표현형 특성(multiple phenotypic traits)을 나타내는 포스파타아제는 진화적 보존 정도가 상대적으로 더 높다는 점을 발견했다.

[0156] 또한, 야생형 *C. 네오포르만스* 균주 H99S에 의한 감염 3일, 7일, 14일 및 21 일 후(days post-infection, dpi) 수득된 조직들(폐, 뇌, 비장 및 신장)에서 각 포스파타아제 유전자의 발현 수준을 평가하여 뮤린모델 감염 동안 139 개의 포스파타아제 유전자 각각의 전사 조절 양상을 모니터링했다. 전사 양상 모니터링을 위해 139개의 새로운 포스파타아제 프로브 및 nCounter 유전자 발현 프로파일이 사용되었다. 각 포스파타아제의 생체 내 발현 수준은 8 개의 하우스 키핑 유전자의 평균 생체 내 발현 수준으로 정규화되었고 기초 성장 조건 하의 수준과 비교되었다.

[0157] 균주 H99S에 의한 초기 감염 동안(감염 3 내지 7일 후, 3-7 dpi) 폐, 뇌, 신장 및 비장에서 많은 수의 포스파타아제 유전자의 생체 내 발현이 증가하였고, 표현 형질에 관여하는 포스파타아제의 유전자 각각의 생체 내 발현도 변화하였다. 일반적으로 비강 내 흡입 감염 모델의 초기 감염 단계에서는 기존의 곰팡이 부담 분석(fungal burden assay)의 검출 한계로 인해 cryptococcal CFU가 폐를 제외한 뇌 및 기타 기관에서 거의 검출되지 않는다. 그러나 본 연구에서는 증폭없이 단일 유전자 전사체를 검출할 수 있는 Nanostring nCounter 플랫폼을 사용했다. 따라서, 초기 감염 기간 동안 적은 수의 *C. neoformans* 세포가 폐에서 다른 기관으로 혈류 적으로 전파되면 phosphatase 전사체가 감염 후 3 내지 7일(dpi)에 검출될 수 있다.

[0159] 실시예 4: *C. 네오포르만스*의 병원성을 지배하는 포스파타아제

[0160] *C. 네오포르만스*의 병원성에 필요한 포스파타아제를 확인하기 위해 *Galleria mellonella* 유충 모델을 이용한 병

독성(virulence) 분석 및 (2) 시그니처 태그 돌연변이유발(signature-tagged mutagenesis, STM)에 기반한 쥐과(murine) 흡입 감염 모델의 폐 및 뇌에 대한 감염성 분석을 수행하여 대규모 감염성 및 독성 분석을 실시했다.

[0161] 곤충에 대한 병독성 분석 결과 23개의 포스파타아제 유전자(*CNA1*, *TPS2*, *CAC1*, *PTP2*, *VPS29*, *PPH3*, *GDA1*, *VH1*, *SSU72*, *PHS1*, *SIW14*, *DBR1*, *PSR1*, *YND1*, *INP5201*, *INP5202*, *HAD1*, *SIT4*, *PPG1*, *GUA1*, *NEM1*, *FBB26*, *OCA101*)가 결실되면 치사율이 감소하였다. 따라서 이들 유전자는 병독성과 관련된 것으로 확인되었다. (도 2 참고)

[0162] STM 기반 쥐의 폐 및 뇌 감염성 분석 결과 24개의 포스파타아제 유전자(*TPS2*, *CNA1*, *VPS29*, *PHS1*, *SIW14*, *CAC1*, *SSU72*, *PPG1*, *INP5201*, *CCR4*, *DBR1*, *GUA1*, *YMR1*, *NEM1*, *OCA1*, *PTP2*, *FBB26*, *PSR1*, *MRE11*, *CDC1*, *XPP1*, *SDP102*, *SDP101*, *OCA101*)가 폐와 뇌에서 ste50 보다 STM score가 낮아졌으므로 감염성과 관련된 것으로 확인되었으며, 이 중 67% (16/24, *TPS2*, *CNA1*, *VPS29*, *PHS1*, *SIW14*, *CAC1*, *SSU72*, *PPG1*, *INP5201*, *DBR1*, *GUA1*, *NEM1*, *PTP2*, *FBB26*, *PSR1*, *OCA101*)는 곤충 모델의 병독성 분석에서 확인된 유전자와 중복되었다. (도 3 참고, *Irel1*은 감염성이 낮아진것에 대한 control이고, ste50은 WT을 대표함)

[0163] 이 중 *CNA1* (칼시뉴린의 촉매 서브 유닛), *CAC1* (adenylyl cyclase), *HAD1* (할로산 탈할로제나제) 및 *PTP2* (포스포티로신 포스파타아제)는 종전 연구에서 *C. 네오포르만스*의 병독성과 연관된 것으로 보고된 바 있기 때문에 상기 분석 결과의 신뢰성을 높여준다.

[0164] 곤충 및 쥐과 흡입 감염 모델에서 병원성을 나타낸 31개의 병원성 관련 포스파타아제 돌연변이(*CNA1*, *TPS2*, *CAC1*, *PTP2*, *VPS29*, *PPH3*, *GDA1*, *VH1*, *SSU72*, *PHS1*, *SIW14*, *DBR1*, *PSR1*, *YND1*, *INP5201*, *INP5202*, *HAD1*, *SIT4*, *PPG1*, *GUA1*, *NEM1*, *FBB26*, *OCA101*, *CCR4*, *YMR1*, *OCA1*, *MRE11*, *CDC1*, *XPP1*, *SDP102*, *SDP101*) 중 *SDP101*을 제외한 30 개는 적어도 하나의 표현형 특성을 보였으며, 이 중 상당수는 다른 감염 조직보다 폐에서 더 높은 발현을 나타냈다.

[0165] 31개 유전자의 *In vitro* 표현형 확인결과는 다음과 같다. 막 완전성(membrane integrity) (26/31; 84 %), DNA 손상 반응 (20/31; 65 %), 멜라닌 생성 (18/31; 58 %), 세포벽 완전성(cell wall integrity) (13/31; 42 %) 및 37 °C에서 성장 (14/31; 45 %).

[0166] 그러나, *sdp101Δ* 변이는 *In vitro* 표현형을 나타내지 않았다. *SDP101*과 유사한 이중 특이성 MAPK 포스파타아제인 *SDP102*의 결실은 약간의 표현형 변경과 감염성 감소를 초래하므로, *SDP101* 및 *SDP102*는 *C. 네오포르만스*의 병원성에 중복된 역할(redundant role)을 할 수 있음을 시사한다. *SDP101* 및 *SDP102* 사이의 기능적 상관 관계를 확인하기 위해 *sdp101Δ* *sdp102Δ* 이중 돌연변이를 제작하려고 시도했지만 성공하지 못했다.

[0167] 마찬가지로 *INP5201*은 *INP5202*와 유사하지만 *inp5201Δ* *inp5202Δ* 이중 돌연변이를 제작하지 못했다. 이는 *inp5201Δ* 돌연변이가 30°C에서 심각한 성장 결함을 보였기 때문일 수 있다.

[0168] 따라서 *SDP101* 및 *SDP102*의 변이, 그리고 *INP5201* 및 *INP5202*의 변이는 합성 치사 관계(synthetic lethal relationship)를 가질 수 있다.

[0169] 반대로, *OCA1*과 *OCA101*도 유사하지만, 성공적으로 *oca1Δ* *oca101Δ* 이중 돌연변이를 얻었다. 그러나 단일 돌연변이와 비교하여 *oca1Δ* *oca101Δ* 이중 돌연변이에서 부가되거나 시너지를 나타내는 표현형 특성을 찾지 못했다. 따라서 *OCA1* 및 *OCA101*은 *C. 네오포르만스*의 병원성에 독립적으로 기여할 수 있다.

[0170] 31 개의 병원성 관련 포스파타아제 중 5종(*TPS2*, *SIW14*, *HAD1*, *OCA101*, 및 *OCA1*)은 인간에서 명백한 상동체(ortholog)가 없다. 따라서 상기 5종의 병원성 관련 포스파타아제는 우수한 크립토코커스 특이적 항진균제(anti-i-cryptococcal) 타겟이 될 수 있다. *TPS2*, *HAD1* 및 *OCA1*은 칸디다스 알비칸스(*C. albicans*)의 병독성에도 중요한 역할을 하므로, *TPS2*, *HAD1* 및 *OCA1*를 표적으로 하는 약물은 광범위한 항진균 활성을 가질 수 있다.

#### 실시예 5: 포유류 체온에서의 성장에 관여하는 포스파타아제

[0173] 실시예 4에서 선별된 31종의 *C. 네오포르만스*의 병원성 관련 포스파타아제 (*CNA1*, *TPS2*, *CAC1*, *PTP2*, *VPS29*, *PPH3*, *GDA1*, *VH1*, *SSU72*, *PHS1*, *SIW14*, *DBR1*, *PSR1*, *YND1*, *INP5201*, *INP5202*, *HAD1*, *SIT4*, *PPG1*, *GUA1*, *NEM1*, *FBB26*, *OCA101*, *CCR4*, *YMR1*, *OCA1*, *MRE11*, *CDC1*, *XPP1*, *SDP102*, *SDP101*)의 병리학적 기능을 규명하였다.

[0174] 첫번째로, 포유류 체온에 대한 내열성은 인간 곰팡이 병원체의 중요한 병독성 인자이므로 30°C 및 37°C에서 각 돌연변이의 성장을 정량적으로 측정했다. *gua1Δ*, *yvh1Δ*, *fbb26Δ*, *siw14Δ*, *dbr1Δ*, *CCR4Δ*, *ppg1Δ*, *nem1Δ* 및 *inp5201Δ* 돌연변이체는 30°C 및 37°C 모두 성장이 저해되었다. (상기 표 5 및 도 4 참고) *CCR4Δ*, *ppg1Δ*,

*nem1Δ*, *dbr1Δ* 및 *inp5201Δ* 돌연변이체는 30°C 보다 37°C에서 더 많은 성장 결함을 나타냈다. *ssu72Δ*, *phs1Δ*, *mre11Δ*, *tps2Δ* 및 *cna1Δ* 돌연변이체는 37°C에서 성장이 저해되었으나 30°C에서는 영향을 받지 않았다.

[0175] 총 14 개의 포스파타아제 돌연변이체(*gua1Δ*, *yvh1Δ*, *phs1Δ*, *nem1Δ*, *cna1Δ*, *ppg1Δ*, *siw14Δ*, *inp5201Δ*, *ccr4Δ*, *dbr1Δ*, *ssu72Δ*, *tps2Δ*, *mre11Δ*, *fbp26Δ*)는 WT과 비교하면 37°C에서 성장이 저하되었고, 뮤린 감염성 또는 곤충 독성이 감소되었다. 이 중 *ppg1Δ*, *cna1Δ* 및 *tps2Δ* 돌연변이체는 37°C에서 가장 심각한 성장 결함을 나타냈고, 배양 기간을 더 연장하여도 WT 수준으로 성장하지 않았다. *ppg1Δ*, *cna1Δ* 및 *tps2Δ* 돌연변이체는 폐 및 뇌의 STM 값이 크게 감소한 것으로 나타났다. *oca101Δ* 돌연변이체는 30°C에서 다소 성장 장애를 나타냈지만 37°C에서는 성장이 저해되지 않았으므로, *Oca101*의 *C. neoformans* 내에서 병원성 관련 역할은 온도와 관련이 없음을 나타낸다. 상기 내용을 종합해볼 때, *C. neoformans*의 37°C에서의 생장 능력이 병원성과 상당히 밀접한 관계가 있음을 시사한다.

#### 0177] 실시예 6: 멜라닌 및 캡슐 생산에 관여하는 포스파타아제

[0178] *C. neoformans*는 병독성 인자로서 폴리페놀 색소인 멜라닌 및 다당류(polysaccharide) 캡슐을 가지고 있으며 둘다 항식세포(antiphagocytic) 활성에 기여한다. 이 중 멜라닌 색소는 활성산소종 소거 활성(scavenging activity)에 의해 항산화제 역할도 한다.

#### 0180] 6-1. 멜라닌 생산 관여 포스파타아제

[0181] *Niger seed medium*에서 멜라닌 생성에 결함이 있는 19 개의 포스파타아제 돌연변이체 중 13 개의 돌연변이체(*mre11Δ*, *ccr4Δ*, *vps29Δ*, *yvh1Δ*, *fbp26Δ*, *inp5201Δ*, *cac1Δ*, *ptp2Δ*, *ptc2Δ*, *dbr1Δ*, *ppg1Δ*, *nem1Δ* 및 *gua1Δ*)는 L-DOPA 및 에피네프린 배지에서도 멜라닌 생성 결함을 나타냈다.(표 6 및 도 5 참고)

[0182] *ptc2Δ* 돌연변이를 제외한 나머지 돌연변이는 감염성 또는 병독성이 감소하였으며, 이는 멜라닌 생성이 병원성과 강한 상관 관계가 있음을 시사한다.

[0183] 대조적으로, *SIW14* 결실은 모든 멜라닌 유도 배지에서 멜라닌 생성을 증가 시켰지만(도 5) 오히려 병독성을 약화시켰으므로(도 2), *SIW14*가 매개하는 다른 세포 기능이 병독성을 촉진할 수 있음을 시사한다.

[0184] 다음으로 상기 포스파타아제들이 영양 결핍 조건 하에서 *C. neoformans*의 멜라닌 생산을 위한 속도 제한 효소인 laccase를 코딩하는 *LAC1* 유전자 발현 유도에 직접 관여하는지 여부를 조사했다.

[0185] 도 6에 따르면, *PTP2*, *CCR4*, *INP5201*, *CAC1*, *DBR1*, *FBP26*, *GUA1*, *NEM1* 및 *PPG1*의 결실은 영양 결핍시 *LAC1* 유전자의 발현 유도 정도가 현저하게 감소되었고, 특히 *PTP2*, *CCR4*, *CAC1* 및 *PPG1*의 결실은 *LAC1* 유전자 발현 유도가 강력히 억제되었다.

[0186] *Ptp2*는 *Hog1 MAPK*의 음성 피드백 조절자로 보고되었다. *Hog1* 결실은 *LAC1* 유도 및 멜라닌 생성을 증가시킨다. 최근 본 발명자에 의해 *LAC1* 유전자의 발현 유도는 *Bzp4*, *Usv101*, *Hob1* 및 *Mbs1* 4 가지 핵심 TF에 의해 제어되는 것으로 보고되었다. 이 중 *BZP4* 및 *HOB1* 유전자의 발현은 영양 결핍에 의해 유도되고 *BZP4* 유도는 *HOB1*에 의존한다. 따라서 *LAC1* 유전자 발현 유도정도를 조절하는 포스파타아제가 *BZP4* 및 *HOB1* 유전자의 유도를 조절하는지 여부를 조사했다. 대부분의 멜라닌 결손 포스파타아제 돌연변이에서 영양 결핍에 의한 *BZP4* 유전자 발현 유도 정도가 현저하게 감소했지만, 특히 *CCR4* 결실은 *BZP4*의 발현 유도 정도를 크게 감소시켰고, 특히 영양 결핍 시의 *HOB1* 발현 유도 정도를 크게 억제했다(도 7). 따라서 *Ccr4-Hob1-Bzp4* 의존적 신호 전달 경로는 *C. neoformans*에서 *LAC1* 유전자 발현 유도 및 멜라닌 생성에 중요한 역할을 하는 것으로 보인다.

#### 0188] 6-2. 캡슐 생산 관여 포스파타아제

[0189] 캡슐 생산에 관여하는 포스파타아제를 조사했다. 캡슐 생산은 농축세포용적(packed cell volume)에 의해 정량적으로 측정하였다. *Cac1*, *Ptp2*, *Psr1*, *Ndx5*, *Hpp2*, *Oca1*, *Sdp102*, *Ynd1*, *Ng13*, *Ppp5* 및 *Cwh43*의 결실은 농축세포용적을 감소시켰으며 *Inp5201*, *Dbr1*, *Phs1*, *Cdc1*, *Cna1*, *Sit4*, *Ccr4*, *Nem1*, *Pcd102* 및 *Fig4*의 결실은 농축세포용적을 증가시켰다. (표 6 및 도 8 참고)

[0190] 이를 돌연변이체의 실제 캡슐 두께를 조사했다. 이 중 6 개 돌연변이체 (*cac1Δ*, *sdp102Δ*, *ndx5Δ*, *ptp2Δ*, *ynd1Δ* 및 *psr1Δ*)는 세포 부피 분석에서 표현형의 농축세포용적의 감소와 일치하는 캡슐 생산 감소를 나타냈으며, 이들 중 5 개 (*cac1Δ*, *ptp2Δ*, *sdp102Δ*, *ynd1Δ*, *psr1Δ*)는 병독성이 감소되었다. 대조적으로, *inp5201Δ* 돌연변이는 캡슐 생산이 크게 향상되었으나 병독성은 크게 감소되었는데(STM <-7), 이는 멜라닌 생산 결함에서 기인한 것으로 생각된다.

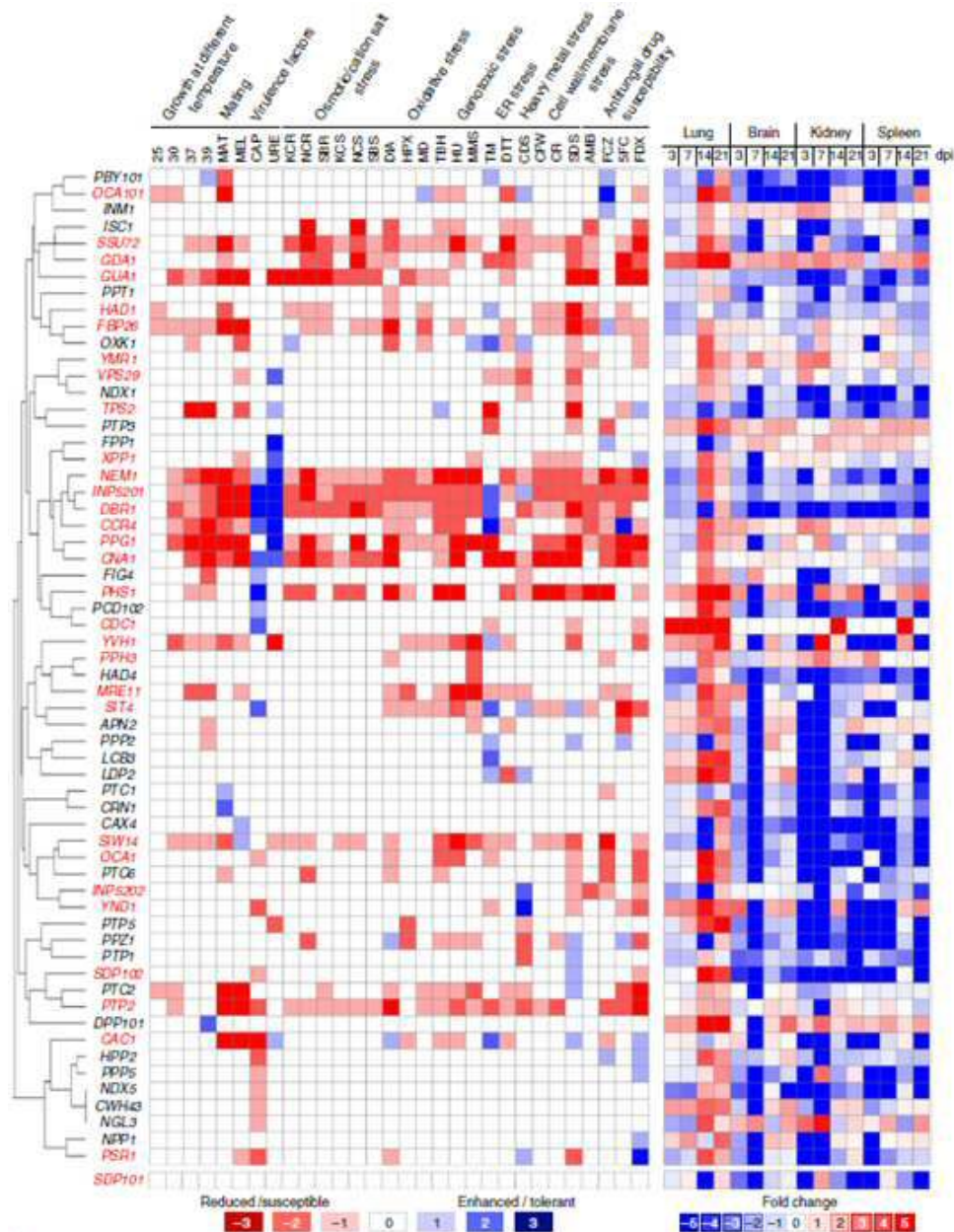
- [0191] 전반적으로 멜라닌과 다당류 캡슐을 생산하는 능력은 C. 네오포르만스의 잠재적 병원성과 높은 상관 관계를 나타내었다.
- [0193] **실시예 7: 레트로머(retromer) 복합체와 C. 네오포르만스의 병독성**
- [0194] 병독성 관련 포스파타아제 중 Vps29 (CNAG\_00182)는 *S. cerevisiae*에서 처음 발견된 레트로머(retromer) 복합체의 구성 요소로 추정되고 있다.
- [0195] 효모의 레트로머는 골지후 세포기관(post-Golgi organelles)으로부터 용해 구획(lytic compartment)으로의 단백질 세포내 수송을 매개하는 세포질 이종오량체 단백질 복합체(cytosolic heteropentameric protein complex)이다. 효모 레트로머는 Vps29, Vps35 및 Vps26이 포함된 CRC(Cargo-Recognition Core) 컴플렉스와 Vps5 및 Vps17이 포함된 SNX(Membrane-Deforming Sorting Nexin) 컴플렉스로 구성된다.
- [0196] Vps29의 기능이 레트로머 복합체의 보존된 역할에서 비롯되었는지 여부를 확인하기 위해 C. 네오포르만스의 다른 레트로머 구성 요소를 기능적으로 특성화했다. C. 네오포르만스 유전체에서 Vps35 (CNAG\_01837), Vps26 (CNAG\_01426), Vps5 (CNAG\_01315) 및 Vps17 (CNAG\_00508)와 상동성있는 단백질을 인코딩하는 나머지 레트로머 구성요소 유전자를 모두 확인했다. 이는 레트로머 복합체가 병원성 곰팡이에서 진화적으로 보존되어 있음을 시사한다.
- [0197] H99 균주에서 각 유전자를 삭제하고 표현형 분석을 수행하였다. *VPS35* 및 *VPS26*의 결실은 *VPS29* 결실보다 더 극적인 표현형 변화를 가져 왔으며, 이는 Vps35 및 Vps26이 C. 네오포르만스에서 중요한 CRC 복합 성분임을 의미한다. 대조적으로 SNX의 구성요소인 *VPS5* 및 *VPS17* 결실은 표현형 변화가 *VPS29* 결실과 비교하면 상대적으로 크지 않았다.(도 9)
- [0198] 곤충 살해 분석에서 CRC 복합체 돌연변이는 독성이 현저히 감소된 반면 SNX 복합체 돌연변이는 독성이 야생형 균주와 큰 차이가 없었다. (도 10) 그러나 쥐파(murine) 기반 STM 분석에서 CRC 복합체 돌연변이 및 SNX 복합체 돌연변이는 폐 및 뇌 감염성이 현저히 감소되었다. (도 11) 실험 결과를 종합하면, 레트로머 CRC 복합체 및 SNX 복합체 모두가 C. 네오포르만스의 병원성에 중요하다는 것을 의미한다.
- [0200] **실시예 8: C. 네오포르만스의 O-만노실화를 조절하는 gda1 및 ynd1**
- [0201] *S. cerevisiae*에서 Gda1 및 Ynd1은 GDP-만노스 및 GMP 사이의 역수송 교환 비율(antiport exchange ratio)에 영향을 주어 O-linked 및 N-linked된 당단백질(glycoprotein) 및 당스핑고지질(glycosphingolipid)의 만노실화(mannosylation)를 조절하는 골지막 결합 아피라제(golgi membrane bound apyrase)이다. Gda1은 GDP에 고도로 특이적인 활성(highly specific activity)을 나타내는 반면 Ynd1은 훨씬 더 광범위한 활성 스펙트럼을 나타낸다. 따라서 *GDA1* 및 *YND1*이 이중 결실되는 경우 하나만 결실되는 것보다 더 심각한 당화 결손(glycosylation defect)을 초래한다.
- [0202] C. 네오포르만스의 *gda1Δ* 변이 및 *ynd1Δ* 변이가 O-glycosylation에서 결함을 나타내는지 여부를 조사하기 위해 야생형, *gda1Δ* 균주 및 *ynd1Δ* 균주의 O-글리칸 프로파일을 비교했다.
- [0203] C. 네오포르만스의 세포벽 만노단백질(cell wall mannoproteins)인 cwMPs에 결합된 O-결합 올리고당(O-linked oligosaccharides)를 하이드라진분해(hydrazinolysis)로 획득하고, 2-aminobenzoic acid (2-AA)로 표지하고, 형광 검출 기능이 있는 HPLC를 사용하여 분석하였다.
- [0204] 도 12에 따르면, C. 네오포르만스 야생형 균주의 O-결합 올리고당은 주로 2 내지 4개의 만노스 잔기(Man2-Man4; M2-M4)로 구성되었으며, 약간의 자일로스(X1M2-X1M4) 포함 O-글리칸종(O-glycan species) 및 약간의 α1,2-만노트리오스(α1,2-mannotriose, M3\*)종을 포함하였다. 그러나, *gda1Δ* 돌연변이의 O-글리칸 프로파일은 M4 피크가 극적으로 감소했으며 M1 피크는 야생형 균주에 비해 증가했다. 특히, 야생형에서는 함량이 낮았던 자일로스 함유종이 *gda1Δ* 균주의 O-글리칸에서 증가하였다.
- [0205] 도 13에 따르면, *ynd1Δ* 돌연변이체는 M1 피크가 증가하고 M4 피크가 다소 감소했지만, 그 감소된 정도는 *gda1Δ* 돌연변이체의 M4 피크 감소에 이르진 않았다. 상기 O-글리칸 프로필의 변화는 *gda1Δ* 균주 및 *ynd1Δ* 균주에서 GDPase 활성이 감소하여 세포질에서 골지 내강(lumen of the Golgi)으로의 GDP-mannose 공급이 저하됨으로써 O-글리칸의 신장 과정에 심각한 결함이 있음을 나타낸다. (도 14 참고) 상기 실험 결과를 기초로 C. 네오포르만스의 *gda1* 및 *ynd1*은 골지 N-글리코실화 및 O-글리코실화에 필요한 막결합 아피라제(membrane bound apyrase)를 암호화하는 것으로 생각된다.

- [0206] *gda1Δ*는 *ynd1Δ*보다 주요 O-글리칸이 극적으로 감소하였으며, 이는 Gdα1 단백질이 주요 O-글리칸 생합성 경로에서 GDP-만노스 공급을 담당하는 주요 GDPase임을 의미한다. *ynd1Δ*의 캡슐 크기 감소는 Ynd1 단백질이 캡슐 생합성을 위한 GDP-만노스 공급에도 관여할 수 있음을 시사한다. 그러나, *gda1Δ ynd1Δ* 이중 돌연변이는 얻지 못했다. 이는 두 단백질이 C. 네오포르만스에서 합성 치사 관계임을 의미한다. 곤충 살해 분석에서 *gda1Δ* 변이 및 *ynd1Δ* 변이 모두 병독성이 감소하였기 때문에, 실험결과를 종합하면 O-만노실화가 C. 네오포르만스의 독성에 중요하다는 것을 알 수 있다.
- [0208] **실시예 9: 혈액-뇌 장벽(BBB) 통과(crossing)에 관여하는 포스파타아제**
- [0209] C. 네오포르만스의 인체 감염시 가장 큰 문제는 치명적인 수막뇌염을 일으키는 뇌 감염이다. 모든 포스파타아제 돌연변이체에 대한 뇌 STM 점수(brain STM score)는 일반적으로 폐 STM 점수와 유사했지만 일부는 낮은 뇌 STM 점수를 나타냈다. (도 3 참고: *TPS2*, *YMR1*, *FBP26*, *MRE11*, *CDC1* 및 *XPP1*). 그러나 비강 내 흡입(intranasal inhalation pass)을 통해 투여된 포스파타아제 돌연변이 균주는 폐를 먼저 통과하기 때문에 뇌에 도달하는 돌연변이 균주는 흡입된 돌연변이풀 대비하여 분포가 균일하지 않아 폐와 뇌 STM 점수를 직접 비교하기가 어려운 문제가 있었다.
- [0210] 뇌 감염에서 포스파타아제의 역할을 규명하기 위해, 37°C에서 성장이 히트맵 표기상 -2 이상으로 현격하게 감소된 변이를 제외한 나머지 병원성 관련 포스파타아제 돌연변이체를 이용하여 BBB를 통과하는(traverse) 능력을 모니터링했다.
- [0211] 도 15에 따르면, 5개 변이체(*xpp1Δ*, *ssu72Δ*, *siw14Δ*, *sit4Δ* 및 *gda1Δ*)는 BBB 통과능력이 현저히 감소한 것으로 나타났다. BBB에 대한 부착(adhesion)이 효과적인 BBB 통과를 위한 전제 조건일 수 있기 때문에 BBB-adhesion assay를 실시하였다. 도 16에 따르면 *gda1Δ*를 제외한 *xpp1Δ*, *ssu72Δ*, *siw14Δ* 및 *sit4Δ* 돌연변이체는 BBB 부착이 감소된 것으로 나타났다. 실험결과에 따르면 *gda1Δ*에 의한 단백질 또는 지질의 O-만노실화 감소가 BBB 통과에 영향을 미치지만 BBB 부착에는 관여하지 않는 것으로 생각된다.
- [0212] C. 네오포르만스를 *in vitro* BBB 통과 및 접착 분석에 사용한 조직 배양 배지에 37°C로 배양한 결과 성장이 활발하지 않음을 발견했다. 이는 낮은 포도당 농도 (0.1 % 포도당) 때문일 수 있다.
- [0213] 본 발명자는 최근 논문에서 *in vitro*의 숙주 모방 조건(HMC(host-mimic conditions); 5 % CO<sub>2</sub>, 37°C, 10% FBS를 포함하는 RPMI 배지)에 의해 BBB 부착을 촉진할 수 있는 TF(*PDR802*, *FZC31* 및 *GAT201*)들이 발현 유도될 수 있음을 보고하였다.
- [0214] 이에 기초하여, *xpp1Δ*, *ssu72Δ*, *siw14Δ* 및 *sit4Δ* 돌연변이체에서 숙주모방조건(HMC)으로 뇌감염 관련 유전자(이노시톨 수송체 유전자(*ITR1a* 및 *ITR3c*) 및 *MPR1*) 및 상기 TF 유전자의 발현이 유도될 수 있는지를 조사했다.
- [0215] 도 17에 따르면, *SSU72* 결실은 HMC 매개 *MPR1* 발현 유도를 가장 현저하게 감소시켰다. 이는 *ssu72Δ* 돌연변이의 BBB 통과 및 부착 결함이 *MPR1* 발현 유도 감소에 의해 발생할 수 있음을 시사한다. 그러나 도 16에 따르면 *ssu72Δ* 돌연변이는 *mp1Δ* 돌연변이보다도 BBB 통과 및 부착에서 결함이 많기 때문에, *Ssu72*의 다른 세포적 기능이 BBB 통과 및 부착에 관여할 수 있다. *SIT4* 결실 및 *GDA1* 결실은 HMC 매개 *ITR3c* 발현 유도를 현저하게 감소시켰다. *GDA1* 결실은 또한 *FZC31* 유도에 영향을 미쳤다. 그러나 *GAT201* 및 *PDR802*의 발현은 *SIT4*, *SIW14*, *SSU72*, *GDA1* 또는 *XPP1*의 결실에 의해 영향을 받지 않았다.
- [0216] C. 네오포르만스에 의한 뇌 감염과 관련된 신호 네트워크를 통합적으로 이해하기 위해, BBB 통과와 관련된 포스파타아제, TF, 및 키나아제에 대한 연구 데이터를 결합하고 STRING 분석을 사용하여 기능적 유전자 네트워크를 생성했다.
- [0217] 도 18에 따르면, 글루코스 감지(Sit4-Snf1-Ga183), RNA 가공(RNA processing)(*Ssu72*) 및 퓨린 대사(Xpp1-Met3)와 관련된 유전자가 C. 네오포르만스의 BBB 통과에 중요하다는 것을 발견했다.
- [0218] 상기 실험결과를 종합하면, C. 네오포르만스는 뇌 감염을 위해 복잡한 신호 네트워크를 활용함을 나타낸다.
- [0220] **실시예 10: 곰팡이 병원성 관련 포스파타아제 비교**
- [0221] C. 네오포르만스의 포스파타아제 돌연변이의 병독성 데이터 및 다른 식물 또는 동물 병원성 진균의 데이터와 비교하여 핵심적인 병원성 관련 포스파타아제를 선별했다.

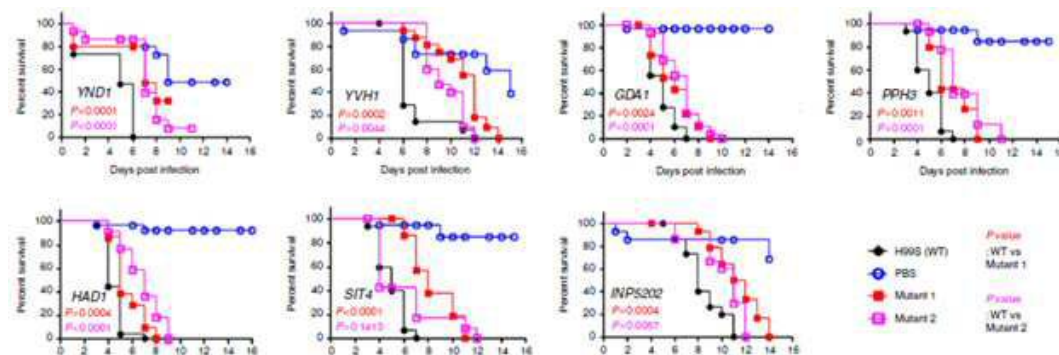
- [0222] 도 19에 따르면, 인간 병원균인 크립토코커스 네오포르만스 및 칸디다 알비칸스(*Candida albicans*)에서 일치하는 13 개의 포스파타아제(Cna1/Cmp1, Sit4, Oca1, Yvh1, Sdp101/Cpp1, Ptp2/Ptp3, Cac1/Cyr1, Ccr4, Had1/Rhr2, Tps2, Inp5201/Inp51, Ppg1 및 Gua1)는 병원성을 나타내기 위한 핵심적인 포스파타아제로 생각된다. 13 개의 포스파타아제 중 CnaA, SitA 및 Or1A(Tps2 ortholog)는 아스페질러스 푸미가투스(*Aspergillus fumigatus*)의 병독성에도 관여하는 것으로 확인되었다. (SitA는 *A. fumigatus*의 Sit4에 대한 ortholog)
- [0223] 푸사리움 그라미네아룸(*Fusarium graminearum*)의 병원성 관련 포스파타아제와 비교했을 때 동물 및 식물 곰팡이 병원균의 병독성에 8 가지 포스파타아제(Sit4, Yvh1, Sdp2 / Msg5 (Sdp101 orthologue), Ptp2, Ac1(Cac1 orthologue), Tps2, Inp53 (Inp5201 orthologue) 및 Ppg1)가 필요한 것으로 나타났다. Sit4는 TOR 경로에, Cac1은 cAMP 경로에, Ppg1과 Yvh1은 세포 성장, 영양소 감지 및 곰팡이 병원체의 스트레스 반응에 관여한다. Cna1 및 Had1 매개 칼시뉴린 경로, Tps2 매개 트레할로스 경로 및 Msg5 매개 Mpkl/Slt2 MAPK 경로는 모두 세포벽 무결성 유지에 필요하다. HOG 경로의 주요 음성 피드백 조절제인 Ptp2는 곰팡이 병원체의 적응 및 스트레스 반응에 관여한다. Inp51, Inp52 및 Inp53은 소포 수송(vesicle trafficking), 액틴 세포골격(actin cytoskeleton) 및 세포벽 무결성(cell wall integrity)을 제어하는 포스포이노시티드 신호 전달(phosphoinositide signalling)에 관여한다.
- [0224] 이러한 데이터를 기반으로, 세포 성장, 영양소 감지(nutrient sensing), 세포벽 무결성, 스트레스 반응 및 포스포이노시티드 신호 전달과 관련된 포스파타아제 및 신호 전달 경로는 곰팡이 병원성에서 중추적인 역할을 하는 것으로 판단된다.
- [0225] 그러나 *PPH3* 결실은 *C. neoformans* 및 *F. graminearum*의 병독성을 감소 시키지만 *C. albicans*의 병독성을 향상 시킨다. 이와 대조적으로, ptc2 또는 ptc3의 결실은 각각 *C. albicans* 또는 *F. graminearum*의 병독성을 감소 시키지만 *C. neoformans* 병독성을 감소시키지 않는다. 따라서 포스파타아제는 곰팡이의 종류마다 병독성에 관여하는 정도의 차이가 있을 수 있다.
- [0227] 표현형의 변화를 나타내지 않은 54개의 돌연변이체는 감염성 및 병독성의 결함을 나타내지 않았다. 상기 54개의 포스파타아제는 *C. neoformans*의 병리학적 기능에 관여하지 않는 것으로 판단된다.
- [0229] **실시예 11: 세포막 안전성 관련 포스파타아제 확인**
- [0230] 시험관 내 스트레스 조건에 대한 각 포스파타아제 돌연변이의 세포막 스트레스 감수성을 분석하기 위해, *C. neoformans*를 30°C에서 16시간 동안 성장시키고, 연속적으로 10배(1-10<sup>4</sup>) 희석하고, 세포막 스트레스 유도 화학물질(SDS; 0.03% - 0.05%)을 포함하는 YPD 한천 배지에 스팟 접종하였다. 세포를 30°C에서 1일 내지 5일간 배양하고 매일 사진을 찍었다.
- [0231] 도 20 및 도 21에 따르면, *VPS29*, *YMR1*, *SSU72*, *NEM1*, *YVH1*, *SIT4*, *GUA1*, *INP5201*, *PHS1*, *DBR1*, *SIW14*, *SDP102*, *OCA1*, *GDA1*, *FBP26*, *PSR1*, *CDC1*, *INP5202*, 또는 *YND1* 유전자가 결실된 *C. neoformans*는 WT과 비교하여 세포막 스트레스 유도 물질인 SDS(sodium dodecyl sulfate)가 첨가된 배지에서의 성장이 현저히 감소하였다. 다른 포스파타아제 유전자들이 결실된 경우, 이들의 생장은 WT과 큰 차이가 없었다. (데이터는 개시하지 않음) 따라서 상기 *VPS29*, *YMR1*, *SSU72*, *NEM1*, *YVH1*, *SIT4*, *GUA1*, *INP5201*, *PHS1*, *DBR1*, *SIW14*, *SDP102*, *OCA1*, *GDA1*, *FBP26*, *PSR1*, *CDC1*, *INP5202*, 및 *YND1* 유전자들은 세포막 스트레스에 대한 저항성 및 세포막 안정성과 관련된 포스파타아제임을 알 수 있다.

## 도면

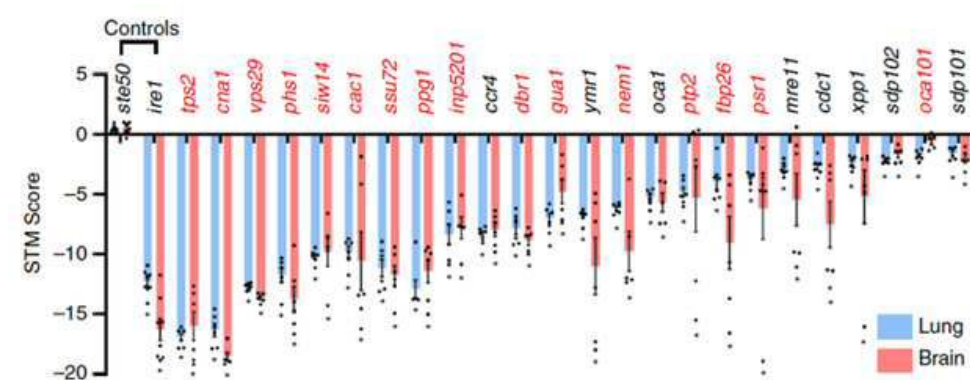
## 도면1



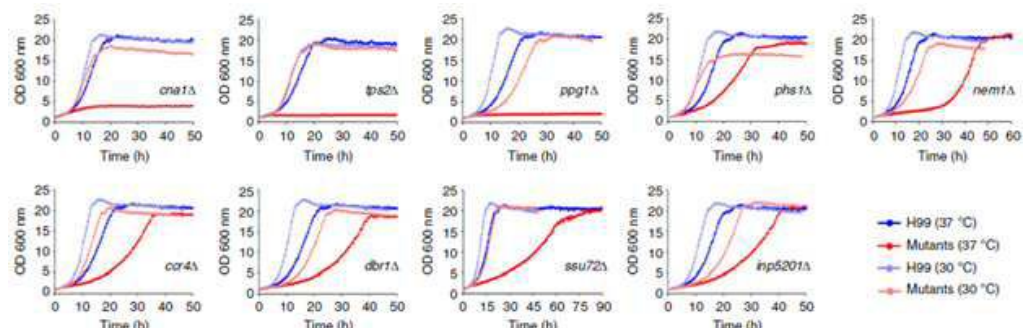
## 도면2



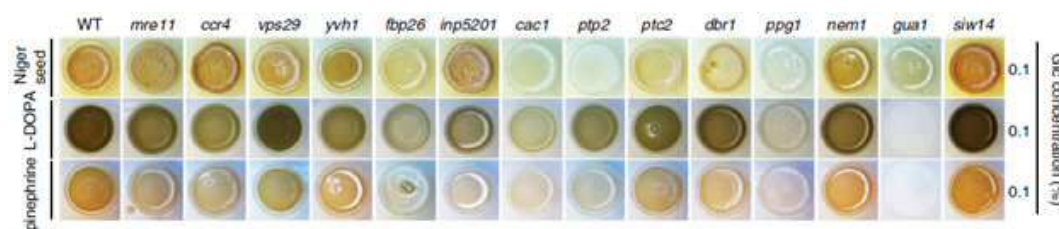
## 도면3



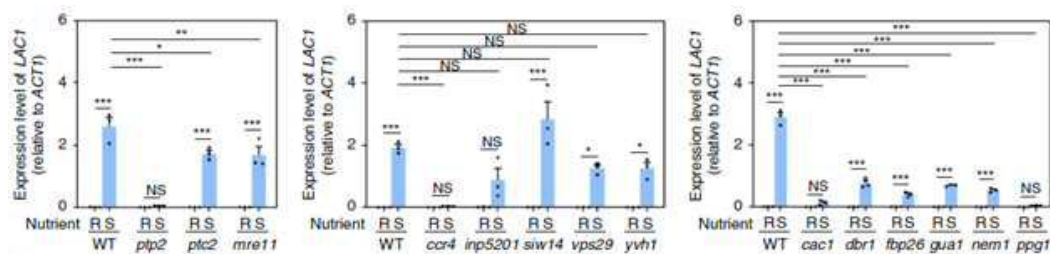
## 도면4



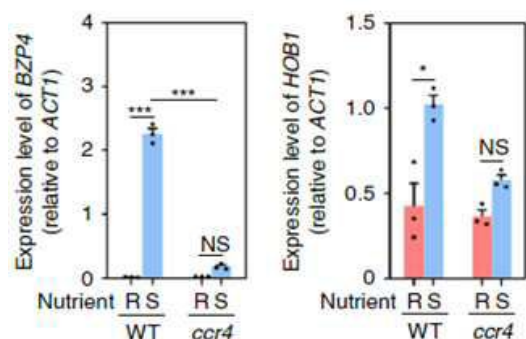
## 도면5



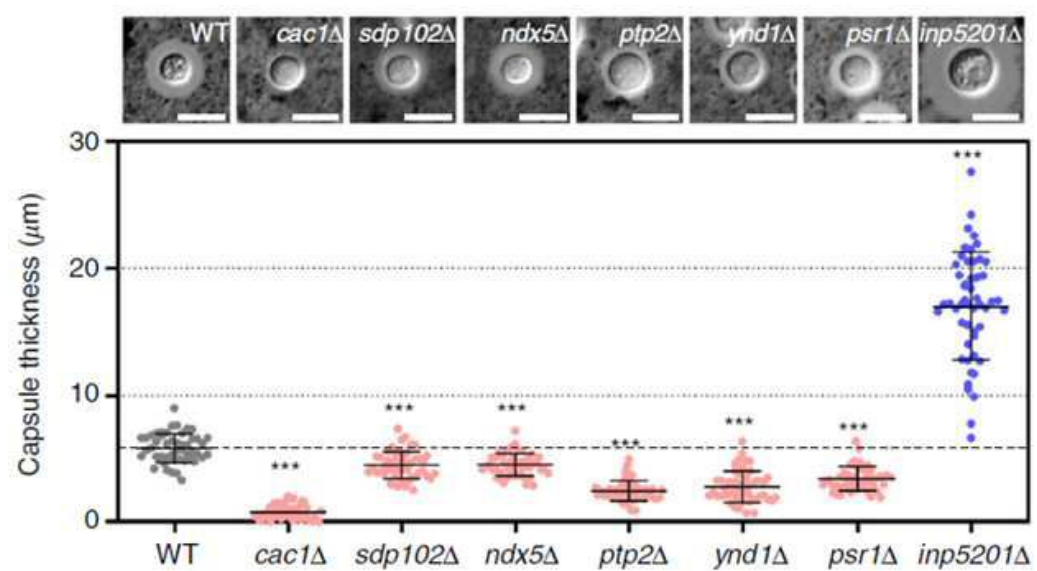
## 도면6



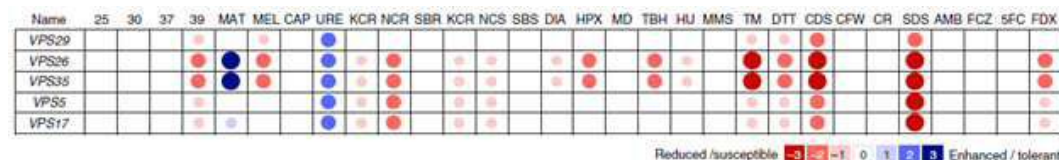
## 도면7



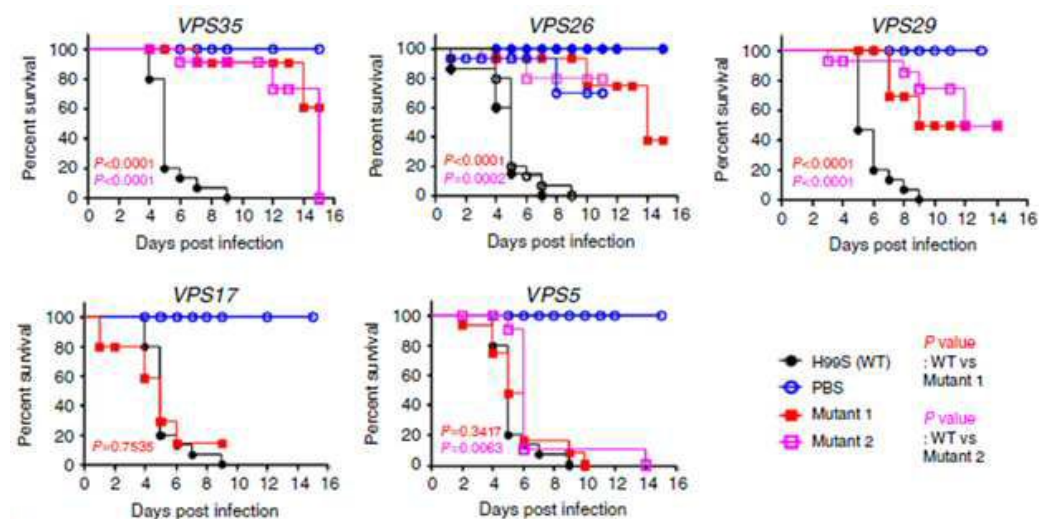
## 도면8



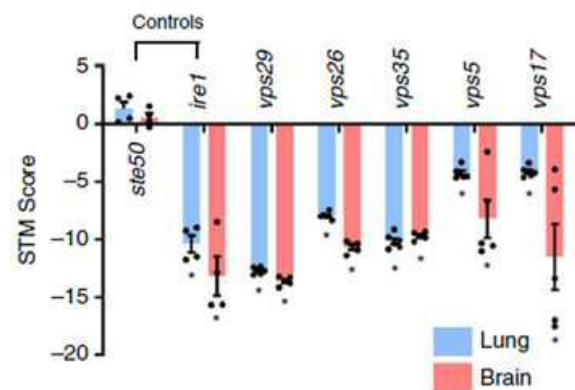
## 도면9



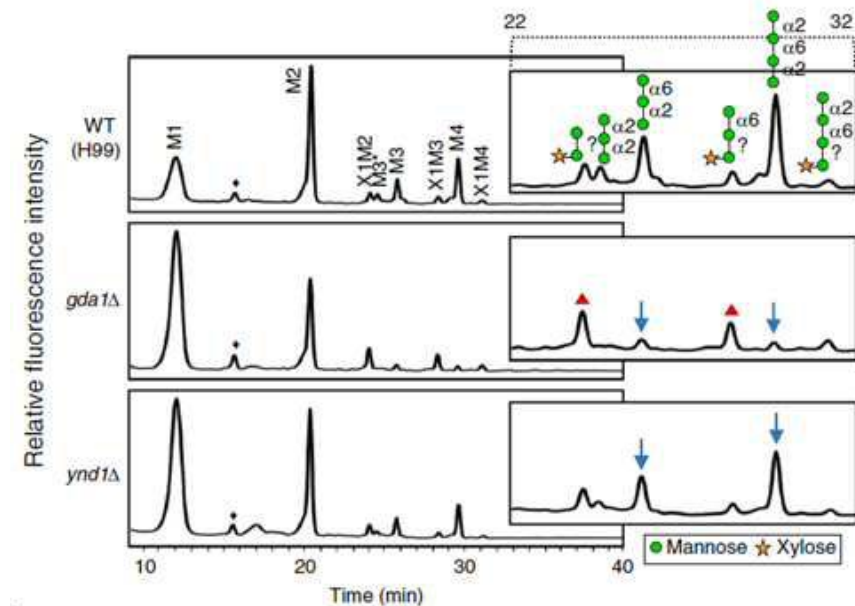
도면10



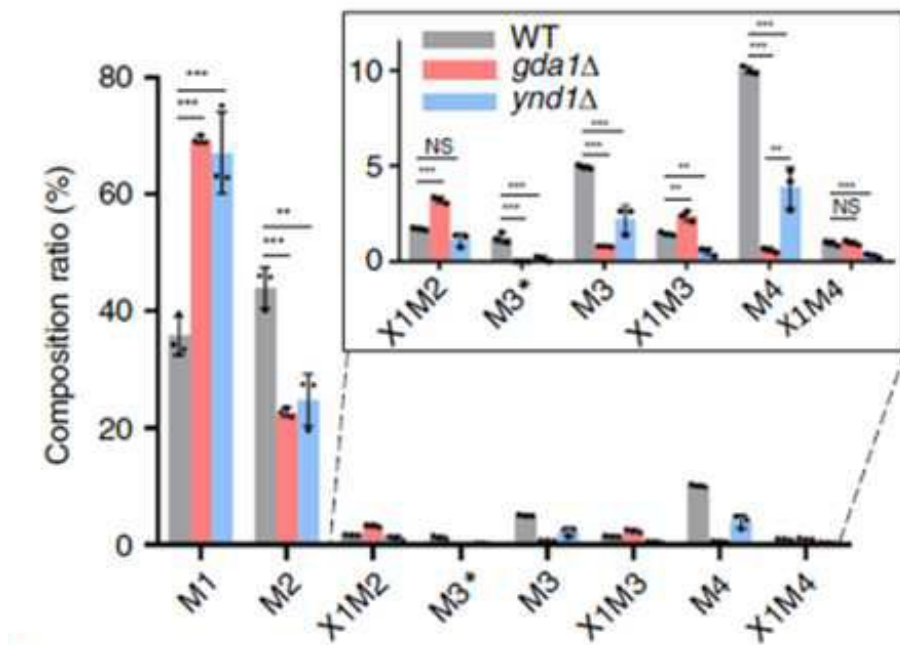
도면11



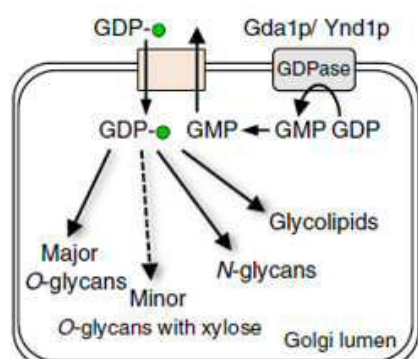
도면12



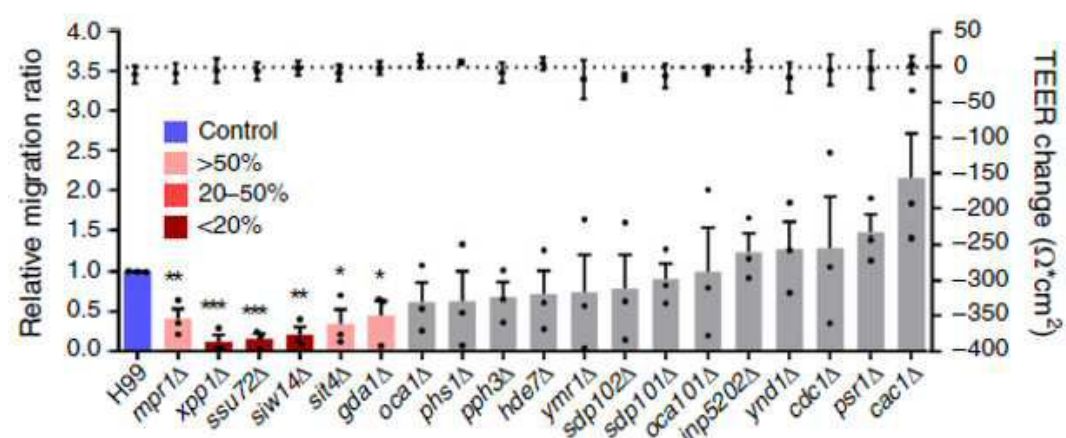
도면13



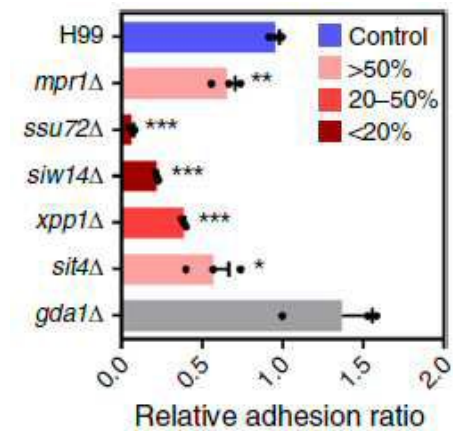
도면14



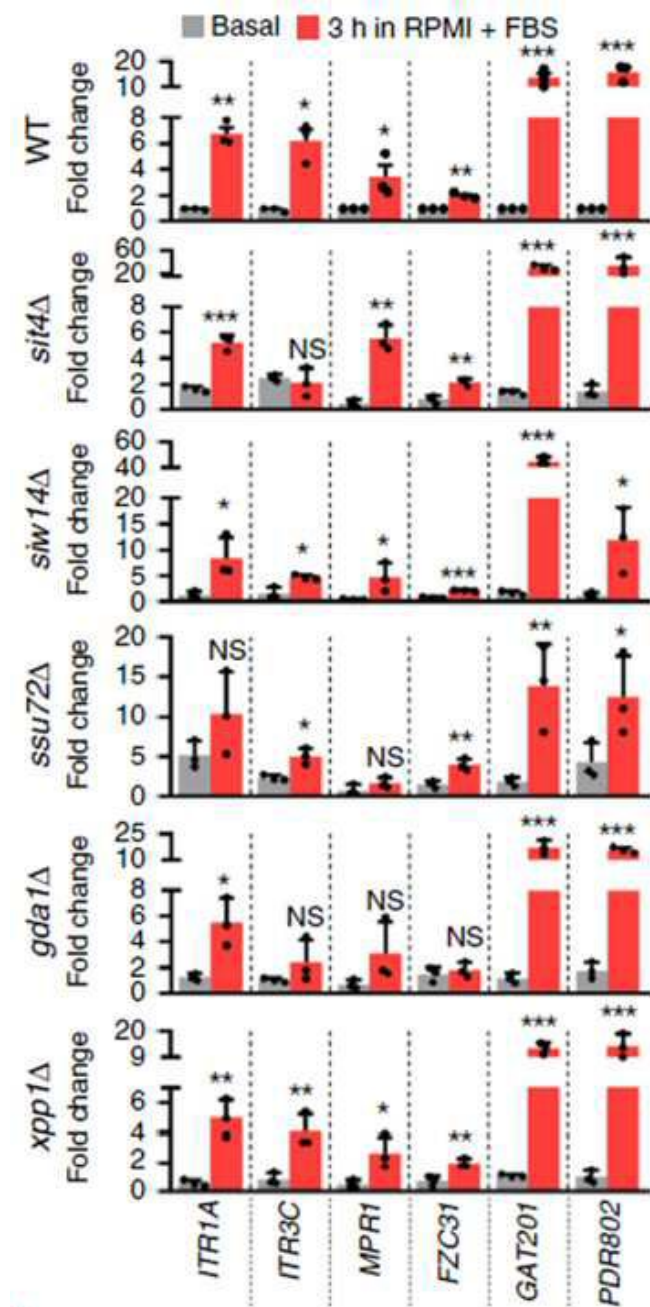
도면15



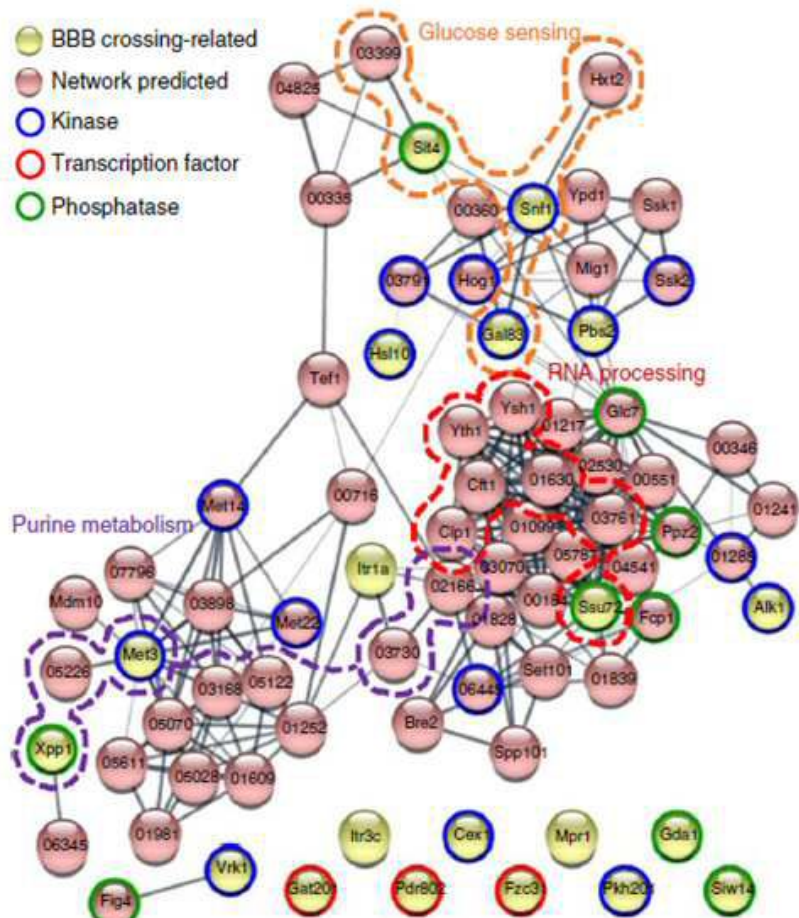
## 도면16



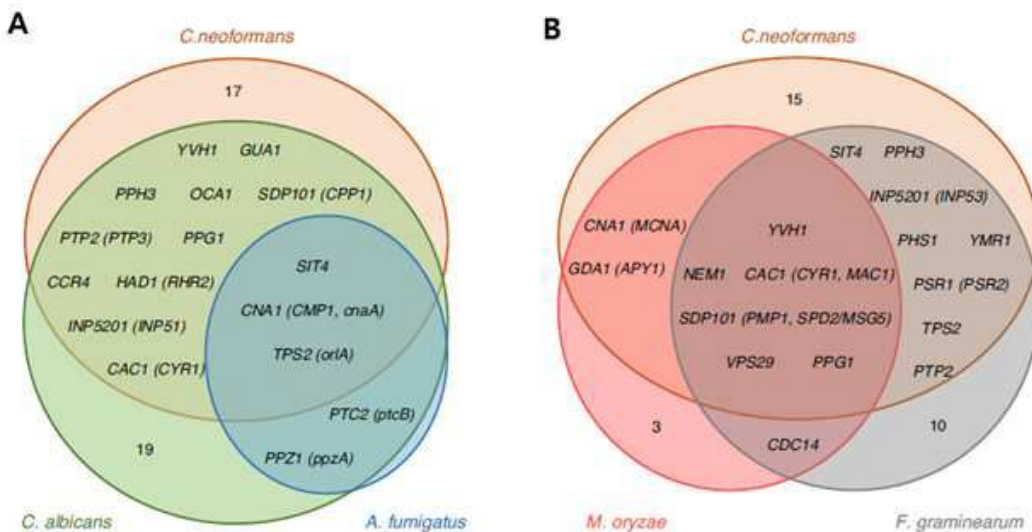
도면 17



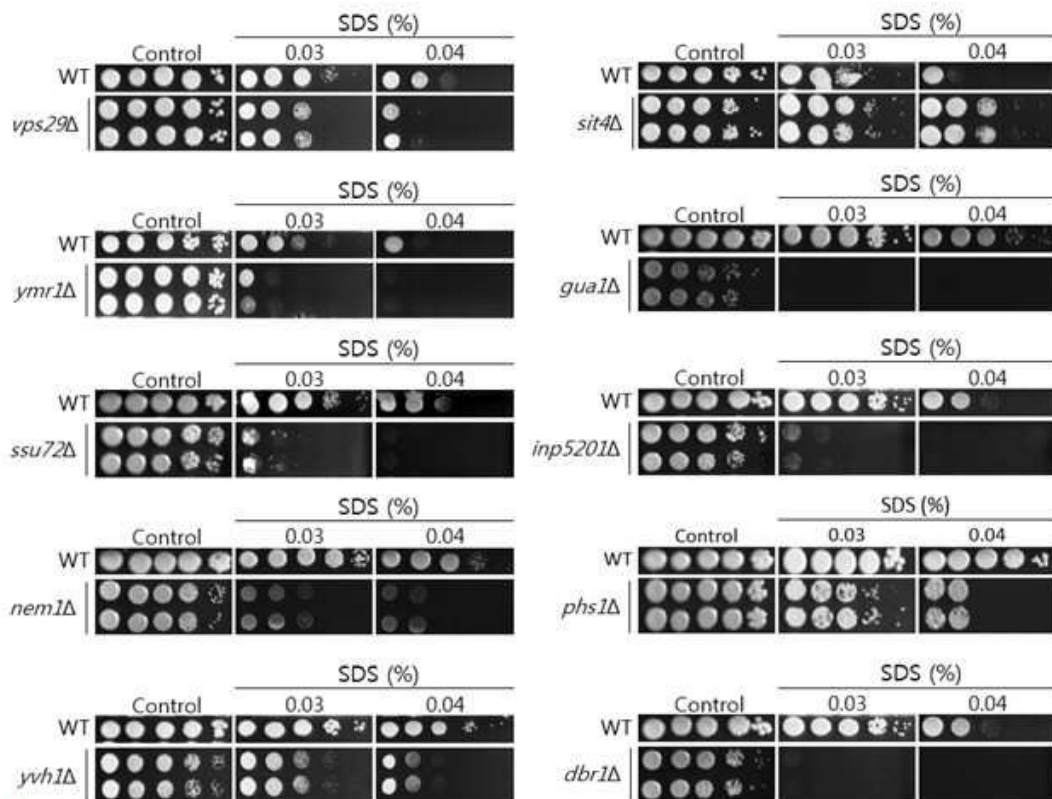
도면18



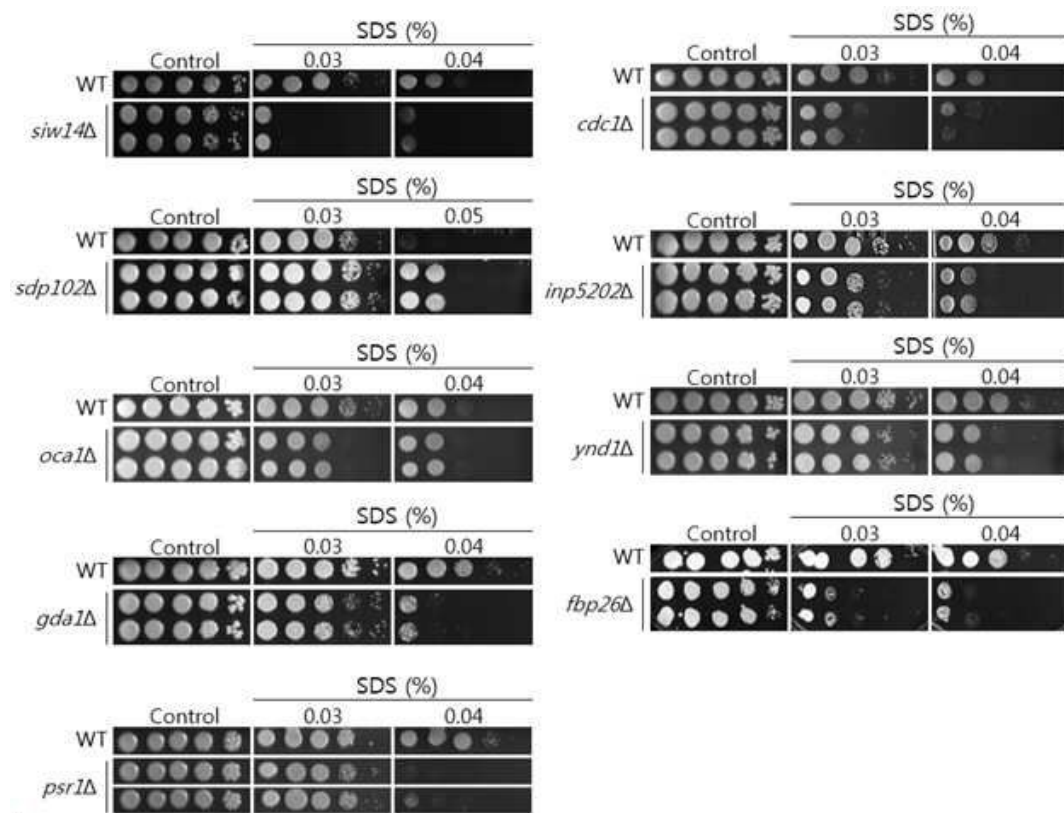
도면19



## 도면20



## 도면21



## 서 열 목 록

<110> Industry-Academic Cooperation Foundation, Yonsei University  
 <120> Phosphatase that modulates cell membrane stability of  
     Cryptococcus neoformans, and method for screening antifungal  
     agents using the same  
 <130> PN200402-P6  
 <150> KR 10-2020-0055355  
 <151> 2020-05-08  
 <160> 238  
 <170> KoPatent In 3.0  
 <210> 1  
 <211> 204  
 <212> PRT  
 <213> Artificial Sequence  
 <220><223> vps29 >CNAG\_00182 Transcript 1  
 <400> 1

Met Val Leu Val Leu Val Ile Gly Asp Leu His Ile Pro Asn Leu Val

1	5	10	15
His Asp Leu Pro Ala Lys Phe Lys Lys Leu Leu Val Pro Gly Lys Ile			
20	25	30	
Gly Gln Ile Ile Cys Thr Gly Asn Val Cys Asp Lys Glu Thr Tyr Asp			
35	40	45	
Tyr Leu Arg Thr Thr Ala Pro Glu Val His Val Val Arg Gly Glu Phe			
50	55	60	
Asp Glu Asn Pro His Phe Pro Leu Ser Leu Ile Ile Gln His Gln Ser			
65	70	75	80
Leu Arg Ile Gly Val Val His Gly Gln Gln Val Val Pro Ala Gly Asp			
85	90	95	
Pro Asp Met Leu Ala Ala Leu Ala Arg Gln Met Asp Val Asp Val Leu			
100	105	110	
Ile Ser Gly Gly Thr His Arg Phe Glu Ser Phe Glu Phe Glu Gly Arg			
115	120	125	
Phe Phe Val Asn Pro Gly Ser Ala Thr Gly Ala Trp Ser Ser Leu Trp			
130	135	140	

Asn Gly Glu Val Thr Pro Ser Phe Ala Leu Met Asp Ile Gln Gly Pro

145                    150                    155                    160

Val Ile Val Thr Tyr Val Tyr Gln Leu Val Asp Gly Glu Val Lys Val

165                    170                    175

Asp Lys Val Glu Tyr Arg Lys Pro Asp Leu Thr Ser Glu Thr Gln Ser

180                    185                    190

Gln Ser Thr Arg Ser Glu Val Ala Ala Arg Trp \*\*\*

195                    200

<210>      2

<211>      785

<212>      PRT

<213>      Artificial Sequence

<220><223>      YMR1 >CNAG\_00390 Transcript 1

<400>      2

Met Asp Ala Leu Arg Val Ala Arg Val Asp Asn Val Thr Ile Gln Tyr

1                    5                    10                    15

Phe Leu Pro Pro Thr Ala Pro Asp Gln Lys Pro Thr Pro Leu Thr Gln

20                    25                    30

Ile Gly Gln Leu His Leu Thr Pro His His Leu Ile Phe Ser His Thr

35                    40                    45

Pro Ser Thr Ala Tyr Glu Pro Glu Ile Trp Ile Pro Tyr Pro Leu Ile

50                    55                    60

Thr Arg Leu Thr Arg Leu Pro Gln Thr Ile Asn Gly Leu Tyr Pro Leu

65                    70                    75                    80

Gln Val Glu Thr Lys Thr Phe Glu Ser Tyr Val Leu Leu Phe Thr Lys

85                    90                    95

Asp Arg Asp Asp Gly Ala Glu Glu Val Trp Gln Ser Val Lys Asp Cys

100                    105                    110

Ser Val Lys Ser Ser Val Glu Gln Leu Tyr Ala Phe Phe Tyr Val Pro

115                    120                    125

Pro Ser Pro Gly Thr Gly Trp Thr Val Phe Asn His Arg Thr Glu Phe

130	135	140
Ala Arg Gln Gly Leu Gly Thr Arg Thr Lys Ala Trp Arg Phe Thr Asp		
145	150	155
Ile Asn Lys Asp Tyr Ser Phe Ser Pro Thr Tyr Pro Ser Lys Leu Val		
165	170	175
Val Pro Ser Arg Ile Ser Asp Ser Thr Leu Met Tyr Ala Gly Lys Tyr		
180	185	190
Arg Ser Lys Ala Arg Ile Pro Ala Leu Thr Tyr Leu His Trp Ala Asn		
195	200	205
Asn Ala Ser Ile Thr Arg Ser Ser Gln Pro Met Val Gly Ile Lys Asn		
210	215	220
Ser Arg Ser Ser Gln Asp Glu Arg Leu Val Glu Cys Ile Phe Ser Ser		
225	230	235
His Met Phe Leu Asp Asn Ala Tyr Ser Ser Ala Pro Ile Phe Gly Ala		
245	250	255
Thr Ser Thr Asn Leu Ile Ile Asp Ala Arg Pro Thr Thr Asn Ala Met		
260	265	270
Ala Asn Val Ala Met Gly Ala Gly Thr Glu Asn Met Glu Asn Tyr Lys		
275	280	285
Leu Gly Lys Ala Tyr Leu Gly Ile Asp Asn Ile His Val Met Arg		
290	295	300
Asn Ser Leu Lys Thr Val Ala Glu Ala Ile Arg Glu Ala Asn Leu Arg		
305	310	315
Pro Ser Val Pro Leu Asn Arg Ala Leu Leu Arg Lys Ser Asn Trp Leu		
325	330	335
Arg His Ile Ser Thr Ile Leu Asp Gly Ala Leu Ile Ile Val Arg Asn		
340	345	350
Ile His Leu Asn Ala Ser His Val Leu Ile His Cys Ser Asp Gly Trp		
355	360	365
Asp Arg Thr Gly Gln Leu Ser Ala Val Ala Gln Ile Cys Leu Asp Pro		
370	375	380

Tyr Tyr Arg Thr Phe Asp Gly Phe Lys Val Leu Val Glu Lys Asp Trp  
 385 390 395 400  
 Leu Ala Phe Gly His Lys Phe Leu Asp Arg Ser Gly His Leu Ser Ser  
 405 410 415  
 Glu Lys Tyr Phe Met Val Thr Glu Asn Asp Asp Asp Met Glu Glu Glu  
 420 425 430  
  
 Gly Val Ser Ala Gln Arg Ala Ala Gln Ala Phe Phe Ala Thr Val Gln  
 435 440 445  
 Lys Gln Phe Thr Ser Thr Ser His Leu Lys Glu Ile Ser Pro Val Phe  
 450 455 460  
 His Gln Phe Leu Asp Cys Val Arg Gln Ile Gln Arg Gln Phe Pro Glu  
 465 470 475 480  
 Arg Phe Glu Phe Asn Glu Gln Tyr Leu Leu Asp Ile Tyr Arg His Leu  
 485 490 495  
 Tyr Thr Cys Gln Phe Gly Thr Phe Leu Phe Asn Asn Glu Arg Glu Arg  
  
 500 505 510  
 Gln Glu Ser Ala Ser Pro Ser Arg Lys Ser Phe Val Glu Gln Thr Cys  
 515 520 525  
 Ser Val Trp Asp Tyr Leu Asp Ser Pro Ser Glu Arg Glu Lys Tyr Ile  
 530 535 540  
 Asn Ser Leu Tyr Asp Thr Thr Leu Asp Ser Asn Gln Ser Arg Asp Ala  
 545 550 555 560  
 Gly Ala Asp Gln Gly Val Leu Phe Tyr Asn Pro Lys Asp Val Arg Phe  
 565 570 575  
  
 Trp Phe Arg Leu Phe Gly Arg Gly Asp Glu Glu Met Asn Gly Ser Ser  
 580 585 590  
 Leu Thr Leu Asn Gln Pro Gln Gly Val Asp Ile Ile Gly Pro Ile Gly  
 595 600 605  
 Gly Asp Gln Val Glu Asp Met Ala Ala Gly Glu Ile Leu Arg Gly Ala  
 610 615 620  
 Ser Pro Val Ser Ala Pro Ser Pro His Ala Thr Ala Ser Gln Ser Arg  
 625 630 635 640

Ser Trp Asn Trp Ser Gln Leu Ser Gly Asn Ala Leu Asn Ala Val His

645 650 655

Ser Ala Ala Arg Glu Ile Lys Ser Ile Ser Gln Asp Ala Leu Ser Gln

660 665 670

Ile Arg Ala Glu Ala Asn Glu Leu Asp Arg Glu Ser Trp Glu Gln Asp

675 680 685

Gly Lys Gly Lys Asn Ser Glu Pro Ala Ser Leu Thr Glu Ser Thr Leu

690 695 700

Leu Pro Glu Thr Asn Pro Trp Ser Ala Glu Ala Arg Ser Ser Pro Thr

705 710 715 720

Ile Pro Pro Pro Arg Pro Asn Thr Gln Val Ser Arg Thr Thr Gln Asn

725 730 735

Pro Trp Ala Ala Met Pro Asp Thr Ile Thr Ser Leu Ser Asn Leu Thr

740 745 750

Leu Asp Gly Lys Ala Pro Gly Ser Pro Ala Asn Asp Ala Gly Thr Lys

755 760 765

Glu Arg Ala Gly Glu Lys Gln Gln Lys Ala Trp Asp Pro Leu Gly Ala

770 775 780

Leu

785

<210> 3

<211> 376

<212> PRT

<213> Artificial Sequence

<220><223> SSU72 >CNAG\_01054 Transcript 1

<400> 3

Met Asp Pro Arg Arg Arg His Asn Gln Arg Pro Pro Pro Ser Ser

1 5 10 15

Ser Leu Pro Pro Asn Pro Ala Ala Tyr Asn Ala Pro Pro Asn Ser Tyr

20 25 30

Gly Gly Ser Tyr Pro Asp Ala Arg Gln Tyr Gln Gly His Asn Gly Ala

35 40 45

His Ser Thr Pro Gln Gly Tyr Arg Ser Ala Pro Pro Pro Gln Pro Pro

50 55 60

Tyr Gly Ala Leu Pro Gly Glu Gln Arg Ala Phe Pro Pro Ser Asn Met

65 70 75 80

Pro Asn Tyr Pro Pro Ser Gly Pro Pro Asp Pro Arg Met Arg Pro Ser

85 90 95

Gln Asp Pro Arg Ser Arg Leu Ser Gly Ser Gln Gly Asn Tyr Asn Thr

100 105 110

Pro Thr Pro Pro Ser Gly His Thr Pro Pro Ser Leu Pro Asn Tyr Gly

115 120 125

Thr Pro Pro Ile Ser Ala Pro Thr Ile Pro Leu Pro Ser Gln Gln Ser

130 135 140

His Gln Gln Phe Tyr Thr Pro Pro Ser Gly Pro Thr Ser Ser Leu Pro

145 150 155 160

Gly Ala Met Pro Ser Gly Val Ile Ser Glu Pro Ala Asn Gly Phe Val

165 170 175

Asp Lys Asp Val Pro Gln Gly Arg Arg Pro Leu Phe Cys Val Val

180 185 190

Cys Ala Ser Asn Asn Asn Arg Ser Met Glu Ala His Tyr Val Leu Asn

195 200 205

Lys Asn Ser Phe Arg Val Val Ser Ala Gly Thr Gly Ser Ala Val Arg

210 215 220

Leu Pro Gly Pro Ala Ile Asp Lys Pro Asn Val Tyr Arg Phe Gly Thr

225 230 235 240

Pro Tyr Asp Asp Ile Tyr Arg Asp Leu Glu Ser Gln Asp Pro Gln Leu

245 250 255

Tyr Thr Arg Asn Gly Ile Leu Pro Met Leu Asp Arg Asn Arg Lys Val

260 265 270

Lys Lys Ala Pro Glu Lys Trp Gln Glu Leu Lys Ser Val Leu Ala Asp

275 280 285

Val Val Ile Thr Cys Glu Glu Arg Cys Tyr Asp Ala Val Cys Asp Asp

290                    295                    300  
 Leu Leu Thr Arg Ser Gly Glu Tyr Asn Arg Pro Ile His Ile Ile Asn  
 305                    310                    315                    320  
 Ile Glu Ile Lys Asp Asn Pro Glu Glu Ala His Ile Ala Gly Gln Ser  
 325                    330                    335  
 Ile Leu Glu Leu Ala Arg Ala Ile Glu Ala Ser Asp Asp Leu Asp Ser  
  
 340                    345                    350  
 Asp Ile Asp Ala Ile Leu Asn Ala His Gly Asp Lys His Pro His Thr  
 355                    360                    365  
 Leu Leu His Thr Val Gly Phe Tyr  
 370                    375  
<210>      4  
<211>      500  
<212>      PRT  
<213>      Artificial Sequence  
<220><223>      NEM1 >CNAG\_01177 Transcript 1  
<400>      4  
 Met Asn Thr Leu Ser Arg Ile Asp Ser Tyr Phe Ser Ala Ile Ala Ser  
 1                    5                    10                    15  
 Arg Pro Thr Thr His Pro Pro Arg Thr Pro Pro Arg Arg Ser Arg Gln  
  
 20                    25                    30  
 Thr Ile Ser Ser Ile Ser Val Pro Pro Pro Thr Ala Pro Leu Ile Leu  
 35                    40                    45  
 Arg Ile Ala Leu Val Leu Trp Ser Val Leu Leu Thr Val Trp Arg Ser  
 50                    55                    60  
 Phe Val Gly Glu Thr Arg Ala Thr Arg Arg Gly Arg Arg Ser Arg  
 65                    70                    75                    80  
 Arg Lys Arg Leu Ala Gly Leu Arg Glu Leu Gly Glu Arg Val Met Ile  
 85                    90                    95  
  
 Thr Ala Gly Ile Ala Ser Leu Asp Thr Pro Gln Glu His Thr Glu Gly  
 100                  105                  110  
 Asp Glu Gly Ser Glu Asp Asp Lys Glu Asp Gly Trp Val Asp Pro Val

115                    120                    125

Thr Arg Gly Pro Glu Gly Ser Ala Ser Leu Glu Glu Ala Pro Pro Gly

130                    135                    140

Glu Asp Glu Phe Val Ser Ala Asn Thr Ala Ser Thr Gly Thr Gly Ala

145                    150                    155                    160

Ala Glu Val Glu Glu Pro Glu Pro Asp Pro Asp Glu Met Thr Val

165                    170                    175

Thr Ala Lys Asp Asp Arg Leu Gly Gly Pro Asp Pro Asn Phe Thr Phe

180                    185                    190

Arg Leu Arg Ser Ala Pro Lys Lys Glu Leu Asp Gly Thr Glu Thr Ala

195                    200                    205

Val His Ser Pro Gly His Lys Pro Ile Pro Ser Phe Gln Arg Pro Pro

210                    215                    220

Ser Pro Thr Ser Ile Leu Asn Asn Pro Ile Thr Pro Ser Pro Pro Pro

225                    230                    235                    240

Pro Pro Pro Ser Lys Thr Val Glu Pro Ser Pro Lys Arg Pro Ser Gly

245                    250                    255

Thr Arg Leu Leu Ala Asn Pro Ile Ser Thr Ser Leu Leu Asp Pro Ser

260                    265                    270

Val Pro Ala Pro Ala Ser Asn Ala Asp Ser Ser Leu Phe Arg Lys Pro

275                    280                    285

Ser Pro Arg Pro Leu Arg Gln Pro Thr Thr Pro Phe His Leu Gln Lys

290                    295                    300

Thr Leu Ile Leu Asp Leu Asp Glu Thr Leu Ile His Ser Thr Ser Arg

305                    310                    315                    320

Pro Ile His Tyr Pro Gly Gly Ser Ser Gly Gly Gly Leu Leu Gly

325                    330                    335

Leu Ser Val Gly Gly Val Phe Gly Asn Gly Arg Ala Lys Glu Gly His

340                    345                    350

Thr Val Glu Val Val Asn Gly Arg Ser Thr Met Tyr His Val Tyr

355                    360                    365

Lys Arg Pro Tyr Val Asp His Phe Leu Lys Lys Val Ala Ser Trp Tyr

370	375	380													
Thr	Leu	Val	Ile	Phe	Thr	Ala	Ser	Met	Pro	Glu	Tyr	Ala	Asp	Pro	Val
385															
Ile	Asp	Trp	Leu	Asp	Gly	Gly	Arg	Asn	Leu	Phe	Ala	Lys	Lys	Leu	Tyr
405															
Arg	Glu	Asn	Cys	His	Val	Gln	Pro	Asn	Gly	Ser	Tyr	Ile	Lys	Asp	Leu
420															
Thr	Leu	Val	Glu	Lys	Asp	Leu	Ser	Arg	Val	Cys	Phe	Met	Asp	Asn	Ser
435															
Pro	Val	Ser	Tyr	Ser	Trp	Asn	Lys	Ala	Asn	Ala	Leu	Pro	Ile	Glu	Gly
450															
Trp	Thr	Ser	Asp	Pro	Asn	Asp	Glu	Ala	Leu	Leu	His	Ser	Ile	Pro	Val
465															
Leu	Asp	Ser	Leu	Arg	Phe	Val	Asn	Asp	Val	Arg	Arg	Val	Leu	Gly	Ile
485															
Arg	Gly	Phe	Ser												
500															
<210>	5														
<211>	711														
<212>	PRT														
<213>	Artificial Sequence														
<220><223>	YVH1 >CNAG_01203 Transcript 1														
<400>	5														
Met	Pro	Gln	His	Asp	Thr	Val	Pro	Ser	Arg	Pro	Pro	Ser	Asp	Ala	Ala
1		5			10				15						
Lys	Ser	Asp	Asn	Leu	Ala	Ile	Gln	Asp	Leu	Ser	Arg	Glu	Val	Thr	Ser
20				25					30						
Thr	Gly	Asn	Ile	Arg	Leu	Ala	Ala	Lys	Arg	Leu	Ala	Gln	Ser	Ala	Gln
35				40					45						
Ala	Glu	Lys	Val	Arg	Asn	Leu	Lys	Glu	Arg	Ala	Ser	Thr	Arg	Ala	Gln
50				55					60						
Val	Ala	Gln	Pro	Tyr	Ala	Arg	Trp	Ala	Asp	Asp	Pro	Glu	Glu	Ala	Glu

65	70	75	80
----	----	----	----

Tyr Leu Gln Ser Asn Val His Ala Gln Ala Ala Ala His Val Glu Asp

85	90	95
----	----	----

Gln Val Leu Val Ser Asp Glu Glu Glu Glu Glu Lys Glu Ala

100	105	110
-----	-----	-----

Met Gly His Met Gln Glu Val Val Asp Gly Leu Trp Val Gly Asp Leu

115	120	125
-----	-----	-----

Val Ala Ala Asn Asp Asp Asp Glu Leu Glu Lys Asn Gly Ile Lys Asn

130	135	140
-----	-----	-----

Ile Leu Ser Ala Leu Arg Pro Ser Leu Lys Phe Ser Asp Lys Tyr Ala

145 150 155 160

Val Tyr Pro Leu Glu Ile Asp Asp Ser Ala Asp Thr Asp Leu Leu Ser

165	170	175
-----	-----	-----

His Leu Pro Ser Cys Val Ala Trp Ile Lys Glu Ile Leu Asp Leu Arg

180	185	190
-----	-----	-----

Gln Lys Ala Ala Glu Pro Ser Ser Gln Lys Asn Gly Thr Glu Asn Gly

195	200	205
-----	-----	-----

Glu Ser Leu Lys Arg Ser Pro Asp Ile Asp Thr Val Ala Gln Pro Gly

210	215	220
-----	-----	-----

Lys Pro Gly Gly Val Leu Val His Cys Gln Ala Gly Met Ser Arg Ser

225 230 235 240

Ala Ser Ile Val Ala Ala Tyr Leu Met Ser Gln Tyr Asp Leu Asp Pro

245	250	255
-----	-----	-----

Met Glu Ala Met Thr Met Ile Arg Glu Lys Arg Pro Val Val Glu Pro

260	265	270
-----	-----	-----

Ser Ala Thr Phe Trp His Gln Leu Gly Leu Phe Tyr Thr Thr Asp Gly

275	280	285
-----	-----	-----

Lys Val Ser Leu Lys Asp Arg Ser Thr Arg Gln Tyr Tyr Met Glu Arg

290	295	300
-----	-----	-----

Thr Thr Thr Gln Phe Ile Asn Gly Asp Gly Thr Ala Pro Ser Met Glu

305 310 315 320

Lys Met Ala Lys Tyr Pro Ala Ser Pro Ser Pro Ser Asn Pro Pro Thr  
 325 330 335  
 Pro Lys Asp His Ala Arg Arg Lys Ile Arg Cys Lys Met Cys Arg Arg  
 340 345 350  
 His Leu Ala Val Arg Glu His Met Met Asp His Ile Leu Asp Gln Ala  
 355 360 365  
  
 Pro Pro Val Pro Ala Ser Arg Pro Arg Thr Pro Ser Gly Ala Ser Ile  
 370 375 380  
 Ser Ser Gln Arg Ala Ser Phe Ser Ser Asn Ala Gly Met Arg Phe Thr  
 385 390 395 400  
 Asp Val Val Gly Glu Gly Ala Gly Phe Leu Thr Glu Arg Glu Arg Arg  
 405 410 415  
 Gly Ser Gln Val Ser Asp Val Ile Asn Pro Leu Thr Gly Leu Pro Gly  
 420 425 430  
 Ala Leu Ser Arg Arg Ser Ser Ala Gly Ala Gly Ser Asn Gly Ala Val  
  
 435 440 445  
 Ser Pro Thr Ala Thr Gln Thr Leu Tyr Glu Arg Asp Thr Val Thr Ser  
 450 455 460  
 Pro Leu Ser Ile Ser His Asn His His Asn Asn Asn Asn Asn Asn  
 465 470 475 480  
 Thr Thr His Pro Ala Ser Arg Arg Gly Pro Ile Leu Arg Asn His Ser  
 485 490 495  
 Glu Pro Ala Gly Thr Val Pro Pro Pro Val Pro Leu Pro Ala Ala  
 500 505 510  
  
 His Ser Thr Thr Ser Val Pro Ala Pro Gln Ala Pro Thr Thr Gln Arg  
 515 520 525  
 Ala Leu Gln Ser Ala Asp Gln Leu Asn Met Arg Leu Pro Pro Gln Leu  
 530 535 540  
 Leu Ala Leu Arg Met Ala Gly Met Gly Gly Ala Ala Ala Asn Ala Gly  
 545 550 555 560  
 Ala Ser Ala Asn Ala Ser Asn Pro Pro Val Ser Pro Gly Thr Asn Thr  
 565 570 575

Pro Ser Pro Val Ile Glu Lys Glu Arg Arg Asp Gln Ser Ser Ser

580 585 590

Ile Asn Thr Asn Gly Gly Ala Gly Ala Ala Arg Arg Phe Ser Ser

595 600 605

Leu Ala Met Thr Pro Lys Asp Glu Lys Glu Glu Thr Lys Leu Tyr Glu

610 615 620

Arg Arg Ala Ser Gly Gly Glu Gly Met Tyr Gly Pro Pro Pro Ile Leu

625 630 635 640

Val Asn Asn Lys Cys Ser Gly Tyr Phe Val Glu Pro Leu Thr Trp Met

645 650 655

Glu Pro Val Leu Ser Lys Gly Gln Ile Ala Gly Lys Leu Val Cys Pro

660 665 670

Asn Glu Lys Cys Gly Val Lys Ile Gly Asn Phe Asp Trp Ala Gly Val

675 680 685

Gln Cys Gly Cys Lys Glu Trp Val Thr Pro Gly Phe Cys Ile His Arg

690 695 700

Ser Lys Val Asp Glu Val Phe

705 710

<210> 6

<211> 212

<212> PRT

<213> Artificial Sequence

<220><223> OCA101

>CNAG\_01254 Transcript 1

<400> 6

Met Ala Asn Lys Pro Pro Ser Gln Pro Leu Ile Gln Val Pro Ala Leu

1 5 10 15

Phe Ser Ile Val Glu Pro Gly Val Tyr Arg Ser Ala Ser Pro Thr Pro

20 25 30

Ser Gln Val Pro Phe Leu Ala Gly Leu Asn Leu Lys Thr Ile Ile Ser

35 40 45

Leu Thr Pro Glu His Pro Ile Lys Pro Leu Leu Gln Phe Val Arg Thr

50 55 60

Ala Gly Ile Ser Phe Val His Leu Gly Leu Thr His Trp Arg Arg Pro  
 65 70 75 80  
 Gly Thr Asp Trp Arg Pro Val Arg Tyr Glu Ile Ile Lys Thr Ala Leu  
 85 90 95  
 Glu Ala Tyr Ile Leu Asp Thr Arg Ala His Pro Val Leu Leu Ile Asp  
 100 105 110  
 Pro Leu Gly Val His Gln Thr Gly Cys Leu Val Gly Ala Leu Arg Met  
 115 120 125  
 Met Gln Gly Trp Asn Phe Ala Ser Ala Leu Met Glu Tyr Arg Ala His

130 135 140

Ala Gly Ser Lys His Arg Tyr Leu Asp Glu Gln Tyr Ile Glu Leu Phe  
 145 150 155 160  
 Asp Ser Asp Leu Ile Asn Leu Pro Ala Pro Gln Tyr Arg Pro Ser Trp  
 165 170 175  
 Trp Leu Ser Cys Glu Glu Ala Asp Pro Gln Glu Val Lys Ala Leu Ala  
 180 185 190  
 Ser Ser Ser Gly Gly Thr Gly Leu Leu Ala Asp Thr Asn Gly Arg Thr  
 195 200 205

Gln Ala Ile Val

210

<210> 7  
 <211> 320  
 <212> PRT  
 <213> Artificial Sequence  
 <220><223> SIT4 >CNAG\_01436 Transcript 1  
 <400> 7

Met Arg Tyr Thr Ser Pro Thr Met Pro Ile Pro Ile Ser Ser Asp Pro

1 5 10 15

Asp His Trp Ile Gln His Ile Arg Gln Cys Lys His Leu Pro Glu Arg

20 25 30

Gln Met Lys Leu Leu Cys Asn Arg Val Arg Asp Leu Leu Glu Glu

35                    40                    45

Ser Asn Val Arg Leu Val Gln Ser Pro Val Thr Val Cys Gly Asp Ile  
 50                    55                    60  
 His Gly Gln Phe Trp Asp Val Leu Glu Ile Phe Arg Gln Gly Gly Glu  
 65                    70                    75                    80  
 Val Pro Lys Thr Ser Tyr Ile Phe Met Gly Asp Phe Val Asp Arg Gly  
 85                    90                    95  
 Tyr Tyr Ser Leu Glu Thr Leu Ser Leu Leu Ala Tyr Lys Ala Arg  
 100                  105                  110  
 Tyr Pro Asp Lys Ile Thr Leu Leu Arg Gly Asn His Glu Ser Arg Gln

115                  120                  125

Ile Thr Gln Val Tyr Gly Phe Tyr Asp Glu Cys Met Gln Lys Tyr Gly  
 130                  135                  140  
 Asn Pro Ser Val Trp Lys Ala Cys Cys Asn Val Phe Asp His Leu Asn  
 145                  150                  155                  160  
 Leu Ala Ala Ile Ile Asp Ser Ser Ile Leu Cys Val His Gly Gly Leu  
 165                  170                  175  
 Ser Pro Asp Ile Arg Thr Leu Asp Gln Ile Arg Thr Ile Ser Arg Ala  
 180                  185                  190

Gln Glu Val Pro His Glu Gly Ala Phe Cys Asp Leu Met Trp Ser Asp  
 195                  200                  205  
 Pro Asp Glu Val Glu Thr Trp Ser Ile Ser Pro Arg Gly Ala Gly Trp  
 210                  215                  220  
 Leu Phe Gly Gly Lys Val Thr Ser Glu Phe Asn Tyr Ile Asn Gly Leu  
 225                  230                  235                  240  
 Ser Leu Ile Ala Arg Ala His Gln Leu Val Gln Glu Gly Tyr Lys His  
 245                  250                  255  
 Met Phe Asp Glu Ser Leu Val Thr Val Trp Ser Ala Pro Asn Tyr Cys

260                  265                  270

Tyr Arg Cys Gly Asn Ala Ala Ser Ile Met Gln Val Asp Glu Asp Gly  
 275                  280                  285

Arg Thr Ser Phe Lys Val Tyr Asp Ala Ala Ile Glu Asn Ser Thr Asp

290 295 300

Gln Lys Asn Pro Ala Met Arg Arg Val Gly Ala Pro Ser Tyr Phe Val

305 310 315 320

<210> 8

<211> 544

<212> PRT

<213> Artificial Sequence

<220><223> GUA1

>CNAG\_01877 Transcript 1

<400> 8

Met Ala Thr Glu Glu Ile His Ser Leu Tyr Asp Thr Ile Leu Ile Leu

1 5 10 15

Asp Phe Gly Ser Gln Tyr Ser His Leu Ile Thr Arg Arg Cys Arg Glu

20 25 30

Leu Asn Val Tyr Cys Glu Met Leu Pro Cys Thr Gln Lys Ile Ser Glu

35 40 45

Leu Ser Trp Lys Pro Lys Gly Ile Ile Leu Ser Gly Ser Pro Tyr Ser

50 55 60

Val Tyr Ala Pro Asp Ala Pro His Val Asp Pro Asp Val Phe Thr Leu

65 70 75 80

Gly Val Pro Ile Leu Gly Ile Cys Tyr Gly Leu Gln Glu Ile Ala Arg

85 90 95

Val His Gly Gly Thr Val Asp Ala His Thr His Arg Glu Tyr Gly Tyr

100 105 110

Ala Lys Ile Glu Val Val Lys Thr Gly Lys Asp Gln Asp Ala Leu

115 120 125

Phe Glu Gly Ile Glu Met Glu Ala Asp Gly Gly Leu Gln Val Trp Met

130 135 140

Ser His Gly Asp Gln Leu Thr Ser Leu Pro Pro Asn Phe Val Thr Ile

145 150 155 160

Ala Ser Thr Pro Thr Ser Pro Phe Thr Ser Val Ala His Glu Ser Lys

165 170 175

Pro Ile Tyr Gly Val Gln Phe His Pro Glu Val Ser His Ser Pro Arg  
 180 185 190  
 Gly Lys Glu Val Ile Ala Ala Phe Val Lys Asn Val Cys Gly Val Arg  
 195 200 205

Asp Gly Trp Ser Met Glu Ser Phe Ile Pro Lys Glu Ile Ala Arg Ile  
 210 215 220  
 Arg Gln Ile Cys Gly Glu Lys Gly Gln Val Ile Gly Ala Val Ser Gly  
 225 230 235 240  
 Gly Val Asp Ser Thr Val Ala Ala Lys Leu Met His Glu Ala Ile Gly  
 245 250 255  
 Asp Arg Phe His Ala Ile Met Val Asp Asn Gly Val Leu Arg Lys Asp  
 260 265 270  
 Glu Ala Lys Lys Val His Lys Met Leu Thr Val Asp Leu Gly Val Asn

275 280 285  
 Leu Thr Val Ile Asp Ala Ser Glu Leu Phe Leu Ala Arg Leu Lys Gly  
 290 295 300  
 Val Glu Asp Pro Glu Arg Lys Arg Lys Ile Ile Gly Asn Thr Phe Ile  
 305 310 315 320  
 Glu Val Phe Glu Ala Glu Ala Ala Lys Leu Glu Ala Ala Ala Glu Lys  
 325 330 335  
 Glu Leu Ala Glu Lys Gly Glu Ala Lys Gly Lys Ile Glu Trp Leu  
 340 345 350

Leu Gln Gly Thr Leu Tyr Pro Asp Val Ile Glu Ser Ile Ser Phe Lys  
 355 360 365  
 Gly Pro Ser Ala Thr Ile Lys Thr His His Asn Val Gly Gly Leu Leu  
 370 375 380  
 Glu Asp Met Lys Leu Lys Leu Ile Glu Pro Leu Arg Glu Leu Phe Lys  
 385 390 395 400  
 Asp Glu Val Arg Ala Leu Gly Arg Leu Leu Asn Ile Pro Glu His Leu  
 405 410 415  
 Val Gly Arg His Pro Phe Pro Gly Pro Gly Leu Ala Ile Arg Ile Leu

420	425	430
Gly Glu Val Thr Arg Glu Gln Ile Ala Ile Leu Gln His Ala Asp Asp		
435	440	445
Ile Tyr Ile Glu Glu Ile Arg Ala Ala Gly Leu Tyr Asp Gln Ile Ser		
450	455	460
Gln Ala Phe Val Ala Leu Leu Pro Val Lys Ala Val Gly Val Ala Gly		
465	470	475
Asp Ala Arg Thr Tyr Asp Gln Val Val Ala Val Arg Ala Val Ser Thr		
485	490	495

Glu Asp Phe Met Thr Ala Asp Trp Phe Val Phe Pro Pro Gln Val Leu		
500	505	510
Lys Arg Ile Ser Ser Arg Ile Thr Asn Glu Val Lys Gly Val Asn Arg		
515	520	525
Val Val Tyr Asp Ile Thr Ser Lys Pro Pro Gly Thr Val Glu Trp Leu		
530	535	540
<210>	9	
<211>	1344	
<212>	PRT	
<213>	Artificial Sequence	
<220><223> INP5201 >CNAG_02109 Transcript 1		
<400>	9	
Met Ala Ser Pro Leu His Glu Asn Asp Glu Glu Arg Pro Gln Ser Ile		

1	5	10	15
Ala Ala Leu Arg Ser Lys Phe Glu Ser Leu Ala Ile Ala Gly Val Ser			
20	25	30	
Pro Ala Pro Thr Asp Val Pro Ser Ala Thr Asn Gly His Ala Thr Val			
35	40	45	
Ser Ser Ile Arg Asn Gly Leu Leu Ser Pro Arg Pro Glu Thr Pro Val			
50	55	60	
Asp Gly Gln Lys Ala Lys Pro Val Pro Pro Lys Pro Ala Ser Arg			
65	70	75	80
Pro Val Ser Pro Ala Thr Thr Ser Pro Ala Pro Gln Pro Ser Ser Leu			

85	90	95	
Leu Pro Pro Pro Ala Pro Arg Gln Ala Pro Ser Arg Pro Thr Thr Pro			
100	105	110	
Lys Pro Ser Phe Gln Thr His His Ser Thr Ser Ser Val Thr Ser Ile			
115	120	125	
Val Ser Ala Ala Ser Asp Ser His Leu Lys Pro Ser Asp Thr Met Ala			
130	135	140	
Ser Pro Pro Ala Val Ile Ser Pro Ala Val Ser Pro Ala Pro Thr Pro			
145	150	155	160
Leu Arg Lys Ser Ala Pro Ser Val Pro Ser Lys Pro Pro Ser Val Ala			
165	170	175	
Val Thr Pro Ser Gly Ser Asp Gly Asp Glu Asp Glu Pro Val Ile Thr			
180	185	190	
Ser Val Lys Ala Leu Arg Glu Lys Phe Ser Gly Gln Ala Gln Ala Ser			
195	200	205	
Glu Ile Ala Leu Arg Lys Pro Val Asp Val Pro Lys Ala Ser Ala Val			
210	215	220	
Ser Val Val Lys Ala Ala Thr Val His Asp Ser Pro Glu Pro Leu Cys			
225	230	235	240
Ala Pro Ser Ala Thr Pro Ile Pro Ala Pro Ile Pro Ala Pro Val Ile			
245	250	255	
Gln Arg Thr Leu Asp Gly Lys Thr Ser Pro Val Met Leu Ser Pro Ala			
260	265	270	
Ser Glu Gly Glu Ala Leu Ser Asp Thr Asn Asp Tyr Ser Ser His Pro			
275	280	285	
Thr Ala Pro Leu Ala Pro Pro Ala Pro Pro Ala Pro Ile Ser Arg Ile			
290	295	300	
Ser Ser Pro Val Pro Ala Pro Ala Pro Ala Pro Ser Gly Pro Pro Pro			
305	310	315	320
Ile Asn Arg Ala His Lys Pro Pro Pro Arg Thr Ala Ile Ser Pro Ala			
325	330	335	
Pro Ile Phe Arg Pro Glu Ser Asn Val Ile Thr Pro Asn Thr Thr Ser			

340	345	350
Pro Pro Ile Pro Gly Asn Lys Pro Val Ile Pro Ser Arg Ser Ser Ser		
355	360	365
Ala Pro Glu Ala Ala Val Pro Pro Pro Pro Glu Arg Pro Gln Pro		
370	375	380
Pro Gln Leu Pro Val Arg Arg Pro Thr Phe Ser Ser Pro Asp Thr Leu		
385	390	395
Glu Pro Ser Thr Ala Ser Val Ile Ser Pro Pro Ala Leu Ala Ser Thr		
405	410	415
Pro Leu Leu His Thr Ile His Asp Asp Thr Ala Leu Ala Pro Thr Pro		
420	425	430
Ala Pro Ala Thr Ala Pro Pro Pro Leu Pro Asp Arg Ser Arg Ala Asn		
435	440	445
Thr Ile Asn Arg Ser Glu Ser Glu Ser Ser Ala Thr Thr Thr Gly Pro		
450	455	460
Pro Pro Pro Arg Leu Pro Ala Arg His Ala Ala Ile Pro Val Ser Ala		
465	470	475
Gly Ser Gly Ser Thr Ser Ser Asn Ala Asn Gly Ser Gly Ser Thr Thr		
485	490	495
Met Asn Pro Pro Pro Pro Ala His Pro Ala Ser Pro Ser Lys Thr		
500	505	510
Arg Ile Asn Ser Gly Gly Pro Pro Pro Pro Leu Leu Arg Ser Ala Thr		
515	520	525
Val Asn Arg Gly Ser Ser Val Gly Ser Gly Ser Gly Ser Gly Gly		
530	535	540
Gly Gly Gly Ser Pro Pro Arg Arg Ser Asn Thr Ile Ser Arg Ala Ala		
545	550	555
Pro Phe Thr Gln Glu Lys Tyr Ser Thr Ser Ala Thr Ser Leu Gly Leu		
565	570	575
Gly Glu Lys Gly Val Tyr Ser Asp Glu Asp Asp Glu Pro Glu Glu Pro		
580	585	590

Gly Ala Val Thr Asn Leu Ser Ala Gln Ala Lys Arg Met Leu Asp Glu  
 595 600 605  
 Phe Pro Asp Met Thr Glu Ala Asn Arg Arg Pro Pro Val Phe Val Pro  
 610 615 620  
 Asp Ile Arg Val Lys Glu Cys His His Val Ser Ala Phe Ala Val Tyr  
 625 630 635 640  
 Gly Arg Tyr Val Cys Thr Gly Ala His His Val Arg Val Tyr Asp Thr  
 645 650 655  
  
 Gln Leu Ser Asp His Ala Ile Ser Val Val Asp Leu Lys Glu Thr Gly  
 660 665 670  
 Leu Glu Ser Arg Gly Lys Asp Pro Lys Val Thr Ala Met Cys Phe Arg  
 675 680 685  
 Pro Gly Ala Thr Glu Ser Glu Glu Gly Arg Tyr Leu Trp Cys Gly Thr  
 690 695 700  
 Lys Asp Gly His Leu Trp Glu Leu Asp Ile Ser Thr Gly Glu Val Thr  
 705 710 715 720  
 Ser Thr Lys Ala Phe Val His Thr Ser Ser Ile Ser Tyr Ile Trp Arg  
  
 725 730 735  
 His Arg Lys Asn Ile Ile Ser Leu Asp Glu Gly Gly Lys Leu Leu Val  
 740 745 750  
 Phe Asp Val Gly Asp Ile Glu Gly Lys Pro Pro Thr Met Ala Arg Gln  
 755 760 765  
 Leu Arg Ile Gly Asp Lys Phe Gly Phe Ala Lys Leu Ile Cys Gly Lys  
 770 775 780  
 Leu Trp Thr Ser Ser Gly Pro Leu Thr Arg Ser Thr Thr Ser Ser Ala  
 785 790 795 800  
  
 Thr Ser Lys Gly Pro Thr Val Arg Ile Tyr Asp Pro Cys Ala Pro Gly  
 805 810 815  
 Thr Met Pro Pro Pro Lys Thr Ile Phe Ala Thr Glu Trp Ala Gly Ala  
 820 825 830  
 Val Thr Ser Ala Thr Tyr Met Pro Leu His His Asp Thr Ile Phe Leu  
 835 840 845

Gly His Glu Gly Gly Phe Val Ser Val Trp Asp Gly Lys Glu Leu Val

850 855 860

Cys Lys Gln Val Leu Lys Ile Ser Ser Thr Asp Val Leu Ala Leu Glu

865 870 875 880

Gly Val Gly Glu Tyr Leu Trp Thr Gly Asn Arg Lys Gly Gln Ile His

885 890 895

Val Phe Asp Ile Lys Glu Lys Pro Trp Leu Ala Thr Asn Ile Trp Ile

900 905 910

Gly His Pro Asp Asn Pro Val Gln Ser Leu Val Val Asp Pro Tyr Ser

915 920 925

Ile Gln Ser Ala Gly Arg Tyr Thr Cys Trp Ser Phe Ala Arg Asp Ala

930 935 940

Leu Arg Ala Trp Asp Gly Leu Leu Ser Val Asp Trp Ile Asp Lys Gln

945 950 955 960

Leu Thr Ala Arg Gln Ser Ser Phe Cys Thr Phe Arg Pro Val Asn Val

965 970 975

Leu Ile Cys Thr Trp Asn Ile Asp Ser Ala Lys Pro Thr Asp Leu Asn

980 985 990

Gly Ser Val Ala Asn Ala His Phe Leu Glu Asp Val Leu Arg Ser Val

995 1000 1005

Asp Ser Pro Asp Ile Ile Val Phe Gly Phe Gln Glu Val Ile Pro Leu

1010 1015 1020

Thr Asp Lys Lys Tyr Thr Ala Lys Thr Leu Leu Phe Gly Asn Lys Ser

1025 1030 1035 1040

Lys Asp Gly Gly Ala Ala Ala Asp Arg Val Ser His Ala Tyr Arg His

1045 1050 1055

Trp Leu Glu Lys Leu Gln Ser Ala Val Gln Met Ala Ser Pro Ser Asn

1060 1065 1070

Cys Pro Tyr Ile Lys Ile His Ser Glu Ser Leu Val Gly Leu Phe Thr

1075 1080 1085

Cys Ile Phe Val Lys Gln Ser Glu Lys Ile Ser Leu Arg Asp Leu Asp

1090	1095	1100
Ile Thr Thr Val Lys Arg Gly Ile Gly Gly Ile Tyr Gly Asn Lys Gly		
1105	1110	1115
Ala Ile Val Ser Arg Leu Val Met Asp Asp Thr Ser Ile Cys Phe Ile		
1125	1130	1135
Asn Val His Leu Ala Ala Gly Gln Ser Gln Lys Ala Ser Arg Asn Ala		
1140	1145	1150
Asp Leu Ala Gly Ile Leu Glu Asp Lys Ala Ile Phe Pro Pro Ala Asp		

1155	1160	1165
Glu Leu Pro Phe Val His Gly Gly Cys Gly Thr Gly Ile Leu Asp His		
1170	1175	1180
Glu Met Val Phe Leu Asn Gly Asp Leu Asn Tyr Arg Ile Asp Gln Arg		
1185	1190	1195
Arg Glu Asn Val Ile Ser Ser Ile Ala Asn Gly Glu Leu Ala Tyr Leu		
1205	1210	1215
Leu Glu His Asp Gln Leu Arg Lys Glu Met Arg Thr Asn His Ala Phe		
1220	1225	1230

Arg Leu Arg Asn Phe Glu Glu Ala Pro Ile Thr Phe Ala Pro Thr Tyr		
1235	1240	1245
Lys Tyr Asp Pro Gly Thr His Asp Tyr Asp Ser Ser Glu Lys Arg Arg		
1250	1255	1260
Ile Pro Ala Trp Cys Asp Arg Ile Leu Tyr Lys Lys Ser Pro Arg Val		
1265	1270	1275
Gln Ala Leu Asn Tyr Gln Arg Tyr Glu Pro Thr Val Ser Asp His Arg		
1285	1290	1295
Pro Val Ser Ala Gly Tyr Thr Ile Ile Leu Lys Ala Ile Asp Ser Leu		

1300	1305	1310
Lys Met Met Asp Val Arg Arg Glu Ala Thr Gly Glu Trp Ala Lys Arg		
1315	1320	1325
Glu Lys Glu Leu Leu Glu Lys Met Gln Glu Val Phe Asp Gly Ile Glu		
1330	1335	1340
<210> 10		

&lt;211&gt; 332

&lt;212&gt; PRT

&lt;213&gt; Artificial Sequence

&lt;220&gt;&lt;223&gt; PHS1 &gt;CNAG\_02487 Transcript 1

&lt;400&gt; 10

Met Phe Pro Ser Asp Thr Lys Ala Ser Leu His Ser Ala Phe Gln Ser

1 5 10 15

Val Leu Asp Ser Ala Ser Pro Ser Ile Leu Ala Arg Leu Ser Leu Gln

20 25 30

Leu Ala Ala Met Pro His Val Ala Ala Pro Ser Arg Gln Ala Leu Glu

35 40 45

Gln Glu Arg Leu His Arg His Ala Gln Gln Pro Gly Ser Ser Leu Ser

50 55 60

Pro Ala Pro Arg Leu Ser Pro Leu Arg Leu Tyr Leu Leu Gly Tyr Asn

65 70 75 80

Ile Leu Ser Ala Leu Leu Trp Gly His Leu Leu Val Leu Thr Leu Ser

85 90 95

Phe Leu Leu Ala Pro Ser Arg Pro Pro Trp His Gln Leu Ala Asp Arg

100 105 110

Leu Ser Gly Ser Tyr Asp Tyr His Asn Leu Gly Trp Cys Thr Lys Trp

115 120 125

Thr Gln Thr Leu Ala Val Leu Glu Val Val His Ala Ala Leu Gly Trp

130 135 140

Val Arg Ser Pro Leu Gly Thr Val Ala Ser Gln Val Ala Ser Arg Leu

145 150 155 160

Trp Thr Val Trp Gly Val Val Glu Ala Ala Pro Glu Ile Thr His Gly

165 170 175

His Pro Leu Phe Thr Thr Met Leu Leu Ala Trp Ser Leu Thr Glu Val

180 185 190

Ile Arg Tyr Ser Phe Tyr Ala Leu Ser Leu Leu Ser Val Ser Ala Pro

195 200 205

Phe Leu Asn Tyr Leu Arg Tyr Thr Thr Phe Ile Pro Leu Tyr Pro Leu

210	215	220	
Gly Ala Ser Ser Glu Ala Phe Leu Ser Phe Ala Thr Leu Pro Ala Leu			
225	230	235	240
Ala Pro Val Val Ser Arg Ala Val Thr Asn Val Met Ala Gln Ala Pro			
245	250	255	
Arg Glu Ile Met Lys Thr Lys Val Gly Arg Glu Val Leu Trp Trp Ser			
260	265	270	
Ala Lys His Gly Gly Thr Ala Gly Ala Gln Lys Glu Trp Gly Trp			
275	280	285	
Ile Glu Ile Val Arg Ala Gly Leu Phe Leu Leu Trp Trp Pro Ala Leu			
290	295	300	
Tyr Val Leu Tyr Thr Tyr Met Leu Lys Gln Arg Arg Lys Val Leu Gly			
305	310	315	320
Lys Gly Lys Thr Val Gly Val Ser Lys Ala Gln			
325	330		
<210> 11			
<211> 721			
<212> PRT			
<213> Artificial Sequence			
<220><223> MRE11 >CNAG_02490 Transcript 1			
<400> 11			
Met Ser Ala Pro Asn Arg Val Pro Asp Ser Gln Pro Ser Ser Glu Ile			
1	5	10	15
Gly Asp Glu Pro Pro Ser Ile Val Glu Pro Asp Leu Glu Asn Cys			
20	25	30	
Phe Arg Ile Leu Ile Ala Thr Asp Asn His Ile Gly Tyr Ala Glu Lys			
35	40	45	
Asp Pro Val Arg Gly Gln Asp Ser Ile Asn Thr Phe Arg Glu Ile Leu			
50	55	60	
Glu Leu Ala Arg Asp His Asp Val Asp Phe Ile Leu Leu Ala Gly Asp			
65	70	75	80
Leu Phe His Glu Asn Arg Pro Ser Arg Thr Cys Met His Gln Thr Ile			

85	90	95
----	----	----

Ala Leu Leu Arg Glu Phe Thr Leu Gly Asp Lys Pro Ile Glu Phe Glu

100	105	110
-----	-----	-----

Leu Leu Ser Asp Pro Met Asp Gly Ser Thr Pro Gly Phe Ser Phe Pro

115	120	125
-----	-----	-----

Ala Val Asn Tyr Glu Asp Pro Asn Ile Asn Ile Ala Ile Pro Val Phe

130	135	140
-----	-----	-----

Ser Ile His Gly Asn His Asp Asp Pro Gln Gly Thr Gly Pro Glu Gly

145	150	155	160
-----	-----	-----	-----

Ala Leu Cys Ala Leu Asp Val Leu Ser Val Ser Gly Val Leu Asn Tyr

165	170	175
-----	-----	-----

Phe Gly Lys Ser Asp Leu Val Ala Asp Glu Ser Ala Ala Asp Asn Pro

180	185	190
-----	-----	-----

Glu Lys Gly Ile His Ile Arg Pro Val Leu Leu Arg Lys Gly Thr Thr

195	200	205
-----	-----	-----

His Val Ala Leu Tyr Gly Cys Gly Asn Ile Arg Asp Gln Arg Met Tyr

210	215	220
-----	-----	-----

Gln Glu Leu Arg Ala Asn Lys Val Lys Met Phe Met Pro Thr Gly Gly

225	230	235	240
-----	-----	-----	-----

Asp Val Pro Asp Ser Glu Trp Phe Asn Ile Leu Leu Val His Gln Asn

245	250	255
-----	-----	-----

Arg Val Arg His Gly Pro Gln Asn Tyr Val Pro Glu Asn Met Phe Asp

260	265	270
-----	-----	-----

Asp Ser Met Arg Leu Val Ile Trp Gly His Glu His Asp Cys Arg Ile

275	280	285
-----	-----	-----

Thr Pro Glu Ser Val Ala Asp Lys Asn Tyr Phe Ile Thr Gln Pro Gly

290	295	300
-----	-----	-----

Ser Ser Val Ala Thr Ser Leu Ala Pro Gly Glu Ala Val Pro Lys His

305	310	315	320
-----	-----	-----	-----

Val Gly Leu Leu Ser Ile Gln Gly Ser Gln Phe Glu Glu Leu

325	330	335
-----	-----	-----

Pro Leu Lys Thr Val Arg Pro Phe Glu Leu Asp Glu Val Val Leu Ser

340 345 350

Tyr Ala Ala Glu Gln Gly Ala Val Asp Leu Asn Asp Arg Asp Ser Ile

355 360 365

Thr Ser Phe Leu Arg Glu Gln Val Glu Ala Leu Ile Leu Gln Ala Lys

370 375 380

Lys Asn Trp Lys Glu Arg Asn Asn Gly Ser Thr Lys Asn Met Met Leu

385 390 395 400

Pro Leu Ile Arg Leu Lys Val Glu Thr Thr Asp Ala Lys Glu Met Val

405 410 415

Asn Pro Val Arg Phe Gly Gln Glu Tyr Val Asn Arg Val Ala Asn Pro

420 425 430

Arg Asp Ile Leu Gln Tyr Tyr Arg Lys Lys Lys Asn Glu Arg Lys Val

435 440 445

Lys Asn Asn Pro Asp Met Pro Asn Ile Asn Asp Asp Glu Trp Glu Glu

450 455 460

Asp Pro Glu Ser Leu Thr Ala Asp Glu Arg Leu Ser Lys Leu Arg Met

465 470 475 480

Ala Thr Leu Val Lys Gln Tyr Leu Gln Ala Gln Ser Leu Asp Val Leu

485 490 495

Val Glu Asn Gly Met Glu Asp Ala Val Met Arg Phe Val Asp Lys Asp

500 505 510

Asp Lys Asp Ala Ile Lys Asp Phe Val Ala Asp Thr Leu Arg Met Val

515 520 525

Gly Arg Lys Met Lys Glu Arg Glu Val Lys Glu Asp Asp Val Asp Leu

530 535 540

Ala Met Ala Glu Ala Lys Glu Lys Glu Tyr Asn Arg Tyr Ala Asp Ser

545 550 555 560

Asn Pro Val Pro Ser Gln Ser Val Lys Gly Lys Asn Lys Gln Arg Asp

565 570 575

Ser Asp Val Asp Ser Met Met Ala Ser Asp Asp Asp Met Asp Met Asp

580 585 590

Glu Met Pro Thr Gln Gln Arg Ala Pro Val Arg Arg Ala Thr Ala Asn

595	600	605
Gln Pro Val Arg Ser Ala Lys Gly Lys Gly Lys Gln Pro Leu Phe Glu		
610	615	620
Asn Ala Ser Glu Glu Glu Glu Asp Glu Glu Glu Glu Glu Glu Glu		
625	630	635
640		
Glu Glu Pro Ala Pro Lys Lys Gly Arg Gly Arg Ala Ala Ala Ala Ser		
645	650	655
Thr Lys Lys Ala Pro Ala Lys Lys Pro Pro Ala Arg Thr Pro Ala Lys		
660	665	670

Ser Thr Thr Lys Ala Pro Ala Gly Arg Arg Pro Ala Val Ser Gln Pro

675	680	685
Ser Thr Gly Arg Gly Val Thr Gln Ser Gln Leu Thr Phe Ser Arg Ser		
690	695	700
Gly Thr Gly Lys Ala Ala Ala Val Pro Ile Glu Leu Ser Ser Asp Glu		
705	710	715
720		
Asp		

<210>	12
<211>	605
<212>	PRT
<213>	Artificial Sequence
<220><223>	DBR1 >CNAG_03222 Transcript 1
<400>	12

Met Arg Ile Ala Ile Gln Gly Cys Ser His Gly Ser Leu Ala Gln Ile

1	5	10	15
Tyr Asp Val Val Asn Tyr Tyr Ser Ser Gln Thr Lys Asn Pro Ile Asp			
20	25	30	
Leu Leu Leu Cys Gly Asp Phe Gln Ala Leu Arg Ser Lys His Asp			
35	40	45	
Tyr Ala Ser Leu Ala Val Pro Ala Lys Phe Lys Gln Leu Gly Ser Phe			
50	55	60	

His Gln Tyr Tyr Ser Gly Glu Arg Val Ala Pro Val Leu Thr Ile Val

65 70 75 80

Ile Gly Gly Asn His Glu Ala Ser Asn Tyr Met Trp Glu Leu Tyr His

85 90 95

Gly Gly Trp Leu Ala Pro Ser Ile Tyr Tyr Leu Gly Ala Ala Gly Ser

100 105 110

Val Tyr Val Asn Gly Val Arg Ile Val Gly Ala Ser Gly Ile Tyr Lys

115 120 125

Gly Phe Asp Tyr Arg Lys Gly His Phe Glu Lys Val Pro Tyr Asn Asp

130 135 140

Lys Glu Leu Arg Ser Val Tyr His Ile Arg Glu Tyr Asp Val Glu Lys

145 150 155 160

Leu Met His Leu Thr Pro Ser Pro Ser Thr Ile Phe Leu Ser His Asp

165 170 175

Trp Pro Thr Thr Ile Ala His His Gly Asn Lys Asn Ala Leu Leu Lys

180 185 190

Arg Lys Pro Phe Phe Arg Asp Glu Ile Glu Lys Asn Thr Leu Gly Ser

195 200 205

Pro Pro Leu Leu Arg Leu Met Asn His Phe Gln Pro Ser Tyr Trp Phe

210 215 220

Ser Ala His Leu His Val Lys Phe Ala Ala Leu Tyr Glu His Gln Ala

225 230 235 240

Pro Asn His Gly Pro Asp Val Asp Gly Gly Ala Pro Leu Pro Leu Leu

245 250 255

Ala Thr Ser Ala Val Ile Ala Gln Ala Gly Asn Pro Asp Glu Ile

260 265 270

Gln Ile Asp Glu Glu Met Asp Ala Gly Asn Pro Asp Glu Ile Ile Val

275 280 285

Glu Asp Glu Gly Glu Glu Val Ile Ile Arg Pro Arg Gln Val Asn Pro

290 295 300

Asp Glu Ile Ala Met Asp Asp Asp Glu Phe Asp Asp Pro Ala Pro Ala

305	310	315	320
Val Pro Gln Pro Leu Pro Ala Thr Thr Asn Ser Ala Phe Asn Pro Glu			
325	330	335	
Glu Ile Ile Ile Ser Asp Gln Glu Phe Asp Ala Pro Thr Thr Val Ser			
340	345	350	
Gln Pro Leu Gln Pro Leu Pro Pro Thr Lys Thr Asn Ala Ser Asn Pro			
355	360	365	
Glu Glu Ile Ala Ile Ser Asp Asp Glu Phe Asp Asp Pro Ala Pro Leu			
370	375	380	
Ala Gln Ser Leu Thr Thr Ile Asp Glu Ser Thr Asp Leu Ile Ala Gln			
385	390	395	400
Ser Arg Ser Asn Pro Ser His Pro Pro Val Ala Gly Thr Ile Ala Pro			
405	410	415	
Pro Thr Ser Asp Ser Ile Ala Ser Arg Val Met Gln Glu Ala Arg Gln			
420	425	430	
Glu Gln Gln Lys Trp Glu Leu His Gly Gly Lys Gly Met Glu Gly Val			
435	440	445	
Thr Lys Phe Leu Ala Leu Asp Lys Cys Gly Pro Gly Lys Asp His Met			
450	455	460	
Gln Phe Leu Glu Ile Pro Asp Pro Ser Pro Pro Pro Ile Pro Gly Pro			
465	470	475	480
Pro Arg Leu Thr Tyr Asp Pro Glu Trp Leu Ala Ile Ser Arg Ala Phe			
485	490	495	
His Pro Tyr Leu Ser Thr Ser Tyr Gln Pro Ile Pro Leu Pro Ser Ser			
500	505	510	
Asp Ile Leu Glu Gln Met Val Lys Asp Glu Val Ala Arg Ile Lys Glu			
515	520	525	
Glu Gly Leu Leu Val Pro Thr Val Pro Gln Asp Gly Ala Val Glu Gly			
530	535	540	
Gln Glu Gly Leu Val Trp Glu Lys Gly Lys Val Asp Val Gly Arg Val			
545	550	555	560
Gln Arg Phe Trp Trp Thr Ala Pro Pro Glu Gly His Pro Gly Gly Asn			

565                    570                    575

Asp Thr Ala Trp Tyr Thr Asn Pro Gln Thr Glu Ala Phe Cys Gly Met

580                    585                    590

Leu Gly Val Gln Asn Lys Ile Asn Pro Pro Val Asn Arg

595                    600                    605

<210> 13

<211> 281

<212> PRT

<213> Artificial Sequence

<220><223> SIW14 >CNAG\_03296 Transcript 1

<400> 13

Met Met Ser Ser Ser Pro Thr Met Ser Ser Thr Pro Pro Gln Val Pro

1                    5                    10                    15

Ser Phe Leu Ala Asn Ile Leu Leu Ser His Leu Ser Pro Leu Asp Pro

20                    25                    30

Ser Ser Thr Ser Pro Thr Thr Phe Glu His His Arg Ser Pro Thr Thr

35                    40                    45

Gln Asn Pro Ser His Pro Gln Ala Leu Gln Thr Ala Glu Pro Pro Pro

50                    55                    60

Asn Pro Leu Tyr Leu Pro Pro Pro Ala Leu Pro Lys Val Glu Glu Asp

65                    70                    75                    80

Leu Val Pro Pro Glu Asn Phe Ala Leu Val Ser Ser Gly Val Tyr Arg

85                    90                    95

Cys Gly Phe Pro Lys Lys Arg Asn Phe Lys Phe Met Glu Thr Leu Arg

100                    105                    110

Leu Lys Thr Val Leu Thr Leu Val Leu Glu Glu Tyr Pro Lys Ala Asn

115                    120                    125

Leu Glu Trp Cys Gln Ser Gln Asp Ile Gln Phe Met Gln Phe Gly Ile

130                    135                    140

Pro Gly Asn Lys Glu Pro Phe Asp Asn Ile Pro Glu Asp Val Ile Cys

145                    150                    155                    160

Ala Ala Leu Val Ala Ile Leu Asp Arg Arg Asn His Pro Ile Leu Ile

165 170 175

His Cys Asn Lys Gly Lys His Arg Thr Gly Cys Leu Ile Gly Cys Ile

180 185 190

Arg Arg Leu Gln Ala Trp Ser Leu Thr Ser Ile Phe Asp Glu Tyr Arg

195 200 205

Arg Phe Ser Ala Pro Lys Ser Arg Ala Val Asp Gln Gln Phe Ile Asp

210 215 220

Leu Phe Asp Ile Met Pro Val Trp Glu Ala Val Cys Arg Pro Lys Gly

225 230 235 240

Gly Gly Leu Gly Asn Leu Pro Asp Trp Gly Met Leu Val Leu Pro Lys

245 250 255

Gly Val Val Glu Val Gly Arg Asp Gly Lys Glu Lys Lys Arg Val Glu

260 265 270

Arg Asp Ile Leu His Met Arg Gly Leu

275 280

<210> 14

<211> 881

<212> PRT

<213> Artificial Sequence

<220><223> SDP102 >CNAG\_03893 Transcript 1

<400> 14

Met Gln Pro Gln Gln His Thr His Asn Asn Pro Ser Pro Ala Ala Arg

1 5 10 15

Pro Gln Pro Leu Arg Val Val His Ser Pro Thr Ile Pro Pro Pro Asn

20 25 30

Arg Gly Thr Arg Thr Ser Glu Leu Ala Gln Gly Pro Lys Ala Pro Leu

35 40 45

Ala Ala Pro Leu Pro Leu Arg Ile Thr Ala Ala Thr Ser Pro Asn Arg

50 55 60

Lys Arg Pro Thr Pro Leu Val Leu Gly Lys Pro Arg Glu Ala Gly Pro

65                          70                          75                          80

Glu Ala Gly Pro Glu Asp Trp Glu Ile His Gln Glu Ile Ser Phe Ala			
	85	90	95
Ala Ser Leu Gly Ala Ser Ala Asp His Ser Leu Asp Asn Glu Leu Gln			
	100	105	110
Asp Leu Ser Lys Leu Arg Lys Ala Val Arg Gln Asn Leu Leu Ala Arg			
	115	120	125
Pro Ile Asp Ser Pro Leu Glu Leu Ser Gly Ser Asp Gln Ser Ala Phe			
	130	135	140
Asn Thr Pro Gly Gln Gln Ser Ser Phe Gly Ser Ser Ser Ile Ser Met			

145	150	155	160
Asp Ser Ile Pro Ile Glu Gln Val Phe Asp Arg Val Glu Gly Gly Ser			
165	170	175	
Val Leu Leu Val Asp Thr Arg Pro Leu Ala Ser Phe Leu Asn Ser His			
180	185	190	
Leu Pro Asn Ser Ile Pro Leu Ser Val Pro Thr Leu Leu Ser Lys Arg			
195	200	205	
Phe Gln Lys Ser Gln Ser Gln Ser Ser Pro Ser Ser Ile Ser Trp Ala			
210	215	220	

Thr	Leu	Ser	Pro	Phe	Val	Ser	Leu	Ser	Ser	Ala	Arg	Glu	Arg	Trp	Asp
225					230					235					240
Ser	Val	Asp	Gln	Asp	Lys	Val	Glu	Ile	Ala	Val	Ile	Cys	Gln	Gly	Glu
					245					250					255
Glu	Gly	Arg	Val	Val	Lys	Glu	Ile	Leu	Lys	Ser	Leu	Ile	Glu	Gly	Arg
					260					265					270
Val	Lys	Val	Val	Lys	Gly	Gly	Trp	Ala	Ala	Val	Leu	Asn	Tyr	Glu	Arg
					275					280					285
Ala	Arg	Arg	Thr	Leu	Val	Ser	Gly	Gln	Thr	Ala	Thr	Arg	Pro	Cys	Leu

290	295	300
Asp Val Thr Ser Pro Glu Thr Asp Ser Lys Pro Leu Pro Pro Ala Ser		
305	310	315
		320

Ala Ser Asn Ile Leu Pro Pro Lys Ser Ala Pro Pro Cys Asp Ile Pro  
 325 330 335  
 Leu Pro Pro Ile Pro Ala Ser Pro Ser Pro Pro Lys Ser Leu Asn His  
 340 345 350  
 Arg Pro Ser Leu Pro Ser Leu Arg Pro Pro Phe Thr Gly Pro Thr Arg  
 355 360 365  
  
 Asn Leu Pro Ser Leu Ser Ile Asn Ala Gly Gln Ala Ser Gln Arg Arg  
 370 375 380  
 Thr Pro Lys Leu Ser Leu Asn Phe Asp Arg Pro Leu Lys Ser Ala Thr  
 385 390 395 400  
 Leu Gly Gly Tyr His Asp Ile Pro Pro Thr Pro His Gly Phe Ser Cys  
 405 410 415  
 Thr Arg Thr Arg Pro Gln Arg Ser Pro Gly Leu Ser Leu Asn Ile Pro  
 420 425 430  
 His Thr Pro Phe Gln Pro Gln Gln Ile Gln Asp Arg Ile Leu  
  
 435 440 445  
 Glu Asp Ser Arg Pro Asn Gly Ser Gly Ser Ile Gln Thr Lys Ala His  
 450 455 460  
 Glu Gln Ser Arg Phe Pro Pro Ser Ser Ser Thr Phe Gly Asp Ala Lys  
 465 470 475 480  
 Gln Ile Glu Asn Glu Gly Glu Asp Met Ala Pro Asn Leu Tyr Asp Gly  
 485 490 495  
 Pro Ala Pro Arg Ala Pro Thr Ser His Ser Pro Ser Lys Ser Gln Asp  
 500 505 510  
  
 Tyr Gln Ala Ala Arg Phe Tyr Ser Ser Pro Ser Ser Met Asn Ser Ala  
 515 520 525  
 Leu Pro Ala Ser Pro Pro Thr Thr Arg Pro Ala Val Ala Pro Phe Asn  
 530 535 540  
 Pro Ser Val Ile Leu Pro Ser Phe Leu Tyr Leu Gly Pro Asp Ile Gln  
 545 550 555 560  
 Ser Glu Ser Asp Val Gln Tyr Leu Phe Arg Leu Gly Val Lys Arg Ile  
 565 570 575

Leu Asn Val Ala Leu Glu Cys Asp Asp Asn Gln Gly Leu Ser Leu Lys

580 585 590

Glu Arg Phe Lys Tyr Arg Lys Val Gly Met Arg Asp Ile Val Glu Glu

595 600 605

Asn Gly Val Gly Lys Gly Met Arg Asp Ala Cys Glu Phe Leu Asp Asp

610 615 620

Ala Arg Leu His Ser Ala Pro Thr Tyr Val His Cys Gln Ala Gly Lys

625 630 635 640

Ser Arg Ser Val Thr Ile Ile Leu Ala Tyr Leu Ile His Ala Asn Ala

645 650 655

Trp Thr Leu Lys Thr Ser Tyr Ala Tyr Val Ala Glu Arg Arg Lys Gly

660 665 670

Ile Ser Pro Asn Ile Gly Phe Val Ala Glu Leu Met Gln Trp Glu Glu

675 680 685

Lys Glu Leu Gly Val Lys Gln Ser Gly Gly Val His Gly Asp Gly Asn

690 695 700

Gly Arg Ala Lys Ala Pro Gly Gly Gly Gly Gly Ser Arg

705 710 715 720

His Met Glu Asp Gly Gly Asp Asp Glu Gly Lys Gly Lys Thr His Leu

725 730 735

Arg Asp Ser Leu Pro Pro Thr Trp Ser Ser Ser Val Asp Thr Tyr Thr

740 745 750

Arg Pro Ala Lys Val Tyr Ser Pro Val Gly Arg Asp Asp Gly Gly Glu

755 760 765

Glu Glu Ser Gly Arg Glu Gly Arg Ile Ala Val Gly Asp Glu Arg Glu

770 775 780

Val Arg Lys Asn Gly Val Trp Met His His Arg Arg Ala Pro Val Asp

785 790 795 800

Arg Thr Thr Leu Gln Pro Gly Arg Arg Val Ser Lys Ala Gly Leu Glu

805 810 815

Ser Leu Arg Pro Phe Leu Ile Thr Ser Thr Asp Ala Ser Ser Ser Ser

820	825	830
Ala Ala Pro Asn Asn Gly Asp Asn Ile Asp Ser Glu Arg Gln Val Asn		
835	840	845
Asn Gly Ser Glu Ala Arg Pro Ser Pro Arg Ala Ser Pro Gly Met Gly		
850	855	860
Met Gly Gly His Ala Met Thr Pro Ala Gly Asp Gly Pro Leu Lys Trp		

865	870	875	880
Ile			

<210>	15
<211>	185
<212>	PRT
<213>	Artificial Sequence
<220><223>	OCA1 >CNAG_03963 Transcript 1

<400>	15		
Met Ala Lys Ile Val Pro Pro Met Asn Phe Gly Leu Val Glu Asp Gly			
1	5	10	15
Phe Tyr Arg Ser Ala Gln Pro Ser Glu Leu Cys Phe Ser Phe Leu Glu			
20	25	30	
Lys Leu Asn Leu Lys Ser Ile Ile Trp Val Gly Ala Glu Glu Pro Ser			

35	40	45	
Asp Ile Phe Leu Ser Phe Ile Glu Ser Gln Gly Ile Lys Leu Tyr Asn			
50	55	60	
Leu Ala Pro Gln Thr Ser Leu Asn Pro His Phe Pro Pro Pro Tyr Thr			
65	70	75	80
Asp Ser Gly Val Val Pro Ile Ser Gly Gln Tyr His Leu Pro Pro Leu			
85	90	95	
Pro Pro Pro Pro Glu Pro Leu Ile Ile Gln Ala Leu Thr Leu Leu			
100	105	110	

Arg Pro Ser Thr Phe Pro Thr Leu Leu Cys Cys Asn Met Gly Arg His		
115	120	125
Arg Thr Gly Thr Val Val Gly Cys Tyr Arg Lys Leu Gln Arg Trp Ala		

130	135	140
Leu Ser Ser Ile Leu Glu Glu Tyr Arg Arg Tyr Ala Gly Met Lys Val		
145	150	155
Arg Val Leu Asn Glu Gln Phe Ile Glu Leu Phe Asp Thr Asp Leu Val		
165	170	175
Ser Ile Thr Ala Glu Gln Val Thr Lys		
180	185	
<210> 16		
<211> 671		
<212> PRT		
<213> Artificial Sequence		
<220><223> GDA1 >CNAG_03996 Transcript 1		
<400> 16		
Met Pro Ala His Leu Phe Ala Arg Ser Thr Asp Thr Thr Phe Pro Ser		
1	5	10
Ser Ile Glu Thr Ser Thr Ser Gly Ser Leu Ser Phe Ser Leu Leu Ser		
20	25	30
Ser Leu Arg His Arg Pro Ser Gly Arg Ile Pro Lys Thr Pro Ile Ser		
35	40	45
Pro Lys Ser Pro Thr Ser Ala Ser Thr Ser Thr Thr Ala Ala Met Phe		
50	55	60
Ser Thr Arg Lys Tyr Ser Pro Leu Pro Thr Ser Ala Asn Gly Pro Ala		
65	70	75
Arg Lys Arg Thr Gly Ala Gly Leu Thr Ala Trp Lys Arg Trp Ala Leu		
85	90	95
Leu Ala Ala Ile Ser Val Ala Val Ile Phe Leu Val Phe Ser Arg Ala		
100	105	110
Ser Gly Gly Ser Glu Gln Gln Gln Ile Tyr Asn Glu Glu Asn Thr Tyr		
115	120	125
Thr Pro Ser Leu Asp Glu Asp Val Val Gly Asp Gly Asp Pro Ile Asp		
130	135	140
Tyr Ser Ser Pro Pro Phe Arg Pro Glu Asp Ser Asp Val Ala Gln Pro		

145	150	155	160
Leu Asp His Glu Asp Gly Asp Asp Asp Gly Val Ile His Thr Leu Pro			
165	170	175	
Thr Gly Asp Ala Ser Asn Pro His Asp Pro Thr Ser Thr Glu Ala Gln			
180	185	190	
Asp Ala Ser Glu Ala Glu Gln Asp Phe Thr Asn Glu Ser Glu Ser			
195	200	205	
Ser Pro Ser Glu Ala Glu Ser Ser Phe Pro Gly Ser Phe Glu Gln Asp			
210	215	220	
Pro Asp Pro Ala Ser Thr Thr Ala Cys Thr Glu Pro Val Ser Ser Asp			
225	230	235	240
Lys Pro Val Val Gln Tyr Ala Leu Thr Ile Asp Ala Gly Ser Thr Gly			
245	250	255	
Ser Arg Ile His Val Tyr Lys Phe Asn Asn Cys Gly Pro Ser Pro Gln			
260	265	270	
Leu Glu Tyr Glu Thr Phe Lys Ala Val Lys Pro Gly Leu Ser Ala Tyr			
275	280	285	
Ala Arg Asp Pro Thr Ala Ala Ala Ser Leu Asp Pro Leu Leu Glu			
290	295	300	
Glu Ala Tyr Arg Val Val Pro Glu Ser Leu Arg Lys Cys Thr Pro Val			
305	310	315	320
Glu Val Lys Ala Thr Ala Gly Leu Arg Leu Leu Gly Gln Gln Glu Ser			
325	330	335	
Glu Ala Ile Leu Asp Glu Val Arg Asn Arg Leu Glu Thr Asn Trp Asp			
340	345	350	
Phe Thr Val Ser Gly Glu Arg Ala Val Glu Ile Met Asp Gly Lys Asp			
355	360	365	
Glu Gly Val Tyr Ala Trp Ile Thr Ala Asn Tyr Leu Leu Asn Lys Ile			
370	375	380	
Gly Glu Gly Ala Glu Ser Asp Asp Thr Leu Ala Val Met Asp Leu Gly			
385	390	395	400

Gly Ala Ser Thr Gln Ile Val Phe Glu Pro Lys Phe Pro Ala Glu Ser

405 410 415

Asp Gln Ala Leu Val Glu Gly Glu His Lys Tyr Glu Leu Thr Phe Gly

420 425 430

Gly Lys Asp Phe Thr Leu Tyr Gln His Ser Tyr Leu Gly Tyr Gly Leu

435 440 445

Met Arg Ala Arg Arg Ser Val His Asn Leu Val Ala Phe Thr Trp Ser

450 455 460

Phe Gly Gln Gly Glu Val Glu Trp Glu Asn Leu Ser Glu Asp Val Gln

465 470 475 480

Val Pro Asn Pro Cys Leu Ser Lys Gly Met Thr Arg Arg Val Ala Leu

485 490 495

Asp Pro Pro Gly Arg Gln Thr Val Asn Val Thr Met His Gly Gly Asn

500 505 510

Gly Asn Phe Glu Ala Cys Asn Arg Val Val Glu Leu Val Met Ala Lys

515 520 525

Asp Ala Ile Cys Glu Val Lys Pro Cys Ser Phe Asn Gly Val Tyr Gln

530 535 540

Pro Ser Leu Leu Asp Thr Phe Pro Arg Gly Gln Leu Leu Ala Leu Ser

545 550 555 560

Tyr Phe Thr Asp Arg Ile Lys Pro Leu Leu Pro Ser Ser Ser Ser

565 570 575

Thr Leu Ser Ile Ser Glu Leu Thr Ser Met Ala Lys Asp Val Cys Ala

580 585 590

Gly Pro Asp Ala Trp Ala Asp Arg Trp Gly Ser Asp Ala Thr Ala Met

595 600 605

Glu Glu Leu Ala Gly Arg Pro Glu Tyr Cys Leu Asp Leu Thr Phe Met

610 615 620

Asn Ala Leu Leu Gly Leu Gly Tyr Glu Leu Ser Pro Glu Arg Glu Leu

625 630 635 640

Met Val Glu Lys Lys Leu Arg Gly Val Glu Leu Gly Trp Ala Leu Gly

	645	650	655
Ala Gly Leu Ala Leu Val Glu Lys Ala Glu Leu Thr Cys Thr Ala			
	660	665	670
<210> 17			
<211> 656			
<212> PRT			
<213> Artificial Sequence			
<220><223> FBP26 >CNAG_04221 Transcript 1			
<400> 17			

Met Ser Ile Pro Pro Pro Pro Ser Asn Lys Ser Pro Ala Ser Ala			
1	5	10	15
Val Ser Pro Ser Lys Pro Arg Ser Pro Lys Leu Lys Pro Leu Thr Pro			
20	25	30	
Thr Ser Glu Lys Pro Ser Arg Thr Asn Asn Asp Asp Asp Gln Val Tyr			
35	40	45	
Gln Pro Val Glu Pro His Val Leu Ala Glu Ala Val Ser Lys Leu Asp			
50	55	60	
Met Ile Arg Ser Ala Pro Ala Pro Met Ser Thr Val Thr Ser Pro Ala			

	65	70	75	80
Ala Ser Ala Ala Pro Ser Gly Pro Ser Ser Pro Arg Leu Ser Gly Ala				
85	90	95		
Gly Gln Gly Ala Pro Ser Thr Gly Pro Trp Ala Met Asp Arg Thr Ala				
100	105	110		
Ser Gly Asp Gly Arg His Ser Ala Pro Gly Thr Pro His Phe Gly Ala				
115	120	125		
Ser Thr Ala Leu Leu Lys Thr Leu Asp Glu Thr Thr Lys Val Ile Arg				
130	135	140		

Gln Ser Ser Arg Ala Pro Ser Arg Ala Pro Ser Val Ser Gly Ile Gly			
145	150	155	160
Thr Val Val Glu Lys Pro Asp Tyr Ser Glu Ala Lys Ile Val Val Ala			
165	170	175	
Met Val Gly Leu Pro Ala Arg Gly Lys Ser Tyr Leu Ser Asn Arg Leu			

180	185	190
Met Arg Tyr Leu Arg Trp Leu Glu Tyr Asn Val Gln Val Phe Asn Val		
195	200	205
Gly Gln Leu Arg Arg Ser Lys Ala Arg Ser Ala Leu Gln Ala Gly Gln		
210	215	220
Gly Lys Val Asp His Ser Ala Thr Tyr Phe Ser His Ser Asp Ala Glu		
225	230	235
Ala Thr Lys Lys Arg Glu Glu Leu Ala Glu Glu Ser Leu Glu Ser Leu		
245	250	255
Ile Ser Trp Leu Lys Lys Glu Gly Asn Val Gly Ile Met Asp Ala Thr		
260	265	270
Asn Ser Thr Ile Asp Arg Arg Glu Lys Ile Lys Ser Arg Ile Asp Lys		
275	280	285
Glu Pro Gly Leu Gln Val Leu Tyr Leu Glu Ser Phe Cys Asp Asp Pro		
290	295	300
Val Val Ile Ala Thr Asn Ile Ala Leu Lys Val Arg Ser Gly Asp Pro		
305	310	315
Asp Tyr Gln Gly Met Ser Lys Glu Asp Ala Glu Arg Asp Phe Arg Lys		
325	330	335
Arg Ile Ala Gln Tyr Glu Ser Val Tyr Gln Thr Ile Asn Glu Pro Asn		
340	345	350
Ile Pro Phe Cys Arg Ile Leu Asn Val Gly Gln Arg Val Thr Ile Asn		
355	360	365
Lys Ile Glu Gly Tyr Leu Gln Ser Arg Ile Ala Phe Tyr Leu Met Asn		
370	375	380
Leu His Leu Lys Pro Arg Ser Ile Tyr Leu Ser Arg His Gly Glu Ser		
385	390	395
Met Tyr Asn Val Glu Gly Lys Ile Gly Asp Ser Asp Leu Ser Pro		
405	410	415
Arg Gly Trp Glu Tyr Ala Arg Ala Leu Pro Ala Leu Ile Lys Asp Asn		
420	425	430

Ile Gly Glu Gly Pro Leu Glu Val Trp Thr Ser Thr Leu Gln Arg Thr  
 435 440 445

Gln Gln Thr Ala Ser Tyr Leu Pro Phe Glu Lys Lys Thr Trp Lys Ser  
 450 455 460

Leu Asp Glu Leu Asp Ala Gly Val Cys Asp Gly Met Thr Tyr Lys Glu  
 465 470 475 480

Ile Glu Gln Lys Tyr Pro Glu Asp Tyr Glu Ser Arg Asp Asp Asp Lys  
 485 490 495

Phe Asn Tyr Arg Tyr Arg Gly Gly Glu Ser Tyr Arg Asp Val Val Val  
 500 505 510

Arg Leu Glu Pro Val Ile Met Glu Leu Glu Arg Gln Asn Asn Ile Leu  
 515 520 525

Ile Ile Ala His Gln Ala Ile Leu Arg Cys Leu Tyr Ala Tyr Phe Gln  
 530 535 540

Ala Arg Pro Gln Gln Glu Leu Pro Tyr Ile Asn Ile Pro Leu His Thr  
 545 550 555 560

Leu Ile Lys Ile Thr Pro Gln Ala Tyr Gly Cys Gln Glu Glu Arg Tyr  
 565 570 575

Pro Leu Pro Ile Ala Ala Val Asp Thr His Arg Pro Arg Pro Ser Lys  
 580 585 590

Gly Arg Asn Thr Ala Gly Val Ser Val Ala Glu Glu Ala Phe Gln Pro  
 595 600 605

Val Lys Arg Asp Tyr Tyr Gly Asp Ser Gln Gln Gly Val Gly Phe Gly  
 610 615 620

Leu Lys Pro Glu Ala Ile Ser Gln Ala Leu Glu Asn Glu Met Glu Gln  
 625 630 635 640

Gly Lys Leu Thr Pro Arg Ala Ala Val Ala Gln Leu His His Glu  
 645 650 655

<210> 18  
 <211> 613  
 <212> PRT  
 <213> Artificial Sequence

&lt;220&gt;&lt;223&gt; PSR1 &gt;CNAG\_04224 Transcript 1

&lt;400&gt; 18

Met Pro Thr Thr Arg Thr Glu Pro Pro Thr Val Ala Pro Ala Ile Ser

1 5 10 15

Pro Gln Asn Thr Asn Thr Ala Gly Pro Ala His Thr Thr Ser Ile Asp

20 25 30

His Asn Thr Ser Thr Asp Thr Gln Gln Pro Ser Ser Gly Leu Gln

35 40 45

Pro Ser Ile Leu Pro Pro Val Ala Thr Pro Ala Thr Gln Asn Leu Ala

50 55 60

Ser Thr Thr Glu Met Thr Lys Asp Gly Gly Ala Ala Ala Ala Gln Pro

65 70 75 80

Ser Thr Ala Gln Thr Thr Leu Pro Glu Pro Gly Thr Thr Ser Thr Ser

85 90 95

Ile Lys Pro Thr Glu Gly Glu Gln Ser Lys Gly Thr Pro Leu Gly Asn

100 105 110

Leu Ser Arg Arg Leu Ser Asn Lys Ser Pro Ser Thr Thr Ala Ser Ser

115 120 125

Ala Pro Gln Thr Thr Ala Glu Lys Ala Asp Pro Lys Pro Ala Ser Ser

130 135 140

His Thr Gln Pro Thr Thr Ser Thr Ser Lys Thr Thr Val Asn Thr Pro

145 150 155 160

Ala Ser Arg Ser Val Asn Gly Ala Thr Lys Ser Lys Thr Ala Pro Thr

165 170 175

Ser Asn Thr Thr Ala Pro Lys Ala Gly Gln Lys Lys Arg Lys Arg

180 185 190

Lys Gly Leu Ala Gly Ile Leu Leu Ala Leu Gly Cys Leu Ser Val Asp

195 200 205

Glu Phe Glu Glu Glu Pro Ser Lys Pro Ser Ser Thr Thr Ala Ser Val

210 215 220

Gly Ala Gly Lys Thr Ala Gly Ala Gly Ala Thr Thr Gly Val Ser Thr

225 230 235 240

Lys Ala Asp Glu Ser Ala Lys Pro Gly Ser Gly Asp Ala Gly Met Thr  
 245 250 255  
  
 Ser Gly Ala Leu Lys Ala Pro Asn Gly Ser Val Ala Pro Ala Pro Ser  
 260 265 270  
 Gly Pro Ser Ala Val Lys Thr Gln Asp Thr Thr Val Gly Ala Glu Gln  
 275 280 285  
 Lys Val Asp Ala Thr Gly Pro Thr Gly Ser Thr Val Val Ala Glu Gly  
 290 295 300  
 Ser Asn Glu Ala Asp Lys Gly Ile Val Pro Asp Glu Gln Val Val Val  
 305 310 315 320  
 Pro Pro Thr Glu Pro His Thr Leu Pro Asp Asp Glu Thr Ala Gly Val  
  
 325 330 335  
 Thr Ser Ser Ala Val Gln Pro Pro Gly Gly Ser Val Leu Leu Gly  
 340 345 350  
 Thr Pro Ser Lys His Val Ser His Arg Glu Ser Glu Thr Asn Leu Gly  
 355 360 365  
 Thr Ser Ser Asn Glu Arg Thr Glu Thr Ser Gly Gly Tyr Ser Asp Ile  
 370 375 380  
 Ser Asn Ser Glu Met Val Asp Glu Ser Thr Gly Gln Gly Asp Glu  
 385 390 395 400  
  
 Leu Gly Glu Asp Tyr Leu Glu Tyr Asp Asp Glu Glu Asp Arg Leu Ile  
 405 410 415  
 Glu Gln Gly Gly Ile Gly Ile Pro Val Asp Glu Asn Gly Asn Pro Ala  
 420 425 430  
 Pro Leu Leu Pro Pro Ile Ala Ala Lys His Arg Gly Arg Lys Cys Leu  
 435 440 445  
 Val Leu Asp Leu Asp Glu Thr Leu Leu His Ser Ser Phe Lys Gln Leu  
 450 455 460  
 Pro Thr Ala Asp Tyr Ile Val Pro Val Glu Ile Glu Ser Gln Val His  
  
 465 470 475 480  
 Asn Val Tyr Val Ile Lys Arg Pro Gly Val Asp His Phe Leu Thr Glu

485                    490                    495

Met Ala Lys Ile Tyr Glu Ile Val Val Phe Thr Ala Ser Leu Ser Lys

500                    505                    510

Tyr Ala Asp Pro Val Leu Asp Met Leu Asp Glu Asn Arg Val Val Ala

515                    520                    525

His Arg Leu Phe Arg Glu Ser Cys Tyr Asn His Lys Gly Asn Tyr Val

530                    535                    540

Lys Asp Leu Ser Gln Leu Gly Arg Asp Ile Gln His Ser Ile Ile Ile

545                    550                    555                    560

Asp Asn Ser Pro Ala Ser Tyr Ile Phe His Pro Asn Asn Ala Val Pro

565                    570                    575

Val Ser Thr Trp Phe Ser Asp Pro His Asp Ser Glu Leu Thr Asp Leu

580                    585                    590

Cys Pro Phe Leu Ala Asp Leu Ala Thr Val Asp Asp Val Arg Gly Val

595                    600                    605

Leu Asp Gly Arg Ile

610

<210> 19

<211> 706

<212> PRT

<213> Artificial Sequence

<220><223> CDC1 >CNAG\_06647 Transcript 1

<400> 19

Met Leu Gly Ser Pro Arg Ala His Ser Pro Ala Pro Pro Leu Ala Ala

1                    5                    10                    15

Arg Gly Arg Lys Thr Gly Leu Lys Ser Arg Ala Thr Gln Ile Leu Ala

20                    25                    30

Leu Arg Phe Gly Trp Val Val Leu Val Ile Trp Tyr Glu Val Gly Glu

35                    40                    45

Phe Phe His Ser Leu Ser Thr Cys Arg Phe Pro Asp Ser Ala Leu Arg

50                    55                    60

Gln Ala His Pro Gln Ala Pro Pro Pro Thr His Val Val Leu Ile Ala

65	70	75	80
Asp Pro His Val Pro His Ala Arg Leu Ser Tyr Pro Ser Gly Asn Pro			
85	90	95	
Trp Leu Asn Trp Ala Lys Gln Gln Met Asp Glu Leu Phe Met Arg Lys			
100	105	110	
Ser Trp Asn Val Val Met Arg Leu Gly Arg Val Asp Gln Val Leu Val			
115	120	125	
Leu Gly Asp Met Leu Asp Ser Gly Arg Gly Val Met Ser Asp Glu Glu			
130	135	140	
Tyr Val Glu Tyr Ile Ala Leu Phe Arg Ser Ile Phe Gln Leu Pro Pro			
145	150	155	160
Thr Thr Pro Met His Phe Val Pro Gly Asn His Asp Ile Ser Leu Val			
165	170	175	
Pro Asn Gly Arg Phe Ser Ser Gln Ala Arg Leu Arg Tyr Gln Gln His			
180	185	190	
Phe Lys Thr Pro Asn Thr Val Leu Pro Ile Ser Asn His Ser Phe Ile			
195	200	205	
Leu Leu Asp Ala Val Gly Leu Val Glu Glu Asp Tyr Arg Arg Tyr Ala			
210	215	220	
Ser Glu Met Gln Phe Gly Glu Trp Asp Gly Val Lys Gly Gly Val Ile			
225	230	235	240
Glu Phe Val Lys Asp Leu Arg Asp Asn Pro Pro Pro Gly Pro Lys Ile			
245	250	255	
Leu Leu Ser His Ile Pro Leu Ala Arg Pro Glu Gly Ala Ala Cys Gly			
260	265	270	
Pro Leu Arg Glu Lys Gly Arg Ile Ser Lys Gly Ala Gly Pro Gly Tyr			
275	280	285	
Gln Asn Leu Leu Gly Ser Glu Thr Ser Lys Phe Leu Leu Asp Ala Ile			
290	295	300	
Gln Pro Asn Ile Val Phe Ser Gly Asp Asp His Asp Tyr Cys Asp Tyr			
305	310	315	320
Val His Lys Gly Asn Ile Arg Glu Val Thr Val Lys Ser Phe Ser Ser			

325	330	335
-----	-----	-----

Ser Thr Gly Ile Arg Arg Pro Gly Leu Gln Leu Leu Ser Leu Val Pro  
 340                    345                    350  
 Pro Pro Thr Glu Ser Thr Ala Arg Leu Leu Pro Thr His Ala Asp Arg  
 355                    360                    365  
 Pro Cys Phe Leu Pro Asp Gln Leu Gly Val Tyr Trp Arg Val Tyr Leu  
 370                    375                    380  
 Pro Leu Ala Ile Leu Thr Ala Leu Tyr Leu Phe Ile Thr Asn Leu Arg  
 385                    390                    395                    400  
 Ser Ala Tyr Leu Arg Trp Asp Arg Ser Ser His Ala Val Ser Glu Lys

405	410	415
-----	-----	-----

Met Arg Ser Ser Pro Ala Leu Leu Ser Ala Glu Thr Met Ser Pro Asn  
 420                    425                    430  
 Ser Phe Ser Ser Arg Arg Asn Gly Pro Val Pro Leu Ser Ile Pro Ser  
 435                    440                    445  
 Arg Lys Ser Ser Ser His Leu Pro Leu Ser Ala Pro Ser Ala Ile Pro  
 450                    455                    460  
 Ser Ser Thr Leu Pro Arg Pro Val Arg Tyr Asn Ser Thr Pro Ala Glu  
 465                    470                    475                    480

485	490	495
-----	-----	-----

Tyr Pro Pro Gly Ser Arg Ser Gly Gln Ser Asn Pro Val Ser Pro Phe  
 485                    490                    495  
 Gly Ser Pro Lys Leu Ser Ala Val Glu Arg Phe Gly Glu Arg Asp Val  
 500                    505                    510  
 Glu Arg Asp Gly Glu Ala Ala Ser Ala Ser Val Thr Gly Leu Asn Thr  
 515                    520                    525  
 Pro Leu Thr Leu Ser Arg Arg Ser Ser Tyr Ile Tyr Met Asp Arg Gly  
 530                    535                    540  
 Phe Pro Ser Ser Val Ser Asp Ser Ala Pro Leu Ser Ala Ser Gly Thr

545	550	555	560
-----	-----	-----	-----

Thr Asn Trp Gly Leu Gly Ala Asn Thr Gly Val Ser Ser Pro Ser Ser  
 565                    570                    575

Ser Gly Phe Ile Arg Arg Val Ser Ser Ala Asn Leu Ser Thr Leu Ile  
 580 585 590  
 Thr Thr Asn Val Ala Pro Pro Ser Leu Ser Ile Thr Ser Pro Gly Thr  
 595 600 605  
 Pro Arg Arg Val Thr Leu Pro Ser Pro Leu Leu Leu Pro His Ser Pro  
 610 615 620

Ala His Ala Gln Ala His Pro Leu Ser Gln Thr Ser Ser His Ala Thr  
 625 630 635 640  
 His Pro His Pro Ala Val Ile Tyr Thr Phe Pro Thr Pro Ser Arg Ser  
 645 650 655  
 Trp Phe Trp Phe Glu Arg Ala Lys Ser Phe Leu Arg Trp Ala Trp Lys  
 660 665 670  
 Ala Arg Lys Gly Ala Val Gly Lys Ser Trp Arg Glu Leu Ile Ser Val  
 675 680 685  
 Ala Trp Val Gly Ala Ile Val Trp Leu Gly Val Asn Ala Leu Phe Phe

690 695 700  
 Leu Glu  
 705  
 <210> 20  
 <211> 444  
 <212> PRT  
 <213> Artificial Sequence  
 <220><223> INP5202 >CNAG\_07317 Transcript 1  
 <400> 20

Met Ala Pro Leu Asp Val Phe Met Thr Thr Trp Asn Thr Gly Leu Gln

1 5 10 15

Gly Ser Lys Ala Gln Ser Gln Asp Leu Thr Ser Trp Leu Leu Pro Val  
 20 25 30

Leu Arg Asn Ala Ser Asn Pro Glu Leu Pro Gln Gly Phe Ile Pro Asp

35 40 45  
 Leu Tyr Ala Ile Gly Ile Gln Glu Leu Leu Pro Leu His Leu Ala Met  
 50 55 60

Ala Gly Leu Thr Glu Pro Val Leu Leu Ala Leu Thr Ser Arg Ile Glu  
 65 70 75 80  
 Asn Leu Leu Ser Ala His Ala Ser Ser Ile Ser Pro Asn Lys Thr Pro  
 85 90 95  
 Glu Arg Tyr Ser Leu Val Ala Arg Val Ala His Val Gly Asn Ala Leu  
 100 105 110  
  
 Trp Ile Phe Ser Arg Asp Ser Thr Met Asp Gly Arg Leu Gly Lys Pro  
 115 120 125  
 Ser Thr Ala Thr Leu Gly Leu Tyr Trp Gly Gly Met Gly Asn Lys Gly  
 130 135 140  
 Ala Val Gly Val Arg Leu Pro Val Arg Arg Gly Lys Ile Gly Trp  
 145 150 155 160  
 Glu Asn Leu Thr Phe Val Asn Ala His Leu Glu Ala His Asp His Asn  
 165 170 175  
 Ile Pro Arg Arg Asn Ala Gln Tyr Gln Arg Ile Leu Ser Ser Leu Val  
  
 180 185 190  
 Phe Asn Ser Thr Asp Pro Leu Thr Thr Ser Gln Gln Ile Phe Asp Thr  
 195 200 205  
 Ser His Leu Phe Phe Met Gly Asp Leu Asn Tyr Arg Leu Ser Lys Gln  
 210 215 220  
 Pro Pro Pro Gly Ala Leu Gln Glu Asn Lys Met Phe Gly Asp Val Leu  
 225 230 235 240  
 Glu Leu Glu Lys Ser Arg Met Gly Met Leu Asp Thr Asp Thr Leu Arg  
 245 250 255  
  
 Gln Glu Gln Arg Glu Gly Arg Val Phe Gly Gly Leu Arg Glu Gly Asp  
 260 265 270  
 Leu Thr Arg Phe Ala Pro Thr Tyr Lys Arg Ile Val Gly Gln Ile Glu  
 275 280 285  
 Gly Tyr Ser Lys Lys Arg Ile Pro Gly Trp Thr Asp Arg Ile Leu Phe  
 290 295 300  
 Ala Ser His Thr Asp Pro Pro His Leu Phe Ser Pro Glu Ala Ser Leu  
 305 310 315 320

Asp Pro Val Pro Ser Asn Val Ala Asp Thr Thr Ser Ile Leu His Phe

325 330 335

Asn Ser Thr Ile Glu Leu Val Ile Ser Asp His Lys Pro Val His Ala

340 345 350

Ile Leu Ser Leu Pro Glu Val Ser His Glu Ala Pro Ser Pro His Leu

355 360 365

Ala Pro Thr Leu Pro Pro Ala Pro Ser Pro His Gln Pro Arg Pro Leu

370 375 380

Pro Thr Gln Arg Glu Val Leu Leu Ile Glu Lys Phe Leu Gly Thr Leu

385 390 395 400

Leu Asp Arg Leu Val Gly Trp Pro Trp Cys Ile Ile Val Leu Leu Gly

405 410 415

Phe Gly Asn Thr Arg Arg Gly Met Gly Val Ser Ala Phe Val Ala Met

420 425 430

Ile Trp Gly Ile Trp Trp Ser Gly Val Tyr Ser Gly

435 440

<210> 21

<211> 976

<212> PRT

<213> Artificial Sequence

<220><223> YND1 >CNAG\_07692 Transcript 1

<400> 21

Met Ala Pro Ser Val Thr Pro Leu Thr Thr His Tyr Ala Leu Val Ile

1 5 10 15

Asp Ala Gly Ser Ser Gly Ser Arg Leu Gln Ile Tyr Ser Trp Arg Asp

20 25 30

Pro Asp Leu Glu Arg Ala Glu Ile Leu Gln Asp Val Gln Asn Ile Glu

35 40 45

Arg Gln Gly Ser Ser Ser Ser Lys Glu Gly Ala Arg Trp Trp Trp

50 55 60

Ser Gly Glu Asp Gly Trp Lys Gly Lys Gly Lys Ala Lys Glu

65	70	75	80
----	----	----	----

Met Glu Glu Met Ala Leu Arg Arg Leu Val Arg Val Gly Lys Gly Val  
 85 90 95  
 Glu Gly Asp Asp Trp Val Lys Arg Val Glu Pro Gly Ile Ser Thr Val  
 100 105 110  
 Asp Pro Glu Asn Ile Pro Glu Tyr Leu Ala Pro Leu Leu Thr His Ala  
 115 120 125  
 Leu Gln His Ile Pro Pro Ser Val His Ser Ser Thr Pro Ile Tyr Leu  
 130 135 140  
 Leu Ala Thr Ala Gly Met Arg Leu Leu Pro Ser Gln Gln Arg Asp Ala

145 150 155 160  
 Ile Leu Gln Ala Thr Cys Asp Thr Leu Arg Asn Asp Tyr Pro Phe Leu  
 165 170 175  
 Val Ser Gly Pro Thr Glu Glu Gly Pro Cys Gly Glu Asn Val Arg Val  
 180 185 190  
 Ile Asp Gly Glu Glu Gly Ile Trp Gly Trp Val Ala Val Asn Tyr  
 195 200 205  
 Leu Met Asp Gly Phe Gly His Ala Pro Ser Pro Ser Ser Ile Ser Asn  
 210 215 220

Ser Gly Thr Ser Ser Ser Ser Thr Asn Leu Leu Pro Leu Ala Pro  
 225 230 235 240  
 Leu Ala Ser Ala Pro Pro Asp Ser Ser Ser Ser Ile Thr Pro Val  
 245 250 255  
 Asp Ile Ala His His Ser Pro Thr Phe Gly Phe Leu Asp Met Gly Gly  
 260 265 270  
 Ala Ser Thr Gln Leu Ala Phe Ser Pro Ser Ala Ser Glu Leu Leu Thr  
 275 280 285  
 Ser Gly Phe Pro Leu Asp Lys Leu Arg Thr Val Ser Leu Arg Leu Leu

290 295 300  
 Ser Gly Glu Gln Val Asp Trp Pro Val Phe Val Ala Ser Trp Leu Gly  
 305 310 315 320

Phe Gly Thr Asn Arg Ala Arg Glu Arg Tyr Met Thr Ser Leu Tyr Gln  
                  325                 330                 335  
 Gln Trp Ala Ser Ala His Pro Ser Pro Ser Ala Gln Asp Leu Ala Thr  
                  340                 345                 350  
 Pro Ile Pro Asp Pro Cys Leu Pro Lys Asp Leu Ser Ile Leu Pro Pro  
                  355                 360                 365  
  
 Ser Ser Ser Gln Pro Pro Leu Ile Gly Thr Gly Ser Phe Pro Glu Cys  
                  370                 375                 380  
 Leu Thr Ser Leu His Pro Leu Leu Glu His Ser Thr Pro Cys Pro Thr  
                  385                 390                 395                 400  
 Ser His Cys Leu Phe Gly Gly Gln Pro Thr Pro His Ile Asp Phe Glu  
                  405                 410                 415  
 Arg His Asp Gln Arg Gly Phe Ile Gly Ile Ser Glu Tyr Trp Tyr Thr  
                  420                 425                 430  
 Met Gln His Val Leu Gly Val Gly Val Trp Asp Trp Gly Glu Trp  
  
                  435                 440                 445  
 Glu Lys Gly Met Lys Glu Phe Cys Gly Lys Asp Trp Glu Val Ile Lys  
                  450                 455                 460  
 Ser Glu Val Glu Asn Gly Asp Trp Glu Asp Val Asn Met Asp Pro Thr  
                  465                 470                 475                 480  
 Arg Leu Glu Met Gln Cys Phe Lys Gly Ala Trp Ile Ser Asn Val Leu  
                  485                 490                 495  
 His Glu Gly Ile Gly Ile Pro Arg Leu Val Asp Val Gly Asn Asp  
                  500                 505                 510  
  
 Thr Leu Thr Gly Gly Ser Leu Gly Asp Thr Asn Ala Glu Ala Glu Arg  
                  515                 520                 525  
 Arg Ala Arg Glu Lys Gly Leu Phe Glu Lys Lys Gly Gln Gln Gly  
                  530                 535                 540  
 Lys His His Phe Gln Ser Met Asp Gln Val Gly Glu Thr Ala Ile Ser  
                  545                 550                 555                 560  
 Trp Thr Leu Gly Lys Val Val Ile Glu Ala Ser Lys Ala Val Gln Pro  
                  565                 570                 575

Arg Ser Gln Glu Met Glu Gly Trp Trp Met Arg His Leu Asn Leu Gly

580 585 590

Ser Met Arg Leu Pro Leu Ser Leu Pro Ile Pro Lys His Leu Glu Gly

595 600 605

Lys Leu Glu Asp Leu Gly Leu Ser Val Val Trp Ile Tyr Ala Val Val

610 615 620

Gly Phe Phe Leu Val Gly Met Leu Phe Ser Arg Ser Asn Arg Arg Arg

625 630 635 640

Gly Val Gly Ser Leu Gly Ser Gly Met Gly Arg Arg Arg Lys Pro Ser

645 650 655

Leu Ser Ser Pro Pro Leu Pro Ala Arg Pro Trp Phe Thr Phe Pro Ser

660 665 670

Phe Phe Ser Gly Pro Ala Ala Asp Pro Ser Leu Ser Ile Glu Asp Gly

675 680 685

Pro Asp Ala Ser Pro Thr Ser Ser Thr Ser Thr Pro Phe Ser Gly

690 695 700

Asn Gly Thr Ala Gly Ala Ser Gly Lys Ser Arg Ile Val Pro Gly

705 710 715 720

Arg Leu Arg Leu Trp Ser Leu Arg Ile Ser Asn Thr Ile Asn Lys Tyr

725 730 735

Ile Pro Ala Ser Leu Pro Leu Ser Leu Gly Ser Pro Asn Ser Arg Gln

740 745 750

Arg Gly Gly Ala His Glu Leu Trp Thr Ser Ile Gly Ile Gly Leu Pro

755 760 765

Arg Thr Arg His Asn Ser Met Pro Met Ile Gly Met Gly Pro Asn Thr

770 775 780

Ser Pro Arg Val Gly Leu Leu Ser Pro Gly Gly Asp Gly Tyr Ser

785 790 795 800

Gln Pro Gly Ser Pro Arg Ile Ile Ser Ala Pro Phe Phe Ile Pro Ala

805 810 815

Ala Ala Pro Gly Ile Gly Leu Asn Thr Gly Val Gly Ser Leu Thr

820	825	830
Pro Glu Thr Val Leu Thr Gly Ile Ser Ser Ala Thr Ser Val Ser Pro		
835	840	845
Ser Pro Ser Leu Ala Ser Thr Ser Ser Pro Pro Pro Pro Arg Ser Ser		
850	855	860
Leu Lys Pro Gly Lys Ser Gly Arg Pro Phe Lys Pro Arg Gln Asn Ser		
865	870	875
Asn Asn Leu His Pro His His Gly Ser His Gly Phe His Ser Val Gly		
885	890	895
Glu Gly Ile Gly Ala Gly Gly Gly Trp Asn Asp Pro Pro Leu Ala		
900	905	910
Met Leu Ser Ser Pro Gly Ser Gly Thr Gly Pro Ser Gly Ser Gly Ala		
915	920	925
Ala Asp Asp Gly Gly Val Leu Thr Pro Thr Ala Asn Gly Gly Leu Ser		
930	935	940
Asn Gly Ala Leu Ser Arg Asn Ser Ser Arg Ala Asn Leu Ser Glu Leu		
945	950	955
Gly Leu Ala Gln Arg Ser Met Ser Arg Thr Gly Thr Pro Gly Phe Asp		
965	970	975
<210> 22		
<211> 1283		
<212> DNA		
<213> Artificial Sequence		
<220><223> vps29		
<400> 22		
cagaagcaaa cctttccgc ttatattact ctgacccttc cctcgaattt gtatcaccat 60		
ggtcctgggtt ctcgtcattg gagaccccca tatccctaac cttgtccacg atcttcctgc 120		
aaagttaag aagttaactgg tccctggaaa gatcgccaa attatatgtt ccggaaatgt 180		
ctgcgacaag gagacctatg actatttacg gacgacggcc cctgaagtac acgttgtcgc 240		
gggagaattc gacgagaacc ctcattccc tctgtcaattt ataattcagc atcaatcact 300		
tcgcataaggc gtatgtccatg gacaacaggt tgtgcctgct ggagaccccg atatgttgc 360		
agcttggca aggcagatgg atgttagacgt tttgatcagt ggagggacac accgcttga 420		

gtcatttcaa ttcaagggtc gtttcttcgt taacccggg tcggcaaccg gggcctggag	480
tagtctctgg aatggcgagg taacaccatc attcgcttg atggacattc aaggcccgt	540
cattgtcaact taigtataatc aacttgtaga cggagaggta aaggctgaca aagtctgataa	600
ccgttaaacct gaccttatcat cagagactca gtctcaatca acgcggtcag aggttgcgtc	660
aagatggtag ataatacact tagaagcgaa gccttgcca tagataagat agcaggtacc	720
ctactatgtc ctggcagctg tctgtaaatg aagctaacag tcagtttgg ccatgtgaca	780
cttacagtat cttaagagca aaattttgtc ctggcatgaa gtttgtccat tcaattgca	840
acgaacattc tcgaccacga cagtaaggta aaattcattt caagcactcg aattaggggg	900
atgcaggacg ctgagatata ctggcttc ttatctaaac agttaagca aaccaaattt	960
taaagcgaag atgaggagtc ttctttgaag gacgcaaaac catcccttat cacatactct	1020
cacccattt aaacgtcttg ttaaatggtt tcttttttccatctgatg acttggcc	1080
aacagacgtt cgatcattgc acataatttta tccactgatc taactagcta gtttctcagt	1140
gctctaactt ccattaatga cgttaaaaaaa tgcccttcg gggccaaagt aaccactact	1200
taggttagct ccctgaaagt ttgacttagc aacttcaaca actccggcaa cttgcaacct	1260
catgcatttc tctagcttc ttg	1283
<210> 23	
<211> 3261	
<212> DNA	

<213> Artificial Sequence

<220><223> YMR1

<400> 23

cgaatcccat ctcatctcat ctcttctttt cccctgcctt accttacgca tcgcttgct	60
caactccagc agctatggac gcattacgag tagcaagagt agataacgta acgatccat	120
actttcttcc cccaaacagct cccgatcaaa agccaaactcc cctcactcag atcggccagc	180
tacatctcac cccgcatcat ctcatattct ctcatacacc ctctacagct tacgaaccag	240
aaatatggat accttaccct ttgataaccc gtctcactcg tctacccag acaatcaacg	300
gtctctatcc cttcaagta gaaacaaaaa cctttgaaag ctacgtcctt ctcttcacca	360

aggacaggga cgtggtgca gaggaagttt ggcagagtgt caaagattgc tctgtcaaat	420
catctgtcga acagctgtac gcattttct atgtcccccc atcaccgggt acaggctgga	480
ccgtcttcaa ccatcgaacc gagttgccg gacagggttt aggactcg accaaagcct	540
ggcgattcac agacataaac aaggactact cttttctcc gacatatcca agcaagctcg	600

ttgtaccgag tcgtatcagt gattctacgc tcatgtacgc gggtaagtac aggagcaagg	660
cacgtatacc agcattgact tacctccact gggccaacaa tgcttctatc acacgatcat	720
cacaaccaat gtttggtata aaaaactcac gctcatctca agatgaaaga ctggtcgagt	780
gtatatttc atcccacatg ttccttgaca atgcctattc ctctgcccc atcttcggag	840
ccacctctac caatctcatt atagacgctc gcccaaccac gaatgccatg gccaatgttag	900
caatggcgcc gggAACGGAG aacatggaga attataaact aggcaaaaag gcctatctcg	960
ggattgacaa cattcatgtc atgcgaaata gccttaaac ggtcgccgaa gcaatttagag	1020
aggctaactt gagaccatcg gtcccccgtga atcgagctct ttacgcaag agtaactgg	1080
tacgacatat ctgcacgatt ctgcacggtg ctctcatcat tgtccgcaat atacacctca	1140
acgcctcaca ttttttatac cattgctctg atggatggga ccggacaggc caactaagcg	1200
ctgtcgacaca gatatgcctg gacccttaact accgtacgtt tgacggattc aagggtgctcg	1260
tagagaagga ctggttagca ttggccaca aattcctaga ccgctctgga catttgttt	1320
cggaaaaata ttcatggtg acagagaatg acgacgacat ggaggaggag ggggtgagtg	1380
cgcaacgtgc cgccaaagca ttcttcgcga cagtagagaa gcaattact agcaccttc	1440
acctaagga gatttcgccc gtttccacc agttctcgatgtgtacga cagatccagc	1500
gccagttcc cgaacgtttt gagttcaacg aacagtacct tttagatata tatgacatc	1560
tttacacttg ccagtttgtt actttcttgt tcaacaatga gcccggaaacgt caggaaagt	1620
cttccccatc acgcaaatac tttgttagagc aaacatgttc tttatggac tatctcgact	1680
cacccctctga gctgtaaaag tataatcaact ctttgtatga taccacactt gacagcaatc	1740
aatcgccggaa tgcgggggcc gatcaagggt tgctgtttta taatccaaa gatgttaggt	1800
tttggttcag gctctttggg cggggagatg aagagatgaa tggatcatct ctgacccctaa	1860
atcagcctca gggggttgac atcattggtc ctattgggg agatcaagtg gaagatatgg	1920
ctgcaggaga gatactgcga gggcgcttc cagtttcagc tccgtctct catgccacag	1980
ccagccagag tcgtcttgg aactggctc aactttctgg gaatgccctt aatgtgttc	2040
attcagcagc cagagagatc aagagcatat cgcaagacgc attgtctcag attagggccg	2100
aggcaaatac gtggataga gaatcttggg aacaagacgg caaggaaag aacagtggc	2160
cggcatccct cacggaatct actttgcctc cagagaccaa cccatggct gctgaggctc	2220
gttcatctcc gaccatacca cctcctcgcc cgaacactca ggtgtcgccg acgactcaaa	2280
acccatgggc agccatgcca gacacaatta cttcggttatac taatttaaacg cttgacggca	2340
aggccccggg ttccccagca aacgatgctg gaacgaagga gagagcagga gaaaagcaac	2400

aaaaggcttg ggatcctcta ggagcattat aacgaataca tataccatta tagggttaga	2460
gttccctgac agatacttct gttgtacat ccacatctag tcctttgaa agtctttcc	2520
aacagccttc aaggccctt tctccctcg cgtctaaaca tagtccaaa gcgaccgcac	2580
gcgtatctaa agcctgcct gctggctcat cgtcgtcaga tttgacacct tggcctttg	2640
ttacacccgtt ctcgtcagag aatatcgccc ttggaaagc tgcttgcgca cactctactg	2700
cacggtaaac cagtcgctga aagtaactgg ttgcaatcaa atgtccctcc cgttcccttt	2760
ggatggctt cagagctta gatagacat atacaatggg ataatgaatg ccaaaaacgg	2820
acattgacat gacgagtggt ttcaccgcgt ctgagcaaag ttgtcagttc cttgactttt	2880
ttttttttt tcgttttcg cgtaccttga tacagccctg cgacatata tgcacatcagca	2940
gcgcgtggcg cgatgccggc aaactggct ttccactgca agagtcagca tatttgaaca	3000
tggctagcat acttggcaac tcaactatgtt ttactgtca tcagcaagac ttttggcgg	3060
ggctttgtct ccgcattttt cggctgattt caagccaata tcttagtagct ctctagaaag	3120
tccacccataga gacttgctt tcggagatgc accaaacttc aggagaacaa gctcaaggc	3180
gccttggtaa tctggcggtt cggcgaaata aaggctgctg gccatatact ctgttcgtt	3240
agcgttgtac ttgttgtttt c	3261

&lt;210&gt; 24

&lt;211&gt; 1313

&lt;212&gt; DNA

&lt;213&gt; Artificial Sequence

&lt;220&gt;&lt;223&gt; SSU72

&lt;400&gt; 24

cgagttttct tcagttgatc tatgggacgt atcacgtgc ttgcctattc ctcatctcg	60
tcgcccccaa aacaacatcc gctagccaaat ctgtccagcc agccatggac ccccgccgtc	120
gccacaacca gcgccccca ccggcgctat cctcattgcc tcccaacccca gctgcctata	180
atgcctccaa aactcgatgggatcat atcctgtatgc acggcaatac cagggccata	240
atggcgca tagtaccccg caaggataca gaagtgcctt tccggcgaa ccgcataatg	300
gtgcattacc tggcgaaacaa aggccttc cacccagcaa catgccaac tatcccttca	360

gtggccctcc agaccccccgc atgaggcctt ctcaagatcc cagatctaga ttatcggtt	420
ctcaaggaa ttacaatact ccaacccac ctgcgggca cacccttc tcttaccca	480
attatggcac cccacccatc tctgcgcaca caataccctt accgtgcac cagagtacc	540
agcaattcta tacgcctcca agcgcccta cgtttcact tcctggtgcc atgccttcag	600

gtgttatttc ggaaccagca aatggattt tggacaagga tgtgccacaa ggaagaagaa	660
gaccgttatt ttgtgtggtt tgtgcagta ataacaatcg atccatggaa gcacactatg	720
tcctgaacaa aaattccttc cgagtcgtct ccggcggAAC agttctgtc gtccgtttgc	780
cgggtccggc catcgacaag cccaacgtct atcgcttgg tacccgtac gatgacatat	840
acagagatct cgagtctcg gaccctcagt tatatactcg taatggtac tcgcctatgc	900
tggataggaa cagaaaagtc aaaaaagcgc ctgaaaagtg gcaagagctg aagagtgtac	960
tggcagacgt tgtcattaca tgtgaagaaa ggtgttacga cgctgttgt gatgatctct	1020
tgacaagaag tggagagttt aaccggccga tccacatcat caacatttagt atcaaagata	1080
accccgaaaga agctcatatt gccggccaaat ccataattgga gcttgcaga gccatigaag	1140
cttcagacga ctttgattct gatattgtatg ctatcctcaa cgctcacggt gacaaggacc	1200
ctcacacgct ttgcataacc gtaggattct attagatata acactataac actattaaaa	1260
ggaatgcaaa aggttaaga tgcatataaa ggatggatac ttatatacta gca	1313
<210> 25	
<211> 1670	
<212> DNA	
<213> Artificial Sequence	
<220><223> NEM1	
<400> 25	
ccgccccggcg gggatttaac tctttctcgc gttggacatt tccaaagagt ctcacgtgc	60
tcagctgcga tgcccttata gccacaccac cagcactcat gaacaccctg agtgcata	120
actcctactt ctccgcccattt gcttccggc caacaaccca cccaccacgc accccgcac	180
gtcgctctcg ccagacaatc tcctccatca gcgtcccacc acccacagca ccactcatcc	240
tccgcatacg gctcgcccta tggagcgtcc tcctactgt ctggaggagc tttgtcgag	300
agacacgtgc gacccggcgc aggggacgccc gctccgtcg taagcgtctt gcccggctca	360
gagagctcg gtagccgggtt atgatcactg ccgggatagc gtcgctcgat actccgcagg	420
agcacacaga gggagacgaa ggcagtgagg atgacaagga agacgggtgg gtcgatcctg	480
tcaccagggg accagaaggc tcggcaagtt tggaggaagc gccgcccggg gaagacgaat	540
tcgtgtcgcc taacacagcc tcgactggta ccgggtgcagc agaggttagag gaggaacctg	600
aacctgaccc tggatgagatg acagtgacag cgaaagacga cagacttgaa ggtccgtatc	660
ccaactttac ctgcgcctg cgctcgac ccaagaagga gctggacggt acagagactg	720
ctgtccattc acccgccac aagccgattc cttcattcca gcccggccaccg tctccaccc	780

ctatactcaa caacccatt acccgctc cgccgccgccc gcccgtcg aaaactgtag	840
aaccatcgcc caaacgtccc tctggcaccc gtcttcgcga aacccata tcaacatctc	900
tccttgaccc gtctgtcccc gcccgcgt ccaacgcga ttctgttttgcgttgc ttccggaaac	960
catcccctag gccattacgc cagccacaa ctccgttcca tcttcaaaag acactgtacc	1020
ttgtatctaga cgagacgctc atacactcta cgagccgacc aatccattac cctggtggtta	1080
gctctggcgg tgggtggctg ctgggtctta gtgtcgaaaaa tggtttggc aatggaagg	1140
ccaaggaggg ccatactgtc gaggtggtgg tgaatggag gagtacaatg tatcatgtat	1200
ataaagcgcctt tacgttagat catttcctta aaaaggtcgc gtcttggta acacttgta	1260
tctttaccgc ctccatgcct gagtatgcgg accccgtaat cgattggctc gatggcgccc	1320
gcaatttttgcgcaagaaa ctgtacagag aaaactgcga tgtgcagccc aatggaagct	1380
acatcaaaga cctgactctg gtcgaaaagg atctgagtag ggtgtgtttc atggacaact	1440
cggccgtcag ctacagctgg aacaaagcaa atgcgctgcc aatagaaggg tggacgtctg	1500
atccgaacga cgaggcgctg ctgcattcga ttccgtact ggacagtctc aggtttgtga	1560
atgatgtcg gagggtgttgc ggcattccggg gttttagcta gaagctagag ggacagggga	1620
tatatgcatt gtttccata agtcgtgtat gcatggacgg tgtttccgg	1670
<210> 26	
<211> 2322	
<212> DNA	
<213> Artificial Sequence	
<220><223> YVH1	
<400> 26	
acccctgctg tcaaattact ttgttaata cacatataca gctctcgccc cttactctcc	60
tccggcatgc cccagcacga taccgtcccc tccagggcac cttagatgc agccaaatca	120
gacaacctcg ccatacaaga cctctcacgc gaggtcaccc ccacaggcaa catccgcctg	180
gcggcaaaac gtctcgccc atccgcccgc gcaaaaaaag tgagaaatct gaaagaacgc	240
gcccgcacac gggctcaagt cgcacagccca tatgccat gggcagatga tccagaagaa	300
gctgaatatc ttcatgtccaa cgtccatgcc caggcagcag cgcattgtatc agaccaggatc	360
cttgcgtggcg atgaggagga ggaagaagaa gagaaagagg ccatgggtca catgcaggaa	420
gtcgtggatg gtctttgggt tggcgatttgcgtcgatgcgttgc atgtatgtatc cgagcttgcgttgc	480
aaaaatggca taaaaatctgtctgc ctcagaccgt ctctgaaatt ctcagacaag	540
tacgcggctc acccattaga gattgacgac tctgcggata ccgatttact ctccacttg	600

cctagctgtg tggcatggat caaggaatt ttagattac gtcaaaaggc agcagagcct	660
tcatcacaga agaatggta cggaaaacggc gaatcgctga aaaggtcgcc agacattgat	720
accgttagccc agccgggcaa gcccgggaggt gttctggtcc attgccaagc tggcatgtcc	780
agatcagcca gtatcggtgc ggcgttatctg atgagccagt atgatctcga ccccatggag	840
gcaatgacga tggatcaggga gaagagaccc gtagtagagc catctgcac tttctggcat	900
cagctggat ttttctacac tacagatggc aaggtatcat taaaagatcg atccactaga	960
cagttactata tggagcgaac cactacgcag ttcatcaacg gtgatggaac agcccccctct	1020
atggaaaaga tggccaagta ccctgcata ccttccccgt ccaatccctcc tacgcccag	1080
gaccatgcc gtcgcaagat ccgtatgaaa atgtgcgcac gccatctggc tgtgcgagag	1140
catatgatgg accacattct cgtatcaagcg cctcctgtac ccgcctcccg gccccgtaca	1200
ccttcaggcg catccatata aagccaaaga gcaagttta gcagtaacgc tggatgaga	1260
tttactgatg tcgtggaga aggccgggt ttttgacag aaaggagacg gaggggtagc	1320
caggtcagcg atgtatcaa ccccttgact ggcttgcctg gtcatgtc aagaagatcc	1380
agtgcaggcg ccgggtccaa cgggtctgtc agccctacag caacccagac gcttacgaa	1440
cgagacactg tgacgtcgcc cttgtccatc tcccacaatc atcacaacaa caacaacaat	1500
aacaacacta cccatccggc ctgcgcacga ggacccatc tccgtaatca ttccgagcca	1560
gctggaactg taccaccacc ccccggtccc ttacctgctg ctcatagcac tacttctgta	1620
ccagctccctc aagctccac gacccagcgt gctttacagt ctgcggacca gcttaacatg	1680
aggttaccgc cgccatctttt agcccttcgg atggcggta tgggtgggtc cgctgccaat	1740
gccgggtgcca ggcgcataatgc ttctaaccct ccagttccc cggaaacaaa tacacccctcc	1800
ccagtcattt aaaaagaacg cagagacca tcttcattt ctatcaatac caatggcgccc	1860
gcaggcgctg cagcaagacg attcagttca cttgcaatga ctcccaagga tgagaaggaa	1920
gaaacgaaat tgcgtacgag aagggcgagt ggtggggaaag gaatgtatgg cccaccaccc	1980
atacttgtca acaacaaatg ctcaggttac ttgttgaac ctctgacgtg gatggagcccc	2040
gttctctcaa agggacagat cgccggaaag ctgggtctgtc cgaatgagaa atgcgggtc	2100
aagattggta attttgattt ggccggcggt caatgtggat gcaaggaatg ggtgacacct	2160
ggattttgtt tccaccgaag caaggtggat gaggtttct aatgtgccag tgagaggag	2220
taagggactt gggacttagtt gtttgcattt catgttagagt tctttgttac gcatagcatg	2280
ttctgaaaga tgcataatgtata tggatgtata tggatgtata aa	2322
<210> 27	
<211> 1130	

&lt;212&gt; DNA

&lt;213&gt; Artificial Sequence

&lt;220&gt;&lt;223&gt; OCA101

&lt;400&gt; 27

gtatactgcg cagactacca tggcaaaca gccccctcg cagccctca tccaggtccc	60
cgccttc tccatagtgc aaccaggcgt ctaccgctcc gccagtc当地 ctccgtcgca	120
agtgc当地 ct当地 ctaatctcaa aacgatcatt tccctgaccc cggaacatcc	180
tattaaggct ct当地 acaat tcgatcgatc agcggcatt tc当地 ttgtcc atctaggact	240
caccatgg cggcccccgg gaacggattt gagacctgtc agatatgaaa taataaaac	300
cgctctcgag gc当地 tacatct tggatacaag agcgc当地 ccc gt当地 ctactca tc当地 atccgtt	360
gggggtacat caaaactggct gt当地 ttgtggg agcgtt当地 gaga atgatgcaag ggtggaaactt	420
tgcttagtgc当地 ct当地 atggagt accgtgctca tgctggaaagc aagcaccgct atctcgatga	480
acagtatata gagctattcg attcagattt gataaacctg ccagccccac aatatcgcc	540
ttcatggtgg ct当地 tttgc当地 aggaagctga tccgcaagaa gt当地 aaagcat tggcatcatc	600
cagtgagga acaggctac tc当地 ggacac gaatggcaga actcaagcaa ttgtctaaaa	660
gattggccgg gt当地 tggccgcc atatcattgc gaactggat ccaagctcca catcgccgct	720
cgcttcaccc tgaaggctac attggcttgg gccaatcct cc当地 tttctgt gttggctaga	780
gttcatatgt ggggagacct tcaaactcca acatggctc caactcgtaa tccgagcgca	840
gtcacgagat attattgcca ttcatgctc当地 aatttcccg tctctc当地 tta cctcccgaaa	900
cttccagtag cctgagccgc actgcccata gcagacatcc tctctccaac cttcttattt	960
acctaataaaa atgcattcg tc当地 gaaa ctttccaca tttatccaa acagttttg	1020
aaaaagaaca atcggcttgc actttgtc当地 ttggcagaga gacttacttc aaaaatttc	1080
gcagtgagc ggtcgatgca tacacttgc cc当地 tcaaaa gatccc当地	1130

&lt;210&gt; 28

&lt;211&gt; 1114

&lt;212&gt; DNA

&lt;213&gt; Artificial Sequence

&lt;220&gt;&lt;223&gt; SIT4

&lt;400&gt; 28

gattgcagg atgtgtacta ctacttgtca gcatatgccg agtgc当地 atgc当地 tatacctcg	60
cgacgatgcc catccaaatc tcttc当地 agatc当地 cagaccactg gatacagcat atccgccc当地	120
gcaaggaccc cccagaacgc caaatgaaaac tc当地 ctgtaa cc当地 gagtccgc gatctttac	180

tagaagagtc caacgtccgc ctgcgtccagt ctcccggtac cgtctgtggat gatattcacg	240
gccagttctg ggacgtccctc gagatttta ggcaggaggagg cgaggtccctt aaaacttagct	300
atatttcat gggagatttc gtcgatagag gctattatacg ctggaaaca ttatctttc	360
tactggctta caaggcaagg tacccagata agattacgct tttgagggga aaccacgaaa	420
gtagacagat tacccaggtt tatggcttct acgacgaatg tatgcagaag tacggcaatc	480
cttcggatag gaaagcttgt tgtaacgtgt tcgatcacct caaccttgcc gctatcatcg	540
actcctcaat cctctgcgtt cacgggtggcc tctcgccga tatccgtact ctcgatcaa	600
ttcgtaccat ctctcgtgcc caagaagttc cgcacgaagg tgcattctgt gatctgtatgt	660
gtctgtaccc tgatgaggtt gagacttgtt cgataagccc tagaggtgca gggtggttgt	720
ttggggggaa agtgacttca gagttcaact atatcaacgg tctctcgta atcggccgag	780
cacatcaact tggtaaagaa ggttacaagg acatgttga cgaatccctt gtcaccgtat	840
gttcagctcc caactactgc tacagatgct gtaatgcggc gagcatcatg caagtagacg	900
aagatggcag gacgagtttc aaagtgtacg acgcccgaat tgaaaattca acggatcaga	960
agaaccctgc aatgagaaga gtgggtgcac catcatactt cgttgatac cctagatgt	1020
tttttttgtt tgatcgact atgcatgct aaggtaaaaa atgccaatgt ataaaaaacac	1080
aaaagaagcc agcaaataa tgcaacaact tggg	1114
<210> 29	
<211> 1766	
<212> DNA	

<213> Artificial Sequence

<220><223> GUA1

<400> 29

tttttgtcga gcagcaatta tatcttcttt ccacaatcta caacatccat aaccctatac	60
aaaatggcca cagaggagat tcatacgatg tacgacacca tcctcatctt ggattttgga	120
tcccaagtact cccatggat cactcgacga tgccgagagc tcaacgtgtt ctgtgagatg	180
ctgccttgca cgccaaagat ctccgagttg tcctggaagc ctaagggtat catccttcc	240
ggctccccctt actctgttta cgctccgac gtcctcactg tcgacccga cgtttcacc	300
ctcggcggttc ccatcctcggtatctgctat ggtctccagg agatcgcccg tgtccacggc	360

ggcacccgtcg atgctcacac ccacagggag tacgggtacg ccaagatcga ggttgtcaag	420
actggcaaga aggttcggatg tgcattgttc gaggttattt agatggaggc ggacgggtggc	480
ttgcagggtctt ggtgtctca cggatccaa cttacccccc ttccccctaa ctttgtcacc	540

atcgcgtcca cccctacttc cccttcacc tccgtcgccc acgaatccaa gcctatttat	600
ggtgtccaat tccacccgaa ggttctcac tccccaggg gtaaggaggt cattgctcg	660
tttgtgaaga atgtctgtgg tgtcagagac ggctggagta tggagagctt tatccccaaag	720
gagatigcta ggattaggca aatctgcgtt gagaagggtc agttatcgg tgccgtcagc	780
ggtgggtcg actccactgt cgccgccaag ttgatgcacg aggccatcgg tgaccgattc	840
cacgctatca tggcgacaa cggtgtgctc cggaaagacg aggccaagaa ggttcataag	900
atgcttaccg ttgatctcg cgttaacctc accgttattt acgcttccga actttcctt	960
gcccgctta aagggtcgaa ggaccccgag cgtaagcgaa agatcatcgg taacaccc	1020
attgaggctt ttgaggccga ggctgccaag cttagggctg ctgtgaaaa agagcttgcc	1080
gagaaggggcg gtgaggccaa gggcaaaatc gagtggttgc tccaaggtac ctttacccc	1140
gacgttacg aaagtatctc tttcaaggccccc cccagtgtca ccatcaagac ccatcataac	1200
gtcggtggat tggggagga catgaagtgt aagttgattt agcctttcg agagctttt	1260
aaggacgaag tccgtccct tggcgatctc cttAACATCC cggagcatct agtggccga	1320
cacccttcc cccgtctgg tctcgatctc cgaattctcg gcgagggtcac tcgcgagcaa	1380
atcgatcc tccaacacgc cgacgacatt tacattgagg aaattcgatc tgctggttt	1440
tacgatcaaa tctctcaaggc ctttgttgc ctcttgcctg tcaaggctgt tggtgttgc	1500
ggtgacgcga ggacatatga ccaggtcgaa gcgggttaggg ccgtctctac agaagacttc	1560
atgactgccc actgggtcg ttttttttttcaagggttca agaggatctc gtctagaatt	1620
accaacgagg tcaagggtgt taacagggtg gtctacgaca ttacttccaa gcctccgg	1680
actgttgagt ggcttaagt tggatataa tattttccat ttttaggttt tggtgttgcata	1740
gatacagact cgatTTTtgc ttttttgc	1766
<210> 30	
<211> 4285	
<212> DNA	
<213> Artificial Sequence	
<220><223> INP5201	
<400> 30	
ctcagccca cctatacttt ttgtgtactt tccatcgatcc tccatcatct ttcgtctgcc	60
cgtctacggc ttccggaggg ctacatccgc cttgaggccc gcatttgcgt ggtatacata	120
accaggtgca aggaacactg gacgcacatg ttgtccaggt cgtaagcgat ggcacatccc	180
ctgcacgaga acgacgaaga gcgtccacag tcgatagcag ctctcagaag caagtttgc	240

agcctcgcaa tcgctggtgt gagccctgt cccaccatg tgccctcgc aaccaacggc	300
catgcactg tttagcttat ccgaaatggc ctccctcgtc cccggccaga aacacctgtc	360
gatggtcaaa aggccaagcc tgtgccacca ccaaaaaccag cttcacgtcc cgtaagccct	420
gcgactacat cggcagctcc gcaaccttg tctctgtcc cgccctctgc acctcgccaa	480
gctcccagca ggcctaccac tccaaacca tctttcaga cccatcactc aacatctca	540
gtcacttcta tcgtgagcgc agcgtctgtat tcacatctca aacattcaga tacaatggca	600
tctccccag ccgtaataatc gcgtgtgtat tcacctgcac caacgcgcgt tcgaaatct	660
gcccctctg tccccagcaa accggccatct gtgcgtgtca cccctcagg ttcagatgg	720
gatgaagacg agcctgttat cacgtctgtat aaggcttgc gtaaaaatt cagtggtaa	780
gctcaggcaa gcgaaattgc acttcgaaag cctgttagatg ttcccaaggc atcagcagta	840
tcggcgtta aggtgcacac ggtacatgtat tctctgtggc cgctgtgtgc cccgtggct	900
acacccatac ctgcacccat tccgcacca gtcataaaaaa gaacgctaga cggcaagaca	960
tcgcccgtaa tggatcgcc agcatcagag ggcaaggcac tttcagatac caatgattac	1020
tcttcacacc cgactgctcc tctggctctt ccggctcctc cagcacctat ctcacgtata	1080
tcctctctg tcccaagctcc agtccagcc ccttcggcc ctctccat aaacagagca	1140
cacaaacctc ctccacgaac tgcaatcage cccgeaccca tcttcgtcc cgaatcgaat	1200
gtcatcacac ccaacactac atctccccctt ataccaggca acaaacctgt catccatct	1260
cgcagctcta gtggcccaaga agtgcagtc cccctccgc cgccagagcg ccctcaaccg	1320
cctcagctcc ctgtgcgtcg gccgaccttt tcttcggccag atacgcttga gcctagtacc	1380
gcatctgtca tctccccacc tgcactcgat agtactccat tggatcgatac cattcatgac	1440
gatactgctc ttgtcttac gcctgcgcct gctactgccc cccaccatt gcccgcgtgg	1500
tcgagagcta atacaattaa tcgatccgaa agtgaatcga gcgcacccac cacaggtcca	1560
cctctctcgtctaccaggc tcggcacgc gctattctgtatctgtgg tagccgggtcc	1620
acctcttcca acgcaaatgg aagcggcagt accaccatga acccaccccc tccccggct	1680
catcccgcat ccccatccaa aactcgatc aactcgccgc gcccacccccc acctctctc	1740
cgagatgcta ccgttaaccg aggcagcagc gtgcgttagcg ggagcgggag tggatggcggt	1800
ggtggcggtt cccctccacg tcgatccaac accatttctc gcgcagcgcc ttttacccaa	1860
gaaaaataact ctacatcagc tacaaggctt ggcctaggcg aaaaaggagt atattcagac	1920
gaagatgacg agcctgaaga gcctggagcg gttaccaacc tgccggccca agcgaaaaagg	1980
atgttggacg agttccaga catgacagaa gccaaccgtc gtccccgggt gttcggtttcc	2040
gatattcgatc tcaaggagtg ccaccacgtt tcggcttttg ctgttatgg ccgatacgta	2100

tgcacggcgc cacaccatgt acgagtctac gataccagc tgcggatca tgcgattagt	2160
gttagtagatt taaaagagac ggggttagaa agcaggaa aggacccgaa agtacggca	2220
atgtttcc gtccggagc gacggaaagt gaagaaggaa ggtacctctg gtgcggtagc	2280
aaagacggc atctgtggta acttgatatt tccaccggg aagtaaccag taccaaggcg	2340
tttgtacata cgtttccat cagctatac tggcggcacc ggaagaacat catttcgttg	2400
gatgaagggg gaaattact cgtttgtat gttaggcata tagaaggaa accaccgacc	2460
atggcgagac aattacggat aggcgacaaa ttgggttcg ccaaactcat atgcggaaaa	2520
ctgtggacat caagcgtcc ctttacccga tcgactacat cgtccgtac atccaaggc	2580
cctaccgtcc ggtatatacga cccctgtcg ccgggacga tgccccgcc taaaacgatt	2640
ttcgcaaccg aatgggctgg cgcggtcacg tcggcgacat acatgcctt acatcacgat	2700
accattttc tcggccacga gggtgattt gtcagtgtgt gggatggaa agagttggtg	2760
tgtaagcagg tgcgtaaat tagctcgac gatgtgctcg ctgggaggg cgtaggagag	2820
tatttatgga cggaaatag gaagggacag atccatgtgt ttgatataaa agaaaaacca	2880
tggttggcga cgaatatatg gattggcat cccgataacc ctgtgcaatc gttgggtgtt	2940
gaccatact caattcagtc tgcggcaga tacacatgtt ggtctttgc ccggatgct	3000
ctgcgagcat gggacggctc cttctctgtc gactggatcg acaaacaact cactgcacgt	3060
caatcgtcat tctgcacgtt ccggccgtc aacgtttga tctgtacatg gaacattgac	3120
tctgctaaac ctacagatct gaatggatcg gtgcacaacg cccatttctt ggaagatgt	3180
ctgaggtctg tggattcacc ggatatcatc gtgttggtt tccaggaagt catcccgttg	3240
actgataaaa aataactgc caaaactctt ctttcggga acaaatccaa agatggtggg	3300
gcagcagcag acagggtac ccacgcctat cgacactggc tagaaaagct tcagtcagca	3360
gtccagatgg ctcccccttc aaactgtcca tatatcaaga tccattcaga gagtcttgc	3420
ggctgttta cgttatctt tgtgaaacag tcagagaaaa ttcccttacg ggatcttagat	3480
attaccactg tcaagcgagg aataggtggg atatacggga acaaggggc tatgtctct	3540
cgcctcgta tggatgatac atccatttgc ttatcaacg tccacctcgc tgctggccag	3600
tctcaaaaag ctgcgaaa cgccgttgc gcaggatcc tagaagataa agccatcccc	3660
cctccagcgg acgagttacc gttgttcat ggagggtgtg ggacggaaat ttggatcat	3720
gagatgggtt ttgtaatgg tgatgtat tatgcatttgc atcaacggcg tgagaacgtt	3780
atctcatcta tcgccaatgg cgagctagcc tatcttcttgc agcatgtca gctgcgtaaa	3840
gagatgagga cgaaccatgc tttcagactg agaaactttg aagaggcgcc catcacgtt	3900

gcccgcacat acaagtacga cccgggcacg cacgattatg attccagtga gaaaaggcgt	3960
attccagctt gggtgtatag gattctctac aagaatcgc cacgagtaca agctcttaat	4020
tatcagcgct atgaacctac tgtctcgat catcgaccgg tctctgcagg gtatacgata	4080
atcctgaaag cgatcgattc gttgaagatg atggacgtga gacggaaagc tactggagaa	4140
tggcgaagc gagaaaagga gttgcttagag aagatgcaag aggtgttga cggtattgaa	4200
taacacttgt tggtgattcg gtatcatatg tagctctaga ttaccatggacgattta	4260
tgcacatgcatg ttctatgtaa atgga	4285
<210> 31	
<211> 2454	
<212> DNA	

<213> Artificial Sequence

<220><223> PHS1	
<400> 31	
cggcggtgtg tgccgtgtgg ttgccgtatc gggtggaggt gagatgcggg atgtcccggt	60
ccgacacaaa agcgtcacta cactctgeat tccaaagcgt cttgactct gcacccat	120
ccatacttgc ccgcctctca ttgcagctcg ccgcctatgcc ccacgtcgct ggcggcagcc	180
gccaagccct cgagcaggag cgttccacc gccacgecca gcagccggc tcgtcgctct	240
cccccgcccc ccgcctctcc ccgcctccggc tctacctctt cggctacaac atcccttcgg	300
ccctgtctg gggcacctc ctgcgtctca cccttcctt ctcctcgcc ccctccggcc	360
ccccctggca ccagctcgcg gaccgcctca gcggctata cgactaccac aacctcgat	420
gggtgcaccaa atggacccag accctcgcc tgctgaagt cgtccacgccc gcctcggt	480
gggtgcgcag tccgctggc accgtcgcca gccaggtcgcc cagccggctc tggaccgtct	540
ggggcgtcggt cgaggccgcg ccggagatta ctacggca cccctgttc acaaccatgc	600
tcctcgctg gtccctcacc gaagtcattc gctactcatt ctacgcgtc tccctctct	660
ccgtctccgc ccccttcctc aactacccctc gctacacaac attcatcccg ctctaccgc	720
tcggcgccctc gtccgaggcc ttctctcgat tcgcgacccct ccctgctttg ggcggcgat	780
tcagcaggcgc ggtgacgaac gtcatggccc aggccgcgag ggagatcatg aagactaaag	840
tggggagaga atgtgtttgg tggctcgat aacatggagg cggcacggcc ggtgcgcaga	900
aagagtgggg ctggatcgat attgtgcgag cggactgtt tctcctctgg tggccggccc	960
tttatgtctt ctacacccatc atgctaaac agcggccaaa gttttgggt aaaggcaaga	1020
ccgttagccgg gtttagcaag gcgcataaaa taaaaaagag tagagccggc gcgtggagca	1080

atcagcgatg cattatcgcc tggtaactgtc agatacgaat ttgaaaacaa ttgaatcaat 1140  
cgatgttgcg taacaggcag gatcatgata aaccaatgga ctgagagata agtgaaaaaa 1200

tacttttact ggagggaaaag agatgcgata ataatatcat gctgtgaaat gacgatttat	1260
atggaaacga gagaaaagcg tcgatgaaag aaataaaacc aacatataaa ttcttcatc	1320
agttcatttc tagacatgac atttgttagag aagatcaata tacacccaaa gacataacat	1380
gtacaatcac aaaaagcttc cacttcaaa accccccctcc ttgctccgaa agctctagct	1440
gagcatctca cgacatgacg ttttaaacta cattctccac ctgtatcca tcttcagcaa	1500
cggcattccc ccgcttccct tcccaactcct caccacccgt caccaaacaa ggccattcgc	1560
tcatctgttc acctttcccc agtggcttt tcagtaccgg gtgggacatt gcagggacgg	1620

aagcagatat gcggggagggtg ggggggatcg agtttcctt cttcttcttg ctgaaaaaag 1680  
gttgggact ttgggtttc gccttgaccc cttagggcggt gttaagtttgcggtaattg 1740  
acaagggtt tgcaaagcca ccaccctcg tttaccatt gtcattccccatgtat 1800  
ggtaaggcgg cgagcttgcg cgaggggtaa gcccggaaaga ctcatccgga ccggagggtgt 1860  
tgcttagtact cgtcgctgtg gaaagatacg agggttgacg agactcttcg tcaaatgctg 1920  
gtgggttttc cgccggctgga gatggagtttgc acacggaga cgaagaagac gaaggataaa 1980  
gcggggattct caacacttgc ctgcgtttca aactctcagg catgcctatcccaccaac 2040

cccatcctc ccccctttcc catccaggcg catcatcaaa cgccctttta tcctttcat	2100
cctgcacccg tccctctct tcacgtccaa caacgacgcc gtcgtgcaac ttgtatcgag	2160
cgggtgtacc ggtcgcttg agtttacaaa cgaatctgtg acgtcggtg tggtatcgct	2220
gtgaacggat agggtgaaaa gagtcaagaa gcatttgta gagttctcg gtacggtagt	2280
gctggagcgg agggaaagtg cgggagggtgg tgtaagtgc taagttggta gtgcacatgt	2340
cgtcgatcca tgatttgac gatactcccc tatcccccc ccctaaagaa ggagggaaag	2400
agcgggcccc tggagccgaa gagaagggggg cagaagaggt ttggcggtg agga	2454

<210> 32  
<211> 4308  
<212> DNA

<213> Artificial

220-223

<400> 32

cgtacccgac tcacaaccaa gtagcgaaat aggagatgag ccgcctccca gtatcgtcga 120

accagattt gagaattgtt ttcgtattct catcgataca gacaaccaca taggatatgc	180
ggagaaaat ccggccgag gacaagactc tatcaacacc ttccggaaa tactagatgtt	240
ggcttagat cacgatgtcg atttcattct tcttcagggt gacttggtcc atgaaaacag	300
gccaagccga acatgtatgc accagacaat agctctacta agagaggta ccttgggtga	360
caagccaatt gaatttgaac ttttgagtga tccgatggat ggatctacgc ctggttctc	420
tttccggct gtcaactacg aagatccaa tattaacatc gccattcccg tcttctaat	480
tcatggtaac catgacgatc cccaggcac tggtctgag ggtgcactat gtgcattaga	540
tgttcttcc gtttctggag tccttaacta ctggaaag tcagaccttgc tcgctgtat	600
aagtgcgtcc gataacccag agaaaggat tcaatccga ccagttcttc tgccggaaagg	660
tacaacgcattt gtggcgctgtt atgggtgcgg taacatcaga gatcaaagaa tgtatcagga	720
gctacgggca aataaggtaa agatgtttt gccgacagga ggtgatgtac ccgatagcga	780
atggttcaac attttctcg tccatcaaaa ccgcgtccga catggcccc aaaattacgt	840
ccccgaaaac atgttgcgtt attctatcg acttgtcatt tggggccatg agcacgatttgc	900
taggatcaca cctgagagcgc tcgcccataa aaattatttc ataacgcagc ctggaaagttc	960
agtggccacc agtttagcac caggagaagc agtaccaaaat catgttggc ttctgtctat	1020
tcaggggtcc caatttcaac tcaagaattt acctctcaaa acggtgaggc catttgagtt	1080
ggacgaagtt gtgctgtcgta acgctgcggaa gcaaggagct gtatgttgc acgatagaga	1140
tagtataact tcttccttc gagaacaggtt ggaagcttgc atttgcagg ctaaaaaaaa	1200
ctggaaggag aggaacaacgc gcagcaccaaa gaacatgtatgc ttccctca tccgactgaa	1260
ggtcgaaaca acggatgccaa aagagatggt caatccggc aggttcggc aagagtatgt	1320
caatcggttc gccaatcctc gagatatttttgc gcaatcgatc cgtaaagaaaa agaatgagcg	1380
aaaggtaag aataatcctg atatgcctaa tatcaatgtatgtt gatgagtggg aggaagatcc	1440
tgatgttttgc acgtccgtatgc aacgactctc caaaacttgcgtt atggcaacac ttgtcaaaaca	1500
atatctcaa gctcagatgtt tagacgtgtt ggtggagaat gggatgaaatgatgttgc acgtgtgtat	1560
gctttgtatgtt gataaggatgtt gataaggatgtt gataaggatgtt gataaggatgtt gataaggatgtt	1620
aatgggtggaa aggaagatgtt aggagagaga ggttaaagag gatgacgttgc atcttgcgtt	1680
ggccgaggca aaggagaagg aatataacag atatgcgcac agcaaccgg ttccttctca	1740
aagtgtcaaa gggaaaaata aacagcggatc ttccagacgtt gatgtatgtt gttcaagcgat	1800
tgtatgtatgtt gatgtggacg agatgcgcac tcaacacgc gctccaggatgtt gacgtgcac	1860
cgcgaatcag ccagtttatgtt cagcgaaggca gcaaggcaag cagccttgcgtt ttgaaaacgc	1920
ttcagaagaa gaagaggacg aggaagagga agaggaggaa gaagaagaac ctgcgcctaa	1980

aaaaggctcgaa ggcggcgttc gaccaagaaa gcacctgcga aaaaaccacc	2040
tgcaagaacg ccagctaagt cgacgacaaa ggcaccagct ggaagacgcc ccgcagttag tcagccctcg acagggagag gagtaaccca atcacaatata acgtttcaa ggtctggtag aggcaaggca gcagcagtgc cgatcgatt gtcatcagat gaggattaga aatgaatgaa gaggaaatct gcgaaaccag tagtatttc ttcaacgtca agtgaatcgat atctgattaa gatcttgcattc actgcaataa ttaagaagat attcttctat tgcttgatga tcccttact ttagcctttt actcttacgt cacagtcgtt gtgaaaagtt gtgaaaagta cgtaaagtgc gcattccatg catccccaaa ccaataaaaaa ctttgctat tgctttact tctgactatc	2100 2160 2220 2280 2340 2400 2460
tttacacac atgccccata gttactccat aaccccaaaa agaaaagaaaa aaaggaaaag ctgaacattt tactccttgg cgacctggag gacgattcgcc cgccaatct tgccttcc gagaccctcg tagacgctgt cgtcattat cagcaagcgcc cttgaatttttggataatag ctgaacttac gccttaaggt cggcaagagg cttctgctca aagatgacccctttaacccttcc atcctcgaca agctggaggg attcaatggc gtcttgatggg ttaccgacgt aagaaccctg gattcggatg ctcttgaaga cagtcagaa gacgttgcccccacatcgcc cgttggggag accgacagcg accaaagtac cagagggtt tagtagtcg atagcctgag agtaaccagt	2520 2580 2640 2700 2760 2820 2880
cttgtggaa gcagtcacaa tagcagcgcc tggcccttga ccccaagtgg cagccttgc gtcgcaacg aggctttgg tggcttaaa atcaacccaa gcatcgccgc cgagagactt gaccagcttc tccttggcag ccccaagtgtc gatggcaacg accttggagac ccatggcctt ggcgtactgg acagcaaggt gaccgagacc gcccacccaa cgggaaggg caacccaaatc accgacccctt gtgtggaaa ctttgagacc cttataagat gtgacaccag cacagaggat agaggcagca ccagcagaat caagggaaagg gggatgggg gtaacgttgt tgacgaaaga gacgacgtat tcggcaaagg taccatcaac tgttagccaa gagagctgg catggtcaca	2940 3000 3060 3120 3180 3240 3300
gtctggacgg atgatcagct ttggaaagcga agtccaaata tacagaagat actcactcat ctcgaaaggct cgtcgcaag cctcacaggt gagacaagag ttggcgagcc acttgatacc gactcggtca ccgagcttca cggggaaatt gacagtgtt gaccaatgg caacaatgt accgacacccctt tcattattag tcagcgtactt gcttccataaaaattcgat cggcaaggaa cacttacccctt cgtgaccacc aatcaaagga ttcatggggg gaattggccaa gtcacccctgc ttggcgtgca agtcgggtgt gcagacacccg gtgtgggtga tttgacgag acattggccg gatttcagtt cgttggcctg aatgaccccttgc gcttgggtgt cgtactcgat ggcaccccg	3360 3420 3480 3540 3600 3660 3720

acagagggga cgacggcagc gggtttagtc tttagggatgg aaacgccttg aagagtggtc	3780
atcttgtaa ctgtgtctgg agtttgggtc tatgttaagt ctggagaatc taagagggtga	3840
agtaccggag tgtctttgtc gcggatgttt gtgaaggaaa gggaaaatca tctggatgga	3900
gtgtggcctt atatagtttgc agggtgcgag gaaaagtata aacttggttg catttcgt	3960
cgtatctggat acatagccgg agaatgagcc ggtgagagat gactatgaag ggcgaaatc	4020
atgtgagggtg cctctccggg gtcttatata ccggtgatac agcaatggga ggttaggccgt	4080
agataaacaga tacatactgc ttggctgttg ggaaatgaag ctaatctctg atttgattag	4140
cggcttaatc gcagtagttt cccgctgcgc tccgggttt tggccgggtg ttgcccggtt	4200
tcaccaccat ctgacgtaaa cccaaacctc tccaccgttt ccaaattccc catctgtctc	4260
gtaatcaagt gcatacatgt tcgttttaga atgatcggtg ctgcggca	4308
<210> 33	
<211> 2543	
<212> DNA	
<213> Artificial Sequence	
<220><223> DBR1	
<400> 33	
cacgagcaga cacagatcag gacagcgcag tatgaggatc gctatccagg gctgttccca	60
tggcagtctc gcccagatata acgacgttgt caactactac tcctccaaaa caaagaaccc	120
tatagacctc ttgctcctct gtggcgactt ccaagctctg cgatcaaaac atgattatgc	180
ctctttgcc gtaccagcta aattcaagca gcttgggtca ttccatcagt attactctgg	240
tgaacgtgtc gcacctgtct tgacaatagt gatcgaggc aaccacgagg cgagtaatta	300
tatgtggag ttgtaccacg gtggatggct agctcctagt atatattacc tcggagccgc	360
tggtagtgtt tatgtgaatg gggtaggat tgggtggcg agtgggattt ataaggattt	420
cgactaccga aagggtcact ttgaaaaggt gccttacaat gataaggagc tgagaagtgt	480
ataccatata cgcgagtacg atgtggaaaa gctcatgcat ttaacaccaa gtcctagcac	540
catcttctta tctcacgact gccccaccac aatagcgcat catggtaaca agaacgcatt	600
gctcaaacgc aagcccttct ttggagacga aattgaaaag aacacacttg gttcaccgcc	660
cctcttaaga ctaatgaacc atttccaacc ctcttactgg ttctcagccccc atctacacgt	720
caagtttgca gctctgtacg agcatcaagc ccctaatcat ggtccggatg tcgacgggtgg	780
cgccccctta ccattactgg caacgtcgcc cgtaatagct caggctggtg gtaacccaga	840
tgagattcaa atcgatgaag agatggatgc ggggaacccc gatgagatta ttgttgagga	900
tgagggtgaa gaggttatca ttagaccgag acaggtcaac ccggatgaga ttgcgtggaa	960

tgacgatgag	tttgacgacc	ctgcgcccgc	ggtccctcag	ccattaccag	cgacgaccaa	1020
taggccttc	aatccagaag	aaataatcat	atcggacca	gagttcgatg	caccaaccac	1080
agtctctcaa	ccccctcaac	ctctcccacc	taccaaaacg	aacgcctcca	accctgaaga	1140
aatagccatc	tcggacgacg	aattcgatga	ccctgtcct	ttggcgcaat	ccctcaccac	1200
aattgtatgaa	tcgaccgacc	tcatcgac	atcacgttct	aaccatccc	atccacctgt	1260
tgctggcacc	atagcccctc	ccacttctga	ctctattgca	tcacgtgtaa	tgcaagaagc	1320
gcgacaagag	cagcagaaat	gggaactgca	cggggggaaa	ggatggagg	gtgtgaccaa	1380
gttttggca	ttggacaagt	gtggccctgg	taaagaccat	atgcagttcc	ttgagatccc	1440
agacccttcc	ccaccccaa	tcccagggcc	tccaagatta	acttacgatc	ccgaatggct	1500
agccatatcc	cgtgcttcc	atccataacct	ctcaaccta	tatcagccca	tccccctccc	1560
atccctgtac	atacttgagc	agatggtaa	ggatgaagta	gcaaggatca	aggaggaagg	1620
attgctcggt	cccacccgttc	cacaagatgg	tgcggcag	ggacaagaag	gattagatg	1680
ggaaaaaggc	aaagtggatg	tcggaagagt	gcaaaggttt	tggtgactg	caccacgt	1740
aggacatccg	ggtggaaatg	acactgcgt	gtatacaaac	ccgcagacag	aggcgtttg	1800
tggcatgttg	ggtgttcaga	acaagattaa	tcctcccg	aacagataat	aaaaatctaa	1860
tgatgtatg	aacatgaccc	atgcacgaca	cgcgcgcagt	tcccggttg	accgaaaaag	1920
agataatggag	aagatttatg	tgtattttc	tttgcac	atgtgccata	tatgtattgt	1980
gtcatttctc	ctgtAACGAG	tcggcgac	tggcatgtt	gtccaagctt	atggagagga	2040
caggattcac	catccatgtt	taaacgaaat	gttgtaatt	ggatggagaa	agtgtgaaa	2100
gtatggcac	aggcagcaga	cgcggccagg	ccctaaatcg	actggatcg	ctgcggatac	2160
cgtatccaaa	tcttaattct	tggatcttga	cttatctaa	aatcgaagat	tcagatggag	2220
aaaatatgga	atcttgaac	tcatgtttgc	ttgaaggac	ggcatgggt	tcagactgat	2280
gcaagcagga	agcacgaaag	atgaaaacgc	atcaggatag	acagcagaaa	aggtgggtat	2340
aaccaaatga	tttatttgtt	catcatatgt	aatatcaaag	taataagcg	acaccgaat	2400
aaaaataaca	gattgtccat	acaagtgtt	gaagatctat	cacttgcgag	atttcacaca	2460
agattactaa	gaggatacgg	tcataactga	agggaaaaaa	atcttataat	ctatagttag	2520
gtcaagagat	gtttaggcaa	ggg				2543
<210>	34					
<211>	1621					
<212>	DNA					
<213>	Artificial Sequence					

&lt;220&gt;&lt;223&gt; SIW14

&lt;400&gt; 34

gttcatgtta agtcggagat aggttgcaaa ccacaactgt tcagatatac cgtcaacatc 60

tcccttttc ttaactatac tgcttcctgg atcactcatt catcggtata cactcatacc 120  
 gttctcctga cgacacctgt acccaattt gcgttagccag gggacgccc tgatcccctt 180  
 atagggtggc cgtcaccgag cctgctaaac aaccagacga cggaccgagt atcgacgtgc 240  
 cgggcgaaaa aacggctatt ttccttgaac tatttcatt ttcctacagg attattccct 300  
 ggcaccaaac catgatgtct tcgtcgccaa caatgtcatc gactccctcg caagtaccat 360  
 ccttttagc gaatatcctg ttatcccattt agatccatca tcgacctcgc 420  
 caacaactt cgaacatcat cgttctccca ctacccaaa cccctcccat cctcaagctt 480

tgcagactgc agaacctccc ccaaaccctc tgtacccccc tccctcccgct ttaccgaaag 540  
 ttgaggaaga tctgggtcct ccagagaatt ttgcatttgt cagtagtggg gtgtatcggt 600  
 gtgggtccc gaagaaaaga aatttcaagt ttatggagac tttgaggttg aagaccgtcc 660  
 tgacatttgtt attgaaagaa tatcctaaag caaatctgga atgggtcag tccccaaagaca 720  
 tacagttcat gcaattcggt ataccaggaa acaaagaacc tttcgacaac attcccgaaag 780  
 acgtaatttgc tggcgctctc gttgccatcc ttgaccggcg gaatcatccc atactcatc 840  
 attgcaacaa gggcaaacac cgtaccggct gtttgatagg ctgcattccgg cgattacaag 900

catggtctct cacttctata ttgcacgaat atgcacgatt ctctgcgccc aaaagccggg 960  
 cgggtggatca acagtttac gatctgtcg atatcatgcc tggggaa gctgtatgtc 1020  
 gacctaaagg tgggggattt gggaaatttac cggattgggg aatgttggtc ttgcccggaaag 1080  
 gtgtgggttga agtcggtagg gatggaaagg agaagaagag gggttggagaga gatattttgc 1140  
 atatgcgggg attataatgc tggagcaatc aaatgggttt tagaaatcat aaattttatc 1200  
 catagcgaaa ctgtataatg gtatagat atgttgtact ttgttctacc cccatatatg 1260  
 ctttcagaac tgcagaagca tcctaaactc catccatcta ctccaaatcc ttttcatcaa 1320

attcggttc atagggagtc ctcaaattgtc tcgaaggctc ccaaaccctgc agaatgttgt 1380  
 cctccgaagt gctcgcgatt gtccatggcg agctcggtt ccaagaaata tcgcacactt 1440  
 tgctgggttg accaccatgg acaaacaaaa gctcaggagg tccgtttcg gcatcatcg 1500  
 gagtttgttc agcaccaata gcatcgagat cccatgtg gacgcggcgta tcagcagagg 1560  
 cggatgcaaa gtggacagggc gatgtggagg accagggaaag ttgaaggaca tcgttggtat 1620  
 g 1621

&lt;210&gt; 35

2931

<212> DNA

<213> Artificial Sequence

<220><223> SDP102

<400> 35

gttgtcttgc ttattgttat tattttgtt attgttgaaa tcaaaggatct tcggccaccg 60  
ccgctatctg ctcctataac aacttcgcag cacatgctca ccccaacaatg cagccccagc 120  
aacacaccca caacaaccca tcacccgccc cccgaccaca gcctcttcgt gtctccact 180  
cacccacccat cccacccatca aatcgaggca caagaacttc agagtttagct caaggccaa 240  
aagccccatt ggcagcgcca ttaccgttgc gcattactgc ggccgacgtct ccaaatcgga 300  
aacgaccgac tccgcttgc ctggaaaggc ccagagaaggc tggccggaa gctggccgg 360

aagactggga aatacatcg gaaatatctt ttgcggcttc ttgggtgca agtgccgacc	420
attccttggaa caatgaattt caagatttat ccaagctacg caaaggcagtgcgacaaaacc	480
tcctggctcg accgatttgc tctccattag aactgtccgg ttctgaccag tcggccttca	540
atacaccccg acaacaatca tccttcggct ctcccttat atcaatggat agcataccca	600
ttgaacaagt cttcgatcggtt ggaggggcg gaagtgtgtt gttgggtcgac acccgccgc	660
tggcttcctt tctcaattcc catttaccaa actccatccc actctcggtc cctactctt	720
tatcaaaaacgttccaaaaa tcgcgtctc aatcaagtcc ttccctata tcatggcga	780

ctctttcacc ttttgtctct ctatcaagcg ctgcagaacg gtgggactcg gtagatcaag	840
ataaaagt cga gattgctgtg atttgtcaag gcgaagaggg tagagttgtg aaggagatct	900
tgaagagctt gatcgaaggc agagttaaag tggtaaaagg tggatgggct gcagtaactaa	960
attatgaaag agccagaaga acgctcgaaa ccgggcagac cgctacccgc ccctgcctcg	1020
acgtgacttc gccagaaaacc gacagcaaacc ctcttcccc tgcatacgat tccaatatac	1080
tccctccaaa atcagctccg ccatgtata tacctctacc acctatccct gcatccccat	1140
ccccaaaaaa atctctcaac cacggtcctt cattaccatc acttcgtcca cctttacag	1200

```
ggcctactcg gaatcttct tcactctcgtaaatgccgg tcaagcgagt cagagacgga 1260  
cgccaaaatt gagttgaat tttgacagac cttgaagag tgctacgctt ggtggctacc 1320  
atgatattcc tcccacaccc catgggtttt catgtacgcg aaccaggcca cagaggtctc 1380  
ccggattgtc gttaaacata ccccatactc ctuccagcc gcaacaaggt cagattcaag 1440  
accggatatt agaagactcc agacccaacg gatccggttc aatacaaacc aaggcgcacg 1500  
aacaatcgcttcccgct tcctttcgat cattggcga tgccaaaggat 1560
```



atacgctcac	ataagagaca	gcatggcgaa	gatagtgccca	cccatgaact	ttggcctcg	180
agaagacgga	ttctaccgtt	cgcggccagcc	ttccgagctg	tgcttcttt	ttctcgagaa	240
gctaaatttgc	aaaagcatta	tatgggtggg	agctgaagag	ctttcagaca	tcttcttgc	300
attcatcgaa	tctcaaggga	tcaagttgta	caacctcgcc	cctcaaacga	gtttgaaccc	360
acatttccca	cctccatata	cagattcggg	cgttagtacct	atatctggcc	aataccacct	420
tccaccactt	cctcctccgc	cgaaaccact	gatcattcag	gctctaactc	ttcttattacg	480
cccatccact	ttcccaacct	tattatgttgc	taatatggga	cgccatagga	cagggactgt	540
ggtggatgt	tacagaaagc	tgcaacggtg	ggcgttgagt	agtatattgg	aagagtatag	600
acggtacgca	gggatgaagg	tcagggtctt	gaacgagcaa	ttcattgaac	tgtttgatac	660
agacttagtt	tcaataacag	cggaacaggt	gacaaaatag	taattgtccg	cgacaaaagg	720
ctagaaaaat	tccttcatg	ggaccaggtag	aagaagtcaa	actgccacccg	tgcccaactg	780
tagccccatac	aacgcctaga	gtgtctaccc	gatcaggat	gctggactgc	gtctgcacca	840
tgccggcg	atcattgcgt	tgtggttgat	aaaatcatta	ttccataagaa	atacatacag	900
cacgaaatcc	aatatctgtat	gtaccatata	tgcaactaga	atgcgacaac	cttggcttt	960
ggcttcgcga	cgacctcggt	cctcttc	gccgtcagcg	gcacactagg	cgcttgc	1016
<210>	37					
<211>	2392					
<212>	DNA					
<213>	Artificial Sequence					
<220><223>	GDA1					
<400>	37					
tttggccctc	tttgtgaccgt	ctcgccattc	acgctgcccc	tcccacccct	atcaaagatc	60
cgccactatc	ccttactccc	cattgttaac	tttgcattct	cttcactttt	ttttcaatc	120
tctctcttt	ttttccctt	tcccaaataat	ataacagggt	catgcctgca	cacttattcg	180
ctcgttctac	cgataactact	ttcccttcct	ccatagagac	atccacatca	ggctctctgt	240
cctttccct	tttgcgtct	ctgagacaca	gaccgtcagg	taggatcccg	aaaacccaa	300
tttccacaaa	atcccccaact	tccgcttcta	cttccacgac	cgccgcccatt	ttctccacgc	360
gcaagtactc	tcccttaccc	acgagtgcga	atggtcccgc	aaggaaacgc	actggtgccg	420
gtttgacagc	atggaagcga	tgggcttac	tcggccat	ctctgtggcc	gttatcttct	480
tgggttttag	ccgcgtttagt	ggcgatctg	aacaacaaca	gatctacaat	gaagaaaaca	540
cgtatacacc	ctcgctggac	gaggatgttgc	tgggagacgg	tatccgatt	gactatagct	600

ctcctccctt ccgtcctgaa gactctgatg tggcccagcc gttggaccat gaagatggag	660
atgacgatgg tgtgattcat acgcttcca ctggcgacgc ttcaaccct catgatccta	720
cttctaccga agcccaggat gcttctgaag ccgagcaaga ctttaccaac gagtctgagt	780
ctgaatctcc gtccgaggct gaatcttctt tccccgatc attcgagcaa gaccggacc	840
ccgcttcgac aacggcctgt accgagcccg tatctctga caagcctgtc gtgcagtacg	900
cgcttaccat cgacgctggt tccacgggtt ccaggatcca cgtctacaaa ttcaacaact	960
cggtccgtc cccccagctg gagtatgaga cgttcaaagc tgtcaagccg ggactttcag	1020
catacgctcg tgacccgact cgccgcgtg cttcttta cccttgctt gaggaggcat	1080
acagggctgt tcccgagagt ttgcgaaagt gtacgctgt ggaggtgaag gctactgccc	1140
ggtttaggtt gctcgccag caggagagtg aggctatcct tcatgtaaaggc aggaacaggc	1200
tccgagaccaa ctgggacttt acggtcagtg gcgagaggc tgctgagatt atggacggca	1260
aggatgtaaagg tgtctatgcg tggatcactg ccaactattt gctcaacaag attggtaag	1320
cgccgaatc tgacgacacg ctggcggtca tggacctcg tggcgcttcc acgcaaatcg	1380
tctttgagcc gaaattcccg gggagctg accaggcgct ggtggagggc gagcacaagt	1440
acgagctcac ctggcggtc aaggactta cgcttacca geactttac ctggctatg	1500
gtctcatgct cggcaggcga agcgtgcaca accttgtcgc attcacatgg agcttggcc	1560
agggttaggtt cgagtggag aacttgagcg aggtatgtaca ggtgccaaac cttgtttgt	1620
caaagggtat gacccggaga gtcgcgttg atccgcctgg aaggcagact gtcaatgtta	1680
ccatgcacgg tggaaatgtt aactttgagg cttgtacacag ggtcgctgag ttggatcg	1740
ccaaggacgc tatctgtgaa gtcaagcctt gctttcaa cgggtttac cagcccttc	1800
ttctcgatac gttccccgt gccaactgc tcgcgtttc ctactttacc gaccgcatca	1860
agcctttct cccatcctcc tttcctcca cgcttccat ctctgagctt acctctatgg	1920
ccaaggacgt ctgcgcggc ccggacgcgt gggctgaccc atggggcagc gacgcacgg	1980
cgtggagga gcttgccgtt aggcccgagt actgcgtcgat cttgacgtt atgaacgcgt	2040
tgctcgggtt cggatacgg ctttctccgg agagggagtt gatgggtggag aagaagtgt	2100
gggggtgtgaa gcttgggtgg gcgttgggtg ccgggttggc gttgggtggag aaggcagaat	2160
tgacttgtac tgcgtacgt agcgtacgt aaaactaaaa aaaaaggag tatggttata	2220
tagaggggtt ttagatgtgaa tgaaaggaaa aaaggtcaat gggccacag tctttgtaa	2280
aaatcacatt agtttagat ctatacaaag atcatatcaa tcattgcaat tctttgtac	2340
tgtttggat agatataca tggatgcacc tggatgtaa caagatggaa	2392

<211> 2125  
<212> DNA  
<213> Artificial Sequence  
<220><223> FBP26  
<400> 38

cgttcacatc catccaatcc gttttctca atttactgaa aacaatgtcc ataccaccac	60
caccaccgtc caataagtcc cccgcatcag cagttcccc ctccaagccc cgctcccaa	120
agctcaaacc cctcactccg acatccgaaa aacccgcgc cactaataat gacgacgatc	180
aagtctacca gcccgtcgag ccacatgtcc tggccgaagc agtctaaaa ctcgacatga	240
tccgatcagc acctgcaccc atgtctactg tgacttctcc cgcggctagt gcagctccca	300
gtggctctag ctgcacaaga ctctctggtg cgggcagggg ggccatca acaggccat	360
gggctatgga ccgcacagcg agtggagatg gtggcacag tgcgccttgtt acacctact	420
tcggggcctc aaccgcttg ctgaagacgc tggatgagac cacgaaggtt atcaggcaaa	480
gctccagggc tccgtcggt ggcgcattccg tgtctggtat cggtaactgtc gttgaaaagc	540
ctgactattc cgaaggccaag atcgctcg cgatggttgg tctccggcc cgaggaaat	600
cattatctcag taacagactt atgcgatacc ttgcgtggct cgaataacaac gttcaagtat	660
tcaacgtcgg acaactccgt cgctccaaag cccgctccgc tctccaggcc gggcaggaa	720
aggtcgacca ttcccgaca tacttctcgc attcagatgc ggaagctacc aagaaacgag	780
aagaactcgc agaagagtct ctcgaatcac ttatttcttg gctgaagaag gaaggaaatg	840
tggaaattat ggatgcgacc aatagtacaa tcgatcgaag ggagaagatc aagtcgacaa	900
tcgacaagga gccggggctt caagtcctat atcttgaatc tttctgcgtat gacccctgt	960
taattgcaac caacattgca ctcaagggtcc gatctggcga tcctgactac caagggatgt	1020
ctaaagaaga cgcagagcgg gattttagga agagaatcgc tcagatgag agtgtatatc	1080
agacgatcaa cgagccaaat attcccttct gcaggatatt aaatgtcga cagagatca	1140
cgataaataa gattgagggc tatcttcaaa gtcgaattgc attctatttgc atgaacctgc	1200
atctcaaacc aagaagtatc tatttgtcaa gacatggaga aagtatgtat aatgtcgagg	1260
ggaagatgg aggtgattcg gatctctcac caagaggatg ggagtatgcc cgccacttc	1320
ccgctttat caaagacaac attggcgagg ggcctttga ggtctggacc tcaacccttc	1380
aacgtaccca acaaacagca tcataccccc ctttcgagaa gaaaacgtgg aagtcgctcg	1440
acgaactgga cggcggtgtat tgtgtatggca tgacgtacaa ggagatcgag caaaagtatc	1500
cagaggatta tgagagtcga gacgacgaca agttcaatata cagatatcgt ggtggagatg	1560

cataccgtga tgcgtggc cgttttgaac ccgtcatcat ggaacttgag aggcaaaaca	1620
atattttat tattgcccatt caggccatcc ttcgatgtct atatgcctat ttccaggcca	1680
gaccggcaga agaactccca tacatcaaca tccccctgca cacacttataaaaatcacgc	1740
ctcaagctta tggtgtcaa gaagaacgtt accctctccc tatcgctgca gttagacaccc	1800

atcgaccccg tccatccaag gggagaaaca ctgcgggtt ttcatgtggcc gaagaaggct	1860
tccagcctgt caagcgagat tattatggag acagccaaca aggtgtcggtt ttggcttga	1920
agcccgaggc gatttcacag gctttggaga acgagatgga acaagggaaat ttgacaccaa	1980
gggcgtcggtt agctgcgcaa ttgcacatcag agtcatgttattttggat gttgtaaagcg	2040
tagaattttaga tggatcgaga agcccgaaaaa tgaaatgcaaa ggcatgtatgtt aatgaagtct	2100
tcctccgatgtatgtctgg tcgctg	2125

&lt;210&gt; 39

&lt;211&gt; 2418

&lt;212&gt; DNA

&lt;213&gt; Artificial Sequence

&lt;220&gt;&lt;223&gt; PSR1

&lt;400&gt; 39

ttgctacacc aggaaggaag gaagaacgca caggaaagaa gaaagaacga acgagagaaaa	60
gaaagaggca gtatagaaaa tgcccacaac gcgcacagag ccccccactg tggcaccagc	120
catcagtccc caaaacacaa acaccgcgg acccgacac acaacatcca tcgaccacaa	180
cacgtcaacc accgcacactc acgaacccgtc ctccggcttca caaccttcca tcctgcctcc	240
tgttagccact ccagcgacac agaatcttagt ttctactaca gaaatgacca aggacggagg	300
tgcagctgca gcccagcctt ccacggctca gacaactctg cctgaaccccg gtacaacgtc	360

tacatccatc aagcttacag aaggagagca aagcaaaaggatcccccctgg gaaacttgca	420
ccgttagatta tcaaacaagt ccccatcgac taccgtttcc tctgcaccccc aaacaacggc	480
tgaaaaagca gacccaaaac cggcttcatc acacactcag cctaccaccc tctacgtcaaa	540
aacaacggtt aacacgcctg catcccgag tgcataatggca gccacaaaagt ctaagacagc	600
tcctacatcg aatacaactg cgcccaaggc cgggcaaaag aagaaaaggg agcggaaagg	660
tttggcgggc atttactcg cgctcgatgtttatctgtt gatgagtttggaggagcc	720
aagcaaaacctt agcagcacga ctgcgagtgtt agggcggtt aaaactgccc ggcgtggcgc	780

tacaacgggg gtgagcacaa aagccgatga gagcgccaaa ccagggtcag gtgtatgttgg	840
catgacctca ggtgccttga aggcaccgaa cggtagcgtc gcacctgctc cgtcaggccc	900

atcagcagtc	aaaactcaag	acaccactgt	aggagctgaa	caaagggtgg	atgcaaccgg	960
cccaaccgg	tctacggttg	ttgctgaagg	atcgaaatgaa	gccgataaaag	gtatcgccc	1020
cgtatgaacaa	gtcgctgtgc	ctccgaccga	acctcataacc	cttccagatg	atgagaccgc	1080
tggtgttaacg	tcttcgtcg	tccagccccc	tggaggaggc	tctgtccccc	ttggcacccc	1140
gtctaaacac	gtctctcacc	gcaatctga	aaccaaccc	ggtacatcca	gtatgagcg	1200
tacagagaca	agcggggat	actcgacat	tagcaattct	gaaatggttg	acgaaagcac	1260
aggacaagga	ggagatgaac	tcggagaaga	ttatctttag	tatgtgacg	aagaagatcg	1320
attaattgaa	caaggtggaa	ttggaattcc	cgtggacgag	aatggcaatc	cggcaccatt	1380
attaccccc	atagctgcca	agcaccgtgg	acgaaaagtgt	ctcggtctcg	atctcgatga	1440
aacctgtta	cacagtagct	tcaagggcga	aaatcagcaa	ttgcccacag	cggttacat	1500
tgtaccggta	gagattgaat	ctcaagtgc	caacgttat	gtcatcaagc	gaccgggtgt	1560
cgaccacttt	ttgacagaaa	tgccaaagat	atatgagatt	gtcggttca	ctgcttagtt	1620
gtccaaagtac	gctgatcccg	tccttgacat	gcttgacgag	aaccgtgtcg	tagccatcg	1680
tctgtccgt	gaaagctgct	acaaccacaa	aggaaactat	gtcaaagatt	tatccagct	1740
cggtcgtgac	atccaacact	ccatcatcat	tgacaattca	ccgcctctt	acatcttcca	1800
ccctaataac	gccgtccctg	tgtccacttg	gttcagcgat	ccccacgata	gtgaattgac	1860
cgtatttgc	cccttccttg	cagacctcgc	cactgtcgac	gacgttcgtg	gtgtccttga	1920
tggacgaatc	tagacgttct	agaaagcatc	tcaacttata	tccgcgagga	ccatcgatac	1980
ccatcttccc	ttcttttttgc	ggatcaggc	aggaaaacat	tagagtgtat	aaggactcat	2040
acggtaaact	tggttgccc	acctagaaaa	tcataacatc	aataacccta	tacccagagg	2100
ccttcggga	gcttggtcac	atattcagtt	atttctcta	atctcatttgc	gttcatgtta	2160
cgtatctcaag	gcgtatgatc	tattatgtcg	atccctcatg	gtctgttttgc	taatcttttgc	2220
tatTTTcgtg	ggtgtataaca	accttaggtac	ccgcgttat	atctatcata	ctccctcatg	2280
actgacttct	tttttatctt	tgcttttagtt	tcaaaatgtt	gagttattct	ggaatcgctt	2340
gtagatacgt	acaaaaaaaaat	aattgggaca	aagattgc	tgattgggct	cgtcgcatgc	2400
atcgctgtca	tacagtagtac					2418

<210> 40  
<211> 2684  
<212> DNA  
<213> Artificial Sequence  
<220><223> CDC1

&lt;400&gt; 40

gcgtcttggcgtt ccctggctga gggccggact tggaactagc ttcttttct tatccatttg	60
ctgcttgate catctgttgc cactagtac aatgctcgga tcaccgcggg cacactcacc	120
cgcgcctccc ctggccgcca gaggaaggaa gacaggcctc aagtacacggg ccacccagat	180
acttgcactc agattcggtt gggtcggtt cgttatatgg tacgagggtcg gagaattttt	240
ccactcttc tccacatgcc gttccccga ctctgcttg cggcaggccc atccccaaagc	300
ccgcctccc acccatgtcg tcctcatcgc cgatccgcat gttcccatg cacgactgtc	360
gtacccctcc gggaaacccct ggctgaactg ggccaaagcag cagatggatg agctttcat	420
gcgcaaaagc tggaaatgtgg ttatgcgtt agggaggta gaccagggtc ttgttctcg	480
agatatgttg gactcggaa ggggggtcat gtccgatgaa gagtagtgg agtacatcgc	540
tctattccga tcaatattcc agtttcctcc cacaacgcct atgcacttgc taccaggtaa	600
ccacgacatt tctctcgcc ccaatggcag attctctct caagctcggt tacgctacca	660
gcaacatttc aaaacgccc acaccgtct tcccatatca aaccacttgt tcattttgt	720
tgtatggcgtt ggtttggatgg aagaagacta tcggcggat gtttcagaga tgcatgttgg	780
ggaatgggat ggtgtcaaag gcgggtgtat tgagttgtc aaagacctga gggacaatcc	840
tccacctgga cccaaaatct tgcttccca tattccactg gcgagacctg aaggcgccgc	900
ttgtggaccg ctgagagaaa aaggacggat atcaaaaggt gctggcctg gataccaaaa	960
tttgcttggg agtgagactt ccaaattttt gtggatgcc attcagccga acattgtgtt	1020
tagtgggac gaccacgatt actgtgatata tgtccacaaa gggaaatatcc gagaagtgac	1080
agttaaatcc ttctcctcgat ccacggcat cggccgtccg ggactccaac tgctctcg	1140
agttccctcca ccgacagaat ccaccgttag acttctccca acccacgccc accgacccgtt	1200
cttccttccc gatcagctgg gtgtctatttgcgtgttat ctcctctcg ccatttttac	1260
agcacgtac cttttatca caaaccttcg ttccggatgtt accgtttttc	1320
acacggccgtt tcggagaaaa tgccgtcaag ccccggttgc ctctccggg agaccatgtc	1380
gccccactca ttctcgatcc ggcggaaatgg acctgtccca ctttagtatttcc cctctcgaa	1440
atcatcttca catctcccccc ttctgttcc ctcagccatt cccttttcca ccctgcctcg	1500
ccctgtacga tacaactcca ctcctgcaga gtacccgcca gttccagga gcccggcagag	1560
caaccctgtt tcccatatgg gaagtccgaa attgtccgat gttgagcgat ttggggagcg	1620
cgtatgttggaa cgcgtatggg aagcagcgatc tgctgttgc acaggttttta acacaccctt	1680
cacccgttgcgtt cggcgatcat cctacatata catggatcgc ggctttccat ctgcgttc	1740
tgactctgtcgcc cggatgttgcgtt cttccggcacttcactactgg ggggtgggtt caaatacggg	1800

agtca	ccctcatcg	cgggtttat	tcggagagg	tctagcgc	acctgtcgac	1860									
gttga	tact acgaatgtcg	ccc	ctccgag	ctt	gagatc	ac	ctccccg	gtacaccccg	1920						
gcgtgtcacc	ctccccagcc	ctctc	ttct	ccgcattcc	cctgctc	acg	cgcaagccca	1980							
ccccctctcc	caa	acc	ctt	cac	acg	ccac	gcaccccat	ccagctgtga	tttacactt	2040					
ccccacccca	tcaagg	gtcat	ggttctgg	tt	tgagagg	ggc	aag	tgttt	taagatgg	gc	2100				
atggaaagca	agg	aaagg	ggag	ccgtgg	caa	gag	ttgg	aga	gat	ca	gtgttgc	2160			
gttggggct	atcg	cttggc	taggtgt	gaa	tgcgtt	gtt	ttc	ttg	agt	aaa	acact	ct	2220		
cgagtagaac	gcc	gtgg	gtgc	ttgggt	gtct	gggt	gtt	atgc	ttgg	tct	ttgt	ttt	2280		
attgtttttt	tt	tttc	cgag	ggc	gtgt	gaa	aag	atgt	tcgc	ctgc	gttgc	gcagg	gtta	2340	
tccaaaaaaa	aatt	gtctac	tgt	cttcc	tgt	tttcc	ctc	ttagatt	tgc	atct	tcc	ttt	2400		
ggtgtccgga	agaca	cattt	tct	acttt	cat	cataaaa	agagac	cccg	ttt	ctt	ctaaa	ttt	2460		
ggagatgagg	gtcg	gttggc	cgtgg	cctca	tagc	cctata	aca	atatgg	at	tttgg	gacgt	2520			
gtagcgtaca	tacata	actgc	tgtt	tttacat	gac	ctgtt	tt	ccgcac	at	gtat	ctgtt	2580			
attcatgtac	ggca	aatatac	tagt	tctcc	atc	gccc	ttt	cac	gaac	gac	cacgt	gaagc	2640		
tcttcaaatg	ggact	gactt	tgc	gccac	gc	agt	gac	gaag	cccc	cccc	cccc	cccc	2684		
<210>	41														
<211>	1635														
<212>	DNA														
<213>	Artificial Sequence														
<220><223>	INP5202														
<400>	41														
ataaaaatgg	tga	cttct	cata	tttgc	cag	cc	aag	gtt	cac	gc	gat	gtt	60		
ttatgtacg	tac	ccc	ccg	cctcg	tacc	agac	gagac	g	atgtt	tatt	tta	taact	ttt	120	
caacataatt	gactt	tatca	ttact	ttcag	aca	atc	cct	tca	agg	ccac	cc	tacc	gtc	180	
ccaagttaa	cccc	aaatg	atg	gtc	cct	tca	gt	act	ac	ctgg	tt	ac	ccgg	tt	240
tacaggatc	caa	agccaa	tcc	caagacc	tc	acg	agct	gt	ttt	ctg	cc	ttt	tcg	ca	300
atgc	ttaa	tcc	taact	gt	cct	caagg	gt	tat	cc	at	ttt	ac	gt	at	360
aagagctttt	acc	cct	ccat	ctt	gct	atgg	ct	gg	ttt	gc	tt	at	cc	gt	420
tgactagtcg	catt	gaaaat	ctt	tat	ccg	ccc	ac	gccc	ag	ttt	atat	cg	cca	ataaga	480
cac	gg	gag	ag	at	ttc	tt	tt	cc	at	at	at	cg	ttt	ggat	540
tttcccggga	tagt	accat	gt	gga	aggc	tag	aaa	acc	gtc	gacc	gc	act	ctg	ggat	600

tatattgggg aggcatggga aataaagggg ccgtgggtgt cagactccct gtgagaagag	660
gcaagatgg tggatggag aatctgacct tcgtcaatgc ccatctcgaa gcgcattgacc	720
acaatatcc tcgacgcaat gcacagtatc agaggattct gagctctctc gtcttcaatt	780
cgacggatcc tcttacaact tcacagcaga ttttgacac ttctcatttt ttctttaatgg	840
gtgatctcaa ctataggctt tccaaggcgc cacccagg agctctacaa gagaacaaaa	900
tgttcggaga tgtgctggaa ttggaaaagt ctgcgttggat actgatactt	960

tgagacaaga acagagagaa gggagggtt tcggaggcatt aaggaaaggc gatttgacta	1020
gattcgcgcc cacgtacaaa aggatagttt gacaatttttga aggatacagc aagaaacgca	1080
tccctggctg gactgaccgt attctttttt ctttcatac cgatccctcg catcttttt	1140
ctcccgaggc gtcttggac ccggccccct ctaacgtacg cgatacaacc agtatctcc	1200
atttcaactc cacaatcgag cttgtcattt ctgatcacaa gccagttccat gcgatctttt	1260
ctttaccgga agttccac gaagcgccct ctcctcacct tgacccaacg cttccccctg	1320
ctcccttacc tcatcagcca agaccttttccactcagcg cgaggccctt ttgattgaga	1380

agttttggg gacttgctc gatagacttgc tcgggtggcc atgggcatt atcggtctgc	1440
ttgggtttgg caacacacgt aggggcatttttgg gtgtgagcgc ctttggcg atgatttggg	1500
gcacatctggtg gagcgggta tactctggat gattctgtaa attgataaag gcttctgtct	1560
ataggataact tggatgtatgg attttcgtc gttttatac atatataatg tactcatcgt	1620
aataacgaag tgagg	1635

&lt;210&gt; 42

&lt;211&gt; 3400

&lt;212&gt; DNA

&lt;213&gt; Artificial Sequence

&lt;220&gt;&lt;223&gt; YND1

&lt;400&gt; 42

gttactttgc tataccattt aatactccac ctcccccagt ttccgaacaa caagtctggaa	60
--	----

cgagggtgga cgacacggga agatacgagg aaagaagagg tccttcattt caaggcagaa	120
aacgagaccc gcatatcgtc ataactgccc ccacccacg cacatctccg ctccgcagca	180
aaagaaaaacg tacaacatct tggctaacaa aaaagtgcac tacggggcga ctccagaacg	240
ataagataact ggcacttag ctccatatac catcttattt agatggcg agtgcataca	300
taggagccag ggcacaagca cgtggcacc atccgttaca ccactcacca ctcactatgc	360
ccttagtattt gacgcccgtt catcggttgc gcgattacag atatatttctt ggcgagatcc	420

agatttgaa agagcagaaa ttctccagga tgtgcagaac attgagagac aaggttcgag	480
ttcgagctcc aaggaaggcg ctgggtggtg gtggagtggaa gaagatggat ggaaggcaaa	540
aggaaaaggaa aaagcgaagg agatggagga gatggcttg agaagggtgg tgagagtgg	600
caaaggggtg gaaggggatg actgggtgaa aagagttgag cctggatat ccactgtcga	660
ccccgagaat atcccagagt acctcgcccc gctgctcaca catgctctcc aacacatccc	720
accctcggtc cactcctcca cacccatcta ctcctcgcc acagcgggca tgcgtctt	780
gccttctcag cagcgcgatg ccatttaca agctacgtgc gatacattac gaaacgacta	840
cccgtttctc gtctctggc cgacagagga agggccttgt ggtgaaaatg taagggtgat	900
tgatggagag gaggaaggta tctggggttg ggtcgctgtg aactatctca tggacggttt	960
cggcatgcc ccttcgcctt catctatatac caattctgga acatcatcat cgtcttagtac	1020
caacctgctc ccttcgcgcc cgtagcttc tgccctcca gactcttcct ccttcctcat	1080
caccccggtc gacattgccc accactcacc cacattcggt ttccctgaca tggcggcgc	1140
ttccacccaa ctatcttc cccctctgc ttccgaactt ctcacccctg gttcccgct	1200
cgacaaactc cggacagttt gtctcagatt actttcgggc gaacaagtcg attggccggt	1260
cttttagcg agctggcttg ggttcgggac gaaccgcgtt cggaaacggtt atatgacttc	1320
tcttatcaa caatgggcct ctgcccattcc ttcccttct gcacaagacc tagcgacacc	1380
cattccggac ctttgtctcc ccaaagaccc ctccatcttcc ccacccttctt cttctcaacc	1440
cccttaatc ggaaccggctt cattcccgat atgcctcacc tcctccacc ctctccatcg	1500
acattccacc ctttgcggcc cttccactg ctttcggtt ggccaaaccga cgcctcacat	1560
tgatggaa cggcacgatc agagagggtt tataggata agcgagttt ggtatacgat	1620
gcagcatgtt ttggggtag gagggtatg ggattgggg gaatggaaa aggaaatgaa	1680
ggagttttgtt gggaaaggattt gggaaagtgtatg taaaagtggaa gtggagaatg gggattggaa	1740
ggatgttaat atggacccga caagattaga aatgcaatgt ttcaaaaggcg cctggatctc	1800
caacgttta caacaaaggga tggatcccgactatgc gatgtggcg ggaatgatac	1860
actcacaggc gggtcgttgg gcgatacgaa cgctgaagctt gaacgcccggg ctcgtaaaa	1920
gggtctgttc gaaaagaaaag ggcaaggaca agggaaacat catttccaaa gtatggacca	1980
agttggggaa acagccatctt cttggacact cggaaaggcgtt gtgattgaag catcgaaagc	2040
cgtccaaacctt cgtatcgaaatggaaaggatgtt gttggatgtt cgtatctca acctcggtt	2100
catcgactt cggatccatcgatcc taccgatacc aaaacaccta gaggaaagc ttgaatgtt	2160

aggattgagc gtggtatgga ttatgcgtt agtgggttc ttttggtgg gnatgcttt	2220
ctctcggtt aatcgctcgca gggaggtgg ttcgttggtt tctggatgg ggagaaggag	2280
aaaaccaagt ttgcctcac ccccttacc tgcccaccc tggttcaactt tcccttctt	2340
cgttccggc cccggcccg atccgagtt atcgatcgaa gacggccag acgctcccc	2400
cacatcatcc acgtcatcca ccccttctc tggcaatggc accgctggg gtgctagtgg	2460
taaatcgctt atcgccccg gccgactccg actttggtcc ctccgtatct ccaacacaat	2520
caacaaatat attcctgcct cacttcctt atctttggc agccgaaact cgagacagcg	2580

gggaggcgca catgagctgt ggacatcgat agggataggg ttaccgagaa cgcgacataa	2640
ttcgatgcc atgatcgca tgggaccgaa tactccccca cgtgtggtc ttctctcccc	2700
gggtgggtac ggtggttact cacagcccg ttcacctcg atcatctcg caccatttt	2760
catcccccc gctgtccag gaatcggtgg cctcaacacg ggtgtggta gtcttacacc	2820
agaaacagtt ctgacaggca tatcaagcgc cacatctgtc tcaccttctc cgagcctcgc	2880
atctacttct tcgcccctc cgcctaggag cagttgaaa cctggcaagt ctggcgacc	2940
gttcaaaccg aggagaatt caaataatct gcatccacac catggatcgc atgggttca	3000

ttccgttggg gaaggtatag gtgcaggagg gggagggtgg aatgatccgc ctggccat	3060
gtttagtagc cccgggttcgg gcacaggtcc aagcgggagc ggagcggcag atgatgggtgg	3120
cgtgttgcg ccgacggcga atggaggctt gagtaatggt gcattgtcga ggaattctag	3180
tagggcgaat ctgagtgaat tgggttggc acagcggtcg atgagtagaa ccggacacc	3240
tggttttagt taacctctt agatgcgcga tataataagg acattcaggg ttgtttgtt	3300
gttgaaaaat attcatctag ccccacaagt atatacatat gcacgcctgt tatattttc	3360
cttatcgaag gcactccta catgtacgtt atatacagga	3400

<210> 43  
<211> 20  
<212> DNA  
<213> Artificial Sequence

<220><223> VPS29 L1 primer

<400> 43

tgttttttgg aaagggttg	20
----------------------	----

<210> 44  
<211> 38  
<212> DNA  
<213> Artificial Sequence

<220><223> VPS29 L2 primer

<400> 44

tcactggccg tcgtttaca atgacgagaa ccaggacc 38

<210> 45

<211> 40

<212> DNA

<213> Artificial Sequence

<220><223> VPS29 R1 primer

<400> 45

catggtcata gctgttcct gactcagtct caatcaacgc 40

<210> 46

<211> 20

<212> DNA

<213> Artificial Sequence

<220><223> VPS29 R2 primer

<400> 46

gttgttctt cttcccgac 20

<210> 47

<211> 20

<212> DNA

<213> Artificial Sequence

<220><223> VPS29 S0 primer

<400> 47

aatcaggcgt gggttcagac 20

<210> 48

<211> 19

<212> DNA

<213> Artificial Sequence

<220><223> VPS29 P0 primer

<400> 48

ataggtctcc ttgtcgtag 19

<210> 49

<211> 21

<212>	DNA	
<213>	Artificial Sequence	
<220><223>	VPS29 STM primer	
<400>	49	
acacacctacat caaacccctcc c		21
<210>	50	
<211>	24	
<212>	DNA	
<213>	Artificial Sequence	
<220><223>	VPS29 STM common primer	
<400>	50	
gcatgccctg cccctaagaa ttcg		24
<210>	51	
<211>	19	
<212>	DNA	
<213>	Artificial Sequence	
<220><223>	YMR1 L1 Primer	
<400>	51	
tactatgtgg gcgagaagg		19
<210>	52	
<211>	38	
<212>	DNA	
<213>	Artificial Sequence	
<220><223>	YMR1 L2 Primer	
<400>	52	
tcactggccg tcgtttact gctactcgta atgcgtcc		38
<210>	53	
<211>	39	
<212>	DNA	
<213>	Artificial Sequence	
<220><223>	YMR1 R1 Primer	
<400>	53	
catggtcata gctgtttcct gagcaacaaa aggcttggg		39

<210>	54	
<211>	21	
<212>	DNA	
<213>	Artificial Sequence	
<220><223>	YMR1 R2 Primer	
<400>	54	
gcttggtttc ctgaagtttg g		21
<210>	55	
<211>	21	
<212>	DNA	
<213>	Artificial Sequence	
<220><223>	YMR1 S0 Primer	
<400>	55	
ccagacaaaa ggctcttagt g		21
<210>	56	
<211>	19	
<212>	DNA	
<213>	Artificial Sequence	
<220><223>	YMR1 P01 Primer	
<400>	56	
agacttccac tttaccgc		19
<210>	57	
<211>	21	
<212>	DNA	
<213>	Artificial Sequence	
<220><223>	YMR1 P02 Primer	
<400>	57	
gtcgagaaaa aagagtagtc c		21
<210>	58	
<211>	20	
<212>	DNA	
<213>	Artificial Sequence	
<220><223>	YMR1 STM Primer	
<400>	58	

tgctagaggg cgggagagtt	20
<210> 59	
<211> 24	
<212> DNA	
<213> Artificial Sequence	
<220><223> YMR1 STM common Primer	
<400> 59	
gcatgccctg cccctaagaa ttcg	24
<210> 60	
<211> 22	
<212> DNA	
<213> Artificial Sequence	
<220><223> SSU72 L1 Primer	
<400> 60	
gactatgatg aaaagacggt cc	22
<210> 61	
<211> 39	
<212> DNA	
<213> Artificial Sequence	
<220><223> SSU72 L2 Primer	
<400>	
> 61	
tcactggccg tcgtttact gggaggcaat gaggatgac	39
<210> 62	
<211> 41	
<212> DNA	
<213> Artificial Sequence	
<220><223> SSU72 R1 Primer	
<400> 62	
catggtcata gctgtttcct gtatcctcaa cgctcacggt g	41
<210> 63	
<211> 18	
<212> DNA	
<213> Artificial Sequence	

<220><223>	SSU72 R2 Primer	
<400>	63	
aaccttggtc tccttgcg		18
<210>	64	
<211>	19	
<212>	DNA	
<213>	Artificial Sequence	
<220><223>	SSU72 S0 Primer	
<400>	64	
atctccgttc aggactgtc		19
<210>	65	
<211>	19	
<212>	DNA	
<213>	Artificial Sequence	
<220><223>	SSU72 P0 Primer	
<400>	65	
actgggagga tagttggc		19
<210>	66	
<211>	24	
<212>	DNA	
<213>	Artificial Sequence	
<220><223>	SSU72 STM Primer	
<400>	66	
ctccccacat aaagagagct aaac		24
<210>	67	
<211>	24	
<212>	DNA	
<213>	Artificial Sequence	
<220><223>	SSU72 STM common Primer	
<400>	67	
gcatgccctg cccctaagaa ttcg		24
<210>	68	
<211>	19	

<212>	DNA	
<213>	Artificial Sequence	
<220><223>	NEM1 L1 Primer	
<400>	68	
atctatgccatgaaagcg		19
<210>	69	
<211>	38	
<212>	DNA	
<213>	Artificial Sequence	
<220><223>	NEM1 L2 Primer	
<400>		
>	69	
tcactggccatcgtttactatgcgactcagggtgttc		38
<210>	70	
<211>	40	
<212>	DNA	
<213>	Artificial Sequence	
<220><223>	NEM1 R1 Primer	
<400>	70	
catggcata gctgtttctgtgtgaatgatgtgcggagg		40
<210>	71	
<211>	20	
<212>	DNA	
<213>	Artificial Sequence	
<220><223>	NEM1 R2 Primer	
<400>	71	
agaggaggat ttggctttc		20
<210>	72	
<211>	18	
<212>	DNA	
<213>	Artificial Sequence	
<220><223>	NEM1 S0 Primer	
<400>	72	
tcacgagcattttgtcc		18

<210>	73	
<211>	19	
<212>	DNA	
<213>	Artificial Sequence	
<220><223>	NEM1 P0 Primer	
<400>	73	
acgctgatgg aggagattg		19
<210>	74	
<211>	20	
<212>	DNA	
<213>	Artificial Sequence	
<220><223>	NEM1 STM Primer	
<400>	74	
caccaactcc ccatctccat		20
<210>	75	
<211>	24	
<212>	DNA	
<213>	Artificial Sequence	
<220><223>	NEM1 STM common Primer	
<400>	75	
gcatgccctg cccctaagaa ttcg		24
<210>	76	
<211>	18	
<212>	DNA	
<213>	Artificial Sequence	
<220><223>	YVH1 L1 Primer	
<400>	76	
tgctcatcca ttctcagg		18
<210>	77	
<211>	38	
<212>	DNA	
<213>	Artificial Sequence	
<220><223>	YVH1 L2 Primer	
<400>		

&gt; 77

tcactggccg tcgtttact atggctgtgc gacttgag 38

&lt;210&gt; 78

&lt;211&gt; 40

&lt;212&gt; DNA

&lt;213&gt; Artificial Sequence

&lt;220&gt;&lt;223&gt; YVH1 R1 Primer

&lt;400&gt; 78

catggtcata gctgttcct gcacaaaaac tgacgctgag 40

&lt;210&gt; 79

&lt;211&gt; 19

&lt;212&gt; DNA

&lt;213&gt; Artificial Sequence

&lt;220&gt;&lt;223&gt; YVH1 R2 Primer

&lt;400&gt; 79

ctccagattt tgtggcaag 19

&lt;210&gt; 80

&lt;211&gt; 19

&lt;212&gt; DNA

&lt;213&gt; Artificial Sequence

&lt;220&gt;&lt;223&gt; YVH1 S0 Primer

&lt;400&gt; 80

tcttgccga ctccactc 19

&lt;210&gt; 81

&lt;211&gt; 18

&lt;212&gt; DNA

&lt;213&gt; Artificial Sequence

&lt;220&gt;&lt;223&gt; YVH1 P0 Primer

&lt;400&gt; 81

gacctttca gcgattcg 18

&lt;210&gt; 82

&lt;211&gt; 20

&lt;212&gt; DNA

&lt;213&gt; Artificial Sequence

<220><223>	YVH1 STM Primer	
<400>	82	
tgctagaggg cgggagagt t		20
<210>	83	
<211>	24	
<212>	DNA	
<213>	Artificial Sequence	
<220><223>	YVH1 STM common Primer	
<400>	83	
gcatgccctg cccctaagaa ttgc		24
<210>	84	
<211>	22	
<212>	DNA	
<213>	Artificial Sequence	
<220><223>	OCA101 L1 Primer	
<400>	84	
ttctgtatgct cacactactc tg		22
<210>	85	
<211>	39	
<212>	DNA	
<213>	Artificial Sequence	
<220><223>	OCA101 L2 Primer	
<400>	85	
tcactggccg tcgtttaca ggaggacagc atacaaatg		39
<210>	86	
<211>	40	
<212>	DNA	
<213>	Artificial Sequence	
<220><223>	OCA101 R1 Primer	
<400>	86	
catggtcata gctgtttcct gcgaaacttc cagtagccctg		40
<210>	87	
<211>	18	

<212>	DNA	
<213>	Artificial Sequence	
<220><223>	OCA101 R2 Primer	
<400>	87	
gaacgacgga ataatggc		18
<210>	88	
<211>	20	
<212>	DNA	
<213>	Artificial Sequence	
<220><223>	OCA101 S0 Primer	
<400>	88	
gacgagggtgg tggaaagatac		20
<210>	89	
<211>	18	
<212>	DNA	
<213>	Artificial Sequence	
<220><223>	OCA101 P0 Primer	
<400>	89	
ctttagttct gccattcg		18
<210>	90	
<211>	20	
<212>	DNA	
<213>	Artificial Sequence	
<220><223>	OCA101 STM Primer	
<400>	90	
cttagagcccg ccacaacgct		20
<210>	91	
<211>	24	
<212>	DNA	
<213>	Artificial Sequence	
<220><223>	OCA101 STM common Primer	
<400>	91	
gcatgccctg cccctaagaa ttcg		24

<210>	92	
<211>	19	
<212>	DNA	
<213>	Artificial Sequence	
<220><223>	SIT4 L1 Primer	
<400>	92	
agtgaggtag aaaccacgg		19
<210>	93	
<211>	37	
<212>	DNA	
<213>	Artificial Sequence	
<220><223>	SIT4 L2 Primer	
<400>		
>	93	
tcactggccg tcgtttact gaagagattt ggatggg		37
<210>	94	
<211>	40	
<212>	DNA	
<213>	Artificial Sequence	
<220><223>	SIT4 R1 Primer	
<400>	94	
catggtcata gctgtttcct gactaatctg tcctggctgg		40
<210>	95	
<211>	20	
<212>	DNA	
<213>	Artificial Sequence	
<220><223>	SIT4 R2 Primer	
<400>	95	
caagggtcta aaggaagtcc		20
<210>	96	
<211>	20	
<212>	DNA	
<213>	Artificial Sequence	
<220><223>	SIT4 SO Primer	

<400>	96	
gatacccaa gtgtccctac		20
<210>	97	
<211>	20	
<212>	DNA	
<213>	Artificial Sequence	
<220><223>	SIT4 PO Primer	
<400>	97	
cattaccgca tctgttagcag		20
<210>	98	
<211>	18	
<212>	DNA	
<213>	Artificial Sequence	
<220><223>	SIT4 STM Primer	
<400>	98	
ctttaaagggt ggtttgtg		18
<210>	99	
<211>	24	
<212>	DNA	
<213>	Artificial Sequence	
<220><223>	SIT4 STM common Primer	
<400>	99	
gcatgccctg cccctaagaa ttcg		24
<210>	100	
<211>	19	
<212>	DNA	
<213>	Artificial Sequence	
<220><223>	GUA1 L1 Primer	
<400>	100	
tcagtcttgc tctttcg		19
<210>	101	
<211>	38	
<212>	DNA	
<213>	Artificial Sequence	

&lt;220&gt;&lt;223&gt; GUA1 L2 Primer

&lt;

&lt;400&gt; 101

tcactggccg tcgtttacc aagatgagga tggtgtcg

38

&lt;210&gt; 102

&lt;211&gt; 45

&lt;212&gt; DNA

&lt;213&gt; Artificial Sequence

&lt;220&gt;&lt;223&gt; GUA1 R1 Primer

&lt;400&gt; 102

catggtcata gctgttcct gattacttcc aagcctcctg ggacg

45

&lt;210&gt; 103

&lt;211&gt; 18

&lt;212&gt; DNA

&lt;213&gt; Artificial Sequence

&lt;220&gt;&lt;223&gt; GUA1 R2 Primer

&lt;400&gt; 103

tgcttgcgta tgacagac

18

&lt;210&gt; 104

&lt;211&gt;

19

&lt;212&gt; DNA

&lt;213&gt; Artificial Sequence

&lt;220&gt;&lt;223&gt; GUA1 S0 Primer

&lt;400&gt; 104

gggcatctgt atgttgcg

19

&lt;210&gt; 105

&lt;211&gt; 19

&lt;212&gt; DNA

&lt;213&gt; Artificial Sequence

&lt;220&gt;&lt;223&gt; GUA1 P0 Primer

&lt;400&gt; 105

cttaggcttc caggacaac

19

&lt;210&gt; 106

&lt;211&gt; 24

<212> DNA

<213> Artificial Sequence

<220><223> GUA1 STM Primer

<400> 106

ctggggattt tgatgtgtct atgt

24

<210> 107

<211> 24

<212> DNA

<213> Artificial Sequence

<220><223> GUA1 STM common Primer

<400> 107

gcatgccctg cccctaagaa ttcg

24

<210> 108

<211> 19

<212> DNA

<213> Artificial Sequence

<220><223> INP5201 L1 Primer

<400> 108

cgtttccatt tggggtcag

19

<210> 109

<211> 38

<212> DNA

<213> Artificial Sequence

<220><223> INP5201 L2 Primer

<400> 109

tcactggccg tcgtttact gcgaggctct caaacttg

38

<210> 110

<211> 41

<212> DNA

<213> Artificial Sequence

<220><223> INP5201 R1 Primer

<400> 110

catggtcata gctgtttcct gcgaagcgcag aaaaggagtt g

41

<210>	111	
<211>	22	
<212>	DNA	
<213>	Artificial Sequence	
<220><223>	INP5201 R2 Primer	
<400>	111	
ttcttcctca cctggataacc gc		22
<210>	112	
<211>	20	
<212>	DNA	
<213>	Artificial Sequence	
<220><223>	INP5201 S0 Primer	
<400>	112	
agtcttgatg gcttccac		20
<210>	113	
<211>	21	
<212>	DNA	
<213>	Artificial Sequence	
<220><223>	INP5201 P0 Primer	
<400>	113	
gctgttaga gtgagtagag g		21
<210>	114	
<211>	24	
<212>	DNA	
<213>	Artificial Sequence	
<220><223>	INP5201 STM Primer	
<400>	114	
acagctccaa acctcgctaa acag		24
<210>	115	
<211>	24	
<212>	DNA	
<213>	Artificial Sequence	
<220><223>	INP5201 STM common Primer	

<400>	115	
gcatgccctg cccctaagaa ttcg		24
<210>	116	
<211>	18	
<212>	DNA	
<213>	Artificial Sequence	
<220><223>	PHS1 L1 Primer	
<400>	116	
gtgggatggg aaatgatg		18
<210>	117	
<211>	34	
<212>	DNA	
<213>	Artificial Sequence	
<220><223>	PHS1 L2 Primer	
<400>	117	
ctggccgtcg tttacagtg acgctttgt gtcg		34
<210>	118	
<211>	36	
<212>	DNA	
<213>	Artificial Sequence	
<220><223>	PHS1 R1 Primer	
<400>	118	
gtcatagctg ttccctgtaa aggcaagacc gtaggc		36
<210>	119	
<211>	19	
<212>	DNA	
<213>	Artificial Sequence	
<220><223>	PHS1 R2 Primer	
<400>	119	
ccttcgtt cttcgtctc		19
<210>	120	
<211>	20	
<212>	DNA	

<213>	Artificial Sequence	
<220><223>	PHS1 SO Primer	
<400>	120	
acactgaaga gactcccgag		20
<210>	121	
<211>	19	
<212>	DNA	
<213>	Artificial Sequence	
<220><223>	PHS1 PO Primer	
<400>	121	
tgagtagcgg atgacttcg		19
<210>	122	
<211>	20	
<212>	DNA	
<213>	Artificial Sequence	
<220><223>	PHS1 STM Primer	
<400>	122	
ccatagaact agctaaagca		20
<210>	123	
<211>	24	
<212>	DNA	
<213>	Artificial Sequence	
<220><223>	PHS1 STM common Primer	
<400>	123	
gcatgccctg cccctaagaa ttgc		24
<210>	124	
<211>	22	
<212>	DNA	
<213>	Artificial Sequence	
<220><223>	MRE11 L1 Primer	
<400>	124	
ggcatacttg ataaggaact cg		22
<210>	125	

&lt;211&gt; 38

&lt;212&gt; DNA

&lt;213&gt; Artificial Sequence

&lt;220&gt;&lt;223&gt; MRE11 L2 Primer

&lt;400&gt; 125

tcactggccg tcgtttact accttggtt tgagtcgg 38

&lt;210&gt; 126

&lt;211&gt; 41

&lt;212&gt; DNA

&lt;213&gt; Artificial Sequence

&lt;220&gt;&lt;223&gt; MRE11 R1 Primer

&lt;400&gt; 126

catggtcata gctgttcct ggaatgaaga ggaaatctgc g 41

&lt;210&gt; 127

&lt;211&gt; 20

&lt;212&gt; DNA

&lt;213&gt; Artificial Sequence

&lt;220&gt;&lt;223&gt; MRE11 R2 Primer

&lt;400&gt; 127

tctcaaggta gttgccatcg 20

&lt;210&gt; 128

&lt;211&gt; 19

&lt;212&gt; DNA

&lt;213&gt; Artificial Sequence

&lt;220&gt;&lt;223&gt; MRE11 S0 Primer

&lt;400&gt; 128

tggcttacaa gaactcagc 19

&lt;210&gt; 129

&lt;211&gt; 19

&lt;212&gt; DNA

&lt;213&gt; Artificial Sequence

&lt;220&gt;&lt;223&gt; MRE11 P0 Primer

&lt;400&gt; 129

cggtctatct cctatttcg	19
<210> 130	
<211> 24	
<212> DNA	
<213> Artificial Sequence	
<220><223> MRE11 STM Primer	
<400>	
> 130	
gttagcgatag ggggtgcgt ttag	24
<210> 131	
<211> 24	
<212> DNA	
<213> Artificial Sequence	
<220><223> MRE11 STM common Primer	
<400> 131	
gcatgccctg cccctaagaa ttcg	24
<210> 132	
<211> 18	
<212> DNA	
<213> Artificial Sequence	
<220><223> DBR1 L1 Primer	
<400> 132	
ttccaatcca acagtcgc	18
<210> 133	
<211> 38	
<212> DNA	
<213> Artificial Sequence	
<220><223> DBR1 L2 Primer	
<400> 133	
tcactggccg tcgtttact ccgaaatgcc tgttgagg	38
<210> 134	
<211> 40	
<212> DNA	
<213> Artificial Sequence	

<220><223>	DBR1 R1 Primer	
<400>	134	
catggtcata gctgtttcct gttactccca ctgcgtaagc		40
<210>	135	
<211>	19	
<212>	DNA	
<213>	Artificial Sequence	
<220><223>	DBR1 R2 Primer	
<400>	135	
ttttggtagg tgggagagg		19
<210>	136	
<211>	19	
<212>	DNA	
<213>	Artificial Sequence	
<220><223>	DBR1 S0 Primer	
<400>	136	
agaatagaa aggctggcg		19
<210>	137	
<211>	19	
<212>	DNA	
<213>	Artificial Sequence	
<220><223>	DBR1 P0 Primer	
<400>	137	
tactgaccct catactgct		19
<210>	138	
<211>	20	
<212>	DNA	
<213>	Artificial Sequence	
<220><223>	DBR1 STM Primer	
<400>	138	
tctctatagc aaaaccaatc		20
<210>	139	
<211>	24	

<212>	DNA	
<213>	Artificial Sequence	
<220><223>	DBR1 STM common Primer	
<400>	139	
gcatgccctg cccctaagaa ttcg		24
<210>	140	
<211>	20	
<212>	DNA	
<213>	Artificial Sequence	
<220><223>	SIW14 L1 Primer	
<400>	140	
ctcattcagg atttaccacg		20
<210>	141	
<211>	37	
<212>	DNA	
<213>	Artificial Sequence	
<220><223>	SIW14 L2 Primer	
<400>	141	
tcactggccg tcgtttaca aagttgttgg cgaggtc		37
<210>	142	
<211>	40	
<212>	DNA	
<213>	Artificial Sequence	
<220><223>	SIW14 R1 Primer	
<400>	142	
catggtcata gctgtttcct gtcatcgga gtttgttcag		40
<210>	143	
<211>	22	
<212>	DNA	
<213>	Artificial Sequence	
<220><223>	SIW14 R2 Primer	
<400>	143	
caactaccac tcacaactct tg		22

<210>	144	
<211>	19	
<212>	DNA	
<213>	Artificial Sequence	
<220><223>	SIW14 SO Primer	
<400>	144	
gtttgtccag ttggcaag		19
<210>	145	
<211>	18	
<212>	DNA	
<213>	Artificial Sequence	
<220><223>	SIW14 PO Primer	
<400>	145	
agtatggat gattccgc		18
<210>	146	
<211>	20	
<212>	DNA	
<213>	Artificial Sequence	
<220><223>	SIW14 STM Primer	
<400>		
>	146	
ccatagaact agctaaagca		20
<210>	147	
<211>	24	
<212>	DNA	
<213>	Artificial Sequence	
<220><223>	SIW14 STM common Primer	
<400>	147	
gcatgccctg cccctaagaa ttcg		24
<210>	148	
<211>	20	
<212>	DNA	
<213>	Artificial Sequence	
<220><223>	SDP102 L1 Primer	
<400>	148	

tctggtatct tcctcccttc	20
<210> 149	
<211> 41	
<212> DNA	
<213> Artificial Sequence	
<220><223> SDP102 L2 Primer	
<400> 149	
tcactggccg tcgtttact ttttgtgggt gtgttgctgg g	41
<210> 150	
<211> 44	
<212> DNA	
<213> Artificial Sequence	
<220><223> SDP102 R1 Primer	
<400> 150	
catggtcata gctgtttcct gcgcattcac tatctactgg ttgc	44
<210> 151	
<211> 19	
<212> DNA	
<213> Artificial Sequence	
<220><223> SDP102 R2 Primer	
<400> 151	
gttcctgttt ggatgcttc	19
<210> 152	
<211> 19	
<212> DNA	
<213> Artificial Sequence	
<220><223> SDP102 S0 Primer	
<400> 152	
gaacatcaag gctctccag	19
<210> 153	
<211> 18	
<212> DNA	
<213> Artificial Sequence	

&lt;220&gt;&lt;223&gt; SDP102 PO Primer

&lt;400&gt; 153

tgtccaagga atggctcg 18

&lt;210&gt; 154

&lt;211&gt; 24

&lt;212&gt; DNA

&lt;213&gt; Artificial Sequence

&lt;220&gt;&lt;223&gt; SDP102 STM Primer

&lt;400&gt; 154

ctccccacat aaagagagct aaac 24

&lt;210&gt; 155

&lt;211&gt; 24

&lt;212&gt; DNA

&lt;213&gt; Artificial Sequence

&lt;220&gt;&lt;223&gt; SDP102 STM common Primer

&lt;400&gt; 155

gcatgccctg cccctaagaa ttcg 24

&lt;210&gt; 156

&lt;211&gt; 18

&lt;212&gt; DNA

&lt;213&gt; Artificial Sequence

&lt;220&gt;&lt;223&gt; OCA1 L1 Primer

&lt;400&gt; 156

aataaagaga gacgccgc 18

&lt;210&gt; 157

&lt;211&gt; 39

&lt;212&gt; DNA

&lt;213&gt; Artificial Sequence

&lt;220&gt;&lt;223&gt; OCA1 L2 Primer

&lt;400&gt; 157

tcactggccg tcgtttacc gagaaaagag aagcacagc 39

&lt;210&gt; 158

&lt;211&gt; 43

<212>	DNA	
<213>	Artificial Sequence	
<220><223>	OCA1 R1 Primer	
<400>	158	
catggtcata gctgtttcct ggtagaagaa gtcaaactgc cac		43
<210>	159	
<211>	19	
<212>	DNA	
<213>	Artificial Sequence	
<220><223>	OCA1 R2 Primer	
<400>	159	
gcagaggaca gaagcaac		19
<210>	160	
<211>	20	
<212>	DNA	
<213>	Artificial Sequence	
<220><223>	OCA1 S0 Primer	
<400>	160	
atcagatgaa cctgctaac		20
<210>	161	
<211>	19	
<212>	DNA	
<213>	Artificial Sequence	
<220><223>	OCA1 P0 Primer	
<400>	161	
taacatccca ccacagtcc		19
<210>	162	
<211>	20	
<212>	DNA	
<213>	Artificial Sequence	
<220><223>	OCA1 STM Primer	
<400>	162	
atgttaggtag ggtgataggt		20

<210>	163	
<211>	24	
<212>	DNA	
<213>	Artificial Sequence	
<220><223>	OCA1 STM common Primer	
<400>	163	
gcatgccctg cccctaagaa ttcg		24
<210>	164	
<211>	20	
<212>	DNA	
<213>	Artificial Sequence	
<220><223>	GDA1 L1 Primer	
<400>	164	
gctgttagtg gcaaaggtag		20
<210>	165	
<211>	37	
<212>	DNA	
<213>	Artificial Sequence	
<220><223>	GDA1 L2 Primer	
<400>	165	
tcactggccg tcgtttaca cgagcgaata agtgtgc		37
<210>	166	
<211>	40	
<212>	DNA	
<213>	Artificial Sequence	
<220><223>	GDA1 R1 Primer	
<400>	166	
catggtcata gctgttctt gttggcggtt ggtggagaag		40
<210>	167	
<211>	19	
<212>	DNA	
<213>	Artificial Sequence	
<220><223>	GDA1 R2 Primer	
<400>	167	

gccttgctt ttccagg

19

<210> 168  
<211> 19  
<212> DNA  
<213> Artificial Sequence  
<220><223> GDA1 SO Primer  
<400> 168

agaaacgggg gaaacgaag  
<210> 169  
<211> 19  
<212> DNA  
<213> Artificial Sequence  
<220><223> GDA1 PO Primer  
<400> 169

ggaagttagaa gcggaaatgt  
<210> 170  
<211> 20  
<212> DNA  
<213> Artificial Sequence  
<220><223> GDA1 STM Primer  
<400> 170

atactacca cacatagct  
<210> 171  
<211> 24  
<212> DNA  
<213> Artificial Sequence  
<220><223> GDA1 STM common Primer  
<400> 171

gcatgccctg cccctaagaa ttcg  
<210> 172  
<211> 20  
<212> DNA  
<213> Artificial Sequence

<220><223>	FBP26 L1 Primer	
<400>	172	
tggaggt cag taatcggt cg		20
<210>	173	
<211>	38	
<212>	DNA	
<213>	Artificial Sequence	
<220><223>	FBP26 L2 Primer	
<400>	173	
tcactggccg tcgtttacg gattggatgg atgtgaac		38
<210>	174	
<211>	40	
<212>	DNA	
<213>	Artificial Sequence	
<220><223>	FBP26 R1 Primer	
<400>	174	
catggtcata gctgttcct gtccgatgta tgctctggc		40
<210>	175	
<211>	19	
<212>	DNA	
<213>	Artificial Sequence	
<220><223>	FBP26 R2 Primer	
<400>	175	
tgttctccc cttgtcacc		19
<210>	176	
<211>	20	
<212>	DNA	
<213>	Artificial Sequence	
<220><223>	FBP26 S0 Primer	
<400>	176	
tggaaatgag ttctttggg		20
<210>	177	
<211>	19	

<212>	DNA	
<213>	Artificial Sequence	
<220><223>	FBP26 PO Primer	
<400>	177	
tcctaaaatc ccgctctgc		19
<210>	178	
<211>	21	
<212>	DNA	
<213>	Artificial Sequence	
<220><223>	FBP26 STM Primer	
<400>		
>	178	
actagccccc cctcaccacc t		21
<210>	179	
<211>	24	
<212>	DNA	
<213>	Artificial Sequence	
<220><223>	FBP26 STM common Primer	
<400>	179	
gcatgccctg cccctaagaa ttcg		24
<210>	180	
<211>	20	
<212>	DNA	
<213>	Artificial Sequence	
<220><223>	PSR1 L1 Primer	
<400>	180	
ggcagagaga agtttgtag		20
<210>	181	
<211>	38	
<212>	DNA	
<213>	Artificial Sequence	
<220><223>	PSR1 L2 Primer	
<400>	181	
tcactggccg tcgtttact gggcatttct tctactgc		38

<210>	182	
<211>	40	
<212>	DNA	
<213>	Artificial Sequence	
<220><223>	PSR1 R1 Primer	
<400>	182	
catggtcata gctgttcct ggttcgtggt gtccttgatg		40
<210>	183	
<211>	19	
<212>	DNA	
<213>	Artificial Sequence	
<220><223>	PSR1 R2 Primer	
<400>	183	
ccttgagccg tttgatgtc		19
<210>	184	
<211>	19	
<212>	DNA	
<213>	Artificial Sequence	
<220><223>	PSR1 S0 Primer	
<400>	184	
ctgtcattac tcgctcagc		19
<210>	185	
<211>	19	
<212>	DNA	
<213>	Artificial Sequence	
<220><223>	PSR1 P0 Primer	
<400>	185	
attctgtgtc gctggagtg		19
<210>	186	
<211>	24	
<212>	DNA	
<213>	Artificial Sequence	
<220><223>	PSR1 STM Primer	

&lt;400&gt; 186

cgctacagcc agcgccgcga agcg 24

&lt;210&gt; 187

&lt;211&gt; 24

&lt;212&gt; DNA

&lt;213&gt; Artificial Sequence

&lt;220&gt;&lt;223&gt; PSR1 STM common Primer

&lt;400&gt; 187

gcatgccctg cccctaagaa ttcg 24

&lt;210&gt; 188

&lt;211&gt; 20

&lt;212&gt; DNA

&lt;213&gt; Artificial Sequence

&lt;220&gt;&lt;223&gt; CDC1 L1 Primer

&lt;400&gt; 188

aaagggtcgt gtgagaggac 20

&lt;210&gt; 189

&lt;211&gt; 38

&lt;212&gt; DNA

&lt;213&gt; Artificial Sequence

&lt;220&gt;&lt;223&gt; CDC1 L2 Primer

&lt;400&gt; 189

tcactggccg tcgtttacc tgacgatgct acagatgc 38

&lt;210&gt; 190

&lt;211&gt; 41

&lt;212&gt; DNA

&lt;213&gt; Artificial Sequence

&lt;220&gt;&lt;223&gt; CDC1 R1 Primer

&lt;400&gt; 190

catggtcata gctgtttcct gtggcaaga gttggagaga g 41

&lt;210&gt; 191

&lt;211&gt; 21

&lt;212&gt; DNA

<213> Artificial Sequence	
<220><223> CDC1 R2 Primer	
<400> 191	
gaacagacag atgggataa c	21
<210> 192	
<211> 20	
<212> DNA	
<213> Artificial Sequence	
<220><223> CDC1 S0 Primer	
<400> 192	
gctgtgggtg ttgaatgatg	20
<210> 193	
<211> 19	
<212> DNA	
<213> Artificial Sequence	
<220><223> CDC1 P0 Primer	
<400> 193	
ggcattgacc agcgagttt	19
<210> 194	
<211> 20	
<212> DNA	
<213> Artificial Sequence	
<220><223> CDC1 STM Primer	
<400> 194	
cgcggccct cactatccac	20
<210> 195	
<211> 24	
<212> DNA	
<213> Artificial Sequence	
<220><223> CDC1 STM common Primer	
<400> 195	
gcatgccctg cccctaagaa ttcg	24
<210> 196	

<211>	20	
<212>	DNA	
<213>	Artificial Sequence	
<220><223>	INP5202 L1 Primer	
<400>	196	
aagagtttgt caccagtgtc		20
<210>	197	
<211>	38	
<212>	DNA	
<213>	Artificial Sequence	
<220><223>	INP5202 L2 Primer	
<400>	197	
tcactggccg tcgtttact ggcaagtaga gagtcacc		38
<210>	198	
<211>	40	
<212>	DNA	
<213>	Artificial Sequence	
<220><223>	INP5202 R1 Primer	
<400>	198	
catggtcata gctgtttcct gtgatttggg gcatctggtg		40
<210>	199	
<211>	19	
<212>	DNA	
<213>	Artificial Sequence	
<220><223>	INP5202 R2 Primer	
<400>	199	
ggagtttcgc tacattggg		19
<210>	200	
<211>	20	
<212>	DNA	
<213>	Artificial Sequence	
<220><223>	INP5202 S0 Primer	
<400>	200	

gcattgtac ttcccaaaag	20
<210> 201	
<211> 19	
<212> DNA	
<213> Artificial Sequence	
<220><223> INP5202 P0 Primer	
<400> 201	
tctgggatt gggcttgg	19
<210> 202	
<211> 24	
<212> DNA	
<213> Artificial Sequence	
<220><223> INP5202 STM Primer	
<400> 202	
ccatagcgat atctaccca atct	24
<210> 203	
<211> 24	
<212> DNA	
<213> Artificial Sequence	
<220><223> INP5202 STM common Primer	
<400> 203	
gcatgccctg cccctaagaa ttcg	24
<210> 204	
<211> 19	
<212> DNA	
<213> Artificial Sequence	
<220><223> YND1 L1 Primer	
<400> 204	
acgcacagtt tgataaccg	19
<210> 205	
<211> 38	
<212> DNA	
<213> Artificial Sequence	

<220><223>	YND1 L2 Primer	
<400>	205	
tcactggccg tcgtttaca gtggtgtaac ggatggtg		38
<210>	206	
<211>	40	
<212>	DNA	
<213>	Artificial Sequence	
<220><223>	YND1 R1 Primer	
<400>	206	
catgtcata gctgttcct gagtagggcg aatctgagt		40
<210>	207	
<211>	19	
<212>	DNA	
<213>	Artificial Sequence	
<220><223>	YND1 R2 Primer	
<400>	207	
agttagttct ccgatgtcc		19
<210>	208	
<211>	19	
<212>	DNA	
<213>	Artificial Sequence	
<220><223>	YND1 S0 Primer	
<400>	208	
gctcgtgatt gggactaac		19
<210>	209	
<211>	20	
<212>	DNA	
<213>	Artificial Sequence	
<220><223>	YND1 P0 Primer	
<400>	209	
ccatccatct tctccactcc		20
<210>	210	
<211>	24	
<212>	DNA	

<213> Artificial Sequence

<220><223> YND1 STM Primer

<400> 210

ctccccacat aaagagagct aaac

24

<210> 211

<211> 24

<212> DNA

<213> Artificial Sequence

<220><223> YND1 STM common Primer

<400> 211

gcatgccctg cccctaagaa ttcg

24

<210> 212

<211> 21

<212> DNA

<213> Artificial Sequence

<220><223> B1026 - M13 Forward extended

<400> 212

gtaaaacgac ggcagttag c

21

<210> 213

<211> 21

<212> DNA

<213> Artificial Sequence

<220><223> B1027 - M13 Reverse extended

<400> 213

caggaaacag ctatgaccat g

21

<210> 214

<211> 21

<212> DNA

<213> Artificial Sequence

<220><223> B79 - Screening primer

<400> 214

tgtggatgct ggcggaggat a

21

<210> 215

<211> 24  
<212> DNA  
<213> Artificial Sequence  
<220><223> B1454 - NAT split marker primer 1

<400> 215  
aagggtttcc ccgacgacga atcg 24  
<210> 216  
<211> 24  
<212> DNA  
<213> Artificial Sequence  
<220><223> B1455 - NAT split marker primer 2  
<400> 216  
aactccgtcg cgagccccat caac 24  
<210> 217  
<211> 18  
<212> DNA  
<213> Artificial Sequence  
<220><223> B1886 - NEO split marker primer 1  
<400> 217  
tggaagagat ggatgtgc 18

<210> 218  
<211> 18  
<212> DNA  
<213> Artificial Sequence  
<220><223> B1887 - NEO split marker primer 2  
<400> 218  
attgtctgtt gtgccag 18  
<210> 219  
<211> 22  
<212> DNA  
<213> Artificial Sequence  
<220><223> B679 - qRT-PCR primer for ACT1  
<400> 219

cgcccttgct ctttcttcta tg	22
<210> 220	
<211> 22	
<212> DNA	
<213> Artificial Sequence	
<220>	
><223> B680 - qRT-PCR primer for ACT1	
<400> 220	
gactcgtcgt attcgcttt cg	22
<210> 221	
<211> 19	
<212> DNA	
<213> Artificial Sequence	
<220><223> B8953 - qRT-PCR primer for LAC1	
<400> 221	
caccctttgg aagtgtgg	19
<210> 222	
<211> 19	
<212> DNA	
<213> Artificial Sequence	
<220><223> B8954 - qRT-PCR primer for LAC1	
<400> 222	
tgataattgc agagtaccg	19
<210> 223	
<211> 19	
<212> DNA	
<213> Artificial Sequence	
<220><223> B3737 - qRT-PCR primer for BZP4	
<400> 223	
agccaggtaa tcttggagg	19
<210> 224	
<211> 19	
<212> DNA	
<213> Artificial Sequence	

<220><223> B8521 - qRT-PCR primer for BZP4

<400> 224

caatacga atcactccc 19

<210> 225

<211> 20

<212> DNA

<213> Artificial Sequence

<220>

><223> B6394 - qRT-PCR primer for HOB1

<400> 225

cctcgcaagt tccccagcta 20

<210> 226

<211> 19

<212> DNA

<213> Artificial Sequence

<220><223> B8519 - qRT-PCR primer for HOB1

<400> 226

gtatgaggtc ttgtccacc 19

<210> 227

<211> 20

<212> DNA

<213> Artificial Sequence

<220><223> B8654 - qRT-PCR primer for ITR1A

<400> 227

cttcaaccga ggtcataactc 20

<210> 228

<211> 19

<212> DNA

<213> Artificial Sequence

<220><223> B8655 - qRT-PCR primer for ITR1A

<400> 228

agattccgat accaagggc 19

<210> 229

<211> 20

<212> DNA  
<213> Artificial Sequence  
<220><223> B8658 - qRT-PCR primer for ITR3C  
<400> 229  
cccttggtc aggtgattc 20  
<210> 230  
<211> 21  
<212> DNA  
<213> Artificial Sequence  
<220>  
><223> B8659 - qRT-PCR primer for ITR3C  
<400> 230  
gctgaaatag ggatggaaca g 21  
<210> 231  
<211> 20  
<212> DNA  
<213> Artificial Sequence  
<220><223> B8656 - qRT-PCR primer for MPR1  
<400> 231  
cgaggttctt gatgatgctg 20  
<210> 232  
<211> 20  
<212> DNA  
<213> Artificial Sequence  
<220><223> B8657 - qRT-PCR primer for MPR1  
<400> 232  
atccgagaa agtctgagcc 20  
<210> 233  
<211> 19  
<212> DNA  
<213> Artificial Sequence  
<220><223> B8598 - qRT-PCR primer for FZC31  
<400> 233  
aatgtcccg aaaaggaag 19

<210> 234  
<211> 21  
<212> DNA  
<213> Artificial Sequence  
<220><223> B4951 - qRT-PCR primer for FZC31  
<400> 234  
tcttttttc ttctgacactg c 21  
<210> 235  
<211> 17  
<212> DNA  
<213> Artificial Sequence  
<220>  
><223> B9243 - qRT-PCR primer for GAT201  
<400> 235  
catcccgatcg ccacacgc 17  
<210> 236  
<211> 19  
<212> DNA  
<213> Artificial Sequence  
<220><223> B9422 - qRT-PCR primer for GAT201  
<400> 236  
ggagtatggc tggaaatctg 19  
<210> 237  
<211> 20  
<212> DNA  
<213> Artificial Sequence  
<220><223> B9061 - qRT-PCR primer for PDR802  
<400> 237  
tttcgttagcc tgtaagtggc 20  
<210> 238  
<211> 19  
<212> DNA  
<213> Artificial Sequence  
<220><223> B4913 - qRT-PCR primer for PDR802

<400> 238

ggaacatgg gaaaagggtg

19